

**UNIVERSIDADE FEDERAL DE PELOTAS**  
**Centro de Desenvolvimento Tecnológico**  
**Programa de Pós-Graduação em Recursos Hídricos**



**Dissertação**

**Frequência de cheias no Brasil: análise local**

**Marlon Heitor Kunst Valentini**

**Pelotas, 2022**

**Marlon Heitor Kunst Valentini**

**Frequência de cheias no Brasil: análise local**

Dissertação apresentada ao Programa de Pós-Graduação em Recursos Hídricos, do Centro de Desenvolvimento Tecnológico da Universidade Federal de Pelotas, como requisito parcial à obtenção do título de Mestre em Recursos Hídricos.

Orientador: Samuel Beskow

Pelotas, 2022

Marlon Heitor Kunst Valentini

## **Frequência de cheias no Brasil: análise local**

Dissertação aprovada, como requisito parcial, para obtenção do grau de Mestre em Recursos Hídricos, Centro de Desenvolvimento Tecnológico, Universidade Federal de Pelotas.

Data da Defesa: 23 de fevereiro de 2022

Banca Examinadora:

*Samuel Beskow*

Prof. Dr. Samuel Beskow (Orientador)

Doutor em Engenharia Agrícola pela Universidade Federal de Lavras

*Carlos Rogério de Mello*

Prof. Dr. Carlos Rogério de Mello (Titular)

Doutor em Ciência do Solo pela Universidade Federal de Lavras

*Rita de Cássia Fraga Damé*

Prof. Dra. Rita de Cássia Fraga Damé (Titular)

Doutora em Recursos Hídricos e Saneamento Ambiental pela Universidade Federal do Rio Grande do Sul

Universidade Federal de Pelotas / Sistema de Bibliotecas Catalogação na Publicação

V161f Valentini, Marlon Heitor Kunst

Frequência de cheias no Brasil : análise local / Marlon  
Heitor Kunst Valentini ; Samuel Beskow, orientador. —  
Pelotas, 2022.

227 f. : il.

Dissertação (Mestrado) — Programa de Pós-Graduação  
em Recursos Hídricos, Centro de Desenvolvimento  
Tecnológico, Universidade Federal de Pelotas, 2022.

1. Função densidade de probabilidade. 2. Vazão máxima  
anual. 3. Série hidrológica. 4. Recursos hídricos. I. Beskow,  
Samuel, orient. II. Título.

CDD : 627

Elaborada por Aline Herbstrith Batista CRB: 10/1737

A minha mãe  
Suzana Maria Kunst  
DEDICO.

## **Agradecimentos**

A minha mãe Suzana, pelo apoio, confiança e carinho durante toda minha trajetória acadêmica e durante toda a minha vida. Aos meus amigos, sempre presentes de uma forma ou outra ao longo de todos esses anos. Ao meu orientador, Professor Dr. Samuel Beskow e a todos os membros da banca examinadora.

Obrigado.

## Resumo

KUNST VALENTINI, Marlon Heitor. **Frequência de cheias no Brasil: análise local.** 2022. 226f. Dissertação (Mestrado em Recursos Hídricos) - Programa de Pós-Graduação em Recursos Hídricos, Centro de Desenvolvimento Tecnológico, Universidade Federal de Pelotas, Pelotas, 2022.

As cheias estão entre os eventos hidrológicos que têm grande potencial para causar prejuízos ambientais, econômicos e sociais no mundo. Logo, estudos sobre as características e a frequência desses eventos fazem-se de suma importância, sendo que estimativas apropriadas acerca de eventos hidrológicos extremos auxiliam na mitigação dos impactos de desastres naturais e o conhecimento desses eventos é um requisito fundamental para projetos de estruturas hidráulicas. A análise local da frequência de cheias é considerada o método mais direto para modelagem probabilística desses eventos e uma importante técnica para estimar a magnitude e a frequência associadas aos eventos de cheias. Poucos estudos têm focado em Funções Densidade de Probabilidade (FDPs) com mais de três parâmetros devido à complexidade dessas funções, porém estudos recentes têm demonstrado que as FDPs multiparâmetros geram melhores resultados em comparação com as FDPs tradicionalmente utilizadas no Brasil. Cabe salientar que, mesmo após extensiva revisão da literatura, não foi possível encontrar estudos nessa temática que abranjam toda a extensão do território brasileiro. Sendo assim, esse estudo teve como objetivo principal propor e avaliar uma estrutura metodológica robusta para análise local de frequência de cheias passível de ser aplicada a nível de um país continental como o Brasil, permitindo indicar as FDPs mais adequadas para representar a vazão máxima anual nos rios brasileiros. A metodologia desse estudo consistiu das seguintes etapas: aquisição dos dados de vazão dos rios para todo o território brasileiro e constituição das séries de vazão máxima anual (VMA); triagem das séries de VMA; ajustes de onze FDPs (Normal, Gamma, Gumbel, GEV, GLO, GNO, GPA, LN3, PE3, Kappa e Wakeby) às séries de VMA; e análise da qualidade dos ajustes e dos quantis derivados das FDPs. Conforme constatado por esse estudo, as FDPs mais robustas com maior número de parâmetros performaram melhor do que aquelas mais simples de 2 e 3 parâmetros. A função Wakeby de 5 parâmetros foi a que apresentou os resultados mais acurados, sendo a função mais adequada para 345 séries de VMA no Brasil, seguida pela função Kappa que teve o melhor ajuste para 149 séries. Sendo assim, pode-se concluir que a FDP Wakeby é a mais indicada para modelagem probabilística de séries de vazão máxima anual no Brasil. Salienta-se ainda a importância e abrangência desse estudo, sendo o primeiro a ser realizado nessa escala no país. Neste contexto, esse estudo pode servir como base para a modelagem probabilística de eventos de cheias em todo o Brasil, auxiliando pesquisadores e projetistas em suas tomadas de decisões.

Palavras-chave: Testes Não Paramétricos. Função Densidade de Probabilidade. Vazão Máxima Anual. Séries Hidrológicas.

## **Abstract**

KUNST VALENTINI, Marlon Heitor. **Flood Frequency in Brazil: at-site analysis.** 2022. 226p. Dissertation (Master's Degree in Water Resources) - Programa de Pós-Graduação em Recursos Hídricos, Centro de Desenvolvimento Tecnológico, Universidade Federal de Pelotas, Pelotas, 2022.

Floods are among the hydrological events that have great potential to cause environmental, economic and social damage in the world. Therefore, studies on the characteristics and frequency of these events are of paramount importance. Appropriate estimates of extreme hydrological events help mitigate the impacts of natural disasters and the knowledge of these events is a fundamental requirement for hydraulic structures projects. At-site flood frequency analysis is considered the most direct method for probabilistic modeling of these events and an important technique for estimating the magnitude and frequency associated with flood events. Few studies have focused on Probability Density Functions (PDFs) with more than three parameters due to the complexity of these functions, however, recent studies have demonstrated that multiparameter PDFs provide better results than those PDFs traditionally used in Brazil. It should be also noted that, even after an extensive literature review, it was not possible to find studies on this topic covering the entire Brazilian territory. Therefore, this study had as main objective to propose and evaluate a robust methodological framework for at-site flood frequency analysis that can be applied at the level of a continental country such as Brazil, allowing to indicate the most suitable PDFs to represent the maximum annual streamflow in Brazilian rivers. The methodology of this study consisted of the following steps: acquisition of streamflow data for the entire Brazilian territory and organization of the maximum annual streamflow series (MAS); screening of MAS series; fit of eleven PDFs (Normal, Gamma, Gumbel, GEV, GLO, GNO, GPA, LN3, PE3, Kappa and Wakeby) to the MAS series; and PDF's goodness-of-fit and quantiles derived from the PDFs. As evidenced by this study, the more robust PDFs with a greater number of parameters outperformed those simpler PDFs (with 2 and 3 parameters). The 5-parameter Wakeby function provided the most accurate results, such that it was the most appropriated function for 345 MAS series in Brazil, followed by the Kappa function that had the best fit for 149 series. Therefore, it can be concluded that the Wakeby is the most suitable function for probabilistic modeling of maximum annual streamflow series in Brazil. The importance and scope of this study should be also highlighted, as it is the first to be carried out at this scale in the country. In this context, this study can serve as a basis for the probabilistic modeling of flood events throughout the country, thus supporting researchers and designers in their decision making.

**Keywords:** Nonparametric Tests. Probability Density Function. Maximum Annual Streamflow. Hydrological Series.

## Lista de Figuras

Figura 1 – Divisão das 8 grandes bacias hidrográficas do Brasil conforme a Agência Nacional de Águas e Saneamento Básico (ANA) .....	30
Figura 2 – Fluxograma das etapas da metodologia .....	47
Figura 3 – Localização das 3.826 estações fluviométricas a partir das quais foram constituídas as séries de VMA .....	49
Figura 4 – Localização das 710 estações fluviométricas que tiveram séries históricas de VMA aprovadas nas 4 premissas estatísticas simultaneamente (a) e das demais estações que tiveram séries históricas de VMA reprovadas em pelo menos um dos 4 testes ( $1076 - 710 = 366$ ) (b) .....	54
Figura 5 – Distribuição geográfica das séries com melhor ajuste para as FDPs de 2 parâmetros (Normal, Gamma e Gumbel) .....	61
Figura 6 – Distribuição geográfica das séries com melhor ajuste para as FDPs de 3 parâmetros (GEV, GLO, GNO, GPA, LN3 e PE3) .....	66
Figura 7 – Distribuição geográfica das séries com melhor ajuste para as funções Kappa e Wakeby .....	70
Figura 8 – Distribuição geográfica das estações fluviométricas que deram origem às séries de VMA das bacias hidrográficas do Rio Amazonas, do Rio Tocantins e do Atlântico Trecho Norte/Nordeste, evidenciando a FDP de melhor ajuste para cada série .....	73
Figura 9 – Distribuição geográfica das estações fluviométricas que deram origem às séries de VMA das bacias hidrográficas do Rio São Francisco e do Atlântico Trecho Leste, evidenciando a FDP de melhor ajuste para cada série .....	74
Figura 10 – Distribuição geográfica das estações fluviométricas que deram origem às séries de VMA das bacias hidrográficas do Rio Paraná, do Rio Uruguai e do Atlântico Trecho Sudeste, evidenciando a FDP de melhor ajuste para cada série .....	75
Figura 11 – Distribuição de frequência dos valores de r (teste de Filliben) para as FDPs Gumbel, GEV, PE3, Kappa e Wakeby .....	76

## **Lista de Tabelas**

Tabela 1 - Valores de r-crítico do teste de Filliben para as FDPs Normal e Log-Normal .....	43
Tabela 2 - Valores de r-crítico do teste de Filliben, para as FDPs Gumbel e Weibull .....	44
Tabela 3 - Valores de r-crítico do teste de Filliben para a FDP GEV .....	44
Tabela 4 - Distribuição do número de séries históricas de vazões máximas anuais antes e depois da definição do critério histórico, considerando as 8 grandes bacias hidrográficas definidas pela ANA .....	50
Tabela 5 - Distribuição do número de séries históricas de vazões máximas anuais após a aplicação dos 4 testes não paramétricos, considerando as 8 grandes bacias hidrográficas definidas pela ANA .....	53
Tabela 6 - Números relativos à quantidade de séries ajustadas pelas FDPs de 2 parâmetros (Normal, Gamma e Gumbel) .....	58
Tabela 7 - Números relativos à quantidade de séries ajustadas pelas FDPs de 3 parâmetros (GEV, GLO, GNO, GPA, LN3 e PE3) .....	63
Tabela 8 - Números relativos à quantidade de séries ajustadas pelas FDPs multiparâmetros (Kappa e Wakeby) .....	68
Tabela 9 - Erro Relativo Absoluto Mínimo, Máximo e Médio para estimativas de vazões máximas para tempos de retorno determinados .....	78

## **Lista de abreviaturas**

ANA: Agência Nacional de Águas e Saneamento Básico

FDP: Função densidade de probabilidade

GEV: Generalized Extreme Value

GLO: Generalized Logistic

GNO: Generalized Normal

GPA: Generalized Pareto

KAP: Kappa

LN3: Log-Normal de 3 parâmetros

NA: Não houve ajuste

NS: Ajuste não satisfatório

PE3: Pearson tipo III

VMA: Vazão máxima anual

WAK: Wakeby

## Sumário

1. Introdução .....	13
2. Objetivos .....	16
2.1 Geral.....	16
2.2 Específicos .....	16
3. Hipóteses .....	17
4. Revisão da Literatura .....	18
4.1 Eventos hidrológicos extremos máximos.....	18
4.2 Aplicações de dados hidrológicos e introdução à análise de frequência de cheias .....	19
4.3 Triagem dos dados .....	22
4.4 Ajuste das Funções Densidade de Probabilidade .....	24
4.5 Métodos de estimação dos parâmetros de ajuste das Funções Densidade de Probabilidade .....	27
5. Materiais e Métodos .....	30
5.1 Área de Estudo .....	30
5.2 Obtenção dos dados e constituição de séries .....	31
5.3 Triagem das séries .....	31
5.3.1 Triagem temporal .....	31
5.3.2 Triagem estatística .....	32
5.4 Funções Densidade de Probabilidade (FDP).....	36
5.5 Método dos Momentos-L.....	40
5.6 Teste de qualidade dos ajustes das Funções Densidade de Probabilidade .....	42
6. Resultados e discussão.....	48
6.1 Triagem das séries hidrológicas .....	48
6.2 Ajuste das Funções Densidade de Probabilidade .....	56
7. Conclusões.....	81

## **1. Introdução**

As cheias são desastres naturais e estão entre os eventos hidrológicos que mais causam prejuízos ambientais, econômicos e sociais em todo o mundo. O Brasil figura em segundo lugar entre as nações emergentes no que concerne ao potencial de perdas associadas a inundações (UNISDR, 2015). Somente no ano de 2018, mais de 2500 pessoas perderam suas vidas e mais de 500 famílias foram desalojadas devido a fenômenos hidrológicos extremos no país (GONÇALVEZ SANTOS; VENTORINI, 2018). Logo, em decorrência da vulnerabilidade social em relação à ocorrência de cheias, estudos sobre as características e a frequência desses eventos fazem-se de suma importância.

Na engenharia hidrológica e na gestão de recursos hídricos, entender o comportamento hidrológico de uma dada bacia hidrográfica, principalmente no que concerne às suas vazões máximas, é de grande importância. Esses eventos, assim como a maioria dos fenômenos hidrológicos que ocorrem na natureza, não são puramente determinísticos, ou seja, são classificados como eventos estocásticos, o que faz com que sua frequência deva ser analisada probabilisticamente, necessitando do máximo de informações disponíveis de eventos passados (NAGHETTINI; PINTO, 2007).

Estimativas apropriadas da magnitude e frequência de eventos hidrológicos extremos, como vazões máximas anuais, auxiliam na mitigação dos impactos de desastres naturais, tais como as cheias e inundações. Ainda, o conhecimento das vazões máximas é um requisito fundamental para projetos de estruturas hidráulicas como pontes, represas, sistemas de drenagem, dentre outros (BESKOW *et al.*, 2015).

Apesar da importância do conhecimento de dados de vazão, a quantidade de estações fluviométricas em operação em países em desenvolvimento é insuficiente em relação às demandas dos profissionais e, ainda, parte das estações existentes possuem séries temporais curtas, prejudicando a análise desses dados. Cabe salientar que no Brasil e em outros diversos países do mundo existe, de fato, uma grande quantidade de estações de monitoramento hidrológico, porém essas estações não abrangem a totalidade dos recursos hídricos, assim como não abrangem toda extensão territorial dos países. Sendo

assim, torna-se necessário o uso de métodos para a estimação de variáveis hidrológicas (BESKOW *et al.*, 2016).

Existem diversos métodos para estimação da ocorrência de vazões extremas. Segundo Zhang, Stadnyk e Burn (2019), a análise local da frequência de cheias é considerada a técnica mais direta para estimar a magnitude de eventos de cheias e as frequências associadas a estes eventos, o que, segundo esses autores, faz com que essa técnica sirva de base para a elaboração de projetos de estruturas de contenção de enchentes.

A distribuição probabilística de uma variável contínua é feita através de uma função densidade de probabilidade (FDP). Sendo assim, as etapas de escolha e ajuste de uma FDP são essenciais para a análise de frequência de cheias. Muitas FDPs podem ser utilizadas para determinação da frequência de eventos hidrológicos, porém nenhuma dessas funções é aceita como uma função universal para descrever a ocorrência de cheias em qualquer ponto monitorado, sendo que a seleção da função apropriada geralmente depende das características dos dados disponíveis em cada local (HASSAN; HAYAT; NOREEN, 2019).

No Brasil, podem-se encontrar diversos estudos que usam FDPs mais simples como a Log-Normal de 2 e 3 parâmetros e a Gumbel para a modelagem probabilística de dados hidrológicos de chuva e vazão. Entretanto, alguns outros estudos têm avaliado os resultados obtidos por FDPs mais robustas, tais como a Generalized Extreme Value (GEV), Generalized Logistic (GLO), Generalized Normal (GNO) e Pearson tipo III (PE3), dentre outras. Ainda, cabe salientar que os estudos conduzidos no Brasil acerca de modelagem probabilística de eventos hidrológicos extremos são, em sua maioria, em escala regional, abrangendo poucas bacias hidrográficas, ou mesmo na escala de uma única bacia.

Estudos recentes em diversas localidades em todo o mundo têm demonstrando que as FDPs multiparâmetros geram, de fato, melhores resultados em comparação com as FDPs tradicionalmente utilizadas no Brasil. Funções densidade de probabilidade com 3 ou mais parâmetros têm sido amplamente utilizadas em diversos países do mundo como, por exemplo, na Austrália (LAM *et al.*, 2017), Índia (KUMAR *et al.*, 2003), Itália (NOTO; LA LOGGIA, 2009) e Turquia (AYDOGAN *et al.*, 2016). A função GEV, por exemplo, tem sido recomendada por agências de pesquisa da Austrália, Áustria, Alemanha, Itália e

Espanha (SALINAS *et al.*, 2014; BALL *et al.*, 2016). Ainda, a função log Pearson III foi sugerida para estudos e projetos relativos a eventos extremos nos EUA e a função GLO e a função Pearson III foram, respectivamente, sugeridas no Reino Unido e na China (AHMAD; FAWAD; MAHMOOD, 2015). Rahman *et al.* (2013), em estudo realizado na Austrália, sugeriram a log Pearson III, a GEV e a GPA como as 3 FDPs com os melhores ajustes para modelagem de vazões extremas (RAHMAN *et al.*, 2013).

Poucos estudos têm focado em FDPs com mais de três parâmetros devido à complexidade dessas funções (RAHMAN *et al.*, 2014). No estado do Rio Grande do Sul, Brasil, os estudos realizados por Beskow *et al.* (2015) e Cassalho *et al.* (2019) avaliaram, dentre outras, o desempenho de FDPs multiparâmetros, tais como a Kappa de 4 parâmetros e a Wakeby de 5 parâmetros, para a modelagem probabilística de chuvas extremas e vazões máximas, respectivamente.

Ainda, salienta-se que, mesmo após extensiva revisão da literatura, não foi possível encontrar estudos que avaliem a aderência das FDPs às séries de vazões máximas em toda a extensão do território brasileiro. Sendo assim, destaca-se a relevância desse estudo, sendo o primeiro a ser realizado nessa escala no país, propondo-se a analisar e comparar a aplicação de FDPs multiparâmetros com aquelas tradicionalmente utilizadas no Brasil.

## **2. Objetivos**

### **2.1 Geral**

Propor e avaliar uma estrutura metodológica robusta para análise local de frequência de cheias passível de ser aplicada em um país continental como o Brasil, permitindo indicar quais são as funções densidade de probabilidade mais adequadas para representar a vazão máxima anual nos rios brasileiros.

### **2.2 Específicos**

- Avaliar o efeito da triagem das séries de vazão máxima anual com base em critérios temporais e estatísticos robustos usando as premissas de estacionariedade, independência, aleatoriedade e homogeneidade;
- Avaliar o desempenho de funções densidade de probabilidade multiparâmetros em relação a funções tradicionalmente utilizadas no Brasil para modelar a frequência de vazões máximas anuais;
- Verificar o ganho na estimativa de vazões de projeto quando do uso de funções densidade de probabilidade multiparâmetros.

### **3. Hipóteses**

- Ocorrerá uma diminuição significativa no número de séries passíveis de serem utilizadas para a análise local de frequências de cheias no Brasil após a triagem das séries hidrológicas com base em critérios temporais e estatísticos robustos;
- É possível realizar a análise local de frequências de cheias no Brasil com base em funções densidade de probabilidade multiparâmetros utilizando o método dos momentos-L para a estimativa dos parâmetros dessas funções;
- As funções densidade de probabilidade multiparâmetros resultam em melhores ajustes em comparação com funções mais simples.

## **4. Revisão da Literatura**

### **4.1 Eventos hidrológicos extremos máximos**

As cheias estão entre os piores desastres naturais em todo o mundo, causando danos financeiros equivalentes a milhões de dólares anualmente, assim como perdas de vidas humanas (GURU; JHA, 2014; HEIDARPOUR *et al.*, 2017; KOUSAR *et al.*, 2020). Ainda, eventos hidrológicos extremos máximos como enchentes, inundações e alagamentos são potencialmente causadores de grandes impactos econômicos, sociais e ambientais em todo o mundo (HALL *et al.*, 2014; MALLAKPOUR; VILLARINI, 2016; SLATER; VILLARINI, 2016). Sendo assim, a modelagem hidrológica desses eventos é algo que vem sido discutido globalmente, uma vez que vários eventos de cheias devastadoras têm ocorrido em diversos países do mundo (HEIDARPOUR *et al.*, 2017).

Atualmente, tem se tornado mais frequente deparar-se com situações de inundações e alagamentos em cidades nas mais diversas regiões do Brasil e em vários outros países. Inundações, alagamentos, cheias e enxurradas são termos conhecidos da população geral por estarem associados a eventos que causam perdas de vidas e/ou materiais. Porém estes termos possuem significados diferentes e são muitas vezes confundidos uns com os outros. Segundo Tucci e Genz (1994), esses eventos são definidos da seguinte forma:

- Inundação: extravasamento das águas de um corpo hídrico para áreas de várzea ou planícies de inundação;
- Alagamento: acúmulo de águas superficiais em áreas urbanas, decorrente de problemas no sistema de drenagem;
- Cheias/enchentes: aumento temporário do nível do corpo hídrico, sem causar o extravasamento para as áreas de várzea;
- Enxurrada: escoamento de águas superficiais de grande magnitude.

Desastres naturais relacionados a enchentes e inundações são frequentemente considerados os de maior custo e mais devastadores (LAM; THOMPSON; CROKE, 2017; RAHMAN *et al.*, 2018). Esses eventos causam

prejuízos estimados em 104 bilhões de dólares ao ano mundialmente e estão entre os desastres naturais mais dispendiosos financeiramente, sendo o Brasil o segundo país com maior potencial de perdas associadas a inundações entre as nações emergentes (UNISDR, 2015). Segundo estimativas, eventos hidrológicos extremos foram responsáveis por 36% dos 60 bilhões de dólares de prejuízos relativos a desastres naturais no Brasil no período de 1995 a 2014 (CEPED/UFSC, 2014). Somente no ano de 2013, por exemplo, inundações fetaram 4.356.550 pessoas e foram responsáveis por 108 fatalidades no país (CENAD, 2014).

Conforme amplamente observado, existe grande vulnerabilidade da sociedade em relação a eventos hidrológicos extremos máximos, tais como cheias e inundações, fazendo com que seja necessário o estudo de suas características e dos mecanismos associados à sua ocorrência. Sendo assim, as informações sobre esses eventos são cruciais para que se possa agir de forma a mitigar os impactos decorrentes desses eventos e essas informações deviriam fazer parte das diretrizes de projetos e normas de segurança (HIRSCH; ARCHFIELD, 2015; MADSEN *et al.*, 2014; HODGKINS *et al.*, 2017)

#### **4.2 Aplicações de dados hidrológicos e introdução à análise de frequência de cheias**

Na engenharia hidrológica e na gestão de recursos hídricos, entender o comportamento hidrológico de uma dada bacia hidrográfica é de grande importância, sendo que, segundo Naghettini e Pinto (2007), a hidrologia aplicada usa os princípios da hidrologia para planejar, projetar e operar sistemas de aproveitamento e controle de recursos hídricos. Para tal, é necessário conhecer a variabilidade espacial e/ou temporal dos fenômenos hidrológicos, bem como a magnitude de eventos extremos.

Estimativas apropriadas da magnitude e frequência de variáveis hidrológicas são de grande importância, pois podem auxiliar na mitigação dos impactos de desastres naturais e são fatores limitantes para obras de estruturas hidráulicas e para a gestão de recursos hídricos (MERZ *et al.*, 2010; AGARWAL *et al.*, 2016). Na construção de estruturas de proteção contra cheias, por exemplo, é essencial

a obtenção de informações adequadas acerca desses eventos (AHMAD; FAWAD; MAHMOOD, 2015).

O conhecimento e a estimativa adequada de vazões máximas são requisitos fundamentais para o projeto, operação e manutenção de estruturas hidráulicas, tais como pontes, represas e sistemas de drenagem e, também, para avaliação do risco de ocorrência de enchentes (BESKOW *et al.*, 2015; PROSDOCIMI; KJELDSEN; SVENSSON, 2014). Ainda, a estimação dessas variáveis deve ser bastante precisa a fim de evitar custos excessivos no caso de vazões máximas superestimadas e danos em grande escala, ou até perda de vidas humanas, em caso de vazões máximas subestimadas (ABIDA; ELLOUZE, 2008; HEIDARPOUR *et al.*, 2017).

Diversos estudos têm sido conduzidos nas últimas décadas acerca da obtenção de estimativas adequadas das variáveis hidrológicas. Muitos desses estudos utilizam de modelagem probabilística com base em diversos métodos estatísticos para analisar e prever eventos hidrológicos tais como chuvas e vazões extremas, períodos de secas, ocorrência de cheias e inundações, dentre outros (BESKOW *et al.*, 2015; BESKOW *et al.*, 2016; CASSALHO *et al.*, 2019a; CASSALHO *et al.*, 2019b; SERVIDONI *et al.*, 2019).

No que concerne à análise de frequência de cheias, essa análise pode ser realizada de forma local, quando há dados históricos suficientes, ou de forma regional, quando existem poucos dados disponíveis ou mesmo para transferir informações para locais não monitorados (ABIDA; ELLOUZE, 2008; OUDIN *et al.*, 2010). Ainda, segundo Cassalho *et al.* (2017), a análise local de frequência de cheias relaciona a frequência da ocorrência de vazões extremas com suas respectivas magnitudes.

Meng *et al.* (2007) definem a análise de frequência de cheias como uma abordagem estatística que usa dados referentes às vazões máximas anuais para estabelecer uma relação entre a magnitude das cheias e seus períodos de retorno. Ademais, engenheiros e hidrólogos utilizam essa técnica principalmente para estimar vazões de pico para certas probabilidades de não excedência (BHAGAT, 2017; BHAT *et al.*, 2019).

Dentre os diversos métodos abordados em estudos referentes à análise de frequência de cheias e inundações, as análises de frequências locais e regionais têm atraído a atenção de pesquisadores, sendo que a análise de frequências

locais pode ser aplicada como um meio de verificar a acurácia de análises regionais, assim como pode ser utilizada em modelos hidrológicos de chuva-vazão (NOTO; LA LOGGIA, 2009; RAHMAN *et al.*, 2013). Segundo Hassan, Hayat e Noreen (2019), a análise local da frequência de cheias é considerada a técnica mais direta para estimativa da magnitude e frequência desses eventos extremos.

O objetivo da análise de frequência de cheias é estimar o período de retorno associado à magnitude de um determinado evento, ou seja, baseado em um modelo de distribuição, essa técnica possibilita que sejam feitas inferências sobre a probabilidade da ocorrência futura de eventos de diversas magnitudes (GURU; JHA, 2014; RAHMAN *et al.*, 2013). Em outras palavras, o objetivo primário da análise de frequência de cheias é relacionar a magnitude de eventos extremos (*i. e.* vazões máximas) com a frequência com que esses eventos ocorrem, através do uso de funções densidade de probabilidade (RAO; HAMED, 2019). Ainda, cabe salientar que a análise local de frequência de cheias pode ser aplicada quando há séries históricas de longo período para o local em questão, porém essa técnica não é capaz de prover estimativas em locais sem estações de monitoramento (BASU; SRINIVAS, 2015).

O gerenciamento e a gestão dos recursos hídricos são altamente dependentes de informações temporais obtidas através do monitoramento hidrológico (BESKOW *et al.*, 2016). Estudos de vazões, por exemplo, geralmente são realizados com base em séries hidrológicas históricas (BESKOW *et al.*, 2013).

Rahman *et al.* (2013) salientam que a análise local de frequências de cheias necessita de séries de dados suficientemente longas, porém, segundo Ahmad, Fawad e Mahmood (2015), na maioria dos locais o conjunto de dados é pequeno quando comparado com os períodos de retorno de interesse. Mosaffaei (2015) também corrobora esse fato, ressaltando que as séries de vazões máximas anuais, em países em desenvolvimento, são geralmente muito curtas para que seja possível se fazer estimativas confiáveis de eventos extremos.

No Brasil, a rede hidrometeorológica nacional, administrada pela Agência Nacional de Águas e Saneamento Básico (ANA), é a principal fonte fornecedora de dados hidrológicos. Apesar de ser uma rede bastante extensa e que vem sendo ampliada nos últimos anos, ela ainda não abrange a totalidade dos corpos

hídricos do país (BRESSIANI *et al.*, 2015). De fato, sendo o Brasil um país muito extenso territorialmente e muito rico em recursos hídricos, dificilmente a rede de monitoramento hidrológico cobrirá toda a hidrografia do território nacional. Ainda, segundo Tucci (2000), os custos de implantação, operação e manutenção de redes de monitoramento hidrológico são muito altos.

Sendo assim, torna-se necessário o uso de métodos indiretos para a estimação de variáveis hidrológicas (BESKOW *et al.*, 2016). Ahmad, Fawad e Mahmood (2015), também enfatizando essa questão, observam que a estimativa de vazões de projeto geralmente requer certas extrapolações acerca da magnitude dessas variáveis.

#### **4.3 Triagem dos dados**

Nos últimos anos, mudanças nos padrões climáticos, tanto em escala regional quanto em escala global, têm se tornando uma questão de grande interesse no âmbito científico na área de hidrologia, pois essas mudanças podem influenciar certos fenômenos hidrológicos (COOPERSMITH *et al.*, 2014; DO VALE MOREIRA *et al.*, 2019; PENEREIRO; ORLANDO., 2013). Estudos relativos às mudanças climáticas têm sido abordados por pesquisadores em estudos referentes a diversos componentes do ciclo hidrológico, em especial no que concerne à identificação de possíveis tendências ou outros fatores de não estacionariedade nas séries de dados hidrológicos (ÁVILA *et al.*, 2014; ULIANA *et al.*, 2015).

Diversos estudos acerca de processos hidrológicos necessitam de uma etapa de triagem dos dados, sendo que essa triagem é realizada geralmente com base em premissas estatísticas ou simplesmente se estabelecendo algum cenário histórico específico. A triagem das séries históricas, a fim de identificar possíveis tendências e séries hidrológicas não estacionárias, é importante para a gestão e o manejo de bacias hidrográficas, pois possibilita a análise do comportamento temporal de variáveis hidrológicas (JOSEPH *et al.*, 2013; ULIANA *et al.*, 2015).

No que concerne à estimativa de valores máximos de vazão, por exemplo, a triagem dos dados é essencial pois os métodos desenvolvidos para esse fim geralmente consideram determinadas premissas estatísticas acerca das séries históricas utilizadas (HODGKINS *et al.*, 2017; NAGHETTINI, 2017). As

premissas estatísticas que geralmente são avaliadas para garantir a estimativa correta de variáveis hidrológicas são as premissas de estacionariedade, homogeneidade, aleatoriedade e independência. Segundo Naghettini (2017), essas premissas podem ser definidas como:

- Estacionariedade: pode ser definida de forma que, excluídas as variações aleatórias, as observações amostrais não apresentam tendências temporais;
- Homogeneidade: refere-se ao fato de que todos os elementos de uma certa amostra provêm da mesma população;
- Aleatoriedade e independência: referem-se, respectivamente, ao fato de que as flutuações de uma certa variável são decorrentes de fatores naturais e que as observações presentes de uma amostra não influenciam nas demais.

Os testes não paramétricos são os mais comumente utilizados para avaliar as premissas estatísticas nas quais os métodos de previsão de vazões são baseados, tais como as premissas de estacionariedade, homogeneidade, aleatoriedade e independência. Ainda, a aplicação de testes não paramétricos em séries hidrológicas é recomendada a fim de eliminar as séries históricas que possuam tendências temporais ou que não estejam de acordo com as demais premissas estatísticas necessárias para previsão das variáveis hidrológicas (SALVIANO; GROOPPO; PELLEGRINO, 2016). Segundo Naghettini (2017), esses testes têm a vantagem de não presumir a normalidade amostral, mantendo as distribuições de probabilidades invariáveis independente da distribuição populacional.

Diversos autores salientam que devido aos efeitos das mudanças climáticas não é válido se presumir que os dados analisados são estacionários, logo a estacionariedade desses dados deve ser avaliada com base em testes estatísticos (BURN; WHITFIELD, 2016; FAULKNER; WARREN; BURN, 2016; MEDIERO *et al.*, 2015). Segundo Yue *et al.* (2002), a maioria das análises de estacionariedade em séries hidrológicas já assumem que os dados das séries

são independentes. Sendo assim, via de regra, a etapa de triagem de séries históricas de vazões máximas anuais tem sido conduzida no Brasil considerando apenas a premissa de estacionariedade, principalmente usando o teste de tendência monotônica de Mann-Kendall (BESKOW *et al.*, 2016; CASSALHO *et al.*, 2019a).

Não obstante, para as bacias hidrográficas maiores, em especial, pode ser moroso e complexo identificar caso a caso a existência de interferências antrópicas e/ou a partir de quando estas interferências estão impactando as características estatísticas das séries históricas, adicionando níveis de incertezas às análises hidrológicas. Ainda, segundo Zhang, Stadnyk e Burn (2019), as características da área de contribuição das bacias hidrográficas analisadas devem ser estáveis e livres de efeitos de regulação durante o período histórico dos dados analisados, bem como os dados de vazões coletados devem ser originários de eventos extremos independentes, corroborando o uso dos demais testes estatísticos previamente citados.

Conforme discutido até aqui, para certos métodos empregados em estudos na área da hidrologia, como, por exemplo, a análise local da frequência de cheias, os dados da variável hidrológica em questão (vazões máximas) devem ser não somente estacionários, mas também independentes, aleatórios e homogêneos. Essas premissas são geralmente avaliadas por testes estatísticos não paramétricos, afim de reduzir possíveis erros nas etapas subsequentes dos métodos de modelagem hidrológica.

#### **4.4 Ajuste das Funções Densidade de Probabilidade**

Segundo Naghettini e Pinto (2007), as variações temporais e espaciais dos fenômenos hidrológicos podem ser descritas pelas variáveis hidrológicas. Ainda, se os valores possíveis de uma dada variável estiverem integralmente compreendidos no subconjunto dos números inteiros, essa variável é denominada como variável discreta e se uma variável aleatória  $X$  pode assumir qualquer valor real, essa variável é classificada como contínua (NAGHETTINI; PINTO, 2007). A distribuição probabilística dessas variáveis é feita através de uma função densidade de probabilidade (FDP). Ou seja, é a função densidade

de probabilidade que descreve a probabilidade relativa de uma variável aleatória tomar um dado valor qualquer.

A escolha da função densidade de probabilidade e a estimação adequada de seus parâmetros são de suma importância para estudos relativos a eventos hidrológicos extremos (RAHMAN *et al.*, 2013). Segundo esses mesmos autores, a escolha de uma FDP errada pode levar a erros significativos na estimativa de vazões de projeto. Ademais, Guru e Jha (2014) salientam que, principalmente para altos períodos de retorno, a escolha errada de uma FDP pode acabar subestimando ou superestimando a magnitude dos eventos de cheias, o que pode causar sérios problemas em projetos de estruturas hidráulicas.

Diversos estudos têm analisado FDPs para modelagem probabilística de vazões máximas, porém, dada a sua inherente complexidade, poucos estudos têm focado em FDPs com mais de três parâmetros (RAHMAN *et al.*, 2014). Segundo Beskow *et al.* (2015), FDPs mais simples como as Log-Normal de 2 e 3 parâmetros e a Gumbel são as mais utilizadas no Brasil para modelagem probabilística de variáveis hidrológicas extremas máximas (e.g. chuva máxima diária anual), sendo que diversos estudos podem ser encontrados acerca da utilização dessas FDPs para modelagem hidrológica (e. g. BACK *et al.*, 2011; CALDEIRA *et al.*, 2015; MELLO; VIOLA, 2013; SANSIGOLO, 2008; SANTOS *et al.*, 2009; SOUZA *et al.*, 2012).

Apesar de essas funções tradicionalmente utilizadas apresentarem resultados satisfatórios, diversos autores destacam que o uso de FDPs multiparâmetros pode resultar em estimativas mais acuradas (RAHMAN *et al.*, 2014; CASSALHO *et al.*, 2017). Segundo Cunnane (1989), as FDPs para a modelagem de cheias geralmente requerem de 2 a 4 parâmetros.

Ainda, Zhang, Stadnyk e Burn (2019) salientam que o aumento no número de parâmetros utilizados em uma FDP melhora a flexibilidade do ajuste, porém também aumenta as incertezas relativas a erros de estimativa desses parâmetros. Não obstante, Bobée e Rasmussen (1993) alegam que as FDPs utilizadas para modelagem de frequências de cheias deveriam ter no mínimo 3 parâmetros a fim de garantir que sejam capazes de englobar a grande variabilidade dos dados relativos a vazões máximas.

Diversos estudos, objetivando mostrar a superioridade de FDPs multiparâmetros, têm avaliado os resultados obtidos por FDPs mais robustas,

tais como a Generalized Extreme Value (GEV), a Generalized Logistic (GLO), a Generalized Normal (GNO) e a Pearson tipo III (PE3). Nesses estudos demonstrou-se que, de fato, essas FDPs multiparâmetros apresentam melhores resultados em comparação às FDPs tradicionalmente utilizadas no Brasil (AHMAD *et al.*, 2013; BESKOW *et al.*, 2015; CASSALHO *et al.*, 2018; CASSALHO *et al.*, 2019b; FRANCO *et al.*, 2014; RAHMAN *et al.*, 2013).

Beskow *et al.* (2015), em estudo realizado acerca do uso de FDPs multiparâmetros para a modelagem de chuvas extremas no sul do Brasil, avaliaram o ajuste das FDPs Gumbel, Log Normal de 2 parâmetros, GEV e Kappa. Por meio testes de qualidade de ajuste utilizados em seu estudo, esses autores demonstraram que as FDPs multiparâmetros podem contribuir para resultados mais precisos para a geração de curvas IDF, bem como na estimativa de vazões de pico e na construção de hietogramas e hidrogramas de projeto.

Corroborando isso, o estudo de Cassalho *et al.* (2017), realizado no extremo sul do Brasil, porém acerca do uso de FDPs multiparâmetros para a modelagem de vazões máximas, teve resultados que também demonstraram a superioridade das FDPs multiparâmetros. Ainda, esses mesmos autores salientam que o uso de FDPs multiparâmetros já é mais difundido em locais fora do Brasil.

Na Austrália, por exemplo, FDPs com 3 ou mais parâmetros têm sido amplamente utilizadas (LAM *et al.*, 2017). Essa tendência também tem sido evidenciada em diversos outros estudos em países como a Índia (KUMAR *et al.*, 2003), a Itália (NOTO; LA LOGGIA, 2009) e a Turquia (AYDOGAN *et al.*, 2016). A função GEV, por exemplo, tem sido recomendada por agências governamentais de pesquisa da Austrália, Áustria, Alemanha, Itália e Espanha (SALINAS *et al.*, 2014; BALL *et al.*, 2016)

Não obstante, vale salientar que uma variável aleatória contínua pode ser representada por mais de uma FDP e que a escolha da função com melhor ajuste às séries de dados é feita com base em testes estatísticos não paramétricos (BESKOW *et al.*, 2015). A escolha e ajuste dos parâmetros de uma FDP é considerada, então, uma questão de testes de hipóteses estatísticas que são baseados em critérios de qualidade de ajuste (LAIO; DI BALSASSARRE; MONTANARI *et al.*, 2009; LAIO *et al.*, 2011).

Sendo assim, o teste de Filliben destaca-se como uma técnica utilizada em diversos estudos acerca de análises de frequências locais e regionais de eventos

extremos para analisar a qualidade do ajuste das FDPs (BESKOW *et al.*, 2015; CASSALHO *et al.*, 2017). Ainda, outros testes como os testes não paramétricos de Anderson-Darling, Kolmogorov-Smirnov e Qui-Quadrado ( $\chi^2$ ) também são amplamente utilizados com a mesma finalidade (BESKOW *et al.*, 2015; BESKOW *et al.*, 2016; CASSALHO *et al.*, 2019b).

Diversas FDPs já foram apontadas como as mais indicadas em certos países. Nos EUA, por exemplo, a função log Pearson III foi sugerida para modelagem de eventos extremos, já a função GLO e a função Pearson III foram sugeridas no Reino Unido e na China, respectivamente (AHMAD; FAWAD; MAHMOOD, 2015). Na Austrália, por sua vez, as funções log Pearson III, GEV e GPA foram sugeridas como as 3 distribuições com os melhores ajustes (RAHMAN *et al.*, 2013).

Apesar da existência de estudos que indicam FDPs adequadas em determinadas localidades, a escolha e definição de qual FDP melhor se ajusta a uma determinada série de dados devem se basear na comparação entre as frequências teóricas e as frequências observadas, sendo que essa comparação deve ser feita por meio de testes estatísticos não paramétricos (MELLO; SILVA, 2013). Ainda, cabe salientar que não há base teórica para a escolha de uma única FDP para todos os pontos de um país (CALENDA; MANCINI; VOLPI, 2009). Sendo assim, a seleção de apenas uma FDP deve ser evitada, uma vez que pode haver diversas funções que demonstrariam bons resultados em diferentes testes de qualidade de ajuste (CALENDA; MANCINI; VOLPI, 2009; DI BALDASSARRE; LAIO; MONTANARI, 2009; KIDSON; RICHARDS, 2005; RAHMAN *et al.*, 2013).

#### **4.5 Métodos de estimação dos parâmetros de ajuste das Funções Densidade de Probabilidade**

Diversos estudos podem ser encontrados na literatura acerca da comparação entre várias Funções Densidade de Probabilidade (FDP) com diferentes métodos utilizados para a estimação dos seus parâmetros de ajuste (AHMAD; FAWAD; MAHMOOD, 2015; DRISSIA; JOTHPRAKASH; ANITHA, 2019; HADDAD; RAHMAN, 2011; RAHMAN *et al.*, 2013). Segundo Hassan, Hayat e Noreen (2019), os métodos mais comumente utilizados para a estimação dos

parâmetros de ajuste das FDPs são: o método da máxima verossimilhança, o método dos momentos, o método dos momentos ponderado por probabilidade e o método dos momentos-L, sendo que recentemente, segundo esses autores, o método dos momentos-L tem despertado mais a atenção dos pesquisadores na área.

Ahmad, Fawad e Mahmood (2015) salientam que a ocorrência de dados extremos faz com que algumas FDPs sejam negativamente impactadas, tais como o modelo gaussiano, bem como faz com que certos métodos de estimação de parâmetros não sejam os mais adequados (e.g. método da máxima verossimilhança e método dos momentos). Ainda, segundo esses mesmos autores, esses dados não podem ser simplesmente ignorados uma vez que eles podem ser indicativos de mudanças abruptas nos fenômenos hidrológicos estudados.

Outros autores também enfatizam as limitações que alguns métodos de estimação de parâmetros podem ter. Segundo Haddad e Rahman (2011), o método dos momentos é significativamente influenciado pela presença de valores pequenos, os quais não constituiriam eventos de cheias. Ademais, esses mesmos autores salientam que os momentos de ordens mais elevadas (e.g. coeficiente de variação e assimetria) são muito afetados por valores extremos nas séries de dados.

Não obstante, o método dos momentos-L (HOSKING, 1990) tem sido amplamente utilizado como uma alternativa metodológica para estimação de parâmetros na análise de frequência de cheias (NOTO; LA LOGGIA, 2009). Esse método mostra-se como uma boa alternativa aos métodos tradicionais, uma vez que ele é mais robusto na presença de outliers, o que faz com que ele seja menos impactado por dados extremos (HOSKING, 1990). Segundo Guru e Jha (2014), o método dos momentos-L é análogo ao método dos momentos convencional, porém os momentos-L são estimados mediante combinações lineares de outros parâmetros estatísticos.

A introdução do método dos momentos-L por Hosking (1990) como uma técnica para a estimar os parâmetros das FDPs é considerada uma grande realização na área da estatística e probabilidade (GURU; JHA, 2014). Segundo KOUSAR *et al.* (2020), recentemente, o método dos momentos-L tem recebido considerável atenção na área de hidrologia estatística, sendo amplamente

utilizado para a estimação de parâmetros amostrais para análise de frequência de cheias, uma vez que esse método é menos complicado e demanda menor capacidade de processamento computacional do que outros métodos (e.g. máxima verossimilhança).

O método dos momentos-L tem a vantagem de prover melhores ajustes para a cauda superior das FDPs, uma vez que esse método é menos impactado por valores extremos (WANG, 1997). Ainda, segundo Drissia, Jothiprakash e Anitha (2019), os momentos-L podem ser mais facilmente interpretados como medidas da forma das distribuições. Esses mesmos autores salientam também que, embora o método dos momentos-L tenha sido desenvolvido para análise regional de frequências de cheias, ele também é amplamente utilizado em estudos de análise de frequências locais.

A principal vantagem dos momentos-L em comparação aos métodos convencionais de estimativa de parâmetros é que os momentos-L são capazes de caracterizar uma quantidade maior de distribuições e, também, estão menos sujeitos a estimativas enviesadas e são mais robustos à presença se outliers (NOTO; LA LOGGIA, 2008). Ainda, esse método é menos afetado por valores extremos, gerando resultados mais confiáveis quando comparado com os métodos convencionais (AYDOGAN *et al.*, 2016).

## 5. Materiais e Métodos

### 5.1 Área de Estudo

A área desse estudo comprehende todo o território brasileiro. Com uma área total de 8.515.759km<sup>2</sup>, o Brasil ocupa quase a metade da América do Sul, sendo o quinto maior país do mundo. Ainda, o Brasil é um país muito rico em quantidade de recursos hídricos, dividido em 8 grandes bacias hidrográficas, sendo elas (Figura 1): Bacia do Rio Amazonas, Bacia dos Rios Tocantins/Araguaia, Bacia do Atlântico Norte/Nordeste, Bacia do Rio São Francisco, Bacia do Atlântico Leste, Bacia dos Rios Paraná/Paraguai, Bacia do Rio Uruguai e Bacia do Atlântico Sudeste.

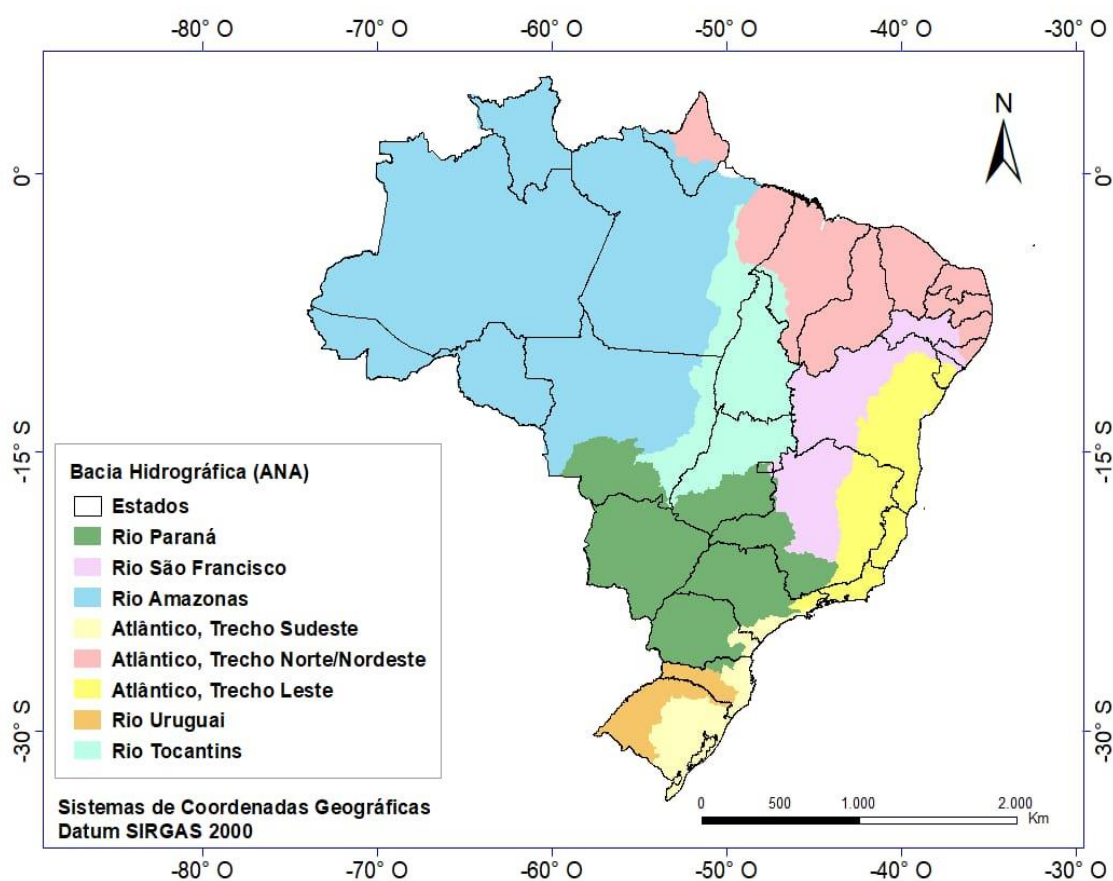


Figura 1: Divisão das 8 grandes bacias hidrográficas do Brasil conforme a Agência Nacional de Águas e Saneamento Básico (ANA)

## **5.2 Obtenção dos dados e constituição de séries**

Os dados de vazão foram obtidos para todas as estações fluviométricas existentes no HidroWeb - Sistema de Informações Hidrológicas da Agência Nacional de Águas e Saneamento Básico (ANA), agrupados em 8 grandes bacias hidrográficas. A etapa correspondente à aquisição dos dados de vazão dos rios em todo território nacional foi realizada por meio de linguagem de programação com base em um script desenvolvido em linguagem R.

Após a aquisição desses dados, prosseguiu-se com a constituição das séries históricas de vazão máxima anual (VMA) a partir dos dados hidrológicos obtidos na etapa anterior, considerando 31 dias por ano como limiar de falhas. Ou seja, inicialmente foram selecionados todos os arquivos contendo dados de estações fluviométricas em funcionamento disponíveis no HidroWeb e, a partir desses arquivos, foram constituídas as séries de vazões máximas anuais. Ainda, cabe salientar que essa etapa também foi desenvolvida a partir de script em linguagem de programação R para automatização do processo.

## **5.3 Triagem das séries**

### **5.3.1 Triagem temporal**

Posteriormente à aquisição dos dados e constituição das séries de VMA, realizou-se uma triagem destas séries considerando apenas aquelas com pelo menos 30 anos de dados a partir do ano de 1980, seguindo o recomendado como tamanho mínimo de série pela Organização Meteorológica Mundial (WMO, 2011). Já a seleção de um período cronológico específico foi feita pois a definição de um intervalo de tempo comum entre todas as séries analisadas elimina ou diminui os efeitos relativos à variabilidade climática natural (CUNDERLIK; OURDA, 2009). Essa etapa de triagem também foi realizada com o suporte de scripts elaborados na linguagem de programação R.

### 5.3.2 Triagem estatística

Após a primeira etapa de triagem, com base em um critério cronológico e no tamanho das séries, cada uma das séries de VMA que se enquadram dentro desses critérios foi avaliada quanto a quatro premissas estatísticas, sendo elas: estacionariedade, independência, homogeneidade e a aleatoriedade. Para isso foram aplicados os seguintes testes: Mann-Kendall (KENDALL, 1975; MANN, 1945), Wald e Wolfowitz (WALD; WOLFOWITZ, 1943), Mann-Whitney (MANN; WHITNEY, 1947) e NERC (NERC, 1975).

No presente estudo foram considerados os 4 testes descritos acima, todos ao nível de 5% de significância. Esses testes consideram como hipótese nula ( $H_0$ ) a premissa a qual estão avaliando e, então, retêm-se essa hipótese quando  $p>0,05$  (NAGHETTINI, 2017; MELLO; SILVA, BESKOW, 2020). Somente as séries que passaram por esses quatro testes foram consideradas para as análises seguintes. A implementação dos testes não paramétricos foi baseada nas recomendações de MELLO; SILVA, BESKOW (2020) e NAGHETTINI (2017). Os testes não paramétricos utilizados nesse estudo seguiram os equacionamentos descritos a seguir.

- O teste de Mann-Kendall (KENDALL, 1975; MANN, 1945) é utilizado para identificar tendências em séries temporais. A estatística desse teste é dada por:

$$S = \sum_{k=1}^{n-1} \sum_{j=k+1}^n sign(x_j - x_k) \quad (1)$$

Sendo,

$$\text{sign}(x) = \begin{cases} 1, & \text{se } x>0 \\ 0, & \text{se } x=0 \\ -1, & \text{se } x<0 \end{cases} \quad (2)$$

Ainda, é possível mostrar que  $S$  é normalmente distribuída, isto é,  $S \sim N(\mu, \sigma^2)$ , sendo  $\mu$  a média e  $\sigma^2$  a variância com:

$$\mu = 0 \quad (3)$$

$$\sigma^2 = \frac{n(n-1)(2n+5) - \sum_{j=1}^P t_j(t_j-1)(2t_j+5)}{18} \quad (4)$$

Onde:

$n$  é o número de observações,  $P$  é o número de grupos com observações iguais e  $t_j$  é o número de observações iguais no grupo  $j$ .

Ainda, se o número de observações for maior do que 30, a estatística do teste é calculada por:

$$Z = \begin{cases} \frac{S-1}{\sigma}, & \text{se } S > 0 \\ 0, & \text{se } S = 0 \\ \frac{S+1}{\sigma}, & \text{se } S < 0 \end{cases} \quad (5)$$

A decisão de rejeitar a hipótese nula ( $H_0$ ) é dada por:

$$|Z| > Z_{(1-\frac{\alpha}{2})} \quad (6)$$

Sendo  $\alpha$  o nível de significância de  $Z$ .

- O teste de Wald e Wolfowitz (WALD; WOLFOWITZ, 1943) é utilizado para identificar se os valores dentro de uma série são independentes. A estatística desse teste é dada por:

$$T = \frac{r - E(r)}{\sqrt{var(r)}} \quad (7)$$

Onde:

$E(r)$  é a esperança de  $r$  e  $var(r)$  é a variância. As estimativas de  $r$ ,  $E(r)$  e  $var(r)$  são dadas por:

$$r = (\sum_{i=1}^{n-1} Y'_i Y'_{1+i}) + Y'_N Y'_N \quad (8)$$

Sendo que:

$Y'_i, Y'_{1+i}$ , etc, consiste da subtração dos Y valores da série histórica pela média dos dados. Isto é:

$$Y' = Y - \bar{Y} \quad (9)$$

Ainda, a esperança ( $E(r)$ ) e sua variância são obtidas por:

$$E(r) = -\frac{S_2}{N-1} \quad (10)$$

$$var(r) = \left(\frac{S_2^2 - S_4}{N-1}\right) + \left(\frac{S_2^2 - 2S_4}{(N-1)(N-2)}\right) + \left(\frac{S_2^2}{(N-1)^2}\right) \quad (11)$$

Onde  $S_2$  e  $S_4$  são os momentos amostrais de 2ª e 4ª ordem dados por:

$$S_2 = \sum_{i=1}^N (Y'_i)^2 \quad (12)$$

$$S_4 = \sum_{i=1}^N (Y'_i)^4 \quad (13)$$

- O teste de Mann-Whitney (MANN; WHITNEY, 1947) testa a homogeneidade de um conjunto de dados. Isto é, esse teste avalia se todos os elementos de uma certa amostra provêm de uma única e idêntica população. A estatística desse teste é dada por:

$$T = \frac{V - E(V)}{\sqrt{var(V)}} \quad (14)$$

A decisão de rejeitar a hipótese nula ( $H_0$ ) é dada por:

$$|T| > Z_{(1-\frac{\alpha}{2})} \quad (15)$$

Sendo  $\alpha$  o nível de significância de  $Z$ .

Ainda, o cálculo de  $V$ ,  $E(V)$  e  $var(V)$  é dado por:

$$V_1 = N_1 N_2 + \frac{N_1(N_1+1)}{2} - H_1 \quad (16)$$

Onde:

$V_1$  é o valor de  $V$  para a primeira subamostra,  $N_1$ ,  $N_2$  e  $H_1$  são, respectivamente, o número de dados da primeira subamostra, o número de dados da segunda subamostra e a soma das ordens de classificação da série histórica da primeira subamostra.

$$V_2 = N_1 N_2 - V_1 \quad (17)$$

Onde:

$V_2$  é o valor de  $V$  da segunda subamostra.

O valor de  $V$  a ser adotado no cálculo de  $T$  (Equação 14) deve ser o menor valor entre  $V_1$  e  $V_2$ .

$$E(V) = \frac{N_1 N_2}{2} \quad (18)$$

$$var(V) = \frac{N_1 N_2 (N_1 + N_2 + 1)}{12} \quad (19)$$

- O teste de NERC (NERC, 1975) avalia a aleatoriedade dos dados estudados. No caso de séries hidrológicas, a hipótese de aleatoriedade assume que as variações nos dados são devidas a causas naturais. A estatística desse teste é dada por:

$$T = \frac{Ni - E(Ni)}{\sqrt{var(Ni)}} \quad (20)$$

Onde:

$N_i$  é o número de inflexões observadas na série histórica e  $E(N_i)$  e  $\text{var}(N_i)$  são a esperança e a variância de  $N_i$ , respectivamente.

$$E(N_i) = \frac{2(N-2)}{3} \quad (21)$$

$$\text{var}(N_i) = \frac{16N-29}{90} \quad (22)$$

A decisão de rejeitar a hipótese nula ( $H_0$ ) é dada por:

$$|T| > Z_{(1-\frac{\alpha}{2})} \quad (23)$$

Por fim, no que concerne aos testes não paramétricos, cabe salientar que essa etapa de triagem estatística foi desenvolvida com o suporte de scripts elaborados na linguagem de programação R para a execução dos 4 testes e a exportação de resultados.

#### 5.4 Funções Densidade de Probabilidade

Conforme dito anteriormente, a escolha da função densidade de probabilidade (FDP) e a estimativa adequada de seus parâmetros são etapas fundamentais em estudos relativos a eventos hidrológicos extremos (RAHMAN *et al.*, 2013). Diversos estudos têm analisado o uso de diferentes FDPs para a modelagem probabilística de vazões máximas (RAHMAN *et al.*, 2014), sendo que as FDPs mais simples como as Log-Normal de 2 e 3 parâmetros e a Gumbel são as mais comumente utilizadas no Brasil (BESKOW *et al.*, 2015). Entretanto, diversos autores salientam que uso de FDPs multiparâmetros pode resultar em melhores estimativas. Sendo assim, esse estudo fez uso das seguintes FDPs:

- Normal
- Gamma;
- Generalized Extreme Value (GEV);
- Generalized Logistic (GLO);
- Generalized Pareto (GPA);

- Gumbel;
- Kappa;
- Log-Normal de 3 parâmetros (LN3);
- Pearson tipo 3 (PE3);
- Wakeby (WAK);
- Generalized Normal (GNO).

Todas as FDPs listadas acima foram ajustadas a todas as séries de VMA que passaram nas etapas de triagem descritas anteriormente. O ajuste dessas funções foi feito com o suporte de scripts elaborados na linguagem de programação R, utilizando a biblioteca *Imom*, para a estimativa dos parâmetros de cada uma das funções, o ajuste propriamente dito e a exportação dos dados. As FDPs mencionadas são descritas matematicamente abaixo:

- Normal

$$f(x) = \frac{1}{\sigma\sqrt{2\pi}} \exp\left[-\frac{1}{2}\left(\frac{x-\mu}{\sigma}\right)^2\right] \quad (24)$$

Onde: x é a variável sob análise,  $\mu$  é a média e  $\sigma$  é o desvio padrão.

- Gamma

$$f(x) = \frac{x^{\alpha-1} \exp\left[-\frac{x}{\beta}\right]}{\beta^\alpha \Gamma(\alpha)} \quad (25)$$

Onde: x é a variável sob análise,  $\beta$  é o parâmetro de escala e  $\alpha$  é o parâmetro de forma.

- GEV

$$f(x) = \frac{1}{\beta} \left( (1 - \alpha) \left( \frac{x - \xi}{\beta} \right) \right)^{\frac{1}{\alpha-1}} \exp\left[ - \left( (1 - \alpha) \left( \frac{x - \xi}{\beta} \right) \right)^{\frac{1}{\alpha}} \right] \quad (26)$$

Onde:  $x$  é a variável sob análise,  $\xi$  é o parâmetro de posição,  $\beta$  é o parâmetro de escala e  $\alpha$  é o parâmetro de forma. Ainda, para  $\alpha > 0$  a distribuição GEV tem seu limite superior expresso por  $\omega = \xi + \frac{\beta}{\alpha}$  e para  $\alpha < 0$  a distribuição GEV tem seu limite inferior dado por  $\varepsilon = \xi + \frac{\beta}{\alpha}$ .

- GLO

$$f(x) = \frac{\beta \exp[-(1-\alpha)y]}{(1+\exp[-y])^2} \quad (27) \qquad y = -\alpha^{-1} \log \left[ \frac{1-\alpha(x-\xi)}{\beta} \right] \quad (28)$$

Onde:  $x$  é a variável sob análise,  $\xi$  é o parâmetro de posição,  $\beta$  é o parâmetro de escala e  $\alpha$  é o parâmetro de forma.

- GPA

$$f(x) = \beta^{-1} \exp[-(1-\alpha)y] \quad (29) \qquad y = -\alpha^{-1} \log \left[ \frac{1-\alpha(x-\xi)}{\beta} \right] \quad (30)$$

Onde:  $x$  é a variável sob análise,  $\xi$  é o parâmetro de posição,  $\beta$  é o parâmetro de escala e  $\alpha$  é o parâmetro de forma.

- Gumbel

$$f(x) = \beta \exp[-\beta(x - \xi) - \exp[-\beta(x - \xi)]] \quad (31)$$

Onde:  $x$  é a variável sob análise,  $\xi$  é o parâmetro de posição e  $\beta$  é o parâmetro de escala.

- Kappa

$$f(x) = \beta^{-1} \left[ \frac{1-k(x-\xi)}{\beta} \right]^{\frac{1}{k-1}} [F(x)]^{1-h} \quad (32)$$

Onde:  $x$  é a variável sob análise,  $\xi$  é o parâmetro de posição e  $\beta$  é o parâmetro de escala e  $k$  e  $h$  são parâmetros relativos à forma da distribuição. Ainda,  $F(x)$  é a Função Cumulativa de probabilidade (FCP), dada por:

$$F(x) = \left\{ 1 - h \left[ \frac{1-k(x-\xi)}{\beta} \right]^{\frac{1}{k}} \right\}^{\frac{1}{h}} \quad (33)$$

Onde: para  $k>0$ , o limite superior da distribuição Kappa é definido por  $\omega = \xi + \frac{\beta}{k}$  e para  $k<0$ , o limite inferior dessa distribuição é dado por  $\varepsilon = \xi + \frac{\beta(1-h^{-k})}{k}$ . Ainda, se  $h\leq 0$  e  $k<0$ ,  $x$  tem limite inferior em  $\varepsilon = \xi + \frac{\beta}{k}$  e para  $h\leq 0$  e  $k\geq 0$ ,  $x$  não tem limite inferior.

- LN3

$$f(x) = \frac{1}{\beta\sqrt{2\pi}} \left[ -\ln \left( \frac{1-\alpha(x-\xi)}{\beta} \right) - \frac{1}{2} \left[ -\frac{1}{\alpha} \ln \left( \frac{1-\alpha(x-\xi)}{\beta} \right) \right]^2 \right] \quad (34)$$

Onde:  $x$  é a variável sob análise,  $\xi$  é o parâmetro de posição,  $\beta$  é o parâmetro de escala e  $\alpha$  é o parâmetro de forma.

- PE3

$$f(x) = \frac{(x-\xi)^{\alpha-1} \exp\left[-\frac{x-\xi}{\beta}\right]}{\beta^\alpha \Gamma(\alpha)} \quad (35)$$

Onde:  $x$  é a variável sob análise,  $\xi$  é o parâmetro de posição,  $\beta$  é o parâmetro de escala,  $\alpha$  é o parâmetro de forma e  $\Gamma$  representa a função gamma. Ainda:

$$\alpha = \frac{4}{\gamma^2} \quad (36)$$

$$\beta = \frac{1}{2}\sigma|\gamma| \quad (37)$$

$$\xi = \mu - \frac{2\sigma}{\gamma} \quad (38)$$

Onde:  $\mu$  é a média,  $\sigma$  é o desvio padrão e  $\gamma$  é a assimetria.

- Wakeby

Diferentemente das FDPs descritas nesta seção, a Wakeby não pode ser definida analiticamente, uma vez que não há uma expressão explícita para sua FDP ( $f(x)$ ), nem para a sua FCP ( $F(x)$ ). Entretanto, a função inversa da FCP, *i. e.* a equação para estimar o quantil, pode ser definida (HOSKING; WALLIS, 1997; NAGHETTINI; SILVA, 2017; RAHMAN *et al.*, 2014). A função quantil para a FDP Wakeby é dada por:

$$x(F) = \xi + \frac{\beta}{\alpha} [1 - (1 - F)^{\alpha}] - \frac{\gamma}{\delta} [1 - (1 - F)^{\delta}] \quad (39)$$

Onde:  $\xi$  é o parâmetro de posição,  $\beta$  e  $\gamma$  são parâmetros de escala e  $\alpha$  e  $\delta$  são parâmetros de forma.

- GNO

Essa função é uma generalização da função relativa à distribuição normal. O desenvolvimento dessa equação, bem como as formas finais da  $f(x)$  e  $F(X)$  podem ser visualizadas em Das (2018) e Nadarajah (2005).

## 5.5 Método dos Momentos-L

A estimação dos parâmetros de cada função densidade de probabilidade foi feita através do método dos Momentos-L. Segundo Aydogan *et al.* (2016), Hosking (1990) introduziu os momentos-L como uma combinação linear dos momentos ponderados por probabilidade (MPP) definidos por Greenwood *et al.* (1979). O método dos momentos ponderados por probabilidade (MPP), método através do qual foi derivado o método dos momentos-L, é expresso por:

$$Mp, r, s = E\{x^p[F(x)^r][1 - F(x)]^s\} \quad (40)$$

Onde:  $x$  é a variável sob análise,  $F(x)$  é a FCP, e “p”, “r” e “s” são números inteiros que representam a ordem dos momentos ponderados por probabilidade. Ainda,

sendo  $x(F)$  a função inversa da FCP, *i. e.* a função usada para estimar os quantis, o  $\beta r$  dos MPP pode ser reescrito como (HOSKING; WALLIS, 1997):

$$\beta r = \int_0^1 x(F) F^r dF \quad (41)$$

Sendo assim, Hosking e Wallis (1997) definem que o momento-L  $\lambda_{r+1}$ , para qualquer ordem ( $r + 1$ ), pode ser obtido através de uma combinação linear com os MPP:

$$\lambda_{r+1} = \sum_{k=0}^r P_{r,k} \beta_k \quad (42)$$

$$P_{r,k} = \frac{(-1)^{r-k}(r+k)!}{(k!)^2(r-k)!} \quad (43)$$

Os 4 primeiros momentos-L ( $\lambda_1$ ,  $\lambda_2$ ,  $\lambda_3$  e  $\lambda_4$ ), referentes à posição, escala, assimetria e curtose, respectivamente, podem ser obtidos por (HOSKING; WALLIS, 1997):

$$\lambda_1 = \beta_0 \quad (44)$$

$$\lambda_2 = 2\beta_1 - \beta_0 \quad (45)$$

$$\lambda_3 = 6\beta_2 - 6\beta_1 + \beta_0 \quad (46)$$

$$\lambda_4 = 20\beta_3 - 30\beta_2 + 12\beta_1 - \beta_0 \quad (47)$$

Finalmente, através da razão entre os momentos-L de maior ordem e  $\lambda_2$ , momento-L referente à escala, obtém-se as versões adimensionais dos momentos-L, *i. e.* assimetria-L e curtose-L. Ainda, o coeficiente de variação-L (CV-L) é calculado através da razão entre o momento de escala pelo de posição (HOSKING; WALLIS, 1997):

$$\tau_r = \frac{\lambda_r}{\lambda_2}, r \geq 3 \quad (48)$$

$$CV_L = \tau = \frac{\lambda_2}{\lambda_1} \quad (49)$$

Dada a equação 48, a assimetria e a curtose para o método dos momentos-L, assimetria-L e curtose-L, podem ser calculadas conforme demonstrado abaixo:

- Assimetria-L

$$\tau_3 = \frac{\lambda_3}{\lambda_2} \quad (50)$$

- Curtose-L

$$\tau_4 = \frac{\lambda_4}{\lambda_2} \quad (51)$$

Quanto à estimativa dos parâmetros propriamente dita, o método dos Momentos-L se assemelha ao método dos momentos. As estimativas dos parâmetros são obtidas ao se equacionar os Momentos-L amostrais com os Momentos-L teóricos correspondentes, resolvendo o sistema de equações resultante para os parâmetros a serem estimados (KOUSAR *et al.*, 2020). Ainda, cabe salientar que todo o procedimento de estimação dos parâmetros com base no método dos momentos-L foi realizado em linguagem de programação R utilizando a biblioteca *lmom* (Hosking, 2019).

## **5.6 Teste de qualidade dos ajustes das Funções Densidade de Probabilidade**

Por fim, a escolha e definição de qual FDP melhor se ajusta a uma determinada série hidrológica deve se basear na comparação entre as frequências teóricas de cada FDP e as frequências observadas dos dados históricos, sendo que, segundo Mello, Silva e Beskow (2020), essa comparação deve ser feita por meio de testes estatísticos não paramétricos.

O teste de Filliben é um teste não paramétrico que tem sido amplamente utilizado para esse fim (BESKOW *et al.*, 2015; CASSALHO *et al.*, 2017). Segundo Beskow *et al.* (2015), esse teste leva em consideração o coeficiente de correlação (*r*) entre os dados observados e os quantis teóricos. Logo, o

coeficiente r-calculado é comparado com um valor de r-crítico, sendo que o valor calculado deve ser maior do que o valor crítico para que a hipótese nula ( $H_0$ ) não seja rejeitada. Ou seja, o r-calculado deve ser maior que o r-crítico para que se considere o ajuste satisfatório do ponto de vista estatístico.

Conforme dito, esse teste estima um coeficiente de correlação ( $r$ ) entre os dados observados ( $X_i$ ) e os quantis teóricos ( $W_i$ ), sendo que os valores de  $W_i$  são obtidos através da inversa da FCP. O equacionamento deste teste se dá conforme descrito abaixo:

$$W_i = F_x^{-1}(q_i) \quad (52)$$

Onde  $F_x^{-1}$  é a inversa da função cumulativa de probabilidade  $F(x)$  e a frequência observada  $q_i$  é obtida através da seguinte equação:

$$q_i = \frac{i-a}{N+1-2a} \quad (53)$$

Onde “i” é a posição ocupada pelo valor da série (ordenada em ordem decrescente), “N” é o tamanho da amostra e “a” é um parâmetro relativo à FDP.

Sendo assim, o coeficiente de correlação (r-calculado) é dado por:

$$r_{calc} = \frac{\sum_{i=1}^N (X_i - \bar{X})(W_i - \bar{W})}{\sqrt{\sum_{i=1}^N (X_i - \bar{X})^2 \sum_{i=1}^N (W_i - \bar{W})^2}} \quad (54)$$

Os valores de r-críticos tabelados em função do tamanho da amostra podem ser visualizados nas Tabelas 1, 2 e 3.

Tabela 1: Valores de r-crítico do teste de Filliben para as FDPs Normal e Log-Normal

Tamanho da Amostra (N)	Significância		
	0,1	0,05	0,01
10	0,9347	0,9180	0,8804
15	0,9506	0,9383	0,9110
20	0,9600	0,9503	0,9290
30	0,9707	0,9639	0,9490
40	0,9767	0,9715	0,9597
50	0,9807	0,9764	0,9664
60	0,9835	0,9799	0,9710
75	0,9865	0,9835	0,9757
100	0,9893	0,9870	0,9812

Fonte: Mello; Silva; Beskow (2020).

Tabela 2: Valores de r-crítico do teste de Filliben, para as FDPs Gumbel e Weibull

Tamanho da Amostra (N)	Significância		
	0,1	0,05	0,01
10	0,9260	0,9084	0,8630
20	0,9517	0,9390	0,9060
30	0,9622	0,9526	0,9191
40	0,9689	0,9594	0,9286
50	0,9729	0,9646	0,9389
60	0,9760	0,9685	0,9467
70	0,9787	0,9720	0,9506
80	0,9804	0,9747	0,9525
100	0,9831	0,9779	0,9596

Fonte: Mello; Silva; Beskow (2020).

Tabela 3: Valores de r-crítico do teste de Filliben para a FDP GEV

Significância	Tamanho da Amostra (N)	Valores de $\xi$					
		-0,3	-0,2	-0,1	0	0,1	0,2
0,01	5	0,777	0,791	0,805	0,817	0,823	0,825
	10	0,836	0,845	0,856	0,866	0,876	0,882
	20	0,839	0,855	0,878	0,903	0,923	0,932
	30	0,834	0,858	0,890	0,920	0,942	0,953
	50	0,825	0,859	0,902	0,939	0,961	0,970
	100	0,815	0,866	0,920	0,959	0,978	0,985
0,05	5	0,853	0,863	0,869	0,874	0,877	0,880
	10	0,881	0,890	0,900	0,909	0,916	0,920
	20	0,898	0,912	0,926	0,938	0,948	0,953
	30	0,903	0,920	0,937	0,952	0,961	0,967
	50	0,908	0,929	0,950	0,965	0,974	0,979
	100	0,914	0,940	0,963	0,978	0,985	0,989
0,1	5	0,88	0,892	0,896	0,899	0,901	0,903
	10	0,904	0,912	0,920	0,927	0,932	0,936
	20	0,920	0,932	0,943	0,952	0,958	0,962
	30	0,928	0,941	0,953	0,962	0,969	0,973
	50	0,935	0,950	0,963	0,973	0,979	0,982
	100	0,944	0,961	0,974	0,983	0,988	0,991

Fonte: Mello; Silva; Beskow (2020).

Conforme pode ser observado, os valores de r-crítico dessas tabelas dizem respeito a FDPs específicas. Para os fins desse estudo, foram considerados a cauda e a aplicabilidade de cada função para agrupar as demais FDPs nestas tabelas. Sendo assim, a Tabela 1 foi usada como referência para o estabelecimento dos valores de r-crítico das funções Normal, Gamma, GNO e LN3, a Tabela 2 foi usada somente para a função Gumbel e as demais FDPs, incluindo a GEV, foram baseadas na Tabela 3.

Quanto ao cálculo do r-crítico para tamanhos de amostra (N) diferentes dos apresentados nas Tabelas 1, 2 e 3, esse cálculo se deu utilizando modelos de regressão aplicados aos dados constantes nas Tabelas. Os modelos que melhor se ajustaram aos dados das Tabelas 1, 2 e 3 foram os apresentados a seguir.

- Para as FDPs Normal, Gamma, GNO e LN3:

$$r_{crítico} = 0,8899xN^{0,0243}, \text{ para significância de } 0,1 \quad (55)$$

$$r_{crítico} = 0,8626xN^{0,0309}, \text{ para significância de } 0,05 \quad (56)$$

$$r_{crítico} = 0,8042xN^{0,0458}, \text{ para significância de } 0,01 \quad (57)$$

- Para a FDP Gumbel:

$$r_{crítico} = 0,8792xN^{0,0253}, \text{ para significância de } 0,1 \quad (58)$$

$$r_{crítico} = 0,8519xN^{0,0312}, \text{ para significância de } 0,05 \quad (59)$$

$$r_{crítico} = 0,7862xN^{0,0446}, \text{ para significância de } 0,01 \quad (60)$$

- Para a FDP GEV e as demais:

No caso da distribuição GEV o modelo para cálculo do r-crítico também considerou, além do tamanho da amostra (N), os valores de  $\xi$ .

$$r_{crítico} = 0,7895xN^{0,0298} + 0,0780xe^{\xi}, \text{ para significância de } 0,1 \quad (61)$$

$$r_{crítico} = 0,7247xN^{0,0374} + 0,1140xe^{\xi}, \text{ para significância de } 0,05 \quad (62)$$

$$r_{crítico} = 0,5624xN^{0,0541} + 0,2211xe^{\xi}, \text{ para significância de } 0,01 \quad (63)$$

Já no caso das demais FDPs aqui enquadradas na Tabela 3 (GLO, GPA, PE3, Kappa e Wakeby), considera-se apenas o valor de N. Sendo assim, os modelos de regressão foram gerados usando a média dos r-críticos para um mesmo valor de N e de significância.

$$r_{crítico} = 0,8636xN^{0,0277}, \text{ para significância de } 0,1 \quad (64)$$

$$r_{crítico} = 0,8327xN^{0,0335}, \text{ para significância de } 0,05 \quad (65)$$

$$r_{crítico} = 0,7705xN^{0,0423}, \text{ para significância de } 0,01 \quad (66)$$

Por fim, um resumo da estrutura metodológica desse estudo pode ser visualizado no fluxograma apresentado na Figura 2.

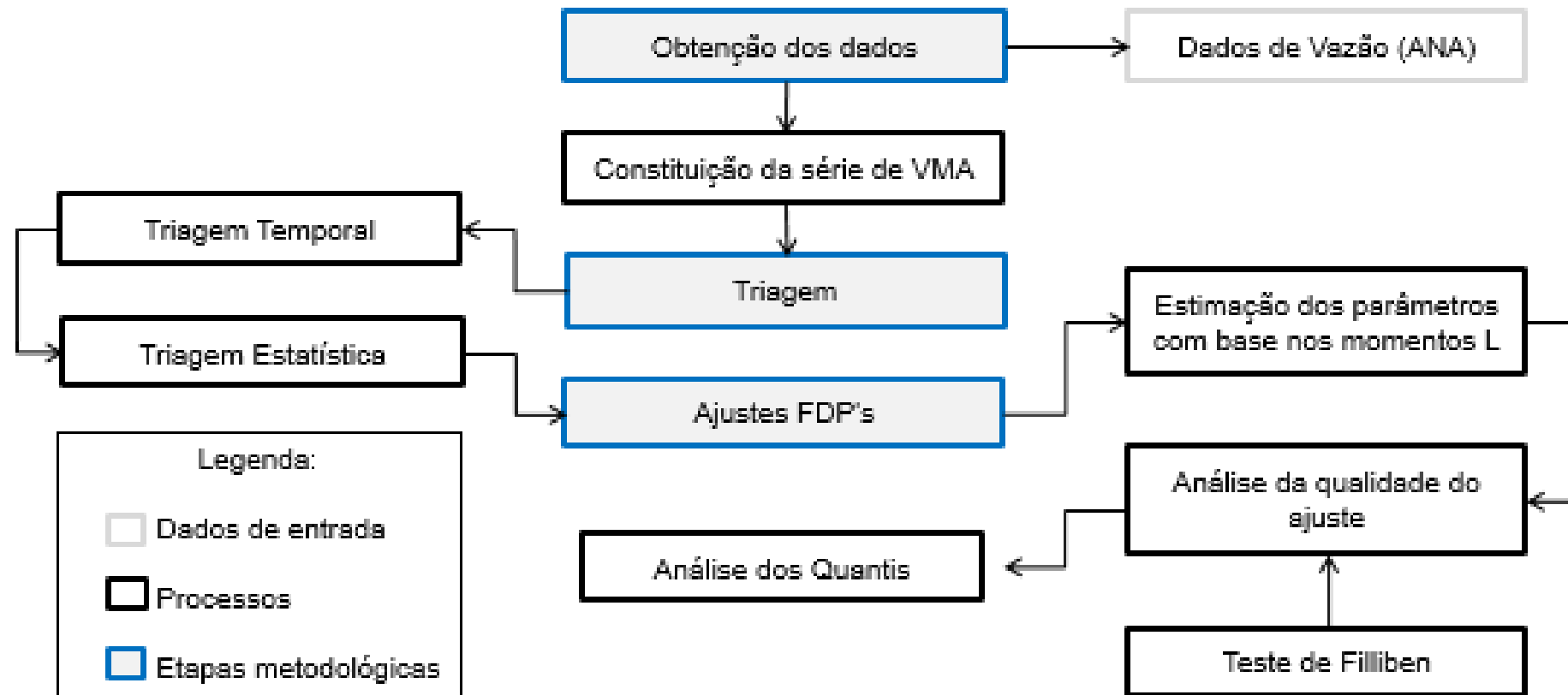


Figura 2: Fluxograma das etapas da metodologia

## **6. Resultados e discussão**

### **6.1 Triagem das séries hidrológicas**

A etapa de aquisição dos dados resultou em 3.826 arquivos de estações fluviométricas distribuídas por todo o território brasileiro (Figura 3), subdivididos nas 8 grandes bacias hidrográficas definidas pela Agência Nacional de Águas e Saneamento Básico (Tabela 4). Na sequência, prosseguiu-se com a constituição das respectivas séries históricas de vazões máximas anuais (VMA).

De posse das 3.826 séries históricas de VMA, foram selecionadas aquelas que se enquadram no critério de tempo definido neste estudo, ou seja, apresentam pelo menos 30 anos de dados a partir do ano de 1980. Com base nesse critério, foram selecionadas 1.076 séries históricas de vazão máxima anual, subdivididas nas mesmas 8 bacias, conforme apresentadas na Tabela 4.

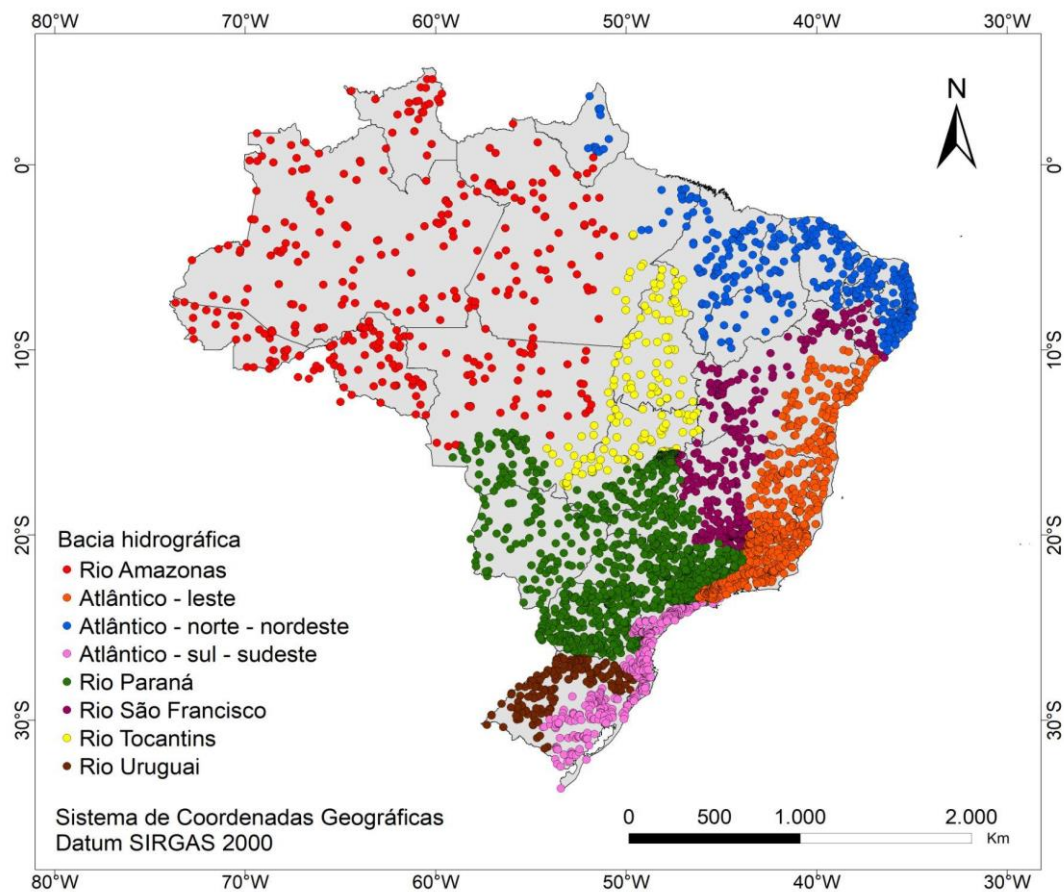


Figura 3: Localização das 3.826 estações fluviométricas a partir das quais foram constituídas as séries históricas de VMA.

Tabela 4: Distribuição do número de séries históricas de vazões máximas anuais antes e depois da definição do critério histórico, considerando as 8 grandes bacias hidrográficas definidas pela ANA

Bacias hidrográficas	Número de estações fluviométricas com séries históricas de vazões máximas anuais	
	Antes	Depois
Rio Amazonas	385	81
Rio Tocantins	162	63
Atlântico - trecho norte-nordeste	380	113
Rio São Francisco	400	130
Atlântico - trecho leste	675	263
Rio Paraná	1.296	276
Rio Uruguai	166	68
Atlântico - trecho sudeste	362	82
<b>Total</b>	<b>3.826</b>	<b>1.076</b>

Conforme pode ser observado na Tabela 4, houve uma redução de mais de 50% no número de séries em todas as 8 bacias ao se considerar o critério histórico escolhido. Observa-se que a bacia do rio Uruguai teve o menor decréscimo percentual (59) e as bacias do rio Amazonas e do rio Paraná foram as que obtiveram as reduções percentuais mais elevadas (79% e 78,7%, respectivamente).

Cabe salientar que quando se busca séries com tamanho mínimo compatível com as recomendações – 30 anos (WMO, 2011) – normalmente evidencia-se grande impacto no número de séries, conforme observado neste estudo. Esse impacto muitas vezes acaba dificultando estudos hidrológicos em determinadas regiões em virtude de resultar em um número reduzido de séries históricas e

impossibilitar o uso de determinadas metodologias estatísticas, por exemplo. Porém séries muito curtas podem impactar negativamente as análises estatísticas pretendidas, logo ainda faz-se necessário a definição de um tamanho mínimo como etapa de triagem das séries históricas. Ainda, a seleção de um período cronológico específico é vantajosa pois a definição de um intervalo de tempo comum entre todas as séries analisadas diminui os efeitos relativos à variabilidade climática natural (CUNDERLIK; OURDA, 2009).

Na sequência, prosseguiu-se com a segunda parte da triagem das séries, a triagem com base nas premissas estatísticas, usando de testes não paramétricos. Esses testes têm a vantagem de não presumir a normalidade amostral, mantendo as distribuições de probabilidades invariáveis independente da distribuição populacional (NAGHETTINI, 2017). Os resultados obtidos, referentes à aplicação de testes não paramétricos para verificação da estacionariedade, independência, homogeneidade e da aleatoriedade das séries históricas de vazões máximas anuais que já haviam passado do primeiro processo de triagem (critério temporal), podem ser analisados na Tabela 5.

Primeiramente, foi aplicado o teste de estacionariedade de Mann-Kendall. Esse teste, segundo de Almeida *et al.* (2019), tem a vantagem de não presumir nenhuma forma específica para a função de distribuição dos dados e, segundo da Silva *et al.* (2015), o teste de Mann Kendall possui rigor equivalente aos testes paramétricos. Posterior à aplicação do teste de estacionariedade de Mann-Kendall, foram aplicados os demais testes nas séries que foram consideradas estacionárias. Após a aplicação desses testes, foi identificado que 710, das 1.076 séries que passaram da primeira etapa de triagem, atenderam às 4 premissas estatísticas simultaneamente.

Diversos estudos acerca de processos hidrológicos necessitam de uma etapa de triagem de séries históricas, principalmente a fim de identificar possíveis tendências e séries hidrológicas não estacionárias. Essa etapa funciona como uma importante ferramenta para diversas aplicações da hidrologia, pois possibilita a análise do comportamento temporal das variáveis hidrológicas (JOSEPH *et al.*, 2013; ULIANA *et al.*, 2015).

O estudo conduzido por de Santos *et al.* (2016), por exemplo, acerca da análise estatística da não estacionariedade de séries temporais de vazões máximas anuais na bacia hidrográfica do rio Pardo observou tendências nas

séries analisadas e constatou que essas tendências iniciaram aproximadamente a partir do ano de 1975. Ainda, diversos autores salientam que não é válido se presumir que os dados analisados são estacionários, uma vez que diversos fatores (e.g. efeitos relativos a mudanças climáticas) podem estar causando modificações significativas nesses dados, corroborando a necessidade de se avaliar esses dados com base em critérios estatísticos (BURN; WHITFIELD, 2016; FAULKNER; WARREN; BURN, 2016; MEDIERO *et al.*, 2015).

A distribuição numérica e a distribuição geográfica das estações fluviométricas que resultaram nestas 710 séries, subdivididas nas 8 grandes bacias definidas pela ANA, podem ser observadas, respectivamente, na Tabela 5 e na Figura 4a. Na Figura 4b, por sua vez, pode ser observada a distribuição geográfica das estações fluviométricas cujas séries históricas não passaram em pelo menos 1 dos 4 testes não paramétricos utilizados.

Tabela 5: Distribuição do número de séries históricas de vazões máximas anuais após a aplicação dos 4 testes não paramétricos, considerando as 8 grandes bacias hidrográficas definidas pela ANA

Bacias hidrográficas	Número de estações fluviométricas com séries históricas de vazões máximas anuais aprovadas pelos testes				
	Teste 1	Teste 1 e 2	Teste 1 e 3	Teste 1 e 4	Teste 1, 2, 3 e 4
Rio Amazonas	55	55	55	52	52
Rio Tocantins	27	27	27	27	27
Atlântico - trecho norte-nordeste	77	72	77	75	70
Rio São Francisco	50	48	50	48	46
Atlântico - trecho leste	203	200	203	196	194
Rio Paraná	215	207	214	200	191
Rio Uruguai	66	63	66	64	61
Atlântico - trecho sudeste	74	72	74	71	69
<b>Total</b>	<b>767</b>	<b>744</b>	<b>766</b>	<b>733</b>	<b>710</b>

Teste 1 = Teste de Mann-Kendall; Teste 2 = Mann-Whitney; Teste 3 = NERC; Teste 4 = Wald-Wolfowitz

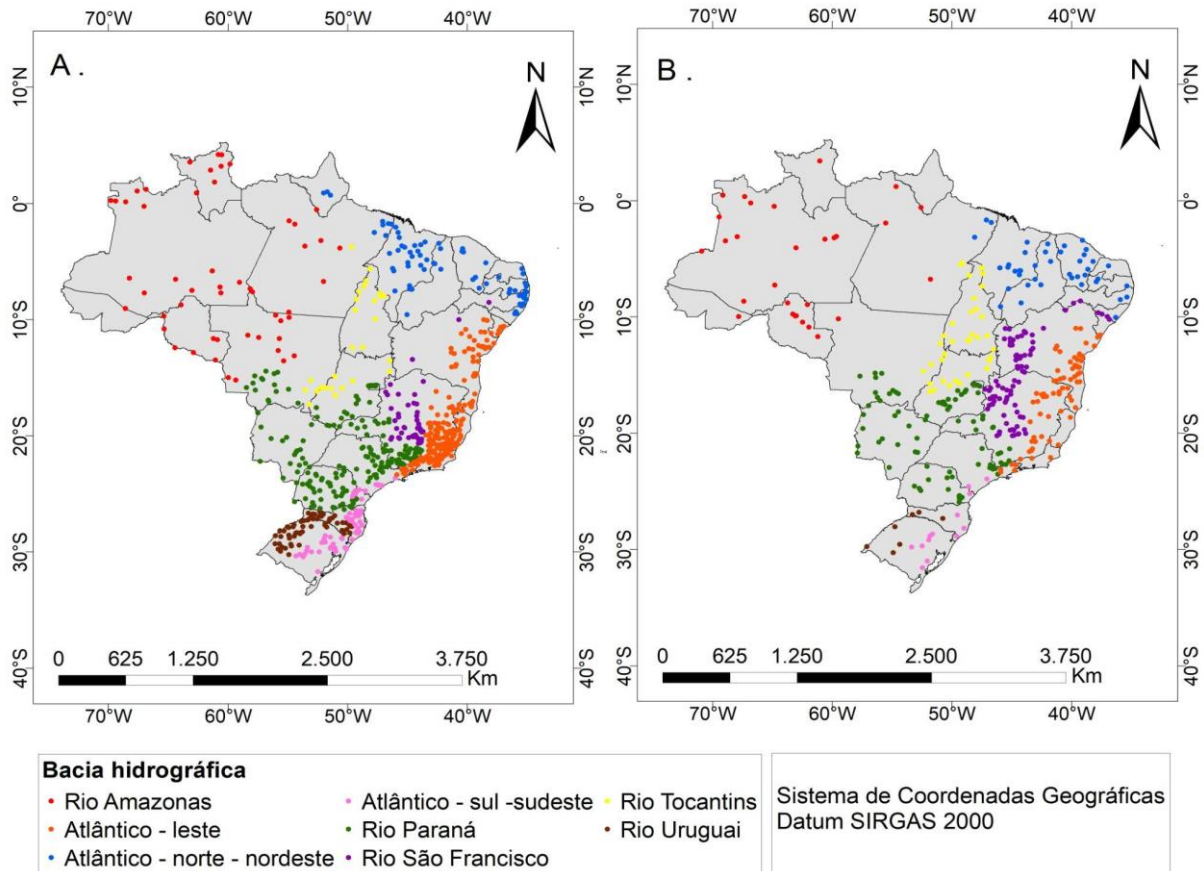


Figura 4: Localização das 710 estações fluviométricas que tiveram séries históricas de VMA aprovadas nas 4 premissas estatísticas simultaneamente (a) e das demais estações que tiveram séries históricas de VMA reprovadas em pelo menos um dos 4 testes ( $1076 - 710 = 366$ ) (b).

Novamente, houve uma redução no número de séries históricas de VMA quando comparado o número de séries após a triagem considerando somente o critério temporal (1.076) e o número de séries que apresentaram as 4 premissas estatísticas simultaneamente (710). Ao contrário do encontrado na etapa anterior, houve uma maior amplitude no percentual de diminuição entre as 8 bacias, variando entre uma diminuição de 10,3% para a bacia hidrográfica do rio Uruguai a uma redução de 64,6% para a bacia hidrográfica do rio São Francisco.

A variação no número de séries, quando comparada somente à aplicação do teste de Mann-Kendall com a aplicação concomitante dos outros testes, também pode ser visualizada na Tabela 5. Nesse caso observou-se uma redução de somente 7,4% quando comparada à quantidade de séries que apresentaram as 4 premissas simultaneamente com a quantidade de séries que apresentaram somente a premissa de estacionariedade.

Segundo Yue *et al.* (2002), a maioria das análises de estacionariedade em séries hidrológicas, na forma de tendências, já assumem que os dados das séries são independentes, justificando o porquê da baixa redução no número de séries quando comparado o uso único do teste de Mann-Kendall com o uso simultâneo dos demais testes. Porém, cabe salientar que o uso concomitante dos 4 testes aumenta o rigor estatístico às análises, eliminando séries que poderiam resultar em estimativas pouco acuradas nas etapas seguintes desse estudo.

Conforme pode ser observado na Figura 4a, as regiões sul e sudeste do Brasil são as regiões em que a maioria das séries históricas, após a realização das duas etapas de triagem dos dados aqui consideradas, estão inseridas. Já a região norte, apesar de representar uma grande área do território nacional (aproximadamente 45%), é a que menos possui séries que passaram das etapas de triagem 1 (critério temporal) e 2 (critérios estatísticos), ou seja, é a região com menor densidade de estações de monitoramento fluviométrico cujas séries demonstraram o rigor estatístico almejado por esse estudo.

Ainda, cabe salientar que a região norte já era a região com menor densidade de estações fluviométricas desde a primeira etapa da triagem dos dados. Ao comparar os números das bacias da região norte - bacias do rio Amazonas e do rio Tocantins - com o número total de séries distribuídas em todo o Brasil (após as 2 etapas de triagem), pode ser constatado que essas bacias englobam apenas 11% das séries de VMA, aproximadamente, demonstrando a disparidade da cobertura do monitoramento fluviométrico no Brasil.

Apesar de haver recomendação da literatura em se analisar as 4 premissas supracitadas quando da realização de estudos hidrológicos dependentes de séries históricas, é habitual identificar a não consideração simultânea de todos os testes. Por exemplo, estudos como os de Beskow *et al.* (2016) e de Cassalho *et al.* (2019) consideraram somente a premissa de estacionariedade, avaliada pelo teste de Mann-Kendall, para dar suporte à escolha das séries a serem utilizadas para o processo de regionalização hidrológica.

Vale destacar, também, que em um país com dimensões continentais como o Brasil é inevitável que haja influência da regularização provocada por reservatórios sobre as características estatísticas das séries históricas de vazões. Ainda, cabe salientar a complexidade de se identificar caso a caso a

existência de interferências antrópicas e/ou a partir de quando estas interferências estão impactando as características estatísticas das séries históricas, em especial para as bacias hidrográficas maiores.

Por estas razões, reforça-se a necessidade de garantir a avaliação de todas as premissas. Ou seja, ao considerar o rigor das 4 premissas simultaneamente, diminui-se a possibilidade de que efeitos de interferências antrópicas estejam atuando sobre essas séries. Corroborando isso, Zhang, Stadnyk e Burn (2019) salientam que as características da área de contribuição das bacias hidrográficas analisadas devem ser estáveis e livres de efeitos de regulação durante o período histórico estudado, bem como os dados de vazões máximas coletados devem ser originários de eventos independentes, justificando o uso dos demais testes estatísticos previamente citados.

## **6.2 Ajuste das Funções Densidade de Probabilidade**

Posterior, então, à triagem dos dados, as séries de VMA foram ajustadas às 11 funções densidade de probabilidade (FDP) listadas na seção de Materiais e Métodos. As FDPs aqui utilizadas foram as funções de 2 parâmetros - Normal, Gamma e Gumbel, as funções de 3 parâmetros - Generalized Extreme Value (GEV), Generalized Logistic (GLO), Generalized Normal (GNO), Generalized Pareto (GPA), Log-Normal de 3 parâmetros (LN3) e Pearson tipo 3 (PE3) e as funções multiparâmetros - Kappa (KAP) com 4 parâmetros e Wakeby com 5 parâmetros (WAK).

Todas essas funções foram ajustadas às 710 séries de VMA, distribuídas em todo território nacional, que passaram nas etapas de triagem. As 11 FDPs foram ajustadas às 710 séries de VMA que se enquadram nos critérios definidos na etapa de triagem, ou seja, séries com pelo menos 30 anos de dados a partir de 1980 e consideradas estacionárias, homogêneas, aleatórias e independente com base nos testes estatísticos aqui utilizados.

A quantidade de séries que obtiveram os melhores ajustes para cada função pode ser visualizada nas tabelas a seguir. As tabelas estão divididas considerando o número de parâmetros das FDPs, levando em consideração as 8 grandes bacias hidrográficas definidas pela ANA e, por fim, levando em consideração todo o território nacional. Ainda, cabe salientar que a qualidade

dos ajustes para cada uma das funções foi analisada pelo teste estatístico de Filliben (conforme descrito na seção de Materiais e Métodos) e a comparação dos valores de  $r$  entre cada função pode ser visualizada na tabela do Apêndice I. Os valores dos parâmetros de ajuste de cada FDP podem ser visualizados nos Apêndices II, III, IV e V.

Tabela 6: Números relativos à quantidade de séries ajustadas pelas FDPs de 2 parâmetros (Normal, Gamma e Gumbel)

FDP	Número de séries	Bacia do Rio Amazonas	Bacia dos Rios Tocantins/Araguaia	Bacia do Atlântico Norte/Nordeste	Bacia do Rio São Francisco	Bacia do Atlântico Leste	Bacia dos Rios Paraná/Paraguai	Bacia do Rio Uruguai	Bacia do Atlântico Sudeste	<b>Brasil (Total)</b>
Normal	Melhor valor de ajuste	0	0	0	0	0	0	0	0	<b>0</b>
	NA	0	0	0	0	0	0	0	0	<b>0</b>
	NS	12	15	40	24	95	90	26	36	<b>338</b>
Gamma	Melhor valor de ajuste	1	0	2	0	3	1	0	1	<b>8</b>
	NA	0	0	0	0	0	0	0	0	<b>0</b>
	NS	6	7	9	12	37	35	8	12	<b>126</b>
Gumbel	Melhor valor de ajuste	1	0	1	0	1	2	0	0	<b>5</b>
	NA	0	0	0	0	0	0	0	0	<b>0</b>
	NS	8	4	22	13	28	32	7	12	<b>126</b>

NA = Séries não ajustadas; NS = Séries com ajuste não satisfatório

Conforme pode ser observado na Tabela 6, a distribuição Normal não obteve o melhor ajuste para nenhuma das 710 séries de VMA aqui analisadas, tampouco ocorreu de essa distribuição não ser passível de ajusta à alguma dessas séries, ou seja, também não houve nenhuma série NA. Ainda, essa função não obteve ajuste satisfatório para 338 séries de VMA. Ou seja, a distribuição normal foi ajustada satisfatoriamente somente a 52,4% das 710 séries, demonstrando que essa não é uma distribuição adequada para se analisar probabilisticamente os dados de vazões máximas anuais no Brasil. É possível salientar, também, que em séries de VMA é esperado que se encontre assimetria positiva, logo já é esperado que a distribuição Normal não se ajuste satisfatoriamente a essas séries.

Da mesma forma que a distribuição normal, a função Gamma não apresentou nenhuma série NA. No que concerne ao número de séries com ajuste não satisfatório, essa função obteve 126 séries NS em todo território nacional, ou seja, essa distribuição não foi ajustada adequadamente para 17,75% das séries de VMA do Brasil. Ainda, essa função teve o melhor ajuste para 8 séries de vazões máximas anuais, porém esse ainda é um número pequeno quando comparado à totalidade de séries analisadas. Logo, pode-se inferir que essa FDP também não é adequada para se analisar probabilisticamente os dados de vazões máximas anuais no Brasil.

De forma similar às outras duas FDPs de 2 parâmetros (Normal e Gamma), a função Gumbel não obteve nenhuma série NA, ou seja, essa função teve ajuste a 100% das 710 séries de VMA do Brasil. Ainda, no que concerne ao fato de que todas as distribuições de 2 parâmetros utilizadas nesse estudo não tiveram nenhuma série NA, cabe salientar que isto é esperado, uma vez que as FDPs Normal, Gamma e Gumbel são ajustadas apenas com base no valor da média e do desvio padrão, não apresentando, então, problemas de ajuste.

Assim como a FDP Gamma, a função Gumbel obteve 126 séries NS, *i.e.*, não foi ajustada satisfatoriamente a 17,75% das 710 séries de VMA. Ainda, a distribuição Gumbel também obteve um número pequeno de séries com melhor ajuste, sendo que foi a FDP com o melhor desempenho para apenas 5 (0,7%) das 710 séries de VMA do Brasil, conforme também pode ser observado na Tabela 6. Sendo assim essa FDP também pode ser considerada como não

indicada para representar probabilisticamente as vazões máximas anuais no Brasil.

Não obstante, cabe salientar que a FDP Gumbel é amplamente utilizada no Brasil para modelagem probabilística de eventos extremos de chuva e vazão, conforme salientado por diversos autores (BESKOW *et al.*, 2015; CALDEIRA *et al.*, 2015; CASSALHO *et al.*, 2017; MELLO; VIOLA, 2013). Porém, conforme os resultados apresentados na Tabela 6 e os valores de ajuste (valores de  $r$ ) apresentados o Apêndice I, no que concerne a esse estudo a FDP Gumbel teve desempenho inferior às FDPs com maior número de parâmetros aqui avaliadas. Isso corrobora o que tem sido encontrado em estudos recentes que enfatizam que as FDPs mais simples de 2 parâmetros tradicionalmente utilizadas no Brasil não geram resultados com aderência tão boa quanto as FDPs multiparâmetros mais robustas (AHMAD *et al.*, 2013; BESKOW *et al.*, 2015; CASSALHO *et al.*, 2017; FRANCO *et al.*, 2014; RAHMAN *et al.*, 2013; RAHMAN *et al.*, 2014).

A distribuição geográfica das estações fluviométricas que deram origem às séries que obtiveram os melhores valores de ajuste para as FDPs de 2 parâmetros pode ser visualizada na Figura 5.

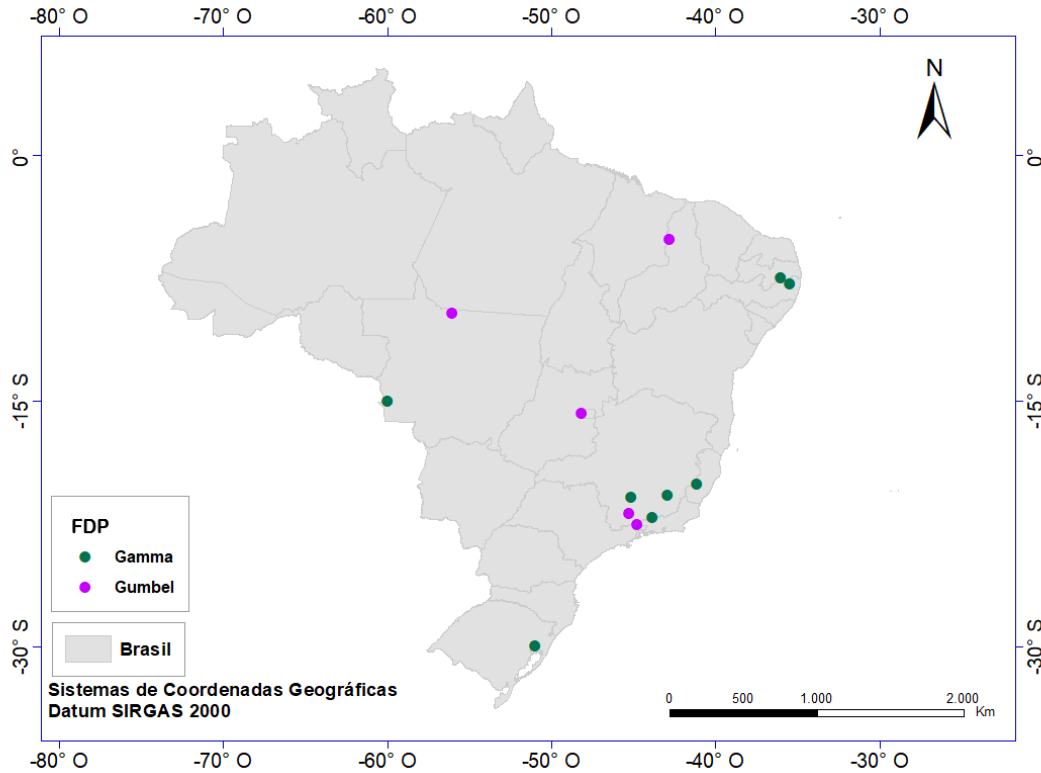


Figura 5: Distribuição geográfica das séries com melhor ajuste para as FDPs de 2 parâmetros (Normal, Gamma e Gumbel)

Conforme pode ser observado na Tabela 6, as FDPs de 2 parâmetros obtiveram resultados inferiores no que concerne à qualidade dos ajustes para as 710 séries de VMA aqui analisadas. Como pode ser visto nessa tabela, a distribuição Normal obteve ajustes não satisfatórios para quase 50% das séries e as distribuições Gamma e Gumbel para quase 20%. Ainda, essas FDPs, em conjunto, apresentaram apenas 1,83% de melhor ajuste quando analisado o número total de séries. Cabe salientar, claro, que nenhuma das FDPs de dois parâmetros aqui utilizadas obteve séries não ajustadas por elas (séries NA), porém, conforme abordado anteriormente, isso se deve ao fato de que os parâmetros utilizados nessas FDPs não apresentam problemas de ajuste. Sendo assim, os resultados acerca da aderência dessas FDPs depõem contra o uso delas para ajuste probabilístico das séries de VMA no Brasil.

Conforme observado por diversos autores, FDPs mais simples, tais como aquelas de 2 parâmetros, são amplamente utilizadas no Brasil em estudos acerca de dados hidrológicos. Estudos como os de Back *et al.* (2011), Beskow *et al.* (2015), Caldeira *et al.* (2015), Cassalho *et al.* (2017), Mello e Viola (2013) e Souza *et al.* (2012) abordaram algumas das FDPs de dois parâmetros aqui

utilizadas, sendo que alguns desses estudos também chegaram à conclusão de que as funções de dois parâmetros de fato não são as mais adequadas para modelagem probabilística de eventos hidrológicos extremos quando comparadas com funções mais robustas.

Ainda, segundo Zhang, Stadnyk e Burn (2019), o aumento no número de parâmetros utilizados em uma FDP melhora a flexibilidade do ajuste, entretanto, pode ocasionar, também, o aumento das incertezas relativas a erros de estimação desses parâmetros. Não obstante, a introdução do método dos momentos-L para estimação de parâmetros pode reduzir esse possível impacto relativo ao aumento das incertezas uma vez que esse método resulta em melhores ajustes para a cauda superior das FDPs (WANG, 1997). Ademais, Bobée e Rasmussen (1993) salientam que as FDPs utilizadas para modelagem de frequências de cheias deveriam ter no mínimo 3 parâmetros a fim de assegurar que essas funções tenham a capacidade de compreender a grande variabilidade dos dados relativos a vazões máximas.

Na tabela e figura a seguir são demonstrados os resultados das 6 FDPs de 3 parâmetros utilizadas nesse estudo (GEV, GLO, GNO, GPA, LN3 e PE3). Essas funções resultaram em um menor número de séries NS e em um maior número de séries com melhores valores de ajuste quando comparado com as funções de 2 parâmetros apresentadas anteriormente (Normal, Gamma e Gumbel).

Tabela 7: Números relativos à quantidade de séries ajustadas pelas FDPs de 3 parâmetros (GEV, GLO, GNO, GPA, LN3 e PE3)

FDP	Número de Séries	Bacia do Rio Amazonas	Bacia dos Rios Tocantins/Araguaia	Bacia do Atlântico Norte/Nordeste	Bacia do Rio São Francisco	Bacia do Atlântico Leste	Bacia do dos Rios Paraná/Paraguai	Bacia do Rio Uruguai	Bacia do Atlântico Sudeste	<b>Brasil (Total)</b>
GEV	Melhor valor de ajuste	2	0	0	2	10	12	1	4	<b>31</b>
	NA	0	0	0	0	0	0	0	0	<b>0</b>
	NS	10	0	7	0	9	14	4	5	<b>49</b>
GLO	Melhor valor de ajuste	5	2	5	3	17	18	5	4	<b>59</b>
	NA	0	0	0	0	0	0	0	0	<b>0</b>
	NS	0	0	5	1	3	1	5	2	<b>17</b>
GNO	Melhor valor de ajuste	1	1	1	0	0	0	0	1	<b>4</b>
	NA	0	0	0	0	0	0	0	0	<b>0</b>
	NS	0	3	8	4	14	10	4	2	<b>45</b>
GPA	Melhor valor de ajuste	0	0	1	2	7	2	1	1	<b>14</b>
	NA	0	0	0	0	0	0	0	0	<b>0</b>
	NS	1	3	3	2	7	6	4	3	<b>29</b>
LN3	Melhor valor de ajuste	1	1	3	7	8	7	0	1	<b>28</b>
	NA	16	1	8	1	7	20	5	7	<b>65</b>
	NS	0	3	7	4	3	10	4	2	<b>43</b>
PE3	Melhor valor de ajuste	2	3	15	5	16	10	5	8	<b>64</b>
	NA	0	0	0	0	0	0	0	0	<b>0</b>
	NS	0	1	2	2	4	5	4	1	<b>19</b>

NA = Séries não ajustadas; NS = Séries com ajuste não satisfatório

Conforme pode ser observado na Tabela 7, a GEV obteve melhor ajuste para 31 séries de VMA no Brasil, representando 4,37% do número total de séries. Ainda essa FDP obteve zero séries NA e 49 (6,9%) séries NS. Como pode ser constatado, houve uma redução no número de séries com ajuste não satisfatório (séries NS) em comparação com as FDPs de 2 parâmetros demonstradas anteriormente. Além disso, evidencia-se um aumento no número de séries com melhores valores de ajuste (maiores valores de  $r$ ), corroborando o fato de que FDPs com um maior número de parâmetros podem resultar em melhores valores de ajustes.

O estudo de Cassalho *et al.* (2017), por exemplo, também acerca do uso de FDPs para a modelagem de vazões máximas anuais, encontrou resultados que, assim como os do presente estudo, demonstraram a superioridade das FDPs com maior número de parâmetros. No que concerne à GEV, essa função tem sido recomendada por agências governamentais de pesquisa de diversos países, tais como agências da Austrália, Áustria, Alemanha, Itália e Espanha (SALINAS *et al.*, 2014; BALL *et al.*, 2016)

Assim como observado na GEV, a GLO também apresentou uma redução no número de séries NS quando comparada às FDPs de 2 parâmetros, bem como apresentou um número maior de séries com maior aderência. Essa função também se ajustou à 100% das 710 séries de VMA do Brasil, sendo que destas 59 (8,31%) obtiverem o melhor valor de ajuste por essa função e 17 (2,39%) obtiveram ajustes considerados não satisfatórios (NS).

Segundo Cassalho *et al.* (2017), o uso de FDPs com mais de 2 parâmetros já é bem mais difundido em locais fora do Brasil. A função GLO, por exemplo, foi sugerida no Reino Unido para modelagem probabilística de eventos de cheias (AHMAD; FAWAD; MAHMOOD, 2015). Ainda, FDPs com 3 ou mais parâmetros têm sido amplamente utilizadas em países como a Austrália (LAM *et al.*, 2017), Índia (KUMAR *et al.*, 2003), Itália (NOTO; LA LOGGIA, 2009) e Turquia (AYDOGAN *et al.*, 2016).

A função GNO, por sua vez, também teve ajuste à 100% das 710 séries de VMA (não obteve séries NA), porém, obteve apenas 4 (0,56%) séries com melhor ajuste, ficando atrás inclusive das FDPs de dois parâmetros Gamma e Gumbel. Já a GPA também se ajustou à 100% das séries de VMA distribuídas em todo território nacional, sendo que 14 (1,97%) destas apresentaram os melhores

valores de ajuste quando ajustadas a essa função e 29 (4,08%) apresentaram ajustes não satisfatórios segundo os resultados do teste de Filliben.

Embora as funções mais simples tradicionalmente utilizadas possam apresentar resultados satisfatórios, diversos autores destacam que o uso de FDPs com mais parâmetros pode resultar em estimativas mais acuradas (RAHMAN *et al.*, 2014; CASSALHO *et al.*, 2017). No que concerne à GPA, por exemplo, essa função de 3 parâmetros é sugerida como uma das 3 FDPs com os melhores ajustes para a Austrália (RAHMAN *et al.*, 2013).

A LN3 é a primeira das FDPs utilizadas até aqui a apresentar séries NA, ou seja, séries em que não foi possível obter ajuste para essa função. Das 710 séries de VMA do Brasil, 65 (9,15%) foram NA. Isso ocorre, no caso da LN3, pelo fato de que o logaritmo natural é utilizado no equacionamento dessa função, fazendo com que não seja possível proceder com o cálculo quando os termos dentro da parte logarítmica resultam em um número negativo ou igual a zero.

No que concerne ao número de séries com melhores ajustes para a função LN3, esta função obteve melhor ajuste, segundo o teste de Filliben (maiores valores de  $r$ ) para 28 (3,94%) séries, conforme também pode ser observado na Tabela 7. Ainda, 43 (6,06%) das 710 séries de VMA obtiveram ajustes não satisfatórios para essa FDP.

Somando as 43 séries para as quais o ajuste não foi satisfatório e as 65 para as quais não houve ajuste (foram NA), a função LN3 teve ajuste satisfatório em quase 85% das 710 séries de VMA aqui analisadas. Ao se comparar a LN3 com as demais FDPs de 3 parâmetros utilizadas nesse estudo, isso faz com que ela tenha obtido a menor quantidade de séries satisfatoriamente ajustadas dentre as funções de 3 parâmetros, porém ainda a deixa a frente das funções de 2 parâmetros aqui analisadas.

A PE3, por sua vez, foi a que obteve os melhores resultados dentre as FDPs de 3 parâmetros utilizadas nesse estudo. Essa função também se ajustou à 100% das 710 séries de VMA, sendo que para destas 64 (9,01%) a PE3 resultou nos maiores valores de  $r$  (melhores resultados no teste Filliben) e para apenas 19 (2,68%) os ajustes não satisfatórios (séries NS).

Diversos estudos têm avaliado os resultados obtidos por FDPs de três parâmetros tais como as funções aqui utilizadas, a fim de demonstrar que estas funções performam melhor de que aquelas de 2 parâmetros (AHMAD *et al.*,

2013; BESKOW *et al.*, 2015; CASSALHO *et al.*, 2017; FRANCO *et al.*, 2014; RAHMAN *et al.*, 2013). Com base no teste de qualidade de ajuste aqui utilizado (teste de Filliben), demonstrou-se que, de fato, essas FDPs apresentam melhores resultados em comparação com as funções mais simples previamente analisadas. A distribuição geográfica das estações fluviométricas que originaram as séries em que as FDPs de 3 parâmetros obtiveram melhores valores de ajuste pode ser visualizada na Figura 6.

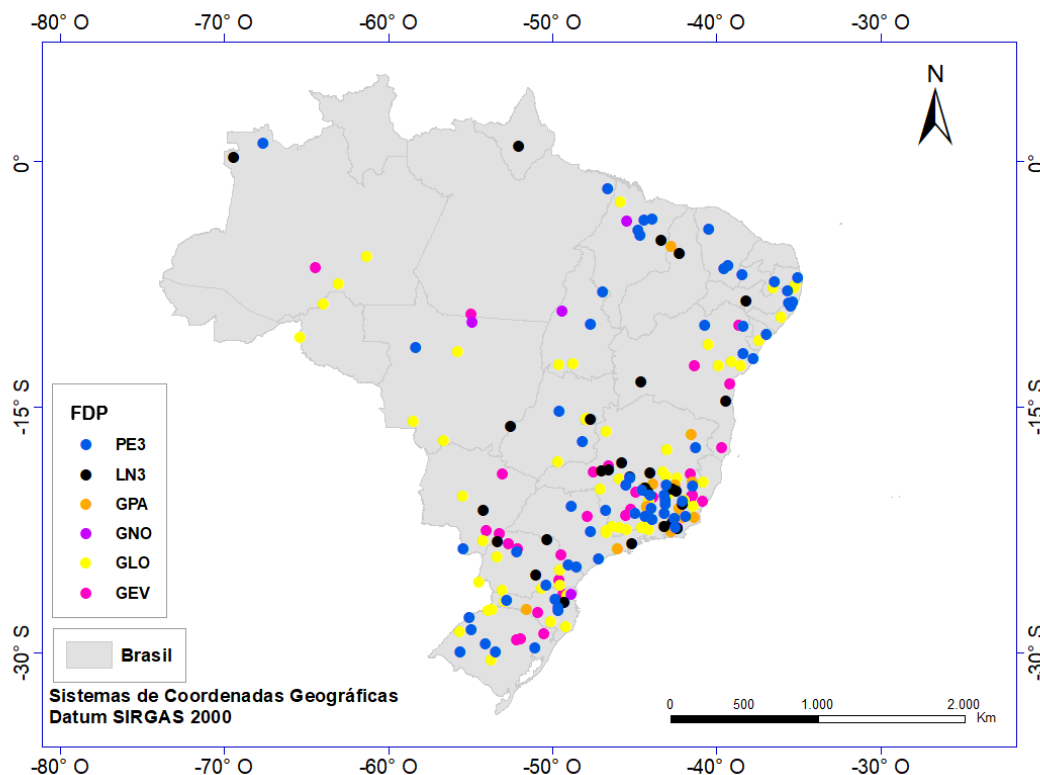


Figura 6: Distribuição geográfica das séries com melhor ajuste para as FDPs de 3 parâmetros (GEV, GLO, GNO, GPA, LN3 e PE3)

Comparando os resultados apresentados nas Tabelas 6 e 7, bem como nas Figuras 5 e 6, pode-se evidenciar claramente que as FDPs de 3 parâmetros ajustaram mais séries do que as funções de 2 parâmetros, bem como obtiveram um maior número de séries com melhores ajustes e um menor número de séries NS. A comparação dos valores de  $r$  (resultado do teste de Filliben que estima a correlação entre os dados observados e os quantis teóricos de cada função) entre cada uma das funções aqui utilizadas pode ser visualizada no Apêndice I, o qual, em linhas gerais, demonstra que as FDPs com maior número de parâmetros culminaram em maiores valores de  $r$ .

Diversas FDPs de 3 parâmetros já foram sugeridas como as mais indicadas para modelagem probabilística de eventos hidrológicos em diversos países, como, por exemplo, a função log Pearson tipo 3 nos EUA, a função GLO e a função PE3 no Reino Unido e na China, respectivamente, e as funções log Pearson tipo 3, GEV e GPA na Austrália (AHMAD; FAWAD; MAHMOOD, 2015; RAHMAN *et al.*, 2013). No Brasil, por sua vez, mesmo após extensa revisão da literatura, não foi possível encontrar estudos em escala nacional que avaliem qual FDP é mais indicada para uso em todo o país no que concerne à modelagem probabilística de séries de VMA. O estudo realizado por Cassalho *et al.* (2017) fez essa análise no âmbito do estado do Rio Grande do Sul, chegando à conclusão que as FDPs com mais parâmetros de fato performam melhor do que as mais simples de 2 parâmetros tradicionalmente utilizadas no Brasil.

Não obstante, funções com mais de 3 parâmetros podem melhorar ainda mais a qualidade do ajuste, obtendo resultados mais acurados no que concerne à modelagem probabilística de séries hidrológicas. Estudos recentes têm avaliado funções multiparâmetros como a Kappa e a Wakeby, por exemplo (BESKOW *et al.*, 2015; CASSALHO *et al.*, 2017; RAHMAN *et al.*, 2014).

A tabela e figura a seguir demonstram o quantitativo de séries ajustadas pelas funções multiparâmetros Kappa (4 parâmetros) e Wakeby (5 parâmetros). Conforme pode ser claramente observado, mantém-se a tendência de que funções com mais parâmetros resultam em melhores valores de ajuste.

Tabela 8: Números relativos à quantidade de séries ajustadas pelas FDPs multiparâmetros (Kappa e Wakeby)

FDP	Número de Séries	Bacia do Rio Amazonas	Bacia dos Rios Tocantins/Araguaia	Bacia do Atlântico Norte/Nordeste	Bacia do Rio São Francisco	Bacia do Atlântico Leste	Bacia do dos Rios Paraná/Paraguai	Bacia do Rio Uruguai	Bacia do Atlântico Sudeste	<b>Brasil (Total)</b>
Kappa	Melhor valor de ajuste	10	5	16	10	43	30	17	18	<b>149</b>
	NA	12	7	7	7	32	58	7	11	<b>141</b>
	NS	0	0	0	0	0	1	0	0	<b>1</b>
Wakeby	Melhor valor de ajuste	29	15	25	17	88	108	32	31	<b>345</b>
	NA	0	0	0	0	0	0	0	0	<b>0</b>
	NS	0	1	3	1	4	2	1	2	<b>14</b>

NA = Séries não ajustadas; NS = Séries com ajuste não satisfatório

Conforme pode ser observado na Tabela 8, a Kappa apresenta um aumento no número de séries com melhores valores de ajuste se comparada com todas as FDPs apresentadas até aqui. Das 710 séries de VMA, 149 (20,99%) obtiveram melhores valores de ajuste quando utilizada essa função. Entretanto, os números também evidenciam uma particularidade ocorrida ao fazer o ajuste dessa FDP, mostrando 141 (19,86%) séries NA. Sendo assim, a função KAP se ajustou de forma satisfatória para aproximadamente 80% de VMA do Brasil. A distribuição geográfica das séries que obtiverem os melhores valores de ajuste para a Kappa pode ser visualizada na Figura 7.

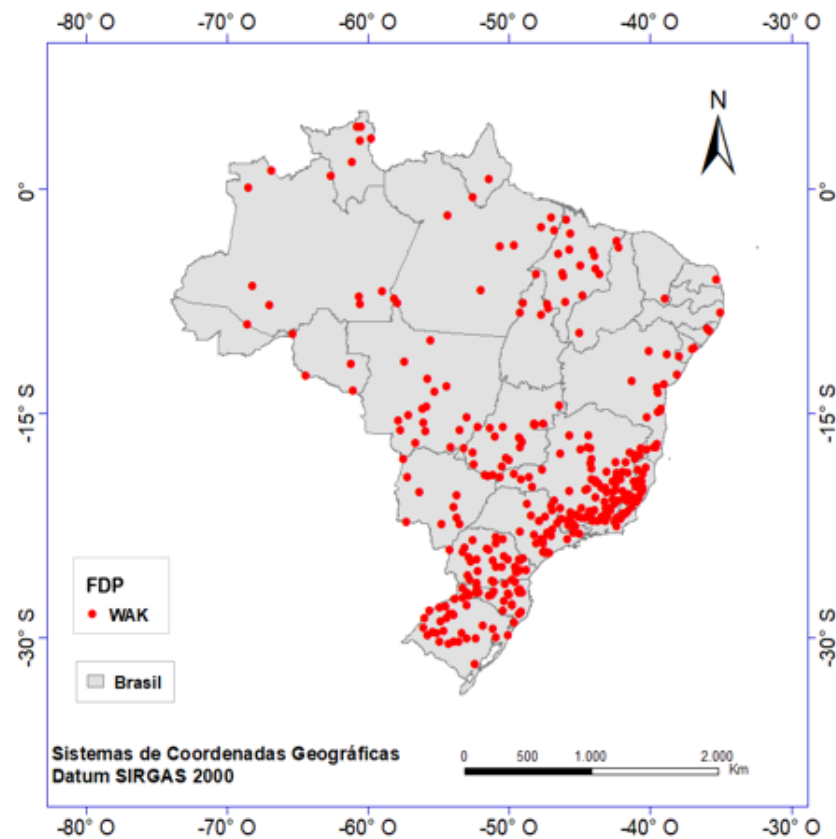
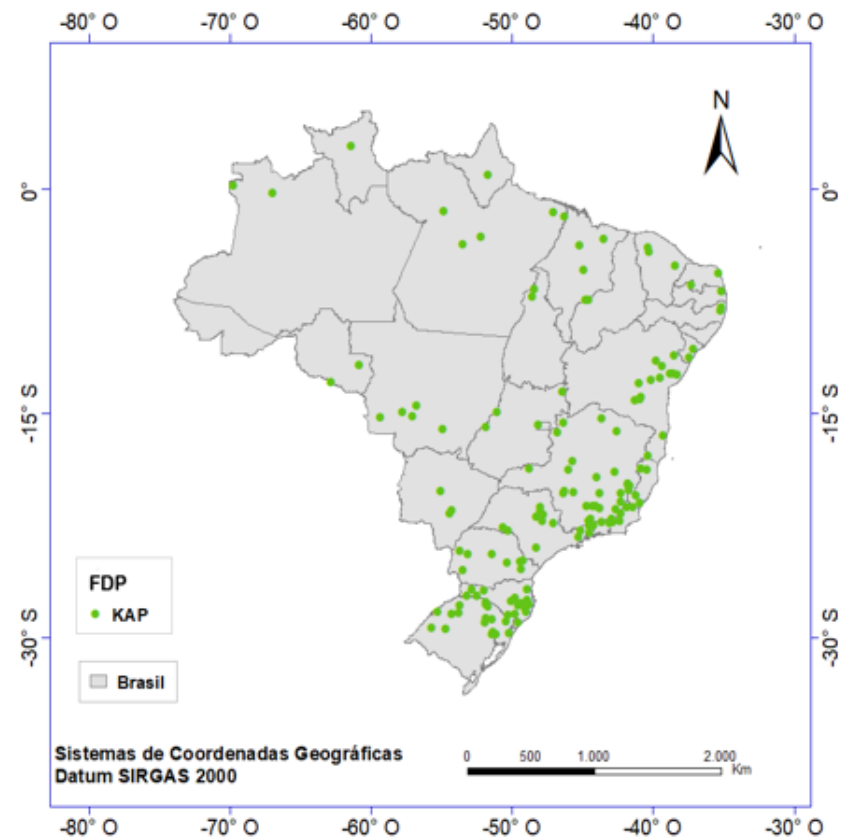


Figura 7: Distribuição geográfica das séries com melhor ajuste para as funções Kappa e Wakeby

Os estudos de Beskow *et al.* (2015) e Cassalho *et al.* (2017), igualmente acerca da análise de frequências local de variáveis hidrológicas, também compararam a performance de FDPs multiparâmetros com aquelas mais simples de 2 e 3 parâmetros. Ambos estudos encontraram resultados que também demonstram que a função Kappa de fato resulta em um maior número de séries com melhor ajuste.

Apesar de ter obtido apenas uma série NS e muitas séries com o melhor valor de ajuste dentre as FDPs utilizadas, o número de séries NA para a Kappa representa aproximadamente 20% de todas as séries de VMA analisadas, o que faz com que essa função possa não ser adequada para uso no Brasil, na totalidade de seu território, acerca de estudos sobre vazões máximas anuais. Ao analisar as 8 grandes bacias separadamente, observa-se que a porcentagem de séries NA (relativa ao número de séries de cada bacia) varia de 10% para a Bacia do Atlântico Norte/Nordeste a mais de 30% na Bacia dos Rios Paraná/Paraguai.

Os estudos de Beskow *et al.* (2015) e Cassalho *et al.* (2017) também encontraram uma porcentagem alta de séries NA ao ajustar essa FDP para séries de chuva máxima diária anual e de vazões máximas anuais, respectivamente, no estado do Rio Grande do Sul. O fato de essa função apresentar muitas séries NA está associado aos limites inferior e superior dessa função, não sendo possível se ajustar séries que possuam valores fora do intervalo definido por esses limites, ou seja, essa FDP não pode ser ajustada a séries que contenham valores abaixo do limite inferior ou acima do limite superior definidos por essa FDP.

Não obstante, deve-se considerar que não há base teórica para a escolha de apenas uma FDP para ser aplicada para modelagem hidrológica probabilística em todos os pontos de um país (CALENDA; MANCINI; VOLPI, 2009). No que concerne à Kappa, apesar do fato desta função ter apresentado muitas séries NA, ela também apresentou altos valores de  $r$  (teste de Filliben) para um grande número das séries de VMA aqui abordadas, sendo que essa função foi a que melhor performou para 21% de séries de VMA do Brasil. Ainda, vale destacar que a definição de qual FDP melhor se ajusta a uma determinada série deve se basear em testes estatísticos, a fim de avaliar a semelhança entre as frequências teóricas e as frequências observadas das séries hidrológicas (MELLO; SILVA; BESKOW, 2020).

A Wabeky, por sua vez, foi a função que apresentou os melhores resultados dentre todas as 11 Funções Densidade de Probabilidade utilizadas neste estudo. Conforme

pode ser observado na Tabela 8, a Wakeby se ajustou à 100% das séries de VMA, sendo que essa função resultou nos melhores valores de ajuste ( $r$ ) para 345 (48,59%) destas séries e culminou em ajuste não satisfatório (NS) para apenas 14 (1,97%) das séries.

Ao contrário da Kappa, a Wakeby não culminou em nenhuma série NA, tendo ajuste satisfatório para 98,03% d séries de VMA analisadas nesta etapa do estudo. Em outras palavras, a Wakeby teve ajuste estatisticamente satisfatório para 696 das 710 séries que passaram pela etapa de triagem, i.e., séries com pelo menos 30 anos de dados a partir de 1980 e consideradas estacionárias, homogêneas, aleatórias e independentes pelos testes estatísticos utilizados por esse estudo. Ainda, conforme já abordado, a Wakeby foi a função que obteve o maior número de séries com maiores valores de  $r$  (melhores resultados no teste de Filliben) quando comparada às demais funções. Com base nesses resultados, pode-se inferir que a função densidade de probabilidade Wakeby é a mais indicada para trabalhos acerca de vazões máximas anuais no Brasil, dentre as funções analisadas nesse estudo.

Cassalho *et al.* (2017), ao analisar o ajuste de FDPs simples e multiparâmetros às séries de VMA no Rio Grande do Sul, também encontraram resultados que demonstram a superioridade da Wakeby em relação à qualidade de ajuste às séries por eles analisadas. Ainda, Rahman *et al.* (2014), avaliando a aplicabilidade da Wakeby na Austrália, chegaram à mesma conclusão, encontrando resultados que demonstram que essa FDP pode ser indicada para modelagem probabilística de evento de cheias. No que concerne ao estudo aqui conduzido, a distribuição geográfica das estações fluviométricas que originaram em séries que obtiverem os melhores valores de ajuste para a FDP Wekeby também pode ser visualizada na Figura 6.

Conforme salientado neste trabalho, as funções densidade de probabilidade com mais parâmetros performaram melhor do que as funções mais simples de 2 e 3 parâmetros utilizadas nesse estudo. A superioridade nos valores de qualidade de ajuste das FDPs mais robustas pode ser visualizada no Apêndice I, o qual traz os resultados do teste de Filliben (valores de  $r$ ) para cada uma das FDPs aqui utilizadas. A tabela apresentada no Apêndice I está organizada da mesma forma em que as FDPs foram abordadas nessa seção, ou seja, primeiramente as funções de dois parâmetros (Normal, Gamma e Gumbel), depois as de três parâmetros (GEV, GLO,

GNO, GPA, LN3, PE3) e por último as funções Kappa com quatro parâmetros e Wakeby com 5 parâmetros.

A localização das estações fluviométricas cujos dados resultaram nas séries de vazões máximas anuais aqui analisadas, separadas por bacia hidrográfica (conforme as 8 grandes bacias definidas pela ANA), pode ser visualizada nas Figuras 8, 9 e 10. Ainda, essas figuras, assim como as Figuras 5, 6 e 7 discutidas anteriormente, também mostram qual função densidade de probabilidade teve o melhor ajuste para cada série de VMA nessas bacias.

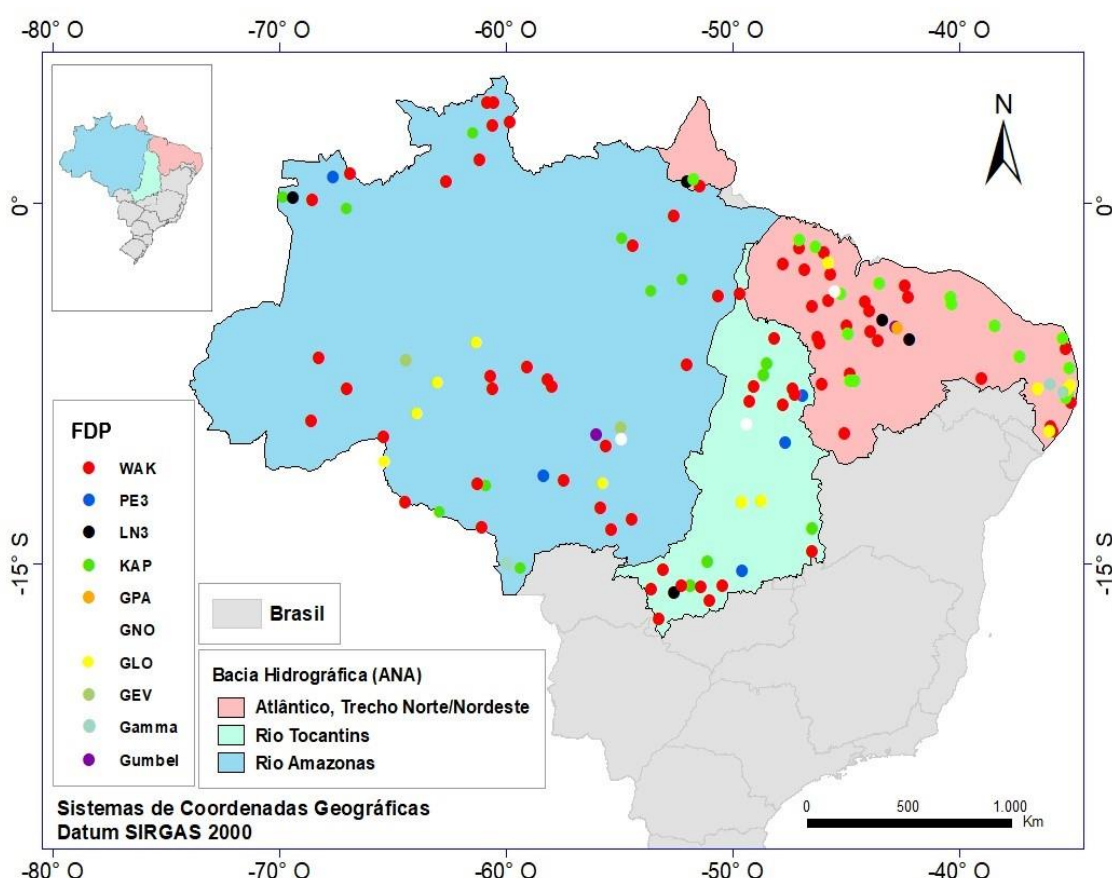


Figura 8: Distribuição geográfica das estações fluviométricas que deram origem às séries de VMA das bacias hidrográficas do Rio Amazonas, do Rio Tocantins e do Atlântico Trecho Norte/Nordeste, evidenciando a FDP de melhor ajuste para cada série

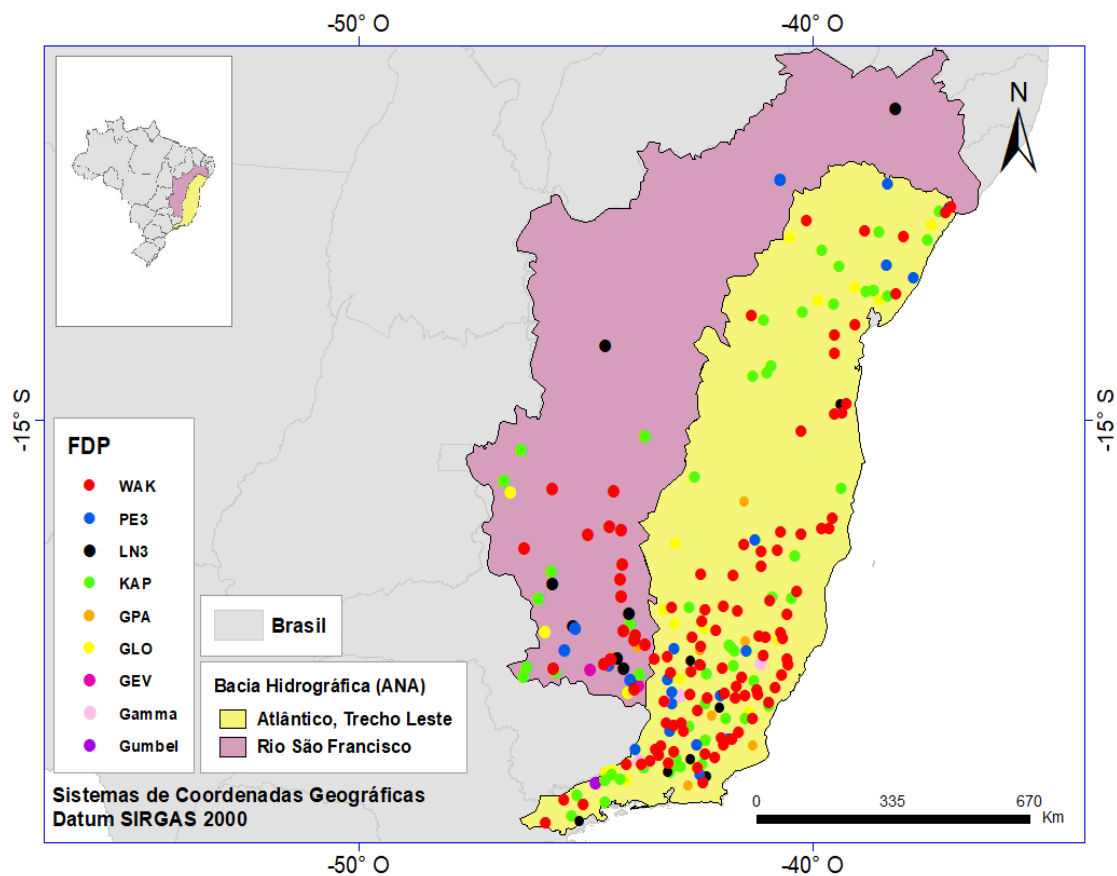


Figura 9: Distribuição geográfica das estações fluviométricas que deram origem às séries de VMA das bacias hidrográficas do Rio São Francisco e do Atlântico Trecho Leste, evidenciando a FDP de melhor ajuste para cada série

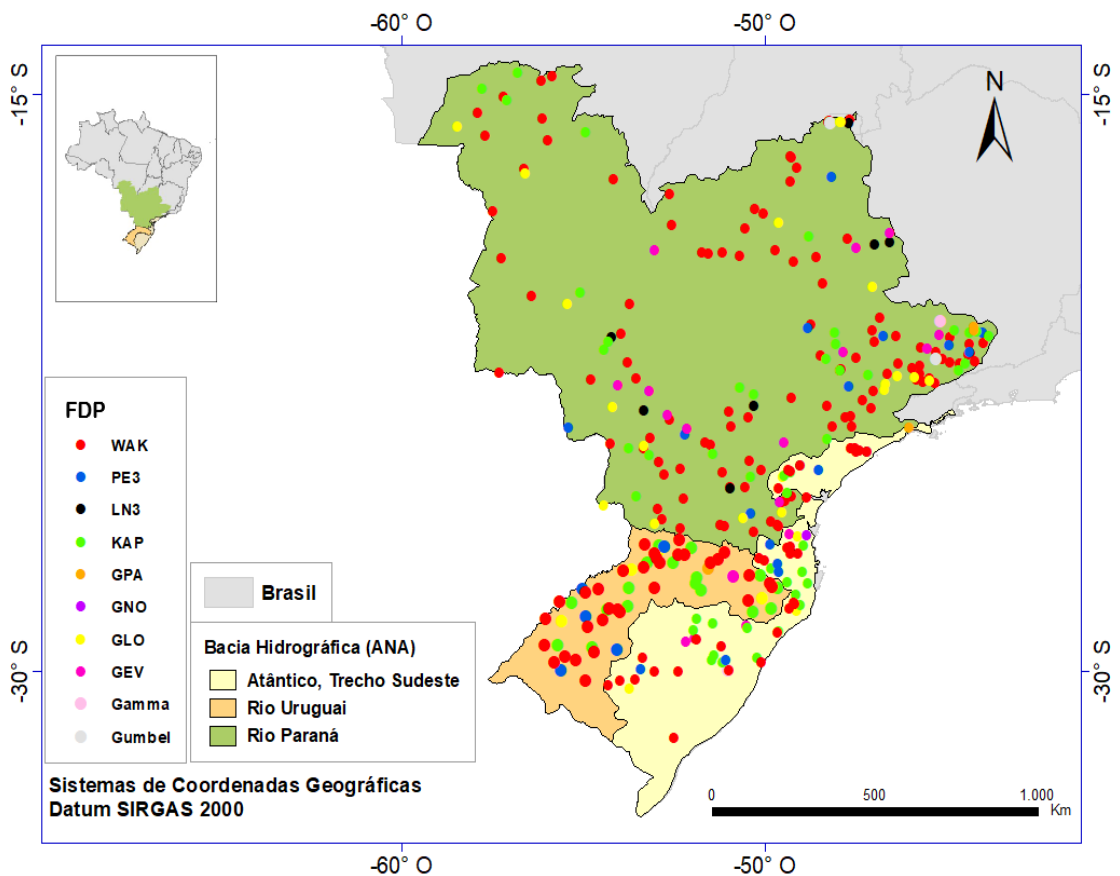


Figura 10: Distribuição geográfica das estações fluviométricas que deram origem às séries de VMA das bacias hidrográficas do Rio Paraná, do Rio Uruguai e do Atlântico Trecho Sudeste, evidenciando a FDP de melhor ajuste para cada série

Conforme pode ser observado nas Figuras de 8, 9 e 10, as FDPs Wakeby e Kappa predominam no que concerne ao número de séries com melhores valores de ajuste em todas as 8 bacias hidrográficas, corroborando o que já fora demonstrado na Figura 7 e na Tabela 8. Ainda, cabe salientar que o fato de que as FDPs multiparâmetros aqui utilizadas performam melhor em todas as bacias corrobora com a inferência de que essas funções performam melhor por razões relativas ao aumento no número de parâmetros e não por razões relativas às características de geomorfológicas de cada bacia.

Corroborando os resultados apresentados até aqui, a figura 11 sintetiza, na forma de um histograma de frequências, a qualidade do ajuste para 5 FDPs tomando como base a estratificação dos valores de  $r$  do teste de Filliben em 7 intervalos. As FDPs Gumbel, GEV e PE3 foram utilizadas para essa análise pois as duas primeiras funções são amplamente utilizadas no Brasil (CASSALHO *et al.*, 2017; BESKOW *et al.*, 2015) e a última função foi a que performou melhor dentre as FDPs de 3 parâmetros

avaliadas nesse estudo, conforme demonstrado na Tabela 4. Já a Kappa e a Wakeby foram utilizadas justamente para demonstrar que essas FDPs tiveram maior aderência às séries de VMA utilizadas neste estudo.

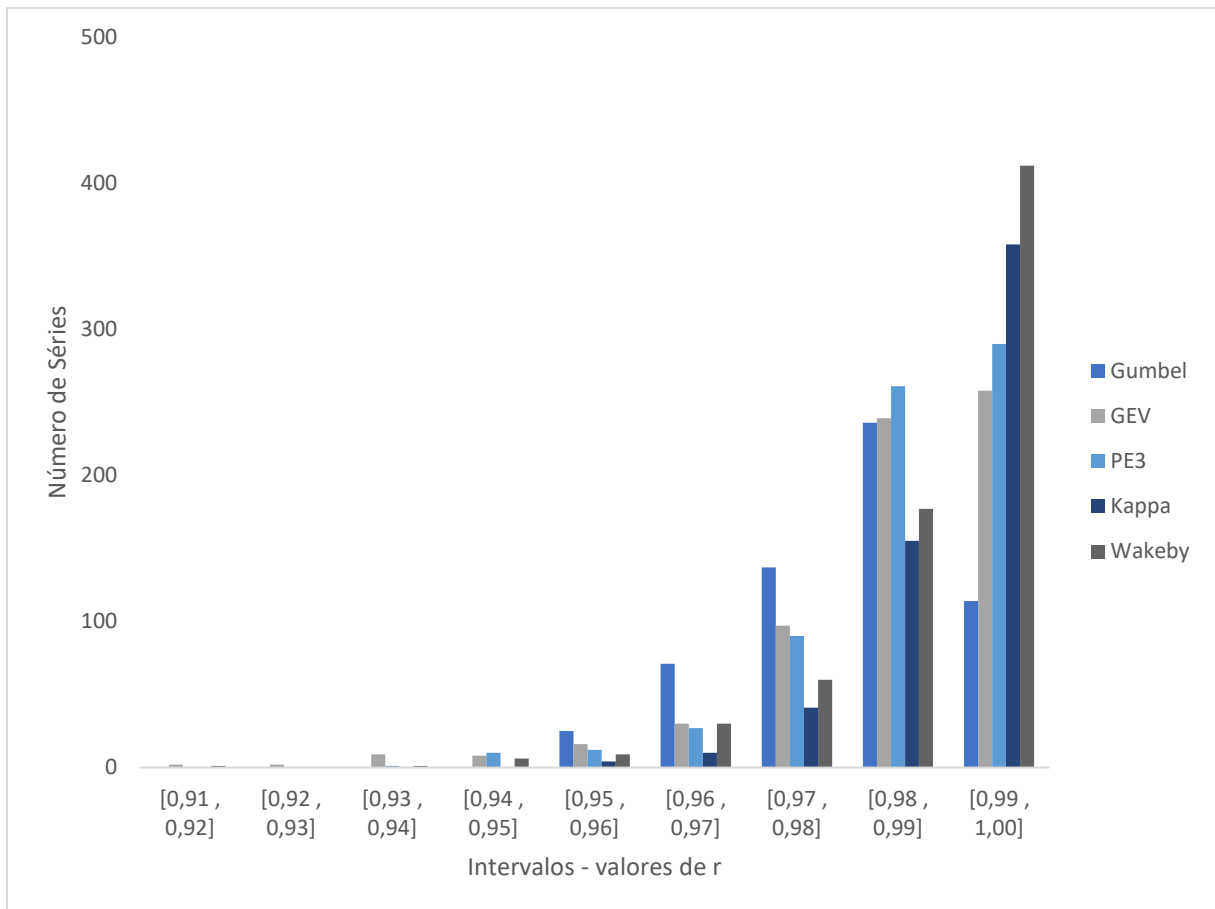


Figura 11: Distribuição de frequência dos valores de  $r$  (teste de Filliben) para as FDPs Gumbel, GEV, PE3, Kappa e Wakeby.

Ao observar o histograma de frequência apresentado na Figura 11, fica mais uma vez evidenciado que a função Wakeby apresenta valores de  $r$  superiores, seguida pela Kappa. Sendo assim, confirma-se, mais uma vez, que as FDPs com mais parâmetros geraram melhores resultados no teste que avalia a qualidade do ajuste dessas funções às séries de vazões máximas anuais no Brasil, ou seja, as FDPs multiparâmetros geraram melhores ajustes do que aquelas de 2 e 3 parâmetros aqui analisadas.

Diversos estudos têm analisado FDPs para modelagem probabilística de vazões máximas, porém poucos estudos têm focado em FDPs com mais de três parâmetros devido à complexidade dessas funções (RAHMAN *et al.*, 2014). Conforme pode ser

amplamente observado, no que concerne a vazões extremas no Brasil, as FDPs multiparâmetros Kappa e Wakeby (4 e 5 parâmetros, respectivamente), de fato performam melhor do que as funções mais simples de 2 e 3 parâmetros aqui utilizadas, conforme amplamente demonstrado pelos resultados encontrados neste trabalho.

Ainda, como forma de avaliar os possíveis erros nas estimativas de vazões de projeto quando feito o uso de FDPs que resultaram em aderência inferior em comparação com as funções multiparâmetros Kappa e Wakeby, foi calculado o erro absoluto relativo “RAE” (sigla em inglês) dos quantis gerados pelas FDPs Gumbel, GEV, PE3 e Kappa em relação à Wakeby para as 345 séries em que esta função gerou o melhor ajuste e, também, o RAE dos quantis gerados pelas FDPs Gumbel, GEV, PE3 e Wakeby em relação à Kappa para as 149 séries em que esta função resultou no melhor ajuste. Os resultados dessa análise podem ser visualizados, de forma sintetizada, na Tabela 9.

Tabela 9: Erro Relativo Absoluto Mínimo, Máximo e Médio para estimativas de vazões máximas anuais para tempos de retorno determinados

FDP com melhor ajuste	FDP de comparação	RAE mínimo (%)			RAE máximo (%)			RAE médio (%)	
		TR = 20 anos	TR = 50 anos	TR = 100 anos	TR = 20 anos	TR = 50 anos	TR = 100 anos	TR = 20 anos	TR = 50 anos
Kappa	Gumbel	0,0182	0,3012	0,1878	25,8750	35,7036	45,8624	5,4583	10,8159
	GEV	0,0002	0,0441	0,0964	26,9474	29,4786	67,5634	2,1373	5,2283
	PE3	0,0082	0,0021	0,0010	23,9192	25,9776	48,8452	1,0423	4,4637
	Wakeby	0,0159	0,0046	0,0691	21,4876	27,6954	55,2951	1,7089	3,1528
Wakeby	Gumbel	0,0063	0,0321	0,0618	42,6497	32,8295	45,2414	4,2998	8,1019
	GEV	0,0015	0,0267	0,0250	27,5787	23,3756	33,5226	1,9673	3,7085
	PE3	0,0051	0,0012	0,0346	94,6599	72,6211	38,6878	2,6628	3,8669
	Kappa	0,0024	0,0046	0,0085	13,7805	8,1177	13,7573	1,1398	1,4670

TR = Tempo de retorno

Conforme pode ser observado na Tabela 9, há uma grande amplitude quanto aos erros mínimos, máximos e médios observados para as vazões de projeto derivadas das FDPs Gumbel, GEV e PE3 tomando como referência as séries em q a Wakeby e a Kappa apresentaram os melhores ajustes. No que concerne às séries que tiveram melhor representação pela função distribuição Kappa, pode-se observar RAEs máximos que variam de 21,5% a 67,6% aproximadamente, o que resulta em uma alta diferença entre as estimativas geradas pelas demais FDPs. Da mesma forma, para as séries que tiveram melhor ajuste para a Wakeby, pode-se observar RAEs máximos que variam de 8,1% a 94,6% aproximadamente, também demonstrando uma diferença percentual elevada entre as estimativas geradas pelas FDPs utilizadas para comparação.

No que concerne aos erros médios, pode se observar uma variação de 1% a 15%, aproximadamente, o que pode ser considerado alto em termos de erros médios, demonstrando a existência de muitos valores superestimados ou subestimados quando usadas FDPs que não produziram o melhor valor de ajuste.

Conforme já abordado nesse estudo, projetistas utilizam a análise de frequência de cheias principalmente para estimar vazões de projeto para certos tempos de retorno (BHAGAT, 2017; BHAT *et al.*, 2019), sendo que a análise local da frequência de cheias é considerada o método mais direto dentre os métodos utilizados para estimação da magnitude e frequência desses eventos (HASSAN; HAYAT; NOREEN, 2019). Ainda, a escolha equivocada de uma FDP pode acabar subestimando ou superestimando a magnitude dos eventos de cheias, o que pode causar sérios problemas em projetos de estruturas hidráulicas (GURU; JHA, 2014).

Tudo isso é corroborado pelos valores apresentados na Tabela 9, os quais demonstram que pode haver erros elevados relativos ao uso de uma FDP não adequada para a série sob análise. Ainda que diversas FDPs possam fornecer valores de ajuste satisfatórios, o que este e diversos outros estudos demonstram é que FDPs mais robustas como as multiparâmetros podem resultar em estimativas mais acuradas para as vazões de projeto. Sendo assim, a escolha da função densidade de probabilidade a ser utilizada é de suma importância para estudos relativos a eventos hidrológicos extremos, sendo que a escolha inapropriada de uma FDP pode levar a erros consideráveis na estimativa de vazões de projeto (RAHMAN *et al.*, 2013). Além disso, estimativas apropriadas da magnitude e frequência de variáveis hidrológicas

podem auxiliar no planejamento de ações para atenuação dos impactos de desastres naturais e são fatores limitantes para obras de estruturas hidráulicas e para a gestão de recursos hídricos (MERZ *et al.*, 2010; AGARWAL *et al.*, 2016).

## **7. Conclusões**

Com base nos resultados encontrados pode-se confirmar todas as hipóteses levantadas no início desse estudo. Ainda, conclui-se que, com base nos métodos aqui utilizados, foi possível propor e avaliar uma estrutura metodológica robusta para análise local de frequência de cheias passível de ser aplicada a nível de um país continental como o Brasil.

No que concerne à etapa de triagem realizada, foi possível concluir que essa etapa teve grande impacto sobre as séries hidrológicas utilizadas nesse estudo, reduzindo substancialmente o número de séries de VMA, considerando que somente as séries que passaram pelas duas etapas de triagem – triagem temporal e triagem estatística – foram consideradas aptas para seguirem para as análises seguintes.

Quanto ao ajuste das FDPs analisadas neste estudo às séries de VMA, pode-se concluir, conforme esperado, que as FDPs multiparâmetros de fato performaram melhor do que as mais simples de 2 e 3 parâmetros, as quais têm sido tradicionalmente utilizadas no Brasil. Segundo os resultados analisados por este estudo, a função Wakeby de 5 parâmetros foi a com maior aderência às séries de VMA distribuídas por todo o país, podendo-se concluir, então, que essa função é a mais indicada para modelagem probabilística de séries de vazões máximas no Brasil. A função Kappa foi, por sua vez, a segunda FDP que com maior número de séries com melhores valores de ajuste, seguida pela FDP PE3.

Salienta-se ainda a importância e abrangência desse estudo no qual foi possível avaliar e comparar a adequabilidade de diversas FDPs em todo território nacional, sendo o primeiro estudo a ser realizado nessa escala no país para a variável VMA. Sendo assim, esse estudo pode servir como base para a modelagem probabilística de eventos de cheias em todo o Brasil, auxiliando pesquisadores e projetistas em suas tomadas de decisões.

## Referências

- ABIDA, H.; ELLOUZE, M. Probability distribution of flood flows in Tunisia. **Hydrology and Earth System Sciences**, v. 12, p. 703–714, 2008.
- AGARWAL, A.; MAHESWARAN, R.; KURTHS, J.; KHOSA, R. Wavelet spectrum and self-organizing maps-based approach for hydrologic regionalization – a case study in the western United States. **Water Resources Management**, v. 30, p. 4399-4413, 2016.
- AHMAD, I.; FAWAD, M.; MAHMOOD, I. At-Site Flood Frequency Analysis of Annual Maximum Stream Flows in Pakistan Using Robust Estimation Methods. **Polish Journal of Environmental Studies**, v. 24, n. 6, 2015.
- AHMAD, I.; SHAH, S.F.; MAHMOOD, I.; AHMAD, Z. Modeling of monsoon rainfall in Pakistan based on Kappa distribution. **Sci. Int**, v. 25, n. 2, p. 333–336, 2013.
- ÁVILA, L. F.; MELLO, C. R. D.; YANAGI, S. D. N. M.; SACRAMENTO, O. B. Tendências de temperaturas mínimas e máximas do ar no Estado de Minas Gerais. **Pesquisa Agropecuária Brasileira**, v. 49, p. 247-256, 2014.
- AYDOGAN, D.; KANKAL, M.; ONSOY, H. Regional flood frequency analysis for Çoruh Basin of Turkey with L-moments approach. **Journal of Flood Risk Management**, v. 9, p. 69-86, 2016.
- BACK, A.J.; HEN, A.; OLIVEIRA, J.L.R. Heavy rainfall equations for Santa Catarina, Brazil. **Rev. Bras. Ciênc. Solo**, v. 35, p. 2127–2134, 2011.
- BALL, J. E.; BABISTER, M. K.; NATHAN, R.; WEINMANN, P. E.; WEEKS, W.; RETALICK, M.; TESTONI, I. **Australian Rainfall and Runoff-A guide to flood estimation**, 2016.
- BASU, B.; SRINIVAS, V. V. Analytical approach to quantile estimation in regional frequency analysis based on fuzzy framework. **Journal of Hydrology**, v. 524, p. 30-43, 2015.
- BESKOW, S. et al. Desenvolvimento de um sistema computacional de aquisição e análise de dados hidrológicos. **Anais do XX Simpósio Brasileiro de Recursos Hídricos**, v. 20, 2013.
- BESKOW, S.; CALDEIRA, T. L.; MELLO, C. R.; FARIA, L. C.; GUEDES, A. S. Multiparameter probability for heavy rainfall modeling in extreme southern Brazil. **Journal of Hydrology: Regional Studies**. v.4, p.123-133, 2015.

- BESKOW, S.; MELLO, C. R. de; VARGAS, M. M.; CORRÊA, L. de L.; CALDEIRA, T. L.; DURÃES, M. S. F. *et al.* Artificial intelligence techniques coupled with seasonality measures for hydrological regionalization of Q90 under Brazilian conditions. **Journal of Hydrology**, v. 541, p. 1406-1419, 2016.
- BHAGAT, N. Flood frequency analysis using Gumbel's distribution method: a case study of Lower Mahi Basin, India. **Journal of Water Resources and Ocean Science**, v. 6, n. 4, p. 51-54, 2017.
- BHAT, M. S.; ALAM, A.; AHMAD, B.; KOTLIA, B. S.; FAROOQ, H.; TALOOR, A. K.; AHMAD, S. Flood frequency analysis of river Jhelum in Kashmir basin. **Quaternary International**, v. 507, p. 288-294, 2019.
- BOBEE, B.; CAVADIAS, G.; ASHKAR, F.; BERNIER, J.; RASMUSSEN, P. Towards a systematic approach to comparing distributions used in flood frequency analysis. **Journal of Hydrology**, v. 142, n. 1-4, p. 121-136, 1993.
- BRESSIANI, D. A.; SRINIVASAN, R.; JONES, C. A.; MENDIONDO, E. M. Effects of spatial and temporal weather data resolutions on streamflow modeling of a semi-arid basin, Northeast Brazil. **International Journal of Agricultural and Biological Engineering**, v. 8, n. 3, p. 125-139, 2015.
- BURN, D. H.; WHITFIELD, P. H. Changes in floods and flood regimes in Canada. **Canadian Water Resources Journal/Revue canadienne des ressources hydriques**, v. 41, n. 1-2, p. 139-150, 2016.
- CALDEIRA, T.L.; BESKOW, S.; MELLO, C.R.; FARIA, L.C.; SOUZA, M.R.; GUEDES, H.A.S. Modelagem probabilística de eventos de precipitação extrema no estado do Rio Grande do Sul. **Rev. Bras. Eng. Agríc. Amb**, v.19, n.3, p. 197–203, 2015.
- CALENDA, G.; MANCINI, C. P.; VOLPI, E. Selection of the probabilistic model of extreme floods: The case of the River Tiber in Rome. **Journal of Hydrology**, v. 371, n. 1-4, p. 1-11, 2009.
- CASSALHO, F.; BESKOW, S.; de MELLO, C. R.; de MOURA, M. M. Regional flood frequency analysis using L-moments for geographically defined regions: An assessment in Brazil. **Journal of Flood Risk Management**, v. 12, n. 2, p. e12453, 2019a.
- CASSALHO, F.; BESKOW, S.; de MELLO, C. R.; de MOURA, M. M.; de OLIVEIRA, L. F. Artificial intelligence for identifying hydrologically homogeneous regions: A state-of-

- the-art regional flood frequency analysis. **Hydrological Processes**, v. 33, n. 7, p. 1101-1116, 2019b.
- CASSALHO, F.; BESKOW, S.; de MELLO, C. R.; de MOURA, M. M; KERSTNER, L. ÁVILA, L. F. At-site flood frequency analysis coupled with multiparameter probability distributions. **Water resources management**, v. 32, n. 1, p. 285-300, 2017.
- CASSALHO, F.; BESKOW, S.; VARGAS, M. M.; de MOURA, M. M.; ÁVILA, L. F.; de MELLO, C. R. Hydrological regionalization of maximum stream flows using an approach based on L-moments. **RBRH**, v. 22, 2017.
- CENAD. **Anuário Brasileiro de Desastres Naturais 2011**. Ministério da Integração Nacional. Secretaria Nacional de Proteção e Defesa Civil. Centro Nacional de Gerenciamento de Riscos e Desastres, 2014. Disponível em: [http://www.integracao.gov.br/c/document\\_library/get\\_file?uuid=e3cab906-c3fb-49fa-945d-649626acf790&groupId=185960](http://www.integracao.gov.br/c/document_library/get_file?uuid=e3cab906-c3fb-49fa-945d-649626acf790&groupId=185960). Acesso em: 15 mar. 2021
- CEPED-UFSC, C. F. **Relatório de Danos Materiais e Prejuízos Decorrentes de Desastres Naturais no Brasil: 1995-2014**. Florianópolis: CEPED UFSC, 2014.
- COOPERSMITH, E. J.; MINSKER, B. S.; SIVAPALAN, M. Patterns of regional hydroclimatic shifts: An analysis of changing hydrologic regimes. **Water Resources Research**, v. 50, n. 3, p. 1960-1983, 2014.
- CUNDERLIK, J. M.; OURDA, T. B. M. J. Trends in the timing and magnitude of floods in Canada. **Journal of Hydrology**, v.375, p. 471-480, 2009.
- CUNNANE, C. Statistical distributions for flood frequency analysis. **Operational hydrology report (WMO)**, 1989.
- DA SILVA, R. M.; SANTOS, C. A.; MOREIRA, M.; CORTE-REAL, J.; SILVA, V. C.; MEDEIROS, I. C. Rainfall and river flow trends using Mann–Kendall and Sen’s slope estimator statistical tests in the Cobres River basin. **Natural Hazards**, v. 77, n. 2, p. 1205-1221, 2015.
- DAS, S. Goodness-of-fit tests for generalized normal distribution for use in hydrological frequency analysis. **Pure and Applied Geophysics**, v. 175, n. 10, p. 3605-3617, 2018.
- DE ALMEIDA, L. T.; SILVA, F. B.; CECÍLIO, R. A.; ABREU, M. C.; DE SOUZA FRAGA, M. Análise do comportamento da vazão e precipitação na influência de enchentes na bacia hidrográfica a montante da cidade de Itajubá. **Revista Augustus**, v. 24, n. 49, p. 124-145, 2019.

- DI BALDASSARRE, G.; LAIO, F.; MONTANARI, A. Design flood estimation using model selection criteria. **Physics and Chemistry of the Earth, Parts A/B/C**, v. 34, n. 10-12, p. 606-611, 2009.
- DO VALE MOREIRA, J. G.; AQUINO, A. P. V.; MESQUITA, A. A.; MUNIZ, M. A.; SERRANO, R. O. P. Stationarity in Annual Daily Maximum Streamflow Series in the Hydrographic Basin of the Upper Juruá River, Western Amazon. **Revista Brasileira de Geografia Física**, v. 12, n. 2, p. 705-713, 2019.
- DRISSIA, T. K.; JOTHIPRAKASH, V.; ANITHA, A. B. Flood frequency analysis using L moments: a comparison between at-site and regional approach. **Water Resources Management**, v. 33, n. 3, p. 1013-1037, 2019.
- FAULKNER, D.; WARREN, S.; BURN, D. Design floods for all of Canada. **Canadian Water Resources Journal/Revue canadienne des ressources hydriques**, v. 41, n. 3, p. 398-411, 2016.
- FRANCO, C.S.; MARQUES, R.F.P.V.; OLIVERIA, A.S.; OLIVEIRA, L.F.C. Distribuição de probabilidades para precipitação máxima diária na Bacia Hidrográfica do Rio Verde, Minas Gerais. **Rev. Bras. Eng. Agríc. Amb**, v. 18, n. 7, p. 735–741, 2014.
- GONÇALVES SANTOS, T.; VENTORINI, S. E. Mapeamento de áreas suscetíveis aos desastres humanos de natureza na bacia do córrego de lenheiro, Minas Gerais, Brasil. **Revista Geográfica Venezolana**, Caracas, v. 59, n. 1, 2018.
- GREENWOOD, J. A.; LANDWEHR, J. M.; MATALAS, N. C.; WALLIS, J. R. Probability weighted moments: definition and relation to parameters of several distributions expressable in inverse form. **Water resources research**, v. 15, n. 5, p. 1049-1054, 1979.
- GURU, N.; JHA, R. A study on selection of probability distributions for at-site flood frequency analysis in Mahanadi River Basin, India. In: **Schleiss et al. (eds) River flow**. Taylor & Francis Group, London, p. 1813-1819, 2014.
- HADDAD, K.; RAHMAN, A. Selection of the best fit flood frequency distribution and parameter estimation procedure: a case study for Tasmania in Australia. **Stochastic Environmental Research and Risk Assessment**, v. 25, n. 3, p. 415-428, 2011.
- HALL, J.; ARHEIMER, B.; BORGÀ, M.; BRÁZDIL, R.; CLAPS, P.; KISS, A.; KJELDSEN, T. R.; KRIAUCUNIENE, J.; et al. Understanding flood regime changes in Europe: A state-of-the-art assessment. **Hydrology and Earth System Sciences**, v. 18, n. 7, p. 2735–2772, 2014.

- HASSAN, M. U.; HAYAT, O.; NOREEN, Z. Selecting the best probability distribution for at-site flood frequency analysis; a study of Torne River. **Sn Applied Sciences**, v. 1, n. 12, p. 1-10, 2019.
- HEIDARPOUR, B.; SAGHAFIAN, B.; YAZDI, J.; AZAMATHULLA, H. M. Effect of extraordinary large floods on at-site flood frequency. **Water Resources Management**, v. 31, n. 13, p. 4187-4205, 2017.
- HODGKINS, G. A.; WHITFIELD, P. H.; BURN, D. H. Climate-driven variability in the occurrence of major floods across North America and Europe. **Journal of Hydrology**, v. 552, p 704-717, 2017.
- HOSKING, J. R. M. **L-Moments**. R package, version 2.8. Disponível em: <https://CRAN.R-project.org/package=lmom>.
- HOSKING, J. R. M. L-moments: Analysis and estimation of distributions using linear combinations of order statistics. **Journal of the Royal Statistical Society: Series B (Methodological)**, v. 52, n. 1, p. 105-124, 1990.
- HOSKING, J. R. M.; WALLIS, J. R. **Regional frequency analysis: An approach based on L-moments** (p. 224). Cambridge: Cambridge University Press, 1997. <https://doi.org/10.1017/CBO9780511529443>
- HIRSCH, R. M.; ARCHFIELD, S. A. Flood trends: Not higher but more often. **Nature Climate Change**, v. 5, n. 3, p. 198-199, 2015.
- JOSEPH, J. F.; FALCON, H. E.; SHARIF, H. O. Hydrologic trends and correlations in south Texas River basins: 1950–2009. **Journal of Hydrologic Engineering**, v. 18, n. 12, p. 1653-1662, 2013.
- KENDALL, M. G. **Rank correlation methods**. 4<sup>th</sup> ed. London: Charles Griffin, 1975.
- KIDSON, R.; RICHARDS, K. S. Flood frequency analysis: assumptions and alternatives. **Progress in Physical Geography**, v. 29, n. 3, p. 392-410, 2005.
- KOUSAR, S.; KHAN, A. R.; UL HASSAN, M.; NOREEN, Z.; BHATTI, S. H. Some best-fit probability distributions for at-site flood frequency analysis of the Ume River. **Journal of Flood Risk Management**, v. 13, n. 3, 2020.
- KUMAR, R.; CHATTERJEE, C.; KUMAR, S.; LOHANI, A. K.; SINGH, R. D. Development of regional flood frequency relationships using L-moments for Middle Ganga Plains Subzone 1 (f) of India. **Water Resources Management**, v. 17, n. 4, p. 243-257, 2003.

- LAIO, F.; DI BALDASSARRE, G.; MONTANARI, A. Model selection techniques for the frequency analysis of hydrological extremes. **Water Resources Research**, v. 45, n. 7, 2009.
- LAIO, F.; GANORA, D.; CLAPS, P.; GALEATI, G. Spatially smooth regional estimation of the flood frequency curve (with uncertainty). **Journal of hydrology**, v. 408, n. 1-2, p. 67-77, 2011.
- LAM, D.; THOMPSON, C.; CROKE, J. Improving at-site flood frequency analysis with additional spatial information: A probabilistic regional envelope curve approach. **Stochastic Environmental Research and Risk Assessment**, v. 31, p. 2011-2031, 2017.
- MADSEN, H.; LAWRENCE, D.; LANG, M.; MARTINKOVA, M.; KJELDSEN, T. R. Review of trend analysis and climate change projections of extreme precipitation and floods in Europe. **Journal of Hydrology**, v. 519, p. 3634-3650, 2014.
- MALLAKPOUR, I.; VILLARINI, G. Investigating the relationship between the frequency of flooding over the central United States and large-scale climate. **Advances in Water Resources**, v. 92, p. 159–171, 2016.
- MANN, H. B. Non-parametric test against trend. **Econometrica**, v. 13, n. 3, p. 245-259, 1945.
- MANN, H. B.; WHITNEY, D. R. On a test whether one of two random variables is stochastically larger than the other. **Annals of mathematical Statistics**, v. 18, p. 50-60, 1947.
- MEDIERO, L. *et al.* Identification of coherent flood regions across Europe by using the longest streamflow records. **Journal of Hydrology**, v. 528, p. 341-360, 2015.
- MELLO, C.R. DE; SILVA, A.M. DA. **Hidrologia: princípios e aplicações em sistemas agrícolas**. Lavras: UFLA, 2013.
- MELLO, C. R. ; SILVA, A. M. ; BESKOW, S. **Hidrologia de superfície: princípios e aplicações**. 2. ed. Lavras: UFLA, 2020. 531p
- MELLO, C.R.; VIOLA, M.R. Mapeamento de chuvas intensas no estado de Minas Gerais. **Rev. Bras. Ciênc. Solo**, v. 37, p. 37–44, 2013.
- MENG, F.; LI, J.; GAO, L. ERM-POT method for quantifying operational risk for Chinese commercial banks. In: **International Conference on Computational Science**. Springer, Berlin, Heidelberg, 2007. p. 478-481.

- MERZ, B.; KREIBICH, H.; SCHWARZE, R.; THIEKEN, A. Review article “assessment of economic flood damage”. **Natural Hazards and Earth System Sciences**, v. 10, n. 8, p. 1697-1724, 2010.
- MOSAFFAIE, J. Comparison of Two Methods of Regional Flood Frequency Analysis by using L-moments. **Water Resources**. v.42, n.3, p.313-321, 2015.
- NADARAJAH, S. A generalized normal distribution. **Journal of Applied Statistics**, v. 32, n. 7, p. 685-694, 2005. DOI: 10.1080/02664760500079464
- NAGHETTINI, M. **Fundamentals of statistical hydrology**. Switzerland: Springer International Publishing, 2017.
- NAGHETTINI, M.; PINTO, E. J. A. **Hidrologia Estatística**. Belo Horizonte: CPRM, 2007. 552 p.
- NERC. **Flood Studies Report**, vol. 1. London: National Environmental Research Council, 1975.
- NOTO, L. V.; LA LOGGIA, G. Use of L-Moments Approach for Regional Flood Frequency Analysis in Sicily, Italy. **Water Resources Management**, v. 23, p. 2207-2229, 2009.
- OUDIN, L.; KAY A.; ANDRÉASSIAN V.; PERRIN C. Are seemingly physically similar catchments truly hydrologically similar?. **Water Resources Research**, v. 46, n. 11, p. 15, 2010. doi:10.1029/2009WR008887
- PENEREIRO, J. C.; ORLANDO, D. V. Análises de tendências em séries temporais anuais de dados climáticos e hidrológicos na bacia do Rio Parnaíba entre os estados do Maranhão e Piauí/Brasil. **Revista Geográfica Acadêmica**, v. 7, n. 2, p. 5-21, 2013.
- PROSDOCIMI, I.; KJELDSEN, T. R.; SVENSSON, C. Non-stationarity in annual and seasonal series of peak flow and precipitation in the UK. **Natural Hazards and Earth System Sciences**, v. 14, n. 5, p. 1125-1144, 2014.
- RAHMAN, A.; CHARRON, C.; OUARDA, T. B. M.; CHEBANA, F. Development of regional flood frequency analysis techniques using generalized additive models for Australia. **Environmental Research Risk Assessment**, v. 32, n. 1, p 123-139, 2018.
- RAHMAN, A.; ZAMAN, M. A.; HADDAD, K.; EL ADLOUNI, S.; ZHANG, C. Applicability of Wakeby distribution in flood frequency analysis: a case study for eastern Australia. **Hydrological processes**, v. 29, n. 4, p. 602-614, 2014.

- RAHMAN, M.M.; SARKAR, S.; NAJAFI, M.R.; RAI, R.K. Regional extreme rainfall mapping for Bangladesh using L-moment technique. **J. Hydrol. Eng.**, v. 18, p. 603–615, 2013.
- RAO, A. R.; HAMED, K. H. **Flood frequency analysis**. CRC press, 2019.
- SALINAS, J. L.; CASTELLARIN, A.; VIGLIONE, A.; KOHNOVA, S.; KJELDSEN, T. R. Regional parent flood frequency distributions in Europe—Part 1: Is the GEV model suitable as a pan-European parent?. **Hydrology and Earth System Sciences**, v. 18, n. 11, p. 4381-4389, 2014.
- SALVIANO, M. F.; GROPO, J. D.; PELLEGRINO, G. Q. Análise de tendências em dados de precipitação e temperatura no Brasil. **Revista Brasileira de Meteorologia**, v. 31, p. 64-73, 2016.
- SANSIGOLO, C.A. Distribuições de extremos de precipitação diária, temperatura máxima e mínima e velocidade do vento em Piracicaba, SP (1917–2006). **Rev. Bras. Meteorol**, v. 23, n. 3, p. 341–346, 2008.
- SANTOS, C. A.; LIMA, A. M. M.; FARIA, M. H. C. S.; AIRES, U. R. V.; SERRÃO, E. A. O. Análise estatística da não estacionariedade de séries temporais de vazão máxima anual diária na bacia hidrográfica do rio Pardo. **Holos**, v. 7, p. 179-193, 2016.
- SANTOS, G.G.; FIGUEIREDO, C.C.; OLIVEIRA, L.F.C.; GRIEBELER, N.P. Intensidade-duração-frequência de chuvas para o Estado de Mato Grosso do Sul. **Rev. Bras. Eng. Agríc. Amb**, v.13, p. 899–905, 2009.
- SERVIDONI, L. E.; TEODORO, A. E. M.; MINCATO, R. L.; dos SANTOS, C. A. Avaliação de risco a enchentes e inundações por krigagem ordinária em sistemas de informação geográfica. **Caderno de Geografia**, v. 29, p. 126-143, 2019.
- SLATER, L. J.; VILLARINI, G. Recent trends in U.S. flood risk. **Geophysical Research Letters**, v. 43, n. 24, p. 12,428-12,436, 2016.
- SOUZA, R.O.R.; SCARAMUSSA, P.H.M.; AMARAL, M.A.C.M.; PEREIRA NETO, J.A.; PANTOJA, A.V.; SADECK, L.W.R. Equação de chuvas intensas para o Estado do Pará. **Rev. Bras. Eng. Agríc. Amb**, v. 16, n.9, p. 999–1005, 2012.
- TUCCI, C.E.M.; GENZ, F. Medidas de controle de inundações. **Estudos Hidrossedimentológicos do Alto Paraguai**, IPH/MMA, 1994.
- TUCCI, C. E. M. Regionalização de vazões, In: Tucci, C. E. M. (Org.) **Hidrologia: ciência e aplicação**. 2.ed. Porto Alegre: ABRH/UFRGS, 2000. p. 573-620

- ULIANA, E. M.; SILVA, D. D. D.; ULIANA, E. M.; RODRIGUES, B. S.; CORRÊDO, L. D. P. Análise de tendência em séries históricas de vazão e precipitação: uso de teste estatístico não paramétrico. **Revista Ambiente & Água**, v. 10, p. 82-88, 2015.
- UNISDR. Making Development Sustainable: The Future of Disaster Risk Management. **Global Assessment Report on Disaster Risk Reduction**. 2015.
- WALD, A.; WOLFOWITZ, J. An exact test for randomness in the non-parametric case based on serial correlation. **Annals of mathematical Statistics**, v. 14, n. 4, p. 378-388, 1943.
- WANG, Q. J. LH moments for statistical analysis of extreme events. **Water Resources Research**, v. 33, n. 12, p. 2841-2848, 1997.
- WMO n° 100, 2011. Guide to Climatological Practices. **Secretariat of the World Meteorological Organization**, Geneva, 2011.
- YUE, S.; PILON, P.; PHINNEY, B.; CAVADIAS, G. The influence of autocorrelation on the ability to detect trend in hydrological series. **Hydrological Processes**, v. 16, n. 9, p. 1807-1829, 2002.
- ZHANG, Z.; STADNYK, T. A.; BURN, D. H. Identification of a preferred statistical distribution for at-site flood frequency analysis in Canada. **Canadian Water Resources Journal/Revue canadienne des ressources hydriques**, v. 45, n. 1, p. 43-58, 2019.

## Apêndices

### Apêndice I – Resultados do teste de Filliben

Série	Normal	Gamma	Gumbel	GEV	GLO	GNO	GPA	LN3	PE3	Kappa	Wakebay
12700000	0,9864	0,9804	NS	NS	0,9847	0,9906	0,9841	NA	0,9905	0,9921	<b>0,9923</b>
13410000	0,9756	0,9829	0,9828	0,9813	0,9889	0,9821	0,9496	0,9821	0,9826	NA	<b>0,9951</b>
13750000	0,9928	0,9952	0,9871	0,9959	0,9939	0,9961	0,9831	0,9961	0,996	0,9956	<b>0,9971</b>
13880000	0,99	0,9894	0,9637	<b>0,9907</b>	0,9852	0,99	0,9847	0,99	0,9898	0,9904	0,9894
14110000	0,9894	0,9847	NS	NS	0,9891	0,9927	0,976	NA	0,9925	0,9919	<b>0,9941</b>
14230000	0,98	0,9853	0,9881	0,9908	0,9878	0,9908	0,983	0,9908	<b>0,9909</b>	0,9905	0,9903
14280001	0,97	0,9807	0,995	0,9939	0,9966	0,9931	0,9751	0,9931	0,9927	0,9959	<b>0,9971</b>
14300000	0,9796	0,9839	0,975	0,9844	0,976	0,9842	0,9886	0,9842	0,984	<b>0,9887</b>	0,9886
14310000	0,9858	0,9901	0,9866	0,9924	0,9881	0,9925	0,9855	<b>0,9925</b>	0,9923	0,9911	0,9923
14350000	0,9874	0,9817	NS	NS	0,9925	0,9925	0,9709	NA	0,9927	<b>0,9927</b>	0,9913
14440000	NS	NS	NS	NS	0,981	0,9858	0,9651	NA	0,9855	0,9815	<b>0,9934</b>
14488000	0,9788	0,9639	NS	NS	0,9783	0,9885	0,9932	NA	0,989	<b>0,9961</b>	0,9959
14515000	0,9923	0,9828	0,9612	NS	0,9895	0,9927	0,9765	NA	0,9925	0,9916	<b>0,9969</b>
14526000	0,9809	0,962	NS	NS	0,9849	0,9923	0,9867	NA	0,9926	0,9946	<b>0,9957</b>
14530000	0,9826	0,9867	0,982	0,9875	0,9791	0,9883	0,9938	0,9883	0,9884	0,9934	<b>0,9938</b>
14550000	0,997	0,9835	0,9721	0,9975	0,9913	0,9969	0,9898	NA	0,9966	0,9978	<b>0,9985</b>

14680001	0,9806	0,9728	NS	NS	0,9674	0,9803	0,9915	NA	0,9793	0,9918	0,9915
14710000	0,9892	0,985	0,9707	NS	0,9922	0,9888	0,9583	NA	0,9892	NA	0,9951
15050000	0,9916	0,9893	0,9711	0,9927	0,9846	0,9919	0,9901	0,9919	0,9915	0,9943	0,9941
15120001	0,9696	0,9777	0,973	0,9759	0,9755	0,9762	0,9661	0,9762	0,9766	0,9717	0,9661
15130000	NS	0,9654	0,9719	0,9677	0,9772	0,9679	0,9358	0,9679	0,9686	NA	0,9825
15150000	0,9931	0,9896	0,9603	0,9936	0,994	0,9942	0,9724	NA	0,9944	0,9949	0,9926
15200000	0,9883	0,9931	0,9873	0,9939	0,9907	0,9939	0,9855	0,9939	0,9939	0,9939	0,9942
15250000	NS	NS	0,9788	0,9917	0,9931	0,9891	0,9804	0,9891	0,9864	0,9912	0,991
15320002	NS	0,9651	0,97	0,9651	0,9753	0,9659	NS	0,9659	0,9667	NA	0,9839
15400000	NS	NS	0,985	0,9889	0,9908	0,9871	0,9749	0,9871	0,9858	0,9894	0,9902
15552600	0,9827	0,9882	0,9812	0,9875	0,9793	0,988	0,9911	0,988	0,988	0,9913	0,9911
15559000	NS	0,9915	0,9686	0,9936	0,9921	0,9942	0,9779	NA	0,9941	0,9936	0,9963
15630000	0,9365	NS	0,9834	0,991	0,9928	0,9886	0,9775	0,9886	0,9865	0,9908	0,9918
15700000	0,9651	0,9737	0,9871	0,9854	0,9912	0,9843	0,9605	0,9843	0,9838	NA	0,9899
15800000	0,9931	0,9947	0,9825	0,9947	0,9931	0,9946	0,9804	0,9946	0,9945	0,9947	0,996
15830000	0,9826	0,9903	0,9953	0,9966	0,9944	0,9966	0,9876	0,9966	0,9966	0,9964	0,997
15910000	0,9822	0,9741	NS	NS	0,9908	0,9884	0,954	NA	0,9884	NA	0,9913
17090000	0,9826	0,9842	0,9897	0,9934	0,9872	0,9937	0,9922	0,9937	0,9939	0,9955	0,995
17093000	0,9906	0,9925	0,9832	0,9924	0,9924	0,9928	0,9772	0,9928	0,9931	0,9926	0,992
17120000	NS	NS	0,9816	0,9843	0,9843	0,9833	0,9722	0,9833	0,9817	NA	0,9861
17200000	NS	0,966	0,9838	0,9877	0,9924	0,9848	0,9653	0,9848	0,9826	NA	0,9964

17210000	NS	0,98	0,9928	0,9947	0,996	0,9934	0,9814	0,9934	0,9924	0,996	0,9961
17280000	0,9649	0,9776	0,9863	0,9862	0,9889	0,9849	0,9668	0,9849	0,9836	NA	0,9882
17340000	0,9872	0,9909	0,9834	0,9894	0,9886	0,99	0,975	0,99	0,9901	0,9896	0,9913
17345000	0,9894	0,9913	0,9807	0,9919	0,9875	0,9918	0,9861	0,9918	0,9918	0,9918	0,9912
17350000	NS	NS	0,9767	0,9776	0,9736	0,9799	0,9788	0,9799	0,9795	NA	0,9788
17380000	0,9677	0,9796	0,9854	0,9839	0,9852	0,9837	0,9683	0,9837	0,9838	0,9845	0,9625
17420000	0,9834	0,9855	0,9745	0,9843	0,9848	0,9849	0,9685	0,9849	0,9851	0,9842	0,9862
17430000	0,9668	0,9789	0,9895	0,9876	0,9932	0,9865	0,9614	0,9865	0,986	NA	0,9968
18200000	0,9922	0,9697	0,9671	0,992	0,9877	0,9919	0,9806	NA	0,9917	0,9919	0,9937
18250000	0,985	0,981	0,9763	0,989	0,979	0,9885	0,995	0,9885	0,9883	0,9953	0,995
18420000	NS	0,9648	0,972	0,9674	0,9617	0,9704	0,9742	0,9704	0,9714	0,9705	0,9742
18460000	0,9954	0,9943	0,9782	0,9952	0,9935	0,9956	0,9797	0,9956	0,9956	0,9951	0,997
18850000	0,9963	0,9915	0,9699	0,9957	0,9968	0,9966	0,9754	NA	0,9968	0,9972	0,9958
19100000	NS	0,9707	0,9772	0,9895	0,9929	0,9857	0,9719	0,9857	0,9821	NA	0,9944
19985000	0,9899	0,9858	0,9639	0,9907	0,9834	0,9899	0,9843	NA	0,9894	0,9908	0,9918
20250000	NS	NS	0,9668	0,9767	0,9724	0,9829	0,9852	0,9829	0,9859	0,9825	0,9852
21300000	NS	0,9939	0,9908	0,9899	0,9843	0,9934	0,9978	0,9934	0,9956	0,9978	0,9978
21580000	NS	0,9742	0,9601	0,9714	0,9675	0,9791	0,9816	0,9791	0,9843	0,9855	0,9816
22100000	NS	0,9874	0,9905	0,9938	0,9943	0,9927	0,9834	0,9927	0,9916	0,9942	0,9938
22700000	NS	0,9845	0,9897	0,9901	0,9857	0,9918	0,9909	0,9918	0,9922	0,9898	0,9913
23150000	0,9787	0,99	0,986	0,9886	0,98	0,9898	0,9955	0,9898	0,9903	0,9953	0,9955

23220000	NS	0,9841	0,9855	0,9873	0,9849	0,9878	0,9868	0,9878	<b>0,9884</b>	0,9869	0,9868
23230000	0,9904	0,9808	0,9662	0,9889	0,9898	0,9902	0,9669	NA	0,9902	NA	<b>0,9947</b>
23250000	0,9844	0,9917	0,9869	0,9926	0,9857	0,9927	0,992	0,9927	0,9927	0,995	<b>0,9954</b>
24050000	0,9716	0,9829	0,9923	0,9918	0,9941	0,9909	0,9727	0,9909	0,9903	NA	<b>0,9951</b>
24200000	NS	0,9836	0,9899	0,9909	0,9883	0,9914	0,9864	<b>0,9914</b>	0,9909	0,9895	0,9912
24500000	0,9673	0,9878	0,9899	0,9899	0,9864	0,9903	0,9846	0,9903	0,9903	0,9883	<b>0,9905</b>
24700000	0,9869	0,9856	0,9723	0,9888	0,9812	0,9883	0,9876	0,9883	0,988	0,9907	<b>0,9913</b>
24800000	0,9727	0,9901	0,9887	0,9895	0,9826	0,9906	0,9925	0,9906	0,9911	<b>0,9935</b>	0,9898
24900000	NS	NS	0,9585	0,9851	0,9852	0,9829	0,9767	0,9829	0,9775	NA	<b>0,986</b>
24950000	0,9893	0,9878	0,974	0,9897	0,9891	0,9897	0,9741	0,9897	0,9898	0,99	<b>0,9915</b>
25120000	NS	0,9902	0,9924	0,995	0,9961	0,9937	0,9828	0,9937	0,9927	0,9958	<b>0,9962</b>
25200000	NS	0,9877	0,9884	0,9882	0,9825	0,9893	0,9901	0,9893	0,9901	<b>0,9914</b>	0,9901
26050000	0,978	0,9901	0,9926	0,9933	0,9923	0,993	0,9824	0,993	0,9926	0,9932	<b>0,9938</b>
26720000	NS	NS	NS	0,9344	<b>0,9437</b>	NS	NS	NS	NS	NA	NS
27380000	NS	NS	0,9607	0,979	0,9768	<b>0,9808</b>	0,9799	0,9808	0,9799	0,979	0,9751
27500000	NS	NS	0,9572	0,9778	0,9847	0,971	0,9509	0,971	0,9645	NA	<b>0,9942</b>
27550000	0,9807	0,9729	0,954	0,9823	0,9711	0,9807	0,9889	0,9807	0,9801	0,9889	<b>0,9889</b>
28150000	0,9662	0,9837	0,9822	0,9796	0,9691	0,9829	0,9943	0,9829	0,9849	<b>0,9958</b>	0,9943
28240000	0,9645	0,9623	NS	0,9637	0,9479	0,9636	0,9841	0,9636	0,9632	<b>0,9887</b>	0,9841
28850000	NS	NS	NS	0,9581	0,9685	NS	NS	NS	0,9435	NA	<b>0,9885</b>
29700000	NS	NS	NS	0,9575	0,9672	NS	NS	NS	0,9481	NA	<b>0,9685</b>

30080000	0,9917	0,9839	0,9607	0,9924	0,9863	0,9915	0,9855	0,9915	0,9912	0,9928	0,9855
30300000	0,9853	0,9917	0,9876	0,9923	0,9901	0,9923	0,9816	0,9923	0,9921	0,9916	0,9903
30400000	0,9883	0,987	0,972	0,9868	0,993	0,9884	0,9563	0,9884	0,989	NA	0,9941
31490000	0,988	0,9732	NS	NS	0,981	0,9888	0,9857	NA	0,9885	0,9913	0,9961
31520000	0,9915	0,9823	0,9658	0,992	0,9855	0,9914	0,9867	NA	0,9912	0,9928	0,9924
31700000	0,9951	0,9947	0,9834	0,9967	0,9943	0,9966	0,9849	0,9966	0,9966	0,9967	0,9974
32450002	0,9842	0,9757	NS	NS	0,9851	0,9849	0,9666	NA	0,9852	0,9846	0,9798
32550000	0,9856	0,9914	0,985	0,9922	0,9848	0,9923	0,9937	0,9923	0,9922	0,9956	0,9963
32620000	0,9862	0,9863	0,9781	0,9885	0,9879	0,9885	0,9733	0,9885	0,9885	0,9889	0,9868
32740000	NS	0,9816	0,9857	0,9855	0,988	0,9844	0,9669	0,9844	0,9833	NA	0,9892
32830000	0,9806	NS	NS	NS	0,9892	0,9897	0,968	NA	0,9899	0,9898	0,9952
32850000	0,9824	0,9739	0,9621	0,981	0,9866	0,9822	0,9501	0,9822	0,9827	NA	0,982
33075000	NS	0,9946	0,9937	0,9938	0,9902	0,9946	0,9916	0,9946	0,9948	0,9941	0,9948
33170000	0,9794	0,9951	0,9945	0,9953	0,9907	0,9958	0,9939	0,9958	0,9961	0,9967	0,9969
33190000	0,9904	0,9662	NS	NS	0,9939	0,9956	0,9743	NA	0,9955	0,9954	0,9952
33260000	0,9797	0,9669	NS	NS	0,9772	0,9795	0,9583	NA	0,9792	0,9772	0,9856
33270000	0,982	0,9861	0,9899	0,9932	0,9866	0,9936	0,9947	0,9936	0,9938	0,9963	0,9947
33281000	NS	NS	NS	0,9724	0,9687	0,9794	0,9803	0,9794	0,9823	0,9775	0,9803
33290000	NS	0,9735	0,9731	0,9913	0,9882	0,9952	0,9959	0,9952	0,996	0,995	0,9957
33321000	0,9872	NS	NS	NS	0,9797	0,9897	0,9924	NA	0,9894	0,9955	0,9973
33330000	0,9742	0,9873	0,9914	0,9919	0,9872	0,9925	0,9905	0,9925	0,9928	0,9932	0,9936

33380000	0,9808	0,9718	0,9666	0,9814	0,9752	0,9812	0,9756	0,9812	0,9808	<b>0,982</b>	0,9756
33520000	NS	0,9853	0,9811	0,9788	0,9719	0,9841	0,9898	0,9841	0,9872	0,9881	<b>0,9898</b>
33530000	NS	0,9837	0,9819	0,9837	0,9788	0,9863	0,9869	0,9863	0,9871	0,9849	<b>0,9841</b>
33550000	NS	0,9702	0,9728	0,9761	0,9726	0,9774	0,9744	<b>0,9774</b>	0,9771	0,9754	0,9746
33620000	0,9682	0,9952	0,9941	0,9929	0,9876	0,9947	0,9965	0,9947	0,9955	0,9963	<b>0,9965</b>
33630000	NS	0,9892	0,9883	0,988	0,9826	0,9908	0,9937	0,9908	0,9924	0,9937	<b>0,9937</b>
33680000	NS	0,9884	0,9877	0,9877	0,9837	0,9886	0,9886	0,9886	<b>0,9895</b>	0,9882	0,9886
33760000	NS	0,9875	0,9845	0,9907	0,9898	0,9902	0,9836	0,9902	0,9893	<b>0,9907</b>	0,9843
33780000	NS	0,9852	0,9755	0,9888	0,9855	0,9919	0,9925	0,9919	<b>0,9925</b>	0,991	0,9914
34070000	0,9814	0,9896	0,9844	0,9893	0,9836	0,9894	0,9881	0,9894	0,9895	<b>0,9907</b>	0,9881
34090000	NS	0,9778	0,9795	0,9744	0,9637	0,9788	0,9907	0,9788	0,9816	<b>0,9922</b>	0,9907
34130000	0,971	0,9934	0,9967	0,9967	0,9943	0,9968	0,9895	0,9968	0,9966	0,9964	<b>0,9971</b>
34170000	0,9879	0,997	0,9946	0,9969	0,9975	0,9969	0,9799	0,9969	0,9969	0,9977	<b>0,9979</b>
34230000	0,9888	0,979	0,9745	0,9876	0,9877	0,9886	0,971	NA	0,9887	0,9882	<b>0,994</b>
34690000	NS	0,9844	<b>0,985</b>	0,9846	0,9842	0,9842	0,9713	0,9842	0,9839	0,9843	0,9838
34770000	NS	0,9928	0,9893	0,9917	0,9881	0,993	0,9907	<b>0,993</b>	0,993	0,9919	0,9924
34789000	0,9676	0,9795	0,9831	0,9826	0,9744	0,9848	<b>0,9912</b>	0,9848	0,9857	0,9898	0,9903
34879500	0,9725	0,9957	0,9953	0,9953	0,9917	0,9958	0,9914	0,9958	0,9959	0,9959	<b>0,996</b>
34940000	0,9903	0,9729	0,9733	0,9921	0,9829	0,9913	0,9936	0,9913	0,9909	0,9957	<b>0,9966</b>
35235000	NS	0,9852	NS	0,9689	0,9692	0,974	0,9705	0,974	<b>0,9893</b>	0,986	0,9705
35240000	NS	0,9785	0,9717	0,9721	0,9673	0,9792	0,985	0,9792	0,9858	<b>0,9935</b>	0,985

35260000	NS	NS	NS	0,939	NS	NS	0,9581	NS	0,9701	<b>0,9928</b>	0,9581
36125000	NS	0,9887	0,9563	0,9832	0,9806	0,9893	0,99	0,9893	<b>0,9927</b>	0,9913	0,99
36160000	NS	0,9937	NS	0,9877	0,9864	0,9939	0,9927	0,9939	<b>0,9968</b>	0,9954	0,9927
36250000	NS	0,9955	0,9658	0,981	0,9772	0,9894	0,9916	0,9894	0,9956	0,9971	<b>0,9975</b>
36580000	NS	NS	NS	0,9189	NS	NS	NS	N	0,9581	<b>0,9645</b>	NS
37220000	NS	0,9831	0,9779	0,9827	0,9796	0,9841	0,9828	0,9841	<b>0,9843</b>	0,9841	0,9828
37470000	NS	0,985	NS	0,9559	0,9538	0,9688	0,9663	0,9688	0,9837	<b>0,9877</b>	0,9663
38170000	NS	NS	NS	0,9185	NS	NS	NS	NS	0,9625	<b>0,9917</b>	NS
38485000	NS	0,9824	NS	0,9903	0,9903	0,9887	0,9904	0,9887	0,9817	0,9826	<b>0,9904</b>
38790000	NS	0,9786	0,9704	0,9623	0,9551	0,9726	0,9808	0,9726	0,9813	<b>0,9935</b>	0,9808
38830000	NS	NS	NS	0,965	<b>0,9656</b>	NS	0,9576	NS	NS	NA	0,9559
38850000	NS	0,9755	NS	0,9707	0,9693	0,9776	0,9753	0,9776	<b>0,9803</b>	0,9736	0,9753
38860000	NS	<b>0,9747</b>	NS	0,943	0,9435	NS	0,9452	NS	0,9731	0,9732	0,9452
38895000	NS	0,9678	NS	0,9338	NS	NS	0,9413	NS	<b>0,9681</b>	0,9574	0,9413
39083000	NS	0,9907	0,9882	0,9917	<b>0,9922</b>	0,9905	0,9821	0,9905	0,9898	0,99	0,9901
39084010	NS	0,9735	0,9742	0,9721	<b>0,9772</b>	0,9707	0,9512	0,9707	0,9707	0,973	0,947
39084020	NS	NS	NS	NS	NS	NS	NS	NS	NS	NA	NS
39140000	NS	0,9913	NS	0,9753	0,9746	0,9833	0,9803	0,9833	<b>0,9921</b>	0,9884	0,9803
39145000	NS	<b>0,9727</b>	NS	0,9404	0,9399	NS	0,947	NS	0,9722	0,9673	0,947
39150000	NS	0,9829	0,9633	0,9654	0,9609	0,975	0,9784	0,975	0,9828	<b>0,9882</b>	0,9784
39170000	NS	0,9793	0,9725	0,9746	0,97	0,9798	0,9854	0,9798	0,9847	<b>0,9881</b>	0,9854

39200000	0,9549	0,9946	0,9912	0,9906	0,9855	0,9934	0,9968	0,9934	0,995	0,9967	<b>0,9968</b>
39480000	0,9855	0,9785	0,9621	0,985	0,9849	0,9854	0,9653	0,9854	<b>0,9855</b>	NA	0,976
39560000	NS	0,9898	0,9792	0,9898	0,9876	0,9909	0,9906	0,9909	<b>0,9913</b>	0,9909	0,9906
39580000	0,9748	0,9858	0,984	0,9851	0,9796	0,986	0,9854	0,986	<b>0,986</b>	0,985	0,9854
39760000	0,9682	0,9906	0,9923	0,9914	0,993	0,9907	0,9756	0,9907	0,9906	0,9929	<b>0,9948</b>
39770000	NS	NS	NS	0,9742	0,9779	0,9672	0,9558	0,9672	0,9582	NA	<b>0,9824</b>
39870000	NS	0,9847	0,9836	0,9846	<b>0,9849</b>	0,9839	0,9744	0,9839	0,9839	0,9835	0,9744
40025000	0,9747	0,992	0,9904	0,9904	0,9827	0,992	0,9964	0,992	0,9928	<b>0,9964</b>	0,9964
40032000	0,9756	0,995	0,9938	0,994	0,9884	0,9951	0,9959	0,9951	0,9956	<b>0,997</b>	0,9968
40050000	0,9866	0,9918	0,9845	0,9924	0,9836	0,9926	0,996	0,9926	0,9926	0,997	<b>0,9973</b>
40053000	0,992	0,9775	0,9755	0,9933	0,9872	0,9928	0,9894	0,9928	0,9926	<b>0,9943</b>	0,9938
40070000	NS	NS	0,9629	0,9777	0,974	0,9834	0,9842	0,9834	<b>0,9852</b>	0,9779	0,9842
40100000	NS	NS	NS	0,9828	0,9814	0,984	0,9824	<b>0,984</b>	0,9794	NA	0,9819
40185000	NS	0,9817	0,9742	<b>0,9885</b>	0,9873	0,9883	0,9868	0,9883	0,9879	0,9861	0,9868
40269900	0,9653	0,9835	0,9824	0,9802	0,9711	0,983	0,9902	0,983	0,9843	0,9873	<b>0,9902</b>
40500000	0,9744	0,9895	0,99	0,99	0,9844	0,991	0,9904	0,991	<b>0,9912</b>	0,9911	0,9904
40549998	NS	0,9855	0,983	0,9827	0,9767	0,9875	0,9918	0,9875	0,9901	0,9905	<b>0,9918</b>
40579995	0,9719	0,9874	0,9881	<b>0,9885</b>	0,9867	0,9884	0,9779	0,9884	0,9883	0,9871	0,9877
40680000	NS	NS	NS	0,9905	<b>0,9909</b>	0,9854	0,9856	0,9854	0,9727	0,9888	0,9856
40710000	NS	NS	NS	0,9754	0,973	0,9818	0,9812	0,9818	<b>0,9837</b>	0,9789	0,9812
40740000	NS	NS	NS	0,9807	0,9791	0,9828	0,9816	<b>0,9828</b>	0,9787	0,9803	0,9802

40800001	NS	NS	NS	0,9722	0,9713	0,9725	0,9714	0,9725	0,9627	NA	0,9713
40810350	NS	0,9874	0,9867	0,9881	0,9851	0,9889	0,9885	0,9889	0,9897	0,9884	0,9885
40822995	0,9827	0,9731	0,9701	0,9851	0,9731	0,9847	0,9946	0,9847	0,9843	0,9945	0,9946
40823500	NS	0,983	0,9837	0,9819	0,9723	0,9847	0,9929	0,9847	0,9864	0,9922	0,9924
40930000	NS	0,9763	0,9774	0,9886	0,9909	0,9858	0,9725	0,9858	0,9829	NA	0,9892
41050000	NS	0,9896	0,9867	0,9831	0,975	0,987	0,9949	0,987	0,9898	0,9957	0,9949
41075001	0,9776	0,995	0,9947	0,9952	0,9926	0,9953	0,9874	0,9953	0,9952	0,9952	0,9949
41135000	0,9799	0,9829	0,9805	0,9861	0,9759	0,987	0,9955	0,987	0,9874	0,9955	0,9955
41180000	NS	NS	NS	0,9768	0,9794	0,9698	0,9624	0,9698	0,9601	0,9794	0,9728
41260000	0,9721	0,988	0,9853	0,9861	0,9765	0,9879	0,9953	0,9879	0,9889	0,9947	0,9949
41300000	NS	0,9893	0,9904	0,9895	0,9919	0,9885	0,9708	0,9885	0,9881	NA	0,9947
41340000	0,9756	0,9948	0,9933	0,9937	0,9877	0,9947	0,9958	0,9947	0,9952	0,9969	0,9969
41380000	0,9799	0,9816	0,98	0,9873	0,9764	0,9877	0,996	0,9877	0,9878	0,996	0,996
41410000	0,9847	0,987	0,9826	0,9907	0,9837	0,9906	0,9876	0,9906	0,9904	0,9918	0,9908
41440005	NS	0,9762	0,9757	0,9715	0,9641	0,9752	0,9791	0,9752	0,9764	0,9708	0,9791
41600000	0,9807	0,9879	0,9849	0,989	0,9858	0,9891	0,9781	0,9891	0,989	0,9878	0,9884
41650002	0,9892	0,9906	0,9864	0,9946	0,9886	0,9945	0,99	0,9945	0,9944	0,9956	0,9959
41818000	0,9929	0,9816	0,9691	0,9931	0,9884	0,9929	0,981	NA	0,9926	0,9922	0,9947
41890000	0,9921	0,9769	0,979	0,9937	0,9881	0,9935	0,989	0,9935	0,9933	0,9943	0,9972
42089998	NS	NS	NS	0,9929	0,9929	0,9888	0,9896	0,9888	0,9776	0,993	0,9931
42145498	NS	NS	NS	0,9377	0,9436	NS	NS	NS	NS	NA	0,9628

42187000	NS	NS	NS	0,981	0,983	0,9708	0,969	0,9708	0,954	NA	<b>0,9873</b>
42365000	0,9859	0,9923	0,9902	0,9923	0,9934	0,9925	0,9759	0,9925	0,9928	0,9933	<b>0,9968</b>
42545002	0,9826	0,9751	0,9833	0,99	0,9826	0,99	0,9888	0,99	0,9899	<b>0,9923</b>	0,9907
42545500	NS	NS	NS	0,9539	<b>0,9624</b>	NS	NS	NS	NS	NA	NS
42840000	0,9874	0,9848	0,9823	0,9915	0,9871	0,9915	0,9846	0,9915	0,9914	<b>0,9919</b>	0,9913
43250002	0,9828	0,9907	0,9859	0,9903	0,985	0,9906	0,9885	0,9906	0,9907	<b>0,9916</b>	0,9885
43675000	NS	0,963	0,9618	0,9541	0,9465	NS	0,9674	NS	0,9637	0,9578	<b>0,9674</b>
44670000	NS	0,9645	NS	0,9334	NS	NS	0,9539	NS	0,962	<b>0,9906</b>	0,9539
45770000	NS	0,9687	0,9825	0,9894	0,9862	0,9914	0,9906	<b>0,9914</b>	0,9913	0,9902	0,991
47900000	NS	0,9717	NS	0,9585	0,9546	0,9679	0,9692	0,9679	<b>0,974</b>	0,9684	0,9692
48880000	NS	NS	NS	0,9724	0,9715	0,9737	0,9724	<b>0,9737</b>	0,9587	0,9725	0,9724
50040000	NS	0,9685	0,9757	0,9761	0,9725	0,9764	0,9751	0,9764	<b>0,9771</b>	0,9749	0,9751
50043000	0,9897	NS	NS	NS	0,9934	0,9961	0,9752	NA	0,996	0,9952	<b>0,9974</b>
50047000	NS	NS	NS	0,9837	0,9832	0,9785	0,9814	0,9785	0,9574	0,9837	<b>0,9844</b>
50080000	0,9698	NS	0,9546	0,9716	0,9544	0,9713	0,993	0,9713	0,9709	<b>0,9962</b>	0,993
50146000	NS	NS	NS	<b>0,9794</b>	0,9793	0,9755	0,9769	0,9755	0,9621	0,9767	0,9769
50150000	NS	NS	NS	0,9596	0,9592	0,9681	0,962	0,9681	<b>0,9733</b>	0,9651	0,962
50191000	NS	NS	NS	0,9638	<b>0,9673</b>	NS	0,9473	NS	NS	NA	0,966
50230000	NS	0,9881	0,9723	0,9712	0,9654	0,9805	0,986	0,9805	0,9879	<b>0,9932</b>	0,986
50250000	0,9713	0,9781	0,9856	0,986	0,9758	0,988	0,9968	0,988	0,9893	0,9966	<b>0,9968</b>
50380000	0,9803	0,981	0,9855	0,9888	0,9872	0,9888	0,9757	0,9888	0,9887	0,9877	<b>0,9892</b>

50420000	NS	NS	NS	0,9921	0,9922	0,9869	0,9896	0,9869	0,9717	0,9893	0,9896
50520000	NS	0,9826	NS	0,9947	0,9939	0,9951	0,9946	0,9951	0,9905	0,995	0,9955
50540000	NS	0,981	0,9692	0,9678	0,9617	0,9765	0,9819	0,9765	0,9827	0,9832	0,9819
50620000	NS	0,9761	NS	0,983	0,9823	0,989	0,9861	0,989	0,9895	0,9879	0,9861
50660000	NS	0,9924	0,986	0,9903	0,9863	0,9931	0,9937	0,9931	0,9938	0,9923	0,9931
50720000	0,894	0,9718	0,9558	0,9519	0,9468	NS	0,9676	NS	0,9735	0,9854	0,9676
50740000	0,9663	NS	0,966	0,9721	0,9576	0,9736	0,9923	0,9736	0,9745	0,9966	0,9923
50755000	NS	0,9734	0,9759	0,9679	0,9569	0,9741	0,9879	0,9741	0,9785	0,9939	0,9879
50785000	0,9755	0,9907	0,9932	0,9938	0,9896	0,9942	0,9914	0,9942	0,9946	0,9946	0,995
50820000	NS	0,9817	0,9705	0,983	0,9833	0,9813	0,9767	0,9813	0,9803	0,9782	0,9767
51120000	0,988	0,9912	0,9889	0,995	0,9896	0,995	0,9913	0,995	0,995	0,9959	0,996
51140000	NS	NS	NS	0,9657	0,9653	NS	0,9622	NS	0,9552	NA	0,9182
51230000	0,9722	0,9671	0,9707	0,9778	0,9647	0,9787	0,9936	0,9787	0,9793	0,9952	0,9936
51280000	NS	0,9733	0,9685	0,9661	0,96	0,9696	0,977	0,9696	0,9731	0,9772	0,977
51330000	NS	0,9785	0,9704	0,9881	0,989	0,9855	0,9795	0,9855	0,9832	0,9826	0,9795
51350000	NS	0,9884	0,9599	0,9786	0,9753	0,9872	0,9887	0,9872	0,9938	0,9942	0,9887
51430000	NS	0,9796	0,9642	0,9624	0,9574	0,9742	0,9784	0,9742	0,9854	0,9978	0,9784
51440000	NS	0,9732	NS	0,9363	NS	NS	0,9514	NS	0,9733	0,9803	0,9514
51460000	NS	NS	NS	0,9803	0,9804	0,9741	0,9779	0,9741	0,9569	0,976	0,9779
51560000	NS	NS	0,9634	0,9843	0,9879	0,9794	0,9677	0,9794	0,9747	0,9862	0,9884
51650000	NS	0,9882	0,9848	0,9859	0,9812	0,9881	0,99	0,9881	0,9894	0,9899	0,99

51870000	NS	0,9696	0,9776	0,9904	0,9882	0,9915	0,9896	0,9915	0,9901	0,9903	<b>0,9941</b>
51890000	0,9636	0,9938	0,9945	<b>0,9951</b>	0,9939	0,9949	0,9888	0,9949	0,995	0,9948	0,9946
52270000	NS	0,9862	0,9758	0,9739	0,9681	0,9812	0,9872	0,9812	0,9868	<b>0,9923</b>	0,9872
52404000	NS	0,9933	0,9738	0,9858	0,9829	0,9899	0,9926	0,9899	0,9932	<b>0,9939</b>	0,9926
52405000	NS	0,9741	0,9694	0,9608	0,9529	0,9689	0,9782	0,9689	0,9748	<b>0,9839</b>	0,9782
53050000	NS	0,9932	0,9934	0,994	0,9923	0,994	0,9887	<b>0,994</b>	0,9939	0,9938	0,9933
53091000	NS	NS	0,9641	0,9905	0,9891	0,9907	0,9878	0,9907	0,9871	NA	<b>0,9908</b>
53160000	0,9629	0,964	0,9773	0,9765	0,9656	0,9795	0,9933	0,9795	0,9815	0,9966	<b>0,9966</b>
53170000	0,972	NS	0,9596	0,9753	0,9605	0,9748	0,9917	0,9748	0,9743	0,9928	<b>0,9929</b>
53780000	NS	0,9882	0,9832	0,9794	0,9725	0,9849	0,9904	0,9849	0,9881	0,9875	<b>0,9904</b>
54165000	NS	0,9956	0,9939	0,9934	0,9886	0,9951	0,9954	0,9951	0,9958	<b>0,9962</b>	NS
54230000	NS	NS	0,9611	0,9811	<b>0,9829</b>	0,9777	0,9708	0,9777	0,9747	0,9768	0,9777
54590000	NS	0,99	0,9865	0,9866	0,9815	0,9894	<b>0,9912</b>	0,9894	0,9905	0,9883	0,9892
55170000	NS	NS	0,9548	0,9604	0,945	0,9627	0,9852	0,9627	0,9637	<b>0,996</b>	0,9852
55340000	0,971	0,9951	0,9952	0,9952	0,9926	0,9953	0,9882	0,9953	0,9953	0,9953	<b>0,9954</b>
55370000	0,9745	0,988	0,9849	0,986	0,9775	0,9875	0,993	0,9875	0,9882	0,9924	<b>0,993</b>
55380000	0,9763	0,9912	0,9891	0,9895	0,9818	0,991	0,9941	0,991	0,9915	0,9934	<b>0,9941</b>
55460000	0,9894	0,9812	0,9726	0,9882	0,9915	0,9895	0,9625	0,9895	0,9898	NA	<b>0,9919</b>
55490000	0,9855	0,987	0,9843	<b>0,9903</b>	0,9896	0,9902	0,9756	0,9902	0,99	NA	0,9865
55520001	0,9898	NS	NS	NS	0,9853	0,9935	0,9901	NA	0,9932	0,9968	<b>0,9972</b>
55560000	NS	0,9883	0,9881	0,9866	0,9813	0,9881	0,9875	0,9881	<b>0,9883</b>	0,9868	0,9875

55610000	NS	0,9842	0,9835	0,9802	0,9719	0,9834	0,9899	0,9834	0,9851	0,9893	<b>0,9899</b>
55630000	0,9789	0,9933	0,993	0,9941	0,9902	0,9944	0,9898	0,9944	0,9944	0,9946	<b>0,9951</b>
55660000	NS	0,9928	0,9873	0,9893	0,9845	0,9927	0,9951	0,9927	0,9944	0,9944	<b>0,9951</b>
55699998	NS	0,9925	0,9899	0,9926	0,9894	0,9936	0,9912	0,9936	0,9935	<b>0,9936</b>	0,9934
55790000	0,9672	0,9811	0,9792	0,9775	0,9682	0,98	0,9872	0,98	0,981	0,9844	<b>0,9872</b>
55850000	NS	0,9852	0,9804	0,9822	0,9775	0,9866	0,9891	0,9866	0,9885	0,986	<b>0,9891</b>
55895000	0,9729	0,9811	0,9786	0,9819	0,9791	0,9819	0,9745	0,9819	0,9819	<b>0,9819</b>	0,9776
55900000	0,9833	0,986	0,9833	0,9891	0,9877	0,9891	0,974	0,9891	0,989	NA	<b>0,9903</b>
55920000	0,9798	0,9923	0,99	0,992	0,9861	0,9927	0,9936	0,9927	0,9931	<b>0,995</b>	0,9936
56055000	0,9926	0,9867	0,9744	0,9933	0,987	0,9927	0,9866	0,9927	0,9924	0,9932	<b>0,9934</b>
56065000	0,9912	0,9928	0,9885	0,9957	0,9941	0,9957	0,9838	0,9957	<b>0,9958</b>	0,9957	0,9949
56075000	NS	0,9878	0,9922	0,9922	0,9883	0,9937	0,9928	0,9937	<b>0,9939</b>	0,9929	0,9928
56085000	0,9741	<b>0,9922</b>	0,9915	0,9919	0,9901	0,9919	0,9844	0,9919	0,992	0,9914	0,9905
56110005	NS	NS	NS	0,963	<b>0,9664</b>	NS	0,9488	NS	0,9467	0,96	0,9601
56240000	NS	0,975	0,9638	0,9799	0,9759	0,9861	0,9877	0,9861	<b>0,9889</b>	0,9873	0,9877
56337000	NS	0,9928	0,9907	0,9886	0,9826	0,9919	0,9957	0,9919	0,9936	0,9945	<b>0,9957</b>
56385000	0,9931	0,9862	0,9758	0,9933	0,9918	0,9934	0,9755	0,9934	0,9933	0,9919	<b>0,9947</b>
56415000	NS	NS	0,9622	0,9862	0,9849	0,9863	0,9829	0,9863	0,9824	NA	<b>0,9882</b>
56425000	NS	0,984	0,9864	0,9896	0,9876	0,9897	0,984	<b>0,9897</b>	0,9889	0,9894	0,9895
56460000	0,9782	0,9829	0,9776	0,9835	0,9772	0,9838	0,9841	0,9838	0,9838	<b>0,985</b>	0,9841
56484998	NS	NS	NS	0,9721	0,9699	0,9742	0,9722	<b>0,9742</b>	0,971	NA	0,9693

56510000	NS	0,9671	0,9628	0,9644	0,959	0,9701	0,9727	0,9701	0,9722	0,9624	<b>0,9727</b>
56539000	NS	0,9791	0,98	0,9779	0,9709	0,9804	<b>0,9829</b>	0,9804	0,9812	0,9789	0,9814
56570000	0,9802	0,9772	0,9773	0,982	0,9831	0,9829	0,9645	0,9829	0,9832	0,9829	<b>0,9912</b>
56610000	0,9801	0,9928	0,9931	0,9933	0,9934	0,9933	0,9793	0,9933	0,9935	0,9936	<b>0,9964</b>
56640000	0,9798	0,9799	0,9785	0,9867	0,9763	0,9868	0,9949	0,9868	0,9869	0,9948	<b>0,9949</b>
56659998	0,9835	0,9868	0,9866	0,9905	0,9876	0,9906	0,9839	0,9906	<b>0,9907</b>	0,9904	0,9804
56696000	0,9749	0,9917	0,9913	0,9912	0,9902	0,9911	0,9824	0,9911	0,9914	0,9908	<b>0,9944</b>
56719998	NS	0,9776	0,9831	0,9908	<b>0,9912</b>	0,9893	0,9813	0,9893	0,9867	NA	0,9842
56765000	NS	0,9793	0,9798	0,9774	<b>0,9806</b>	0,9769	0,9601	0,9769	0,9771	0,9763	0,9723
56775000	NS	0,978	0,9798	0,979	<b>0,9848</b>	0,9771	0,955	0,9771	0,9764	0,9834	0,9685
56787000	NS	NS	NS	NS	NS	NS	NS	NS	NS	NA	NS
56800000	NS	0,9884	0,9916	0,9947	0,9952	0,9935	0,9818	0,9935	0,9918	NA	<b>0,9962</b>
56825000	0,9894	0,9669	NS	NS	0,9848	0,9905	0,9802	NA	0,9903	0,9902	<b>0,9974</b>
56845000	NS	0,9923	0,9938	0,9958	0,9954	0,9951	0,9865	0,9951	0,9943	<b>0,9958</b>	0,9955
56846000	0,9749	0,9697	0,9633	0,9754	0,9643	0,9756	0,9838	0,9756	0,9754	0,983	<b>0,9838</b>
56850000	0,9685	0,9875	0,99	0,9886	0,9938	0,9876	0,9635	0,9876	0,987	NA	<b>0,9952</b>
56851000	0,9745	0,9903	0,9908	0,9915	0,9877	0,9918	0,9869	0,9918	0,992	0,9921	<b>0,9924</b>
56870000	NS	NS	0,9588	0,979	0,9776	0,9789	0,9744	0,9789	0,9751	NA	<b>0,9794</b>
56920000	0,9716	0,9869	0,9879	0,9849	0,9907	0,9849	0,9586	0,9849	0,9851	NA	<b>0,9949</b>
56935000	NS	0,9673	0,9656	0,9576	0,9506	0,9672	0,9738	0,9672	0,9737	0,9738	<b>0,9738</b>
56940002	NS	0,9767	0,9715	<b>0,9897</b>	0,9891	0,9886	0,9829	0,9886	0,9852	NA	0,989

56960005	NS	0,9869	0,9896	0,991	0,9917	0,99	0,977	0,99	0,9884	NA	<b>0,9926</b>
56976000	0,988	0,9772	0,9663	0,9891	0,9792	0,9881	0,9909	0,9881	0,9876	<b>0,9928</b>	0,9909
56978000	0,9851	0,9942	0,991	0,9949	0,9896	0,9951	0,9921	0,9951	0,9952	<b>0,996</b>	0,9958
56983000	0,9778	NS	NS	NS	0,9858	0,9843	0,954	NA	0,9845	<b>0,986</b>	0,9693
56988500	0,9829	0,987	0,9818	0,9882	0,9799	0,9887	0,9924	0,9887	0,9888	<b>0,9927</b>	0,9924
56989001	NS	0,9968	0,9956	0,9955	0,9919	0,9965	0,9946	0,9965	<b>0,9968</b>	0,9967	0,9946
56989400	NS	0,9868	0,9857	0,9841	0,9777	0,9866	<b>0,9886</b>	0,9866	0,9875	0,9868	0,9885
56990000	0,9742	0,9856	0,9849	0,9864	0,9865	0,9861	0,9694	0,9861	0,9855	NA	<b>0,989</b>
56990990	NS	<b>0,9913</b>	0,9909	0,9906	0,9886	0,9907	0,9829	0,9907	0,9908	0,9905	0,9829
56991500	NS	NS	0,9526	0,9854	0,9887	0,9795	0,9682	0,9795	0,9718	NA	<b>0,9929</b>
56992000	0,981	0,9879	0,9868	0,9903	0,9855	0,9905	0,9853	0,9905	0,9904	0,9904	<b>0,9915</b>
56993551	NS	0,9748	0,9764	0,9786	<b>0,983</b>	0,9763	0,9594	0,9763	0,9752	0,9799	0,9799
56994500	NS	0,9913	0,9929	0,9945	0,9924	0,9948	0,9913	0,9948	0,9946	0,9947	<b>0,9955</b>
56995500	NS	NS	0,9708	0,9837	0,9857	0,9806	0,9675	0,9806	0,976	NA	<b>0,9888</b>
56998400	0,9761	0,9925	0,9925	0,9929	0,9908	0,9929	0,9838	0,9929	0,9926	0,9912	<b>0,9933</b>
57040008	NS	NS	NS	NS	0,9589	NS	NS	NA	0,9479	NA	<b>0,9767</b>
57130000	NS	0,9763	0,9775	0,9723	0,9814	0,9729	NS	0,9729	0,9735	NA	<b>0,9903</b>
57170000	0,9824	0,9928	0,9912	0,9931	0,9938	0,9928	0,9759	0,9928	0,9926	NA	<b>0,9955</b>
57250000	0,9789	0,9825	0,9749	0,9824	0,972	0,983	0,9898	0,983	0,9831	0,9888	<b>0,9898</b>
57300000	0,9765	0,9897	0,9893	0,9881	0,9908	0,9883	0,9668	0,9883	0,9884	NA	<b>0,994</b>
57320000	NS	0,9794	0,9634	<b>0,9924</b>	0,9918	0,9915	0,9901	0,9915	0,9889	0,9915	0,9901

57350000	0,9857	0,9921	0,9898	0,9939	0,9919	0,9938	0,9842	0,9938	0,9939	0,9937	0,9931
57360000	NS	0,9787	0,977	0,9778	0,9724	0,9785	0,9751	0,9785	0,9783	0,9743	0,9791
57370000	0,9677	0,9789	0,9783	0,9799	0,979	0,9797	0,9645	0,9797	0,9794	NA	0,9791
57400000	0,9867	0,991	0,9852	0,9916	0,9879	0,9915	0,9838	0,9915	0,9913	0,9916	0,9838
57420000	0,9848	0,9832	0,9767	0,9882	0,9794	0,988	0,9889	0,988	0,9877	0,9907	0,9909
57450000	0,986	0,992	0,9884	0,9937	0,9866	0,994	0,9951	0,994	0,9942	0,9968	0,9976
57476500	0,98	0,9932	0,9927	0,9935	0,9941	0,9932	0,9782	0,9932	0,9929	0,9943	0,9938
57490000	NS	0,9832	0,986	0,9833	0,9899	0,9827	0,9537	0,9827	0,9824	NA	0,9924
57550000	0,9774	0,9911	0,9918	0,9915	0,9948	0,991	0,969	0,991	0,9908	NA	0,9955
57580000	0,9873	NS	NS	NS	0,985	0,9919	0,9859	NA	0,9917	0,9944	0,9942
57700000	0,9774	0,9908	0,9877	0,9888	0,9801	0,9903	0,9957	0,9903	0,991	0,9951	0,9957
57740000	0,9803	0,994	0,9933	0,9946	0,9922	0,9947	0,9859	0,9947	0,9947	0,9946	0,995
57770000	NS	0,9844	0,9864	0,9901	0,9936	0,9878	0,9713	0,9878	0,986	NA	0,9933
57830000	0,9895	0,9911	0,9876	0,9947	0,989	0,9947	0,9917	0,9947	0,9947	0,9957	0,9917
57880000	NS	NS	NS	0,9571	0,963	NS	0,9356	NS	0,9445	0,9548	NS
57930000	0,979	0,9882	0,9848	0,9883	0,9791	0,9893	0,9956	0,9893	0,9898	0,9956	0,9956
58030000	0,9783	0,9795	0,9715	0,9783	0,988	0,9796	NS	0,9796	0,9802	NA	0,9918
58040000	0,9842	0,9886	0,9816	0,9887	0,9818	0,989	0,9907	0,989	0,9889	0,9918	0,9907
58060000	NS	NS	NS	0,975	0,9742	0,9793	0,977	0,9793	0,9747	0,9769	0,977
58096000	NS	NS	0,9504	NS	0,9604	NS	NS	NS	0,9454	NA	0,9775
58183000	0,9668	0,9888	0,9908	0,9893	0,9825	0,9914	0,9959	0,9914	0,9928	0,9959	0,9959

58204000	0,9706	0,9904	0,9919	0,9908	0,9836	0,9926	0,9969	0,9926	0,9938	<b>0,997</b>	0,9969
58235100	NS	0,977	<b>0,9791</b>	0,9778	0,9786	0,9774	0,9671	0,9774	0,9778	0,9731	0,9671
58242000	0,9777	0,9914	0,9899	0,9917	0,9863	0,9922	0,9909	0,9922	0,9924	<b>0,9937</b>	0,9909
58258000	NS	0,9662	0,9602	0,9472	NS	NS	0,9676	NS	0,965	<b>0,9775</b>	0,9676
58270000	0,9869	0,9783	0,969	0,988	0,9781	0,9872	0,9901	0,9872	0,9868	<b>0,9917</b>	0,9901
58305001	0,9648	0,9851	0,9869	0,9857	<b>0,9871</b>	0,9851	0,9714	0,9851	0,9852	0,9859	0,9785
58405000	0,9907	0,9899	0,9822	0,9942	0,9873	0,9939	0,9911	0,9939	0,9937	<b>0,9957</b>	0,9956
58420000	0,9831	0,9884	0,9863	0,9909	0,9844	0,9913	0,9898	0,9913	0,9913	<b>0,9922</b>	0,9903
58425000	0,972	0,9806	0,978	0,9808	0,9687	0,9826	0,9951	0,9826	0,9836	<b>0,9958</b>	0,9951
58434000	NS	0,9789	0,9805	0,9891	0,9859	0,9916	0,9912	<b>0,9916</b>	0,9915	0,9881	0,9886
58440000	NS	NS	NS	0,9475	0,9579	NS	NS	NS	NS	NA	<b>0,9787</b>
58480500	0,9795	0,9934	0,9909	0,9927	0,9864	0,9934	0,9935	0,9934	0,9937	0,9953	<b>0,9956</b>
58500000	NS	NS	NS	0,9502	0,9462	NS	0,9632	NS	<b>0,9738</b>	0,9687	0,9632
58516500	0,9761	0,992	0,9898	0,9905	0,9828	0,9918	0,9947	0,9918	0,9924	0,9949	<b>0,9956</b>
58520000	0,9867	0,9943	0,9887	0,9944	0,9874	0,9946	0,9944	0,9946	0,9947	0,9969	<b>0,9971</b>
58525000	NS	NS	NS	0,9571	<b>0,9619</b>	NS	NS	NS	NS	NA	NS
58530000	NS	NS	0,9671	0,9785	<b>0,9832</b>	0,9745	0,959	0,9745	0,9716	0,9767	0,9594
58542000	0,9889	0,9936	0,988	0,9942	0,9916	0,9944	0,9836	0,9944	0,9944	0,9942	<b>0,9954</b>
58550001	0,9807	<b>0,9919</b>	0,9891	0,9916	0,9886	0,9917	0,9841	0,9917	0,9918	0,9913	0,9846
58560000	0,987	0,9806	0,9675	0,9892	0,9765	0,9878	0,997	0,9878	0,9872	<b>0,9973</b>	0,997
58573000	0,9807	0,9953	0,9942	0,9952	0,9908	0,9957	0,9922	0,9957	0,9957	0,9958	<b>0,9968</b>

58585000	0,9914	0,989	0,9796	0,9939	0,9869	0,9935	0,9915	0,9935	0,9932	0,9955	<b>0,9964</b>
58610000	0,9932	0,9851	0,9739	0,994	0,9871	0,9935	0,9886	0,9935	0,9931	0,9949	<b>0,9969</b>
58630002	0,9809	NS	NS	NS	0,9717	0,9818	0,9868	NA	0,9815	<b>0,9885</b>	0,9868
58645000	NS	0,9812	0,9831	0,9923	0,9895	0,9937	0,9917	<b>0,9937</b>	0,993	0,9915	0,9932
58658000	NS	0,9771	0,9752	0,9775	0,9743	0,9783	0,9792	0,9783	<b>0,9799</b>	0,9737	0,9792
58670002	NS	0,978	0,9565	0,9499	0,9445	NS	0,9671	NS	0,9764	<b>0,9888</b>	0,9671
58710000	0,9838	0,9731	0,9676	0,9863	0,973	0,9853	0,9968	0,9853	0,9848	0,9968	<b>0,9968</b>
58730001	0,9929	0,9884	0,9798	0,995	0,9887	0,9946	0,9885	0,9946	0,9943	0,9953	<b>0,996</b>
58735000	0,9784	0,9913	0,9907	0,9909	0,9921	0,9908	0,9723	0,9908	0,9908	NA	<b>0,9943</b>
58755000	0,9677	0,9932	0,9942	0,9935	0,9891	0,9945	0,9928	0,9945	<b>0,9948</b>	0,9947	0,9928
58765001	0,9818	0,98	0,9756	0,9851	0,976	0,9852	0,9877	0,9852	0,9851	0,9873	<b>0,9877</b>
58770000	0,9822	0,9821	0,9763	0,9869	0,9784	0,9867	0,991	0,9867	0,9866	<b>0,9912</b>	0,991
58795000	0,9822	0,9956	0,993	0,9952	0,9885	0,9958	0,9956	0,9958	0,9961	0,9975	<b>0,9978</b>
58825000	NS	NS	NS	0,9878	<b>0,9896</b>	0,9829	0,9764	0,9829	0,9757	0,9889	0,9867
58826000	NS	0,9795	0,9764	0,975	0,9693	0,98	0,983	0,98	0,9818	0,9746	<b>0,983</b>
58827000	0,9866	0,9939	0,9895	0,9946	0,9902	0,9946	0,9894	0,9946	0,9947	<b>0,9952</b>	0,9949
58846000	0,9756	0,9963	0,996	0,9962	0,9936	0,9962	0,9895	0,9962	0,9965	0,9961	<b>0,9974</b>
58850000	NS	0,9897	0,9887	0,9921	0,9908	0,9918	0,9841	0,9918	0,9908	0,9916	<b>0,9924</b>
58857000	0,9692	0,9943	0,9947	0,9947	0,9932	0,9946	0,9868	0,9946	0,9941	0,9946	<b>0,9955</b>
58870000	NS	0,9948	0,9918	0,9918	0,9865	0,9947	<b>0,9972</b>	0,9947	0,9962	0,9965	0,9966
58874000	NS	NS	NS	0,9642	0,9628	0,9746	0,9701	0,9746	<b>0,9813</b>	0,9722	0,9701

58880001	0,9712	0,9877	0,985	0,9843	0,9742	0,9867	0,9958	0,9867	0,9881	0,9957	<b>0,9958</b>
58910000	0,9885	0,9928	0,9862	0,9928	0,9907	0,993	0,9808	0,993	0,9931	0,9927	<b>0,9954</b>
58916000	0,9836	0,9871	0,9786	0,9863	0,9889	0,9862	0,9656	0,9862	0,9863	0,989	<b>0,9931</b>
58917000	0,9902	0,9862	0,9769	0,9925	0,9851	0,992	0,9921	0,992	0,9918	<b>0,9945</b>	0,9941
58920000	0,9779	0,9914	0,9882	0,9899	0,9808	0,9912	<b>0,9972</b>	0,9912	0,992	0,9969	0,9969
58930000	NS	0,9747	0,9722	0,9734	0,9681	0,9805	0,9842	0,9805	<b>0,9848</b>	0,98	0,9842
58934000	NS	NS	NS	0,965	0,9633	0,9702	0,9687	<b>0,9702</b>	0,97	0,9648	0,9671
58940000	0,9813	0,9846	0,9782	0,9866	0,9774	0,9868	0,9926	0,9868	0,9869	<b>0,9928</b>	0,9926
58960000	0,9833	0,9923	0,9882	0,9927	0,9857	0,9931	0,9935	0,9931	0,9933	0,9955	<b>0,9957</b>
58974000	0,9752	0,9921	0,9903	0,9906	0,9837	0,9918	<b>0,9935</b>	0,9918	0,9924	0,9934	0,9929
59120000	NS	0,9887	0,9867	0,9868	0,9827	0,9876	0,9875	0,9876	<b>0,9887</b>	0,9877	0,9875
59125000	NS	0,9951	0,9955	<b>0,9963</b>	0,9949	0,9961	0,9887	0,9961	0,9955	0,9959	0,9956
59135000	NS	0,9786	0,9846	0,9874	0,9852	0,9876	0,9815	<b>0,9876</b>	0,9869	0,9863	0,9862
59181000	0,9758	0,9861	0,9831	0,9852	0,9841	0,9853	0,9762	0,9853	0,9857	0,9833	<b>0,9869</b>
59240000	NS	0,9885	0,9879	0,9862	0,9789	0,9888	<b>0,9942</b>	0,9888	0,9905	0,994	0,9941
59370000	NS	0,986	0,9815	0,9754	0,9674	0,9819	0,9905	0,9819	0,9866	<b>0,9944</b>	0,9905
60010000	0,985	0,9827	0,9725	0,9854	0,9816	0,9856	0,9769	<b>0,9856</b>	0,9855	0,9853	0,9769
60011000	NS	0,9848	0,9879	<b>0,9929</b>	0,9925	0,9921	0,9854	0,9921	0,9911	0,9919	0,9909
60100000	0,9777	0,9947	0,9945	0,995	0,9914	0,9953	0,9891	<b>0,9953</b>	0,9951	0,9948	0,9951
60145000	NS	NS	NS	<b>0,9736</b>	0,9726	0,973	0,9677	0,973	0,9692	NA	0,9698
60150000	NS	0,9799	0,9798	0,9767	0,9696	0,9825	0,9883	0,9825	0,986	0,9856	<b>0,9883</b>

60220000	NS	NS	NS	0,977	0,9806	0,9707	0,9617	0,9707	0,9645	0,9738	0,9617
60435000	NS	0,9795	0,9795	0,9783	0,972	0,9829	0,9871	0,9829	0,9852	0,9829	0,9871
60435100	0,9785	0,9923	0,9931	0,9937	0,9935	0,9933	0,9801	0,9933	0,9928	NA	0,9955
60435150	0,9633	0,9766	0,9777	0,9778	0,9744	0,9783	0,9774	0,9783	0,9786	0,9786	0,9774
60435300	NS	0,9792	0,9717	0,9962	0,9968	0,9937	0,9875	0,9937	0,9892	NA	0,9974
60435400	NS	NS	0,9592	0,9578	0,9545	NS	0,9524	NS	0,9574	NA	0,9524
60473000	NS	NS	0,9592	0,9854	0,9883	0,9803	0,9699	0,9803	0,974	NA	0,99
60476100	0,9668	0,9756	0,9729	0,9756	0,9705	0,976	0,9714	0,976	0,9757	NA	0,9737
60477400	NS	0,987	0,988	0,9875	0,9889	0,9867	0,9716	0,9867	0,9862	0,9886	0,9887
60477600	NS	NS	NS	0,9352	0,9457	NS	NS	NS	NS	NA	NS
60540000	NS	0,9672	0,9714	0,9785	0,974	0,9851	0,9882	0,9851	0,9893	0,9893	0,9882
60615000	0,9754	0,9925	0,9902	0,9905	0,9829	0,9919	0,996	0,9919	0,9928	0,9961	0,996
60640000	0,9777	0,9808	0,9699	0,9824	0,9706	0,9819	0,9922	0,9819	0,9816	0,9919	0,9922
60642000	0,987	0,9675	NS	NS	0,9803	0,9901	0,9927	NA	0,9899	0,996	0,9972
60654000	0,9939	0,9892	0,9696	0,9945	0,9882	0,994	0,9874	0,994	0,9936	0,9951	0,9953
60665000	0,9914	0,98	0,9636	0,9928	0,9828	0,9914	0,9908	0,9914	0,9908	0,9948	0,9957
60680000	NS	0,9616	0,9742	0,9904	0,9905	0,9887	0,9828	0,9887	0,9849	NA	0,9851
60772000	0,9873	0,9914	0,983	0,9922	0,985	0,9921	0,9916	0,9921	0,9919	0,9944	0,9945
60810000	0,9776	0,9946	0,9939	0,9946	0,9893	0,9953	0,9946	0,9953	0,9957	0,9967	0,9968
60835000	0,9777	0,987	0,9831	0,9869	0,9785	0,9878	0,9925	0,9878	0,988	0,9921	0,9925
60850000	0,9914	0,9809	0,9718	0,9897	0,991	0,9909	0,9706	NA	0,9911	0,9908	0,9944

60855000	0,9864	0,9963	0,9929	0,9964	0,9918	0,9966	0,9931	0,9966	0,9967	0,9971	<b>0,9973</b>
60870000	NS	0,9767	0,9835	0,9822	0,9874	0,9805	0,9575	0,9805	0,9797	NA	<b>0,9878</b>
60910000	NS	0,9864	0,9882	0,9913	0,9893	0,9916	0,9869	0,9916	0,9906	0,9912	<b>0,9921</b>
60925001	NS	0,9865	0,9862	0,9855	0,9805	0,9867	0,9845	0,9867	0,9868	0,9852	<b>0,9873</b>
60930000	0,9796	0,9897	0,992	0,9936	0,9902	0,9937	0,9864	0,9937	0,9936	0,993	<b>0,9938</b>
60950000	0,9779	0,9901	0,9936	0,9939	0,9931	0,9937	0,9823	0,9937	0,9938	0,9939	<b>0,9948</b>
60968000	0,9918	0,9964	0,9891	0,9971	0,9914	0,997	0,9936	0,997	0,9969	0,9982	<b>0,9986</b>
60970000	NS	0,9779	0,9887	0,9887	0,9904	0,9877	0,9737	0,9877	0,9873	0,9891	<b>0,9927</b>
61009000	0,976	0,9872	0,9847	0,9861	0,9783	0,9874	0,9919	0,9874	0,9879	0,9912	<b>0,9919</b>
61012000	NS	0,9842	0,9906	0,9946	0,995	0,9934	0,984	0,9934	0,9914	NA	<b>0,9967</b>
61014000	0,9786	0,9879	0,9843	0,9885	0,9814	0,9889	0,9903	0,9889	0,989	<b>0,9918</b>	0,9903
61024000	NS	0,9735	0,9708	0,9935	0,9939	0,9912	0,9864	0,9912	0,9878	0,9938	<b>0,9942</b>
61031000	NS	0,9846	0,982	0,9767	0,9691	0,982	0,9897	0,982	0,9852	<b>0,9909</b>	0,9897
61045000	NS	NS	NS	NS	0,9614	0,9765	0,9926	NA	0,9808	0,9929	<b>0,9944</b>
61052000	0,9809	0,9773	0,958	0,9793	0,9865	0,9808	0,9449	0,9808	0,9814	NA	<b>0,9912</b>
61060000	NS	NS	0,9512	0,9763	0,9735	0,9834	0,9833	0,9834	<b>0,9868</b>	0,9799	0,9833
61075000	NS	0,9726	0,9717	0,9774	0,9726	0,9839	0,9873	0,9839	<b>0,9877</b>	0,9866	0,9873
61078000	NS	NS	NS	0,9829	0,9831	0,9791	0,9767	0,9791	0,969	NA	<b>0,9861</b>
61085000	NS	0,9749	0,9786	0,9734	0,9649	0,979	0,9881	0,979	0,9826	<b>0,9888</b>	0,9881
61090000	0,9772	0,9871	0,9832	0,9867	0,9821	0,9868	0,9845	0,9868	<b>0,9871</b>	0,9869	0,9845
61100000	NS	NS	NS	0,9817	0,984	0,9734	0,9687	0,9734	0,9618	NA	<b>0,9877</b>

61105000	0,9727	NS	NS	0,9744	0,9576	0,9724	0,992	0,9724	0,9714	<b>0,9935</b>	0,992
61107000	NS	0,9809	0,984	0,9847	0,98	0,987	<b>0,988</b>	0,987	0,9879	0,9866	0,9872
61115000	NS	0,9856	0,9843	0,9818	0,9745	0,9848	<b>0,9896</b>	0,9848	0,9861	0,9873	0,9888
61122000	NS	0,9904	0,9791	0,9811	0,9758	0,9873	0,992	0,9873	0,9914	<b>0,9932</b>	0,992
61135000	NS	NS	0,9523	0,9462	0,9403	NS	0,9628	NS	0,9679	<b>0,9716</b>	0,9628
61175000	NS	NS	NS	<b>0,9478</b>	0,9467	NS	0,9463	NS	NS	NA	0,9477
61202000	0,9709	<b>0,989</b>	0,9885	0,9888	0,9871	0,9888	0,9822	0,9888	0,989	0,9882	0,9875
61267000	NS	NS	NS	0,972	0,9711	0,9658	0,9695	0,9658	0,9387	NA	<b>0,9777</b>
61271000	0,991	0,9893	0,9815	0,992	<b>0,994</b>	0,9925	0,9737	0,9925	0,9929	0,993	0,9898
61285000	0,9892	0,9758	NS	NS	0,9884	0,9923	0,9782	NA	0,9921	0,9922	<b>0,9926</b>
61295000	0,9838	0,9918	0,9922	0,9946	0,9916	0,9947	0,987	0,9947	0,9948	0,9947	<b>0,9956</b>
61305000	0,9911	0,9753	0,9521	NS	0,9958	0,9951	0,9671	NA	0,9952	NA	<b>0,9971</b>
61350000	NS	0,9911	0,9898	0,9895	0,985	0,9919	0,9932	0,9919	0,9927	0,9915	<b>0,9932</b>
61370000	0,9751	NS	NS	NS	<b>0,9781</b>	0,976	0,949	NA	0,9764	NA	0,9607
61390000	0,9903	0,9728	NS	0,9928	0,9926	0,993	0,9726	NA	0,9932	0,9937	<b>0,9955</b>
61410000	0,9697	0,985	0,985	0,9854	0,9833	0,9854	0,9764	0,9854	0,9848	0,984	<b>0,9879</b>
61425000	NS	0,9671	0,9723	0,9675	0,9789	0,9661	NS	0,9661	0,966	NA	<b>0,9902</b>
61460000	NS	0,963	0,9608	NS	0,9674	NS	NS	NS	0,9612	0,9647	<b>0,9737</b>
61473000	0,9876	0,9836	0,9785	0,9873	0,991	0,9885	0,9636	0,9885	0,9889	NA	<b>0,9935</b>
61500000	0,9632	0,9846	<b>0,9861</b>	0,984	0,9858	0,9836	0,9688	0,9836	0,9838	0,9836	0,9519
61510000	NS	0,9901	0,9933	0,9954	0,9959	0,9942	0,9837	0,9942	0,9927	NA	<b>0,9968</b>

61537000	NS	0,9693	0,9792	0,9913	0,9909	0,9903	0,9848	0,9903	0,9879	NA	0,9908
61610000	0,9812	0,9901	0,9883	0,9897	0,9901	0,9898	0,975	0,9898	0,9901	0,99	0,9936
61700000	0,9758	0,9912	0,99	0,9907	0,9831	0,9919	0,9958	0,9919	0,9927	0,996	0,9962
61770000	0,9813	0,9942	0,9934	0,9947	0,9932	0,9947	0,9832	0,9947	0,9946	0,9945	0,9954
61795000	0,9639	0,9927	0,9911	0,9908	0,9857	0,9923	0,9953	0,9923	0,9935	0,9949	0,9953
61800500	0,982	0,9624	NS	NS	0,979	0,9859	0,9794	NA	0,9857	0,986	0,9937
61815000	NS	0,9811	0,969	0,9853	0,982	0,9908	0,9923	0,9908	0,9936	0,9917	0,9923
61826000	0,9904	0,9938	0,9873	0,9949	0,9917	0,9949	0,9869	0,9949	0,995	0,9949	0,9957
61861000	0,9824	0,9931	0,9918	0,9928	0,9955	0,9926	0,9729	0,9926	0,9926	NA	0,9946
61865000	0,9886	0,9912	0,9816	0,9902	0,9925	0,9908	0,9674	0,9908	0,991	NA	0,9929
61879000	NS	0,9649	0,9768	0,9833	0,9878	0,9798	0,964	0,9798	0,9774	0,9875	0,9859
61886000	0,9949	0,986	0,967	0,9959	0,9885	0,9949	0,9915	NA	0,9946	0,9971	0,9965
61902000	0,9841	0,9789	0,9635	NS	0,9874	0,9837	0,9526	NA	0,9842	NA	0,9899
61910000	0,9748	NS	NS	NS	0,993	0,9924	0,9615	NA	0,9918	0,993	0,9929
61912000	0,9898	0,9789	NS	NS	0,99	0,9928	0,9779	NA	0,9928	0,9928	0,9909
61913500	0,9863	0,992	0,9864	0,9928	0,9875	0,9929	0,9888	0,9929	0,9928	0,9937	0,9934
61915000	0,9951	0,9866	0,9648	0,9957	0,9923	0,9956	0,9832	NA	0,9955	0,9956	0,9944
61953001	NS	0,9943	0,9909	0,991	0,9862	0,9933	0,995	0,9933	0,9945	0,9949	0,995
61956001	NS	0,9862	0,9837	0,9895	0,986	0,9922	0,9924	0,9922	0,9925	0,991	0,9924
62395000	NS	0,9637	0,9681	0,9704	0,9777	0,967	0,9445	0,967	0,9654	NA	0,9825
62420000	0,9911	0,9846	0,9607	0,9914	0,9914	0,9917	0,9705	NA	0,9918	0,9919	0,9923

62477100	0,9875	0,981	0,9627	0,9863	0,9888	0,9878	0,9644	NA	0,988	0,9886	<b>0,9896</b>
62490000	0,9638	0,9771	0,975	0,9742	0,9645	0,9769	0,9873	0,9769	0,9782	0,9872	<b>0,9873</b>
62496001	0,9693	0,9868	0,9869	0,9862	0,9867	0,9859	0,9744	0,9859	0,9862	0,9855	<b>0,9886</b>
62615000	NS	NS	NS	0,9869	0,987	0,9843	0,9802	0,9843	0,9775	NA	<b>0,9885</b>
626222000	NS	NS	0,9618	0,9657	<b>0,9727</b>	NS	0,9403	NS	0,959	NA	0,9721
62632000	NS	NS	NS	NS	NS	NS	NS	NS	NS	NS	NS
62709000	NS	NS	NS	0,9588	0,9547	0,9649	0,9664	0,9649	<b>0,9672</b>	0,9591	0,9617
62721000	0,9888	0,9911	0,9884	0,9937	0,9932	0,9939	0,9783	0,9939	0,994	0,994	<b>0,9947</b>
62760005	NS	NS	NS	0,9729	0,9778	0,9646	0,9523	0,9646	0,9561	NA	<b>0,9806</b>
62760130	0,9767	0,9874	0,9891	0,9897	0,984	0,9906	0,991	0,9906	0,9909	<b>0,992</b>	0,991
62760150	0,9704	0,9833	0,9804	0,9805	0,9705	0,9829	0,9928	0,9829	0,984	0,992	<b>0,9928</b>
62772500	NS	0,9673	0,9617	0,9726	0,9688	0,9813	0,9835	0,9813	0,9882	<b>0,9882</b>	0,9835
62781000	NS	NS	NS	0,9365	0,9369	NS	NS	NS	NS	NA	<b>0,9428</b>
63001200	0,9796	0,985	0,9803	<b>0,9855</b>	0,9838	0,9853	0,9738	0,9853	0,9851	NA	0,9799
63900001	NS	0,982	0,9899	0,9881	0,9825	0,9905	0,9927	0,9905	0,9915	0,9912	<b>0,9927</b>
63950100	NS	0,9662	0,9763	0,9913	0,9894	0,9927	0,9922	<b>0,9927</b>	0,9922	0,9923	0,9922
63950150	0,9621	0,9703	0,9678	0,9682	0,9568	0,971	0,9847	0,971	0,9722	<b>0,9861</b>	0,9847
63950250	0,9862	0,9942	0,992	0,9949	0,9946	0,9947	0,9824	0,9947	0,9947	0,9953	<b>0,9956</b>
64040000	0,9827	0,9641	NS	0,9848	0,9716	0,9825	0,9911	0,9825	0,9818	<b>0,9916</b>	0,9911
64065000	NS	0,9769	0,9759	0,9723	0,9637	0,9763	0,9861	0,9763	0,9787	0,9882	<b>0,9885</b>
64231000	NS	NS	NS	<b>0,991</b>	0,9905	0,989	0,9899	0,989	0,9804	0,9909	0,9899

64315000	NS	0,9931	0,9943	0,9952	0,9926	0,9955	0,9919	0,9955	0,9958	0,9953	<b>0,996</b>
64345000	0,9807	0,991	0,9876	0,9911	0,9852	0,9914	0,9891	0,9914	0,9915	<b>0,9922</b>	0,9917
64370000	NS	0,9703	0,97	0,9703	0,9669	0,9707	0,9643	<b>0,9707</b>	0,9702	NA	0,9605
64382000	NS	0,9859	0,9864	0,9875	0,9879	0,9866	0,9755	0,9866	0,9858	NA	<b>0,9887</b>
64395000	0,9808	0,9889	0,9838	0,989	0,9808	0,9895	0,9949	0,9895	0,9897	<b>0,9951</b>	0,9949
64442800	0,9878	0,9907	0,9835	0,9904	0,9912	0,9909	0,9726	0,9909	0,9911	0,9912	<b>0,9937</b>
64447000	0,9617	0,9878	0,9856	0,9829	0,975	0,9861	0,9943	0,9861	0,9882	<b>0,9954</b>	0,9943
64465000	0,9833	0,9721	0,965	0,9856	0,9723	0,9844	0,9958	0,9844	0,9837	0,9958	<b>0,9958</b>
64477600	0,9834	0,9727	0,9736	0,9866	0,9749	0,9864	0,9961	0,9864	0,9861	0,996	<b>0,9961</b>
64501000	0,9836	0,9961	0,9953	0,9967	0,9953	0,9966	0,986	0,9966	0,9965	0,9965	<b>0,9969</b>
64507000	NS	0,9798	0,9788	0,9839	0,9799	0,9875	0,9886	0,9875	0,9884	0,9846	<b>0,9886</b>
64575003	0,9815	0,9947	0,9958	<b>0,9966</b>	0,9951	0,9965	0,9885	0,9965	0,9965	0,9965	0,9957
64609000	0,9871	0,9908	0,982	0,9913	0,9851	0,9912	0,9911	0,9912	0,9911	0,9932	<b>0,9937</b>
64613000	NS	0,9733	0,9742	0,9673	0,957	0,973	0,9847	0,973	0,9768	<b>0,9869</b>	0,9847
64614000	0,99	0,9915	0,981	0,9931	0,9865	0,9928	0,9898	0,9928	0,9925	0,9942	<b>0,9942</b>
64617000	0,9593	0,9835	0,9867	0,9835	0,9761	0,9871	0,9941	0,9871	0,9892	0,9937	<b>0,9941</b>
64618000	0,9867	0,9859	0,9678	<b>0,9869</b>	0,9826	0,9866	0,9773	0,9866	0,9863	0,9861	0,9809
64619950	0,9741	0,988	0,9871	0,9881	0,9839	0,9886	0,9846	<b>0,9886</b>	0,9885	0,9867	0,9884
64620000	0,9648	0,9907	0,9902	0,9878	0,9818	0,9901	0,993	0,9901	0,991	0,9913	<b>0,993</b>
64625000	0,993	0,9925	0,9871	0,9969	0,992	0,9967	0,9912	0,9967	0,9966	0,9974	<b>0,9974</b>
64645000	0,9895	0,9806	0,9721	0,9913	0,9808	0,9905	0,9959	0,9905	0,9899	<b>0,9969</b>	0,9956

64652000	NS	NS	0,9552	0,9899	0,991	0,9858	0,9795	0,9858	0,9783	NA	<b>0,9943</b>
64655000	NS	NS	0,9668	0,9796	0,9855	0,9746	0,9553	0,9746	0,9708	NA	<b>0,9901</b>
64673000	NS	NS	0,9522	0,9839	0,9819	0,9878	0,9882	0,9878	<b>0,9888</b>	0,9886	0,9882
64675002	NS	0,9733	0,9742	<b>0,982</b>	0,9811	0,9814	0,9744	0,9814	0,9797	0,9818	0,9781
64682000	0,9657	0,9868	0,9871	0,9842	0,9761	0,9873	0,9945	0,9873	0,9889	0,9937	<b>0,9945</b>
64685000	NS	NS	NS	<b>0,9835</b>	0,9827	0,9829	0,9802	0,9829	0,9788	0,9834	0,9804
64693000	NS	0,972	0,9602	0,9869	0,9854	0,9876	0,9862	<b>0,9876</b>	0,9855	0,9875	0,9862
64717000	NS	NS	0,9575	0,9822	<b>0,9851</b>	0,9773	0,9661	0,9773	0,9719	NA	0,9658
64723000	0,994	0,9863	0,9723	0,9932	0,9934	0,9939	0,9762	NA	<b>0,994</b>	0,9939	0,9937
64771500	NS	NS	NS	0,9709	0,974	NS	0,9562	NS	0,9482	NA	<b>0,9798</b>
64773000	NS	0,9751	0,9806	0,9776	0,9724	0,9822	0,9865	0,9822	0,9848	0,9856	<b>0,9865</b>
64785000	NS	NS	NS	0,9761	0,9779	0,9655	0,9655	0,9655	0,9481	NA	<b>0,9807</b>
64799500	0,9907	0,9939	0,9885	0,9958	0,9921	0,9958	0,9888	0,9958	0,9958	<b>0,9961</b>	0,9959
64810000	NS	0,9775	0,9767	0,9778	0,9722	0,9834	0,9875	0,9834	0,9865	0,9865	<b>0,9875</b>
64815000	NS	NS	NS	0,9772	<b>0,9801</b>	0,9675	0,9634	0,9675	0,9545	NA	0,9397
64820000	NS	0,9727	0,9833	0,9925	0,9921	0,9916	0,9858	0,9916	0,9902	0,9923	<b>0,9928</b>
64830000	0,9663	0,9864	0,986	0,9854	0,9798	0,9868	0,9888	0,9868	0,9875	<b>0,9892</b>	0,9888
64843000	NS	0,977	0,9913	0,9925	0,9948	0,991	0,9764	0,991	0,99	0,9946	<b>0,9958</b>
65011400	NS	NS	0,964	0,9719	0,973	0,9699	0,9579	0,9699	0,9662	NA	<b>0,9759</b>
65020995	0,989	0,9801	0,9744	0,9907	0,9834	0,9902	0,9899	0,9902	0,9898	<b>0,993</b>	0,9929
65024000	NS	0,9598	0,9668	0,9659	0,9746	0,9629	0,9337	0,9629	0,9615	NA	<b>0,9835</b>

65025000	NS	0,9806	0,9867	0,9927	0,9918	0,9922	0,9857	0,9922	0,9903	NA	<b>0,9932</b>
65027000	0,9939	0,9794	0,9638	<b>0,9944</b>	0,9916	0,9941	0,9795	NA	0,9941	0,9943	0,9941
65060000	NS	0,9754	NS	0,9845	0,9822	0,9917	0,9915	0,9917	<b>0,9966</b>	0,9939	0,9915
65094500	0,9833	0,9886	0,9891	0,9928	0,9873	0,9931	0,9912	0,9931	0,9932	0,9939	<b>0,9944</b>
65095000	NS	0,9739	0,978	0,9735	0,9831	0,972	0,9396	0,972	0,9718	NA	<b>0,9942</b>
65100000	NS	0,9771	0,982	0,9835	0,9878	0,9812	0,96	0,9812	0,979	NA	<b>0,9912</b>
65136550	NS	0,9643	0,9631	0,9925	<b>0,9939</b>	0,9887	0,9828	0,9887	0,9841	0,9932	0,9838
65180000	NS	0,9889	0,9903	0,9946	0,9929	0,9947	0,9898	0,9947	0,9941	0,9944	<b>0,9952</b>
65220000	NS	0,9744	0,9784	0,9804	<b>0,9825</b>	0,9788	0,9628	0,9788	0,9771	NA	0,9822
65310000	NS	0,9727	0,9791	0,9786	0,9866	0,9759	0,9478	0,9759	0,9743	NA	<b>0,9945</b>
65365000	NS	NS	0,9616	0,9709	0,9735	0,9681	0,9538	0,9681	0,9649	NA	<b>0,9741</b>
65855000	NS	NS	NS	0,9624	0,9612	0,9626	0,9618	0,9626	0,9403	NA	<b>0,9656</b>
65925000	0,9645	0,9814	0,9827	0,9802	0,9864	0,9796	0,9547	0,9796	0,9797	NA	<b>0,9872</b>
65945000	NS	0,9914	0,9933	0,9959	0,9957	0,9951	0,9864	0,9951	0,994	0,9959	<b>0,9963</b>
65948000	NS	0,9832	0,9825	0,9841	<b>0,987</b>	0,9823	0,9676	0,9823	0,9816	0,9836	0,9676
65960000	NS	0,9757	0,9791	0,9837	0,9894	0,9802	0,9599	0,9802	0,9778	NA	<b>0,9916</b>
65979000	0,9812	NS	NS	NS	0,9716	0,9845	0,9971	NA	0,984	<b>0,9976</b>	0,9971
65993000	0,9635	0,9784	0,9798	0,9771	<b>0,981</b>	0,977	0,954	0,977	0,9772	NA	0,978
66006000	0,9777	0,9924	0,9908	0,9924	0,9873	0,9928	0,9913	0,9928	0,9931	<b>0,994</b>	0,9885
66008000	0,9924	0,992	0,9797	0,9945	0,987	0,9941	0,9939	0,9941	0,9938	<b>0,9968</b>	0,9967
66010000	0,9792	0,9932	0,9924	0,9937	0,989	0,9941	0,9902	0,9941	0,9941	0,9938	<b>0,9946</b>

66050000	0,9827	0,993	0,9927	0,995	0,9891	0,9956	0,9955	0,9956	0,9958	0,9975	0,9973
66065000	0,9767	0,9905	0,9948	0,9949	0,9908	0,9955	0,9934	0,9955	0,9957	0,9958	0,9961
66070004	0,9719	0,9844	0,9889	0,9874	0,9886	0,9874	0,9696	0,9874	0,9875	0,9885	0,9905
66072000	NS	0,9703	0,9793	0,9796	0,9836	0,9778	0,9608	0,9778	0,9768	0,9809	0,9784
66140000	0,9839	0,9711	NS	NS	0,9889	0,9893	0,966	NA	0,9891	0,989	0,9939
66160000	0,9862	0,9906	0,9835	0,9907	0,9883	0,9906	0,9814	0,9906	0,9905	0,9905	0,9927
66260001	NS	NS	NS	0,9525	0,9616	NS	NS	NS	NS	NA	0,9803
66280000	0,9886	0,993	0,9891	0,9935	0,9966	0,9935	0,971	0,9935	0,9936	NA	0,9977
66360000	0,9827	0,9856	0,9785	0,983	0,9878	0,9844	0,9579	0,9844	0,9849	NA	0,9928
66370000	0,9887	0,9891	0,9719	0,9882	0,9908	0,9888	0,9643	0,9888	0,9891	NA	0,9888
66380000	0,9671	0,9853	0,9826	0,9809	0,9709	0,9839	0,9944	0,9839	0,9856	0,9949	0,9944
66520000	NS	0,9756	0,9886	0,9918	0,9939	0,99	0,9762	0,99	0,9885	NA	0,9943
66800000	0,9915	0,9944	0,9858	0,9942	0,994	0,9944	0,9787	0,9944	0,9945	0,9946	0,9952
66895000	0,9844	0,9781	NS	NS	0,983	0,9867	0,9704	NA	0,9865	0,9844	0,9907
66910000	0,9706	0,9854	0,9903	0,9881	0,9921	0,9876	0,9664	0,9876	0,9877	NA	0,9958
66926000	0,9704	0,9872	0,9849	0,9849	0,9752	0,9871	0,9961	0,9871	0,9884	0,9962	0,9961
66941000	NS	0,9787	0,9849	0,9831	0,987	0,9819	0,9621	0,9819	0,9816	NA	0,9822
67170000	0,9837	0,9882	0,9822	0,988	0,989	0,9878	0,9702	0,9878	0,9876	NA	0,9924
70100000	0,9721	0,978	0,9715	0,9784	0,9648	0,9794	0,9945	0,9794	0,9799	0,9955	0,9945
70200000	0,9747	0,9918	0,9904	0,9915	0,9861	0,992	0,9889	0,992	0,9922	0,9923	0,9913
70300000	NS	0,9851	0,9856	0,9869	0,9901	0,9851	0,9687	0,9851	0,9844	0,9878	NS

70500000	NS	0,985	0,9864	0,9856	0,9878	0,9849	0,9666	0,9849	0,9843	NA	<b>0,9881</b>
71200000	NS	0,9749	0,9862	0,9897	0,993	0,9875	0,9715	0,9875	0,9859	0,9912	<b>0,9935</b>
71250000	0,9886	0,9962	0,9919	0,9963	0,9946	0,9963	0,9837	0,9963	0,9962	<b>0,9963</b>	0,9961
71300000	NS	0,9675	0,98	0,984	0,9868	0,9819	0,9688	0,9819	0,9808	0,982	<b>0,987</b>
71350001	0,9645	0,9827	0,9821	0,9811	0,9707	0,9839	0,9951	0,9839	0,9858	<b>0,9962</b>	0,9951
71383000	0,9846	0,9903	0,984	0,9911	0,985	0,9911	0,9869	0,9911	0,991	0,9916	<b>0,992</b>
71550000	NS	0,9713	0,9652	<b>0,9845</b>	0,9835	0,9842	0,9809	0,9842	0,9819	0,9844	0,9831
72430000	0,9677	0,996	0,996	0,9958	0,9919	0,9966	0,9943	0,9966	0,997	<b>0,9971</b>	0,9969
72630000	0,9907	0,9911	0,9826	0,9941	0,9879	0,9939	0,991	0,9939	0,9938	<b>0,9953</b>	0,9949
72680000	0,982	0,9945	0,9922	0,9945	0,9903	0,9947	0,9892	0,9947	0,9948	<b>0,995</b>	0,9947
72715000	0,9655	0,9901	0,9929	0,993	0,9911	0,993	0,9858	0,993	0,9923	0,9923	<b>0,9933</b>
72810000	0,9667	0,9859	0,985	0,9839	0,9774	0,9855	0,9865	0,9855	0,9859	0,9841	<b>0,9865</b>
72849000	NS	0,9806	0,9823	0,9793	0,9735	0,9822	0,9856	0,9822	0,9833	0,9817	<b>0,9856</b>
72870000	NS	0,9886	0,9776	0,9884	0,986	0,9897	<b>0,9903</b>	0,9897	0,9907	0,9868	0,9903
73300000	0,969	0,9899	0,9905	0,9902	0,99	0,9899	0,9765	0,9899	0,9896	0,9903	<b>0,9919</b>
73330000	NS	0,9756	0,9752	0,9915	0,9929	0,9886	0,9806	0,9886	0,9855	0,9926	<b>0,9929</b>
73350000	NS	0,9766	0,9708	0,965	0,9577	0,9746	0,9813	0,9746	0,9814	<b>0,982</b>	0,9813
73550000	0,966	0,9822	0,9817	0,9811	0,9735	0,983	0,9886	0,983	0,9839	0,9881	<b>0,9886</b>
73600000	NS	0,9727	0,9773	0,9793	0,9858	0,9764	0,9537	0,9764	0,9747	NA	<b>0,9899</b>
73690001	0,9689	0,9804	0,9808	0,9828	0,9766	0,9834	0,9812	0,9834	0,9835	<b>0,9838</b>	0,9813
73765000	NS	0,9864	0,9848	0,9858	0,9811	0,9876	0,9869	0,9876	<b>0,9882</b>	0,9874	0,986

73780000	0,9833	0,9949	0,992	0,9948	0,9904	0,995	0,9915	0,995	0,9952	0,9954	0,9952
73820000	NS	0,9671	0,9697	0,9838	0,987	0,9801	0,9662	0,9801	0,9766	NA	0,9696
73900000	NS	NS	NS	0,9541	0,9592	NS	NS	NS	NS	NA	0,9681
73960000	NS	0,9886	0,989	0,9881	0,9826	0,99	0,99	0,99	0,9905	0,9886	0,9906
74100000	NS	0,9919	0,9885	0,9916	0,9877	0,9934	0,9931	0,9934	0,9939	0,994	0,9939
74205000	0,9909	0,9897	0,9838	0,9937	0,992	0,9936	0,979	0,9936	0,9934	0,9932	0,9959
74270000	NS	0,9869	0,9835	0,9802	0,9729	0,9848	0,9902	0,9848	0,9873	0,9875	0,9902
74320000	0,9768	0,9956	0,9954	0,9956	0,994	0,9955	0,9847	0,9955	0,9954	0,9955	0,9961
74370000	NS	0,9911	0,9935	0,9936	0,9961	0,9924	0,9763	0,9924	0,9915	0,9954	0,9942
74460000	0,9894	0,9883	0,9769	0,9915	0,9848	0,9911	0,9881	0,9911	0,9909	0,9926	0,9908
74470000	0,9773	0,9807	0,9769	0,9829	0,9732	0,9835	0,9891	0,9835	0,9838	0,9884	0,9891
74700000	0,9881	0,9866	0,9778	0,9885	0,9916	0,9893	0,9683	0,9893	0,9898	0,9894	0,9859
74750000	NS	NS	NS	0,945	0,9534	NS	NS	NS	NS	NA	0,9744
74800000	NS	0,992	0,9884	0,9927	0,9895	0,994	0,9937	0,994	0,9947	0,9943	0,9943
74900000	NS	NS	NS	NS	0,984	0,9827	NS	NA	0,9796	NA	0,9943
75155000	NS	NS	NS	0,972	0,9724	NS	0,9663	NS	NS	0,9724	0,9712
75200000	NS	0,9787	0,9816	0,9785	0,9838	0,9777	0,9558	0,9777	0,9777	0,9804	0,9828
75205000	NS	0,9883	0,9943	0,9944	0,9944	0,9938	0,9816	0,9938	0,9933	0,9947	0,9956
75230000	NS	NS	NS	0,9367	0,9427	NS	NS	NS	NS	NA	0,9598
75295000	0,9835	NS	NS	NS	0,9774	0,9865	0,9862	NA	0,9861	0,9911	0,984
75400000	NS	0,9818	0,9765	0,9907	0,9882	0,9931	0,9935	0,9931	0,9934	0,9928	0,9935

75450000	0,9718	0,9892	0,988	0,9886	0,9845	0,9889	0,9842	0,9889	<b>0,9892</b>	0,989	0,9842
75500000	0,9662	0,9906	0,9921	0,9908	0,9855	0,9924	0,9927	0,9924	0,9929	<b>0,9931</b>	0,9927
75550000	0,9667	0,9872	0,9882	0,9865	0,9795	0,9886	0,9921	0,9886	0,9896	0,9902	<b>0,9921</b>
75600000	0,9934	0,9823	0,9635	NS	0,991	0,9937	0,9782	NA	0,9937	0,9933	<b>0,9941</b>
75700000	0,9874	0,9797	0,9669	0,9859	<b>0,9904</b>	0,9874	0,9615	NA	0,988	0,9891	0,9859
75780000	0,9853	NS	0,9852	0,9917	0,9854	0,9918	0,9899	0,9918	0,9917	0,9926	<b>0,9934</b>
76085000	NS	0,9621	0,9581	0,9847	0,9819	0,9899	0,99	0,9899	<b>0,9912</b>	0,9868	0,99
76310000	0,9786	0,9881	0,9899	0,9917	0,987	0,9921	0,987	0,9921	0,992	0,9905	<b>0,9924</b>
76440000	0,9765	0,9844	0,9817	0,9822	0,9854	0,9829	0,9631	0,9829	0,9834	0,9827	<b>0,9902</b>
76460000	0,9691	0,9971	0,9975	0,9977	0,9972	0,9973	0,9875	0,9973	0,9969	<b>0,9978</b>	0,9971
76500000	0,9813	0,9833	0,98	0,9866	0,9832	0,9865	0,9775	0,9865	0,9863	0,9849	<b>0,9869</b>
76560000	0,9742	0,9846	0,9822	0,9852	0,9774	0,9859	0,9865	0,9859	0,9861	0,9859	<b>0,9881</b>
76650000	0,9867	0,991	0,9875	0,9936	0,9877	0,9937	0,9908	0,9937	0,9937	<b>0,9946</b>	0,9925
76742000	0,9723	NS	0,9887	0,9894	0,9846	0,9899	0,9897	0,9899	<b>0,9905</b>	0,9904	0,9902
76750000	0,9704	0,9348	NS	NS	0,965	0,9792	0,9931	NA	0,9802	0,9935	<b>0,9941</b>
76800000	0,989	0,9873	0,9811	0,9916	0,989	0,9917	0,9791	0,9917	0,9916	0,9911	<b>0,9928</b>
80200000	NS	0,9765	0,9793	0,9848	0,9813	0,9878	<b>0,9883</b>	0,9878	0,9882	0,985	0,9869
81019350	NS	0,9859	0,9837	0,9904	0,9886	0,9905	0,9864	0,9905	0,9897	0,9902	<b>0,9905</b>
81102000	NS	0,9816	0,9763	0,9893	<b>0,991</b>	0,9866	0,9781	0,9866	0,9845	0,9875	0,9885
81107000	NS	0,9847	0,9793	0,9743	0,9678	0,9809	0,9879	0,9809	0,9855	<b>0,9909</b>	0,9879
81120000	NS	0,9762	NS	0,9657	0,9619	0,9751	0,976	0,9751	<b>0,981</b>	0,9759	0,976

81125000	0,9899	0,9922	0,9902	0,996	0,9933	0,9961	0,9863	0,9961	0,9961	0,9958	<b>0,9968</b>
81135000	NS	0,99	0,9886	0,9855	0,9786	0,9886	0,9936	0,9886	0,9901	0,9917	<b>0,9936</b>
81140000	0,9856	0,9898	0,9868	0,9928	0,9853	0,9931	0,9957	0,9931	0,9932	<b>0,9968</b>	0,9966
81200000	NS	0,9907	0,9923	0,9929	0,9925	0,9923	0,9819	0,9923	0,9912	NA	<b>0,9944</b>
81335000	NS	0,9882	0,9832	0,9907	0,9882	0,9922	0,9917	0,9922	<b>0,9923</b>	0,9922	0,9917
81530000	NS	0,9799	0,9788	0,9728	0,9653	0,9779	0,9855	0,9779	0,9809	0,9841	<b>0,9855</b>
81580000	NS	0,9834	0,9831	0,9827	0,9783	0,9838	0,9816	0,9838	<b>0,9839</b>	0,9805	0,983
81585000	0,9807	0,9889	0,9853	0,9899	0,9813	0,9906	0,9951	0,9906	0,9908	0,9955	<b>0,9956</b>
81600000	0,9865	0,9906	0,9833	0,9903	0,9881	0,9905	0,9773	0,9905	0,9905	0,9895	<b>0,9922</b>
81615000	NS	0,9713	0,9811	0,9795	0,9744	0,9825	0,9842	0,9825	0,9833	0,9796	<b>0,9842</b>
81630000	0,9943	0,989	0,9732	0,9946	0,989	0,9943	0,986	0,9943	0,994	0,9944	<b>0,9969</b>
82170000	NS	0,9842	0,9828	0,9839	0,9792	0,9872	0,9893	0,9872	0,9886	0,9864	<b>0,9893</b>
82320000	NS	NS	NS	<b>0,9208</b>	NS	NS	NS	NS	NS	NA	NS
82350000	NS	NS	NS	0,9913	<b>0,9915</b>	0,9886	0,987	0,9886	0,9831	0,9909	0,987
82770000	NS	0,9846	0,989	0,9909	0,9884	<b>0,9914</b>	0,9876	0,9914	0,9911	0,9912	0,9913
83029900	NS	0,9707	0,9777	0,9826	0,9874	0,9792	0,9609	0,9792	0,9764	NA	<b>0,9908</b>
83050000	0,9685	0,9899	0,9949	0,9951	0,9968	0,9939	0,9793	0,9939	0,9928	NA	<b>0,9979</b>
83069900	NS	0,9903	0,9711	0,981	0,9775	0,9866	0,9898	0,9866	0,991	<b>0,993</b>	0,9898
83105000	NS	0,9935	0,9911	0,9912	0,9866	0,9928	0,994	0,9928	0,9938	<b>0,9943</b>	0,994
83250000	NS	NS	NS	0,9277	NS	NS	NS	NS	<b>0,9401</b>	NA	NS
83300200	NS	NS	0,9568	0,966	0,9619	0,9714	0,9723	0,9714	<b>0,9727</b>	0,9641	0,9723

83345000	NS	0,9872	0,9741	0,989	0,9864	0,9918	0,9921	0,9918	0,9921	0,9916	0,9921
83520000	NS	0,9694	0,9702	0,9617	0,9548	0,9694	0,9761	0,9694	0,9741	0,9746	0,9761
83660000	0,9731	0,9865	0,9844	0,9855	0,9781	0,9869	0,991	0,9869	0,9874	0,9898	0,991
83675000	0,9788	0,9939	0,9937	0,9945	0,992	0,9946	0,9866	0,9946	0,9944	0,9936	0,9952
83690000	NS	0,9728	0,9748	0,98	0,9773	0,981	0,9773	0,981	0,9796	NA	0,9791
83800002	NS	NS	0,9586	0,9734	0,9744	0,9711	0,9623	0,9711	0,9677	NA	0,9752
83880000	0,9827	0,9728	0,961	0,9822	0,9765	0,9815	0,9784	0,9815	0,9812	0,9828	0,9784
84071000	NS	0,9925	0,988	0,9878	0,9821	0,9916	0,9967	0,9916	0,9943	0,9971	0,9967
84100000	NS	0,9841	0,9835	0,9947	0,9943	0,9936	0,988	0,9936	0,9918	0,9947	0,9945
84249998	0,9633	0,9864	0,9884	0,9884	0,9856	0,9887	0,9829	0,9887	0,9885	0,9868	0,9877
84520000	0,9789	NS	NS	0,9819	0,9645	0,979	0,9967	NA	0,9779	0,9968	0,9967
84551000	0,9649	0,9955	0,9959	0,9965	0,9963	0,9959	0,9859	0,9959	0,9954	0,9967	0,9971
84559800	0,9596	0,9915	0,9914	0,9898	0,9849	0,9922	0,9945	0,9922	0,9932	0,9934	0,9945
84580000	NS	0,9839	0,9872	0,9873	0,9874	0,9867	0,9783	0,9867	0,9866	0,9843	0,9838
84600000	0,9827	0,9842	0,9814	0,9883	0,9811	0,9885	0,9901	0,9885	0,9885	0,9914	0,9901
84949800	0,99	0,9852	0,977	0,9913	0,9867	0,9912	0,9844	0,9912	0,991	0,9917	0,993
84950000	NS	0,9852	0,9897	0,9919	0,9902	0,9918	0,9867	0,9918	0,9917	0,9919	0,9801
85400000	NS	NS	NS	0,9806	0,9864	0,9647	NA	0,9859	0,9812	0,9965	
85470000	0,9777	0,9859	0,9837	0,9859	0,9781	0,9869	0,99	0,9869	0,9872	0,9898	0,99
85480000	0,9788	0,9866	0,985	0,9882	0,9861	0,9883	0,9774	0,9883	0,9882	0,9881	0,9888
85600000	NS	0,9885	0,9878	0,9865	0,9809	0,988	0,9883	0,988	0,9885	0,9871	0,9883

85610000	0,9685	0,9799	0,9811	0,9793	0,9815	0,9796	0,9598	0,9796	0,9798	0,9809	0,9565
85623000	0,9818	NS	NS	NS	0,9787	0,9851	0,9768	NA	0,9849	0,9844	0,9928
85642000	NS	NS	NS	NS	0,9768	0,966	NS	NA	0,9665	NA	0,9939
85900000	0,9843	NS	NS	NS	0,9852	0,99	0,9734	NA	0,9897	0,9877	0,9969
86100000	NS	0,9817	0,9898	0,9932	0,9919	0,9929	0,9854	0,9929	0,9921	0,9931	0,992
86160000	0,9751	0,9939	0,993	0,9935	0,988	0,9942	0,9925	0,9942	0,9945	0,9952	0,9944
86410000	0,9699	0,9935	0,992	0,9918	0,9852	0,9932	0,9949	0,9932	0,994	0,9957	0,9945
86480000	0,989	0,9786	0,9689	0,9903	0,9808	0,9894	0,9912	0,9894	0,9889	0,9937	0,9912
86510000	0,9878	0,9908	0,9879	0,9944	0,9893	0,9944	0,9884	0,9944	0,9943	0,9945	0,9955
86560000	0,9923	0,9757	0,9658	0,9929	0,9855	0,992	0,9883	0,992	0,9916	0,994	0,9935
86580000	NS	0,9929	0,992	0,9941	0,9933	0,9936	0,9853	0,9936	0,9932	0,9939	0,9827
86745000	NS	0,9782	0,9801	0,9876	0,986	0,9875	0,9814	0,9875	0,9857	NA	0,9866
87160000	0,9884	0,9848	0,9824	0,9913	0,9875	0,9914	0,9839	0,9914	0,9914	0,9912	0,9916
87170000	0,9879	NS	NS	0,9911	0,977	0,9885	0,9966	NA	0,9878	0,9978	0,9973
87270000	0,9808	0,9663	NS	NS	0,9824	0,9914	0,9906	NA	0,9917	0,9964	0,9962
87317030	NS	0,9847	0,9899	0,9928	0,9897	0,9943	0,9941	0,9943	0,9948	0,9948	0,9941
87317060	0,9769	0,9825	0,9775	0,9808	0,9819	0,9813	0,9668	0,9813	0,9817	0,9795	0,9838
87380000	0,9897	0,9925	0,9827	0,9924	0,991	0,9925	0,98	0,9925	0,9926	0,9923	0,9918
87382000	0,9689	0,9932	0,9965	0,9967	0,9945	0,9968	0,991	0,9968	0,9967	0,9968	0,9963
87399000	NS	NS	NS	0,977	0,9818	0,9688	0,9559	0,9688	0,9595	NA	0,9838
87400000	0,9792	0,9932	0,9916	0,9927	0,9908	0,9927	0,985	0,9927	0,9929	0,9915	0,9828

88750000	0,9791	0,9912	0,9905	0,9915	0,9918	0,9913	0,9745	0,9913	0,9912	NA	<b>0,9931</b>
----------	--------	--------	--------	--------	--------	--------	--------	--------	--------	----	---------------

## Apêndice II – Parâmetros de ajuste das distribuições de 2 parâmetros – Normal, Gamma e Gumbel

Serie	Parâmetros distribuição Normal		Parâmetros distribuição Gamma		Parâmetros distribuição Gumbel	
	$\xi$	$\beta$	$\alpha$	$\beta$	$\xi$	$\beta$
12700000	8973,31	967,73	85,73	104,67	8518,64	787,69
13410000	5126,28	868,38	34,60	148,17	4718,30	706,82
13750000	9976,21	999,34	99,41	100,36	9506,70	813,42
13880000	12587,31	503,39	625,01	20,14	12350,80	409,74
14110000	9899,94	1045,11	89,48	110,64	9408,92	850,67
14230000	3789,46	373,08	102,92	36,82	3614,18	303,67
14280001	5954,58	736,82	65,06	91,52	5608,40	599,73
14300000	389,79	110,16	12,27	31,77	338,04	89,66
14310000	740,40	92,01	64,50	11,48	697,17	74,89
14350000	1776,08	205,81	74,22	23,93	1679,38	167,52
14440000	1507,68	244,27	37,84	39,84	1392,91	198,83
14488000	1588,87	277,33	32,57	48,78	1458,58	225,73
14515000	4371,41	1072,94	16,35	267,41	3867,31	873,33
14526000	1471,06	315,75	21,45	68,57	1322,71	257,00
14530000	956,96	389,29	5,79	165,34	774,06	316,86
14550000	1242,10	463,31	6,93	179,15	1024,42	377,11
14680001	918,54	235,39	14,98	61,34	807,95	191,59
14710000	9463,22	2408,32	15,19	623,07	8331,72	1960,26
15050000	132,41	26,28	25,14	5,27	120,06	21,39
15120001	387,85	110,01	12,18	31,85	336,16	89,54
15130000	999,16	99,45	100,69	9,92	952,44	80,95

15150000	1902,83	224,28	71,73	26,53	1797,46	182,55
15200000	5444,56	877,77	38,22	142,44	5032,15	714,47
15250000	16829,02	3304,33	25,69	655,14	15276,56	2689,57
15320002	38524,03	4468,47	74,08	520,06	36424,62	3637,12
15400000	40094,95	5051,98	62,74	639,09	37721,40	4112,08
15552600	407,17	112,72	12,80	31,82	354,21	91,75
15559000	1215,23	171,18	50,15	24,23	1134,80	139,33
15630000	48039,53	8577,95	31,11	1544,03	44009,38	6982,05
15700000	49111,24	4838,31	102,78	477,82	46838,07	3938,16
15800000	4080,23	482,65	71,22	57,29	3853,47	392,85
15830000	9086,26	1177,68	59,28	153,29	8532,95	958,58
15910000	1469,86	222,86	43,25	33,99	1365,16	181,40
17090000	1019,29	646,59	2,22	458,58	715,50	526,29
17093000	2018,54	136,01	220,02	9,17	1954,64	110,70
17120000	1454,40	252,67	32,88	44,23	1335,69	205,66
17200000	1086,37	248,50	18,86	57,60	969,62	202,27
17210000	1249,15	304,71	16,55	75,46	1105,99	248,02
17280000	1884,02	345,33	29,51	63,84	1721,78	281,08
17340000	2705,40	427,28	39,84	67,91	2504,65	347,79
17345000	89,00	22,39	15,55	5,72	78,48	18,22
17350000	155,64	45,47	11,46	13,58	134,28	37,01
17380000	5028,81	952,78	27,61	182,16	4581,16	775,52
17420000	8806,81	1613,64	29,54	298,17	8048,68	1313,43
17430000	18653,88	3025,03	37,78	493,82	17232,64	2462,24
18200000	742,64	351,31	4,21	176,33	577,58	285,95
18250000	238,34	109,19	4,51	52,87	187,04	88,88
18420000	187,72	44,08	17,89	10,50	167,01	35,88
18460000	9269,10	1765,01	27,33	339,18	8439,85	1436,64

18850000	23272,18	4456,44	27,02	861,30	21178,43	3627,34
19100000	245,09	105,70	5,12	47,86	195,43	86,03
19985000	608,02	108,35	31,24	19,46	557,11	88,19
20250000	916,27	391,32	5,23	175,30	732,42	318,51
21300000	351,56	194,62	3,00	117,05	260,12	158,41
21580000	96,08	63,11	2,05	46,76	66,43	51,37
22100000	561,70	245,51	4,98	112,82	446,35	199,83
22700000	1187,92	438,09	7,10	167,35	982,10	356,59
23150000	302,85	120,10	6,10	49,62	246,43	97,76
23220000	142,59	62,30	4,98	28,62	113,32	50,71
23230000	396,61	119,85	10,70	37,08	340,30	97,56
23250000	634,20	241,43	6,65	95,43	520,77	196,51
24050000	107,49	17,05	39,49	2,72	99,48	13,88
24200000	2021,57	695,55	8,19	246,72	1694,78	566,15
24500000	888,19	300,49	8,48	104,70	747,01	244,58
24700000	3437,01	928,56	13,45	255,57	3000,75	755,80
24800000	1421,87	537,29	6,75	210,68	1169,44	437,33
24900000	236,09	123,52	3,39	69,55	178,06	100,54
24950000	723,04	174,36	16,94	42,67	641,12	141,92
25120000	55,56	25,44	4,51	12,31	43,61	20,71
25200000	4869,04	1787,39	7,17	679,41	4029,28	1454,85
26050000	898,52	199,76	19,98	44,97	804,67	162,60
26720000	443,35	181,64	5,70	77,75	358,01	147,85
27380000	69,79	8,95	60,50	1,15	65,58	7,29
27500000	13341,31	3613,02	13,38	996,90	11643,82	2940,83
27550000	136,28	36,79	13,47	10,12	118,99	29,94
28150000	155,73	52,58	8,52	18,28	131,03	42,80
28240000	332,86	84,35	15,32	21,73	293,23	68,66

28850000	16335,70	3775,09	18,47	884,29	14562,06	3072,75
29700000	32947,92	8172,45	16,00	2059,01	29108,28	6651,99
30080000	1140,46	255,63	19,65	58,03	1020,36	208,07
30300000	914,09	181,50	25,11	36,40	828,81	147,73
30400000	2692,11	541,52	24,46	110,05	2437,69	440,77
31490000	273,95	75,89	12,78	21,44	238,29	61,77
31520000	446,06	134,96	10,67	41,80	382,65	109,85
31700000	1156,41	319,49	12,85	90,00	1006,30	260,05
32450002	395,34	91,28	18,51	21,36	352,45	74,30
32550000	228,68	77,83	8,38	27,29	192,12	63,35
32620000	1585,26	506,22	9,55	165,94	1347,42	412,04
32740000	392,36	137,83	7,85	49,98	327,61	112,19
32830000	362,77	105,98	11,46	31,64	312,98	86,26
32850000	129,46	40,47	9,98	12,97	110,44	32,94
33075000	20,66	11,70	2,85	7,24	15,16	9,53
33170000	176,92	90,09	3,60	49,16	134,60	73,33
33190000	787,97	261,37	8,84	89,18	665,17	212,74
33260000	157,86	46,54	11,25	14,03	136,00	37,88
33270000	16,92	10,43	2,37	7,14	12,02	8,49
33281000	336,21	174,60	3,45	97,47	254,17	142,12
33290000	379,26	192,83	3,61	105,04	288,67	156,95
33321000	289,85	129,72	4,74	61,20	228,90	105,59
33330000	188,74	124,48	2,04	92,72	130,25	101,32
33380000	539,24	234,01	5,05	106,69	429,30	190,47
33520000	71,48	56,66	1,32	54,03	44,87	46,11
33530000	184,30	98,49	3,24	56,83	138,03	80,16
33550000	265,62	119,35	4,70	56,56	209,54	97,15
33620000	267,55	137,49	3,53	75,82	202,96	111,91

33630000	938,30	465,07	3,81	246,09	719,80	378,55
33680000	1327,04	627,18	4,22	314,46	1032,37	510,49
33760000	88,36	51,19	2,72	32,50	64,31	41,67
33780000	522,89	333,80	2,19	238,62	366,06	271,70
34070000	646,07	190,52	11,25	57,44	556,56	155,07
34090000	74,22	21,07	12,16	6,10	64,33	17,15
34130000	295,65	100,90	8,33	35,48	248,25	82,13
34170000	747,42	268,90	7,47	100,03	621,08	218,87
34230000	24,93	10,61	5,27	4,73	19,95	8,63
34690000	2289,81	1095,29	4,11	556,66	1775,21	891,52
34770000	1304,26	898,35	1,84	707,56	882,19	731,22
34789000	1313,52	873,94	2,00	658,28	902,92	711,35
34879500	2530,78	1212,11	4,10	616,92	1961,30	986,60
34940000	840,63	438,95	3,41	246,58	634,40	357,29
35235000	71,15	100,54	0,20	354,84	23,92	81,84
35240000	296,31	300,15	0,70	426,26	155,29	244,31
35260000	136,49	149,27	0,55	247,07	66,35	121,50
36125000	107,48	94,15	1,03	104,31	63,24	76,64
36160000	556,18	601,64	0,57	973,00	273,51	489,70
36250000	90,51	86,05	0,83	109,06	50,08	70,04
36580000	284,13	348,85	0,37	762,22	120,23	283,95
37220000	32,99	26,97	1,23	26,90	20,32	21,95
37470000	789,43	860,56	0,56	1414,50	385,11	700,46
38170000	56,62	68,11	0,40	140,91	24,62	55,44
38485000	59,75	72,55	0,39	153,83	25,67	59,05
38790000	204,88	187,37	0,92	222,42	116,86	152,51
38830000	191,02	191,32	0,72	266,05	101,13	155,72
38850000	192,76	211,06	0,55	350,20	93,60	171,79

38860000	227,91	343,65	0,13	1692,43	66,45	279,71
38895000	530,22	658,59	0,36	1485,94	220,80	536,06
39083000	86,82	55,46	2,19	39,68	60,76	45,14
39084010	77,51	51,12	2,04	38,07	53,50	41,61
39084020	98,86	60,34	2,42	40,80	70,51	49,11
39140000	81,46	97,74	0,41	200,88	35,54	79,56
39145000	183,87	232,43	0,33	551,70	74,66	189,19
39150000	130,23	120,18	0,90	144,83	73,76	97,82
39170000	91,51	88,22	0,80	114,53	50,06	71,81
39200000	159,95	97,19	2,45	65,37	114,28	79,11
39480000	146,66	38,35	14,37	10,20	128,64	31,21
39560000	309,89	214,76	1,82	170,51	208,99	174,80
39580000	108,53	46,71	5,14	21,11	86,58	38,02
39760000	510,31	303,85	2,56	199,37	367,55	247,32
39770000	537,32	364,65	1,91	281,74	366,00	296,81
39870000	360,51	254,50	1,74	207,02	240,94	207,15
40025000	76,64	38,79	3,64	21,03	58,41	31,58
40032000	128,56	56,37	4,94	26,00	102,07	45,88
40050000	583,47	185,12	9,68	60,27	496,50	150,68
40053000	45,48	22,13	3,97	11,47	35,09	18,01
40070000	783,88	321,44	5,69	137,72	632,85	261,64
40100000	965,85	433,60	4,71	205,26	762,13	352,93
40185000	194,11	117,63	2,46	78,85	138,84	95,75
40269900	17,87	9,71	3,13	5,71	13,31	7,90
40500000	50,96	28,09	3,03	16,80	37,77	22,86
40549998	67,00	35,82	3,24	20,67	50,17	29,15
40579995	96,62	50,22	3,44	28,06	73,03	40,88
40680000	70,20	49,20	1,77	39,64	47,09	40,04

40710000	421,60	262,28	2,32	181,56	298,38	213,48
40740000	464,43	281,56	2,46	188,83	332,15	229,18
40800001	554,49	298,71	3,19	174,00	414,15	243,14
40810350	1,38	0,68	3,88	0,36	1,06	0,55
40822995	16,32	7,99	3,91	4,17	12,56	6,51
40823500	30,00	19,16	2,19	13,70	21,00	15,59
40930000	227,07	115,65	3,60	63,13	172,73	94,13
41050000	262,96	146,13	2,98	88,28	194,31	118,94
41075001	863,39	405,78	4,27	202,18	672,75	330,29
41135000	2717,78	1352,69	3,78	719,17	2082,25	1101,03
41180000	82,18	52,44	2,19	37,47	57,54	42,68
41260000	521,80	244,61	4,29	121,53	406,88	199,10
41300000	123,34	60,78	3,86	31,95	94,78	49,47
41340000	639,00	301,68	4,23	151,08	497,27	245,55
41380000	117,70	61,08	3,45	34,07	89,00	49,72
41410000	749,84	320,28	5,23	143,49	599,37	260,69
41440005	28,05	14,11	3,70	7,59	21,43	11,48
41600000	716,70	291,51	5,79	123,79	579,75	237,27
41650002	856,14	368,92	5,13	166,90	682,82	300,28
41818000	1267,41	442,38	7,95	159,33	1059,57	360,07
41890000	287,22	153,97	3,22	89,18	214,88	125,33
42089998	309,86	223,19	1,66	186,48	205,00	181,67
42145498	473,02	254,73	3,19	148,32	353,34	207,34
42187000	38,96	23,11	2,58	15,10	28,10	18,81
42365000	401,42	165,62	5,62	71,43	323,61	134,80
42545002	96,26	62,12	2,14	45,01	67,08	50,56
42545500	118,54	66,04	2,96	40,01	87,51	53,75
42840000	33,10	15,39	4,37	7,57	25,87	12,52

43250002	339,04	89,34	14,15	23,96	297,07	72,72
43675000	481,69	246,33	3,57	135,09	365,96	200,50
44670000	171,26	153,88	0,96	177,51	98,96	125,25
45770000	123,09	39,77	9,33	13,20	104,41	32,37
47900000	5,32	4,64	1,05	5,09	3,14	3,77
48880000	70,01	92,81	0,27	256,17	26,41	75,54
50040000	36,10	26,32	1,61	22,36	23,73	21,43
50043000	24,58	10,30	5,44	4,52	19,74	8,39
50047000	75,10	81,56	0,56	132,99	36,78	66,38
50080000	64,54	43,46	1,94	33,24	44,12	35,37
50146000	17,56	19,80	0,50	35,02	8,26	16,12
50150000	37,20	50,40	0,25	150,26	13,52	41,02
50191000	427,17	392,38	0,91	469,21	242,81	319,38
50230000	114,02	98,14	1,08	105,80	67,91	79,88
50250000	61,19	44,18	1,65	37,03	40,43	35,96
50380000	62,17	36,29	2,67	23,25	45,12	29,54
50420000	51,48	54,77	0,60	85,57	25,75	44,58
50520000	231,33	214,01	0,89	258,97	130,78	174,20
50540000	297,42	271,02	0,93	319,86	170,08	220,60
50620000	34,68	39,63	0,48	72,30	16,06	32,26
50660000	74,33	48,89	2,05	36,30	51,36	39,80
50720000	27,79	27,67	0,73	38,06	14,79	22,52
50740000	28,77	21,09	1,59	18,05	18,86	17,17
50755000	107,06	80,11	1,52	70,48	69,43	65,21
50785000	176,22	110,74	2,27	77,63	124,19	90,14
50820000	75,89	62,67	1,20	63,46	46,45	51,01
51120000	271,87	126,51	4,36	62,33	212,44	102,97
51140000	152,46	123,21	1,26	120,85	94,58	100,29

51230000	223,12	136,38	2,42	92,39	159,05	111,01
51280000	600,60	386,64	2,15	279,32	418,94	314,71
51330000	566,83	356,27	2,27	249,80	399,44	289,99
51350000	787,49	641,34	1,24	636,19	486,17	522,02
51430000	89,74	95,90	0,59	151,25	44,68	78,06
51440000	179,81	201,53	0,51	351,84	85,13	164,04
51460000	681,93	804,85	0,43	1586,74	303,79	655,11
51560000	113,08	62,05	3,06	36,93	83,93	50,50
51650000	37,51	21,92	2,67	14,06	27,21	17,84
51870000	36,71	15,15	5,62	6,54	29,59	12,33
51890000	133,92	60,48	4,65	28,82	105,50	49,23
52270000	559,57	473,33	1,13	496,84	337,19	385,27
52404000	586,52	518,99	1,00	584,18	342,69	422,43
52405000	628,25	486,97	1,40	449,94	399,46	396,37
53050000	88,34	42,70	4,02	21,96	68,28	34,76
53091000	220,21	114,73	3,43	64,28	166,31	93,38
53160000	245,92	197,72	1,28	192,50	153,03	160,94
53170000	545,32	357,44	2,06	264,16	377,38	290,94
53780000	120,70	82,83	1,86	64,92	81,79	67,42
54165000	149,11	90,14	2,48	60,24	106,76	73,37
54230000	293,06	162,06	3,01	97,34	216,92	131,91
54590000	53,29	33,95	2,20	24,21	37,34	27,64
55170000	176,39	89,45	3,63	48,59	134,36	72,81
55340000	179,22	82,68	4,44	40,34	140,38	67,30
55370000	123,10	50,62	5,66	21,75	99,32	41,20
55380000	122,70	46,42	6,73	18,23	100,89	37,78
55460000	129,64	46,43	7,54	17,19	107,83	37,79
55490000	181,63	76,04	5,45	33,33	145,90	61,89

55520001	62,80	28,98	4,44	14,15	49,18	23,59
55560000	267,82	142,88	3,25	82,29	200,69	116,30
55610000	99,97	61,07	2,42	41,34	71,27	49,71
55630000	406,89	206,63	3,62	112,41	309,81	168,19
55660000	120,99	74,99	2,34	51,67	85,76	61,04
55699998	624,45	367,51	2,63	237,77	451,78	299,14
55790000	65,73	31,49	4,10	16,04	50,94	25,63
55850000	394,67	235,68	2,54	155,19	283,94	191,84
55895000	180,43	72,72	5,90	30,57	146,27	59,19
55900000	22,14	9,39	5,30	4,17	17,73	7,64
55920000	349,46	157,62	4,66	75,00	275,40	128,29
56055000	113,99	37,01	9,23	12,35	96,60	30,13
56065000	30,32	12,16	5,97	5,08	24,61	9,90
56075000	336,23	129,46	6,49	51,80	275,41	105,37
56085000	47,33	21,26	4,70	10,07	37,34	17,31
56110005	549,09	288,89	3,35	163,72	413,36	235,15
56240000	137,11	85,90	2,29	59,99	96,75	69,92
56337000	113,17	61,76	3,10	36,52	84,16	50,27
56385000	54,31	18,46	8,41	6,46	45,64	15,02
56415000	197,33	106,49	3,18	62,15	147,30	86,67
56425000	776,11	353,39	4,57	169,94	610,08	287,64
56460000	68,42	24,72	7,40	9,24	56,80	20,12
56484998	135,46	76,44	2,88	47,02	99,55	62,22
56510000	186,78	109,71	2,64	70,81	135,23	89,30
56539000	992,73	402,56	5,83	170,39	803,60	327,66
56570000	81,41	40,00	3,88	20,96	62,61	32,56
56610000	196,12	98,31	3,72	52,70	149,93	80,02
56640000	154,36	80,89	3,38	45,63	116,35	65,84

56659998	460,44	233,12	3,64	126,39	350,91	189,75
56696000	576,64	284,30	3,86	149,53	443,07	231,41
56719998	1563,74	667,49	5,23	298,84	1250,14	543,31
56765000	146,20	72,99	3,75	38,95	111,90	59,41
56775000	818,50	400,13	3,93	208,43	630,51	325,69
56787000	240,99	125,67	3,42	70,49	181,94	102,29
56800000	118,57	53,22	4,71	25,19	93,57	43,32
56825000	1000,05	366,12	7,21	138,76	828,03	298,00
56845000	59,84	27,93	4,33	13,81	46,71	22,73
56846000	100,76	43,29	5,16	19,52	80,42	35,24
56850000	2677,51	1003,50	6,86	390,04	2206,04	816,80
56851000	37,99	20,88	3,05	12,45	28,18	16,99
56870000	51,84	30,47	2,63	19,68	37,53	24,80
56920000	3212,81	1218,12	6,70	479,38	2640,50	991,49
56935000	119,11	60,40	3,63	32,80	90,73	49,16
56940002	305,59	182,01	2,56	119,46	220,08	148,14
56960005	124,60	56,12	4,67	26,67	98,23	45,68
56976000	237,86	90,63	6,63	35,85	195,28	73,77
56978000	257,94	107,05	5,55	46,47	207,64	87,14
56983000	39,14	7,83	24,74	1,58	35,47	6,37
56988500	169,46	67,80	5,99	28,28	137,61	55,18
56989001	141,36	82,95	2,64	53,48	102,38	67,52
56989400	328,01	169,10	3,50	93,60	248,57	137,64
56990000	610,20	232,39	6,64	91,90	501,02	189,16
56990990	63,27	32,10	3,63	17,45	48,18	26,13
56991500	150,81	79,06	3,38	44,62	113,66	64,35
56992000	213,24	101,14	4,19	50,92	165,72	82,33
56993551	105,44	51,08	4,00	26,34	81,44	41,58

56994500	4447,57	2011,21	4,63	959,79	3502,66	1637,03
56995500	125,66	58,41	4,37	28,74	98,22	47,54
56998400	112,73	45,50	5,88	19,16	91,36	37,03
57040008	16,92	5,98	7,74	2,18	14,11	4,87
57130000	98,90	41,76	5,35	18,48	79,28	33,99
57170000	64,97	21,97	8,50	7,65	54,65	17,88
57250000	27,11	9,33	8,18	3,31	22,72	7,60
57300000	61,55	24,46	6,08	10,13	50,05	19,91
57320000	64,67	44,80	1,82	35,54	43,63	36,46
57350000	41,64	18,19	4,98	8,36	33,09	14,81
57360000	57,75	22,42	6,38	9,05	47,22	18,25
57370000	92,31	39,02	5,34	17,28	73,98	31,76
57400000	126,44	42,33	8,67	14,59	106,55	34,46
57420000	136,48	55,07	5,89	23,18	110,61	44,82
57450000	442,54	194,30	4,93	89,73	351,26	158,15
57476500	82,68	32,17	6,35	13,02	67,56	26,19
57490000	128,53	43,99	8,28	15,51	107,86	35,80
57550000	165,98	53,42	9,40	17,66	140,88	43,48
57580000	457,82	143,48	9,93	46,11	390,41	116,78
57700000	49,53	21,01	5,30	9,35	39,66	17,10
57740000	75,06	23,06	10,34	7,26	64,22	18,77
57770000	26,04	12,76	3,91	6,66	20,05	10,39
57830000	314,91	138,53	4,91	64,12	249,82	112,76
57880000	66,75	38,64	2,72	24,50	48,60	31,45
57930000	349,46	159,22	4,56	76,62	274,65	129,60
58030000	53,10	13,35	15,58	3,41	46,83	10,86
58040000	129,78	40,58	9,97	13,01	110,71	33,03
58060000	78,65	61,24	1,38	56,94	49,88	49,84

58096000	155,74	28,37	29,88	5,21	142,41	23,09
58183000	377,62	123,71	9,06	41,66	319,50	100,70
58204000	413,64	129,32	9,98	41,46	352,88	105,26
58235100	610,46	210,26	8,18	74,67	511,68	171,14
58242000	524,66	168,22	9,47	55,37	445,63	136,92
58258000	93,55	68,98	1,57	59,47	61,15	56,14
58270000	51,09	20,07	6,23	8,21	41,66	16,34
58305001	788,68	291,52	7,06	111,63	651,71	237,29
58405000	104,09	38,72	6,97	14,93	85,90	31,51
58420000	154,81	72,56	4,30	36,04	120,72	59,06
58425000	144,21	73,67	3,57	40,35	109,60	59,97
58434000	30,73	14,84	4,03	7,62	23,75	12,08
58440000	330,47	145,49	4,90	67,40	262,12	118,42
58480500	118,20	42,93	7,33	16,13	98,03	34,94
58500000	32,20	24,87	1,41	22,85	20,52	20,24
58516500	204,37	81,81	5,99	34,14	165,94	66,59
58520000	305,16	89,61	11,34	26,90	263,06	72,94
58525000	32,25	17,96	2,97	10,87	23,82	14,62
58530000	68,49	28,28	5,61	12,21	55,21	23,02
58542000	69,59	24,09	8,09	8,60	58,28	19,61
58550001	265,88	98,83	6,98	38,07	219,45	80,44
58560000	24,87	8,53	8,26	3,01	20,87	6,94
58573000	38,13	17,63	4,42	8,63	29,85	14,35
58585000	403,00	143,24	7,66	52,60	335,70	116,59
58610000	73,19	26,32	7,48	9,78	60,83	21,42
58630002	1544,87	534,42	8,10	190,66	1293,79	434,99
58645000	53,76	25,89	4,06	13,26	41,60	21,07
58658000	119,87	96,83	1,26	94,92	74,38	78,82

58670002	89,78	75,34	1,15	78,14	54,38	61,32
58710000	122,82	56,95	4,39	27,95	96,07	46,36
58730001	200,35	74,70	6,94	28,87	165,26	60,80
58735000	240,20	94,99	6,14	39,13	195,57	77,32
58755000	98,52	40,09	5,78	17,04	79,69	32,63
58765001	208,47	92,62	4,81	43,34	164,95	75,39
58770000	561,68	239,25	5,26	106,86	449,27	194,74
58795000	2332,97	955,30	5,71	408,66	1884,14	777,57
58825000	69,12	42,25	2,41	28,62	49,27	34,39
58826000	53,32	30,95	2,71	19,70	38,78	25,19
58827000	90,26	33,99	6,80	13,28	74,29	27,67
58846000	179,68	94,69	3,34	53,77	135,19	77,08
58850000	214,58	119,38	2,97	72,22	158,49	97,17
58857000	41,44	21,47	3,47	11,96	31,35	17,48
58870000	77,39	44,06	2,82	27,40	56,69	35,87
58874000	422,14	381,09	0,95	442,95	243,09	310,19
58880001	2862,03	1360,87	4,17	687,00	2222,66	1107,68
58910000	20,71	6,46	10,04	2,06	17,68	5,25
58916000	59,60	11,69	25,76	2,31	54,11	9,51
58917000	114,45	42,52	6,99	16,37	94,48	34,61
58920000	327,91	140,75	5,17	63,40	261,78	114,56
58930000	97,72	52,10	3,26	29,98	73,25	42,41
58934000	191,05	142,02	1,54	123,83	124,33	115,60
58940000	508,29	200,64	6,16	82,47	414,02	163,31
58960000	559,30	225,36	5,90	94,73	453,42	183,44
58974000	3148,98	1405,04	4,77	660,61	2488,85	1143,64
59120000	32,75	17,93	3,08	10,64	24,33	14,60
59125000	37,47	18,99	3,63	10,31	28,55	15,46

59135000	19,23	7,35	6,59	2,92	15,77	5,98
59181000	112,84	32,59	11,74	9,61	97,53	26,52
59240000	91,54	39,20	5,20	17,61	73,12	31,90
59370000	193,51	112,82	2,68	72,16	140,51	91,83
60010000	222,65	72,78	9,11	24,45	188,46	59,24
60011000	296,34	130,72	4,88	60,69	234,92	106,40
60100000	17,98	8,70	4,01	4,48	13,89	7,08
60145000	10,64	5,60	3,35	3,18	8,01	4,56
60150000	89,63	42,90	4,11	21,82	69,48	34,92
60220000	337,52	196,81	2,68	125,91	245,05	160,19
60435000	17,57	8,45	4,07	4,32	13,61	6,88
60435100	2,11	0,64	10,46	0,20	1,80	0,52
60435150	1,10	0,28	14,87	0,07	0,97	0,23
60435300	4,48	2,75	2,39	1,88	3,19	2,24
60435400	7,53	2,47	9,06	0,83	6,37	2,01
60473000	12,88	5,66	4,91	2,62	10,22	4,61
60476100	51,31	19,27	6,84	7,50	42,26	15,68
60477400	22,06	11,43	3,47	6,37	16,69	9,30
60477600	10,97	5,13	4,31	2,54	8,56	4,18
60540000	255,76	113,56	4,82	53,10	202,41	92,43
60615000	16,96	7,30	5,14	3,30	13,53	5,94
60640000	89,81	23,46	14,40	6,24	78,79	19,10
60642000	37,29	10,54	12,25	3,04	32,33	8,58
60654000	65,11	14,54	19,81	3,29	58,28	11,83
60665000	127,27	40,91	9,42	13,51	108,05	33,30
60680000	635,77	231,89	7,26	87,54	526,83	188,74
60772000	615,89	140,33	19,01	32,40	549,96	114,22
60810000	72,94	25,40	8,00	9,12	61,01	20,67

60835000	128,17	50,29	6,24	20,54	104,54	40,93
60850000	241,48	89,57	7,01	34,43	199,40	72,90
60855000	526,68	206,08	6,28	83,90	429,86	167,74
60870000	129,70	45,13	8,01	16,20	108,49	36,73
60910000	83,52	39,35	4,25	19,66	65,03	32,03
60925001	196,58	103,84	3,33	59,12	147,79	84,52
60930000	53,51	9,99	28,45	1,88	48,82	8,13
60950000	255,04	53,46	22,51	11,33	229,92	43,52
60968000	229,95	49,79	21,07	10,91	206,55	40,53
60970000	271,36	68,11	15,62	17,37	239,36	55,44
61009000	69,65	31,58	4,61	15,11	54,82	25,70
61012000	218,45	84,28	6,46	33,80	178,85	68,60
61014000	51,41	21,22	5,61	9,16	41,44	17,27
61024000	133,10	72,55	3,11	42,84	99,01	59,05
61031000	23,43	12,50	3,25	7,21	17,55	10,18
61045000	36,28	7,52	23,00	1,58	32,74	6,12
61052000	33,96	6,22	29,54	1,15	31,04	5,06
61060000	250,69	116,81	4,35	57,64	195,81	95,08
61075000	141,74	71,15	3,71	38,20	108,31	57,91
61078000	206,77	86,32	5,48	37,71	166,22	70,26
61085000	83,48	29,76	7,61	10,97	69,49	24,23
61090000	123,44	36,32	11,30	10,93	106,37	29,56
61100000	14,60	2,81	26,73	0,55	13,28	2,29
61105000	93,96	31,80	8,48	11,08	79,02	25,88
61107000	296,51	123,30	5,53	53,64	238,59	100,36
61115000	119,26	60,50	3,63	32,87	90,83	49,24
61122000	82,74	59,59	1,66	49,78	54,74	48,50
61135000	623,49	316,73	3,62	172,37	474,68	257,80

61175000	173,61	157,80	0,94	185,44	99,48	128,44
61202000	211,80	84,47	6,03	35,11	172,11	68,75
61267000	16,65	14,88	0,98	17,03	9,66	12,12
61271000	119,84	40,81	8,37	14,32	100,67	33,21
61285000	72,08	17,30	17,11	4,21	63,95	14,08
61295000	32,60	17,05	3,40	9,60	24,59	13,88
61305000	230,91	62,10	13,58	17,01	201,74	50,54
61350000	169,08	90,66	3,22	52,52	126,49	73,79
61370000	77,11	22,43	11,56	6,67	66,57	18,26
61390000	53,19	15,64	11,31	4,70	45,84	12,73
61410000	602,04	242,73	5,90	102,10	487,99	197,57
61425000	528,75	175,34	8,84	59,81	446,37	142,72
61460000	194,38	72,69	6,90	28,18	160,23	59,16
61473000	92,27	35,94	6,34	14,56	75,38	29,25
61500000	90,04	34,00	6,76	13,32	74,06	27,67
61510000	438,55	190,70	5,03	87,15	348,95	155,22
61537000	599,32	228,96	6,60	90,84	491,75	186,36
61610000	72,26	16,54	18,83	3,84	64,48	13,46
61700000	86,06	44,91	3,41	25,21	64,96	36,55
61770000	28,21	12,38	4,94	5,72	22,39	10,08
61795000	241,40	117,06	4,00	60,42	186,40	95,28
61800500	35,70	10,15	12,12	2,95	30,93	8,26
61815000	14,32	9,16	2,18	6,56	10,02	7,45
61826000	60,27	20,50	8,39	7,19	50,64	16,69
61861000	56,42	20,08	7,64	7,38	46,99	16,34
61865000	67,54	12,71	28,00	2,41	61,57	10,34
61879000	134,53	42,83	9,61	14,00	114,41	34,86
61886000	423,45	115,37	13,22	32,03	369,25	93,90

61902000	564,60	141,27	15,72	35,91	498,22	114,99
61910000	626,63	130,41	22,84	27,44	565,36	106,15
61912000	648,93	135,38	22,73	28,55	585,33	110,19
61913500	27,75	9,19	8,87	3,13	23,44	7,48
61915000	739,89	175,61	17,50	42,28	657,39	142,94
61953001	62,46	39,89	2,19	28,52	43,72	32,46
61956001	74,18	40,91	3,03	24,49	54,96	33,30
62395000	86,43	37,97	4,93	17,55	68,59	30,90
62420000	42,12	8,15	26,42	1,59	38,28	6,64
62477100	80,62	19,25	17,30	4,66	71,58	15,66
62490000	67,56	34,26	3,63	18,60	51,46	27,88
62496001	98,11	37,10	6,74	14,56	80,68	30,19
62615000	136,96	78,98	2,75	49,86	99,86	64,28
62622000	37,05	12,09	9,13	4,06	31,37	9,84
62632000	5627,88	9390,94	0,05	122677,52	1215,76	7643,79
62709000	187,84	82,92	4,88	38,53	148,89	67,50
62721000	87,16	37,26	5,22	16,71	69,66	30,33
62760005	16,32	7,14	4,98	3,28	12,97	5,81
62760130	12,77	7,40	2,72	4,70	9,30	6,03
62760150	16,25	7,59	4,33	3,75	12,68	6,18
62772500	73,31	40,08	3,09	23,75	54,48	32,62
62781000	27,81	17,93	2,14	12,98	19,39	14,59
63001200	163,27	30,91	27,65	5,91	148,74	25,16
63900001	287,71	78,99	13,01	22,11	250,60	64,30
63950100	167,28	65,48	6,27	26,68	136,51	53,30
63950150	24,09	4,97	23,25	1,04	21,75	4,04
63950250	57,12	12,30	21,30	2,68	51,34	10,01
64040000	86,85	30,77	7,71	11,26	72,39	25,04

64065000	75,31	31,50	5,46	13,79	60,51	25,64
64231000	269,57	217,59	1,27	213,04	167,34	177,10
64315000	182,22	79,47	5,00	36,43	144,88	64,69
64345000	44,64	14,86	8,77	5,09	37,66	12,10
64370000	938,39	353,06	6,81	137,80	772,51	287,37
64382000	500,30	264,33	3,32	150,53	376,11	215,15
64395000	76,72	26,72	7,99	9,60	64,17	21,74
64442800	109,76	32,17	11,39	9,64	94,65	26,18
64447000	475,86	239,80	3,68	129,30	363,20	195,18
64465000	852,81	374,95	4,92	173,44	676,64	305,20
64477600	228,34	124,39	3,11	73,41	169,90	101,25
64501000	2140,78	951,33	4,81	445,28	1693,82	774,34
64507000	2617,72	1360,59	3,44	760,25	1978,48	1107,46
64575003	16807,00	4422,61	14,19	1184,45	14729,14	3599,80
64609000	254,49	61,86	16,67	15,27	225,43	50,36
64613000	201,04	73,97	7,13	28,18	166,29	60,21
64614000	788,10	203,68	14,72	53,54	692,40	165,79
64617000	913,02	305,98	8,65	105,55	769,26	249,06
64618000	35,53	4,69	57,23	0,62	33,33	3,81
64619950	301,74	136,66	4,62	65,33	237,54	111,24
64620000	293,79	136,71	4,36	67,36	229,56	111,28
64625000	1145,78	462,83	5,87	195,08	928,33	376,73
64645000	2155,41	876,85	5,79	372,44	1743,44	713,71
64652000	908,14	404,19	4,79	189,51	718,24	328,99
64655000	3351,97	1576,65	4,26	786,29	2611,22	1283,32
64673000	196,31	101,94	3,45	56,89	148,42	82,97
64675002	5592,04	2805,89	3,71	1505,62	4273,76	2283,86
64682000	44,60	15,98	7,54	5,92	37,09	13,01

64685000	6457,03	3942,67	2,42	2667,45	4604,66	3209,15
64693000	6963,93	4447,96	2,19	3181,75	4874,15	3620,43
64717000	318,29	81,68	14,93	21,31	279,92	66,48
64723000	75,50	22,43	11,08	6,81	64,97	18,25
64771500	1915,61	890,59	4,37	438,37	1497,19	724,90
64773000	550,11	208,86	6,68	82,32	451,98	170,01
64785000	140,31	71,24	3,62	38,75	106,83	57,99
64799500	3904,71	1459,66	6,90	565,76	3218,93	1188,09
64810000	251,15	125,34	3,76	66,84	192,27	102,02
64815000	278,34	145,08	3,42	81,33	210,17	118,09
64820000	3556,14	1266,52	7,63	466,08	2961,10	1030,89
64830000	4199,98	1568,07	6,92	606,96	3463,26	1276,34
64843000	22645,08	4995,34	20,30	1115,58	20298,14	4065,97
65011400	26,25	10,55	5,93	4,42	21,29	8,59
65020995	2,30	0,99	5,14	0,45	1,84	0,81
65024000	10,90	4,19	6,50	1,68	8,93	3,41
65025000	236,26	96,10	5,79	40,82	191,11	78,22
65027000	30,48	10,00	9,03	3,37	25,78	8,14
65060000	621,05	441,62	1,71	362,71	413,57	359,46
65094500	192,81	102,69	3,27	59,02	144,57	83,58
65095000	295,89	118,46	5,98	49,45	240,24	96,42
65100000	388,14	162,28	5,47	71,02	311,90	132,09
65136550	93,93	49,33	3,37	27,90	70,75	40,16
65180000	115,21	54,55	4,20	27,40	89,59	44,40
65220000	1616,09	699,42	5,08	317,94	1287,48	569,30
65310000	2053,51	798,78	6,35	323,17	1678,22	650,17
65365000	57,79	31,12	3,19	18,12	43,17	25,33
65855000	674,86	618,20	0,92	735,91	384,41	503,19

65925000	531,22	235,22	4,84	109,66	420,71	191,46
65945000	102,73	47,76	4,37	23,50	80,30	38,87
65948000	256,96	144,03	2,92	87,91	189,29	117,23
65960000	1793,27	844,43	4,25	421,65	1396,53	687,33
65979000	458,81	183,23	6,01	76,28	372,72	149,14
65993000	11738,21	5859,65	3,76	3125,87	8985,19	4769,49
66006000	169,30	56,69	8,67	19,54	142,67	46,14
66008000	202,93	53,11	14,35	14,14	177,98	43,23
66010000	657,67	208,71	9,68	67,97	559,61	169,88
66050000	467,71	101,44	21,01	22,26	420,06	82,56
66065000	314,94	71,12	19,36	16,27	281,53	57,89
66070004	1373,25	285,06	22,96	59,82	1239,32	232,02
66072000	344,80	88,68	14,87	23,19	303,14	72,18
66140000	510,47	113,35	20,03	25,49	457,21	92,26
66160000	797,83	199,62	15,72	50,75	704,04	162,49
66260001	1972,86	580,73	11,29	174,77	1700,02	472,69
66280000	1042,56	124,88	69,45	15,01	983,89	101,65
66360000	466,22	43,81	112,98	4,13	445,63	35,66
66370000	655,75	70,40	86,51	7,58	622,68	57,30
66380000	309,04	129,06	5,48	56,41	248,40	105,05
66520000	259,13	69,99	13,46	19,26	226,25	56,97
66800000	1840,53	253,36	52,52	35,04	1721,49	206,22
66895000	2472,03	354,73	48,31	51,17	2305,37	288,73
66910000	423,59	102,33	16,88	25,09	375,52	83,29
66926000	372,99	135,69	7,30	51,08	309,24	110,44
66941000	436,68	141,47	9,27	47,09	370,21	115,15
67170000	560,70	130,78	18,13	30,93	499,26	106,45
70100000	252,59	102,20	5,85	43,15	204,57	83,18

70200000	1324,27	564,34	5,25	252,21	1059,12	459,35
70300000	842,97	434,06	3,51	239,94	639,03	353,31
70500000	342,83	157,00	4,51	75,98	269,07	127,79
71200000	214,18	66,50	10,12	21,16	182,94	54,13
71250000	113,48	33,81	11,01	10,31	97,60	27,52
71300000	246,76	71,98	11,50	21,46	212,94	58,59
71350001	369,47	119,35	9,33	39,60	313,40	97,14
71383000	527,00	166,50	9,77	53,97	448,78	135,53
71550000	2043,96	1209,42	2,60	787,52	1475,74	984,41
72430000	465,99	215,92	4,40	105,88	364,55	175,75
72630000	936,74	322,45	8,19	114,44	785,25	262,46
72680000	1394,53	528,55	6,71	207,93	1146,20	430,21
72715000	253,86	97,58	6,51	38,97	208,02	79,42
72810000	684,82	296,74	5,07	135,07	545,40	241,54
72849000	1193,45	463,11	6,39	186,87	975,87	376,95
72870000	243,86	166,67	1,88	129,96	165,55	135,67
73300000	251,39	117,31	4,34	57,99	196,27	95,49
73330000	399,63	208,61	3,41	117,15	301,62	169,80
73350000	728,88	422,01	2,72	267,69	530,61	343,49
73550000	12199,48	6775,26	2,98	4090,23	9016,28	5514,75
73600000	520,40	226,61	5,02	103,71	413,93	184,45
73690001	245,76	134,52	3,08	79,84	182,55	109,49
73765000	209,47	113,35	3,16	66,36	156,22	92,26
73780000	396,10	158,46	5,99	66,09	321,65	128,98
73820000	616,76	301,25	3,93	156,77	475,22	245,21
73900000	250,80	147,54	2,63	95,41	181,48	120,09
73960000	2393,06	1109,04	4,40	543,96	1872,00	902,71
74100000	15862,55	9233,33	2,69	5894,79	11524,48	7515,50

74205000	211,48	79,41	6,84	30,93	174,17	64,63
74270000	3045,05	1844,23	2,46	1235,37	2178,58	1501,12
74320000	407,79	183,68	4,67	87,27	321,50	149,50
74370000	682,64	292,88	5,18	131,86	545,03	238,39
74460000	56,90	17,22	10,67	5,34	48,81	14,02
74470000	449,16	204,57	4,56	98,40	353,05	166,51
74700000	332,89	106,35	9,54	34,88	282,92	86,56
74750000	135,11	66,67	3,85	35,10	103,79	54,26
74800000	23501,96	13400,93	2,82	8347,02	17205,85	10907,74
74900000	429,29	83,94	25,90	16,57	389,85	68,33
75155000	581,83	440,20	1,48	393,21	375,01	358,30
75200000	235,97	91,34	6,42	36,76	193,06	74,35
75205000	158,59	49,11	10,18	15,59	135,51	39,97
75230000	1301,39	684,20	3,36	387,40	979,93	556,91
75295000	627,02	208,37	8,80	71,24	529,12	169,60
75400000	577,46	329,62	2,81	205,56	422,60	268,29
75450000	899,76	338,22	6,82	131,88	740,86	275,29
75500000	1146,77	436,05	6,66	172,14	941,90	354,92
75550000	14985,76	5181,57	8,11	1847,65	12551,32	4217,56
75600000	319,98	90,80	12,17	26,30	277,32	73,91
75700000	1426,84	441,47	10,19	139,98	1219,43	359,33
75780000	15860,77	4888,27	10,27	1543,64	13564,13	3978,83
76085000	1021,04	560,39	3,06	333,62	757,76	456,13
76310000	1991,87	1124,87	2,88	692,65	1463,38	915,59
76440000	911,07	342,97	6,80	133,94	749,93	279,17
76460000	884,97	447,82	3,65	242,63	674,57	364,50
76500000	3237,06	1345,34	5,53	584,93	2604,98	1095,04
76560000	3339,18	1515,10	4,60	725,76	2627,35	1233,22

76650000	526,20	229,36	5,01	105,08	418,44	186,69
76742000	339,77	195,10	2,77	122,55	248,11	158,81
76750000	907,31	311,99	8,20	110,60	760,73	253,95
76800000	4272,00	1657,20	6,39	668,48	3493,40	1348,89
80200000	9,32	4,26	4,53	2,06	7,32	3,47
81019350	92,36	51,28	2,99	30,94	68,27	41,74
81102000	247,23	149,56	2,47	100,04	176,97	121,73
81107000	478,81	287,09	2,52	189,97	343,93	233,68
81120000	94,97	79,40	1,16	81,88	57,67	64,63
81125000	46,29	21,23	4,50	10,30	36,31	17,28
81135000	836,67	485,48	2,71	308,77	608,58	395,16
81140000	59,27	27,32	4,45	13,32	46,43	22,24
81200000	999,37	468,29	4,30	232,55	779,36	381,17
81335000	470,54	280,50	2,55	184,30	338,76	228,31
81530000	225,16	106,99	4,17	53,97	174,90	87,09
81580000	91,03	50,61	2,98	30,59	67,25	41,19
81585000	46,24	20,55	4,81	9,62	36,59	16,73
81600000	208,64	52,69	15,43	13,52	183,88	42,89
81615000	10,10	2,95	11,44	0,88	8,71	2,40
81630000	260,76	70,37	13,48	19,35	227,69	57,28
82170000	257,63	134,30	3,42	75,30	194,53	109,32
82320000	125,04	73,10	2,67	46,91	90,70	59,50
82350000	505,06	286,18	2,85	176,92	370,61	232,94
82770000	162,52	63,91	6,21	26,17	132,49	52,02
83029900	170,78	66,96	6,25	27,32	139,32	54,50
83050000	281,85	91,86	9,16	30,77	238,69	74,77
83069900	123,02	99,83	1,25	98,51	76,12	81,25
83105000	159,82	92,02	2,76	57,98	116,59	74,90

83250000	329,94	216,92	2,05	160,92	228,03	176,56
83300200	814,36	359,66	4,87	167,20	645,38	292,75
83345000	772,13	540,35	1,78	434,53	518,26	439,82
83520000	1558,90	714,34	4,51	345,97	1223,28	581,44
83660000	211,66	69,31	9,07	23,33	179,10	56,41
83675000	159,01	76,00	4,12	38,59	123,31	61,86
83690000	2006,06	966,43	4,05	495,14	1552,00	786,63
83800002	2721,97	1417,37	3,43	793,66	2056,05	1153,68
83880000	62,78	21,90	7,96	7,88	52,49	17,83
84071000	239,17	137,30	2,77	86,21	174,66	111,75
84100000	165,76	86,49	3,41	48,55	125,13	70,40
84249998	149,50	57,35	6,54	22,86	122,56	46,68
84520000	87,38	32,15	7,13	12,25	72,27	26,17
84551000	171,07	87,08	3,60	47,50	130,16	70,88
84559800	360,99	171,53	4,17	86,53	280,40	139,62
84580000	628,18	216,10	8,20	76,64	526,65	175,90
84600000	163,86	76,44	4,34	37,77	127,95	62,22
84949800	708,14	266,08	6,83	103,71	583,12	216,58
84950000	633,52	244,13	6,48	97,78	518,82	198,71
85400000	2541,12	671,87	14,05	180,83	2225,46	546,87
85470000	288,52	134,28	4,36	66,18	225,43	109,30
85480000	523,13	234,50	4,72	110,82	412,96	190,87
85600000	1049,54	507,88	4,01	261,52	810,93	413,39
85610000	48,75	24,88	3,58	13,61	37,06	20,25
85623000	317,10	105,74	8,74	36,28	267,42	86,06
85642000	2720,99	648,46	17,36	156,78	2416,33	527,82
85900000	4079,87	1116,55	13,10	311,45	3555,29	908,82
86100000	827,60	288,72	7,96	103,94	691,95	235,01

86160000	459,81	184,97	5,92	77,61	372,91	150,56
86410000	1065,96	538,43	3,66	291,12	812,99	438,25
86480000	600,70	237,19	6,16	97,53	489,26	193,06
86510000	6380,79	2839,59	4,79	1331,21	5046,68	2311,30
86560000	831,91	334,13	5,94	139,95	674,93	271,96
86580000	1549,23	844,19	3,11	498,36	1152,61	687,13
86745000	495,89	241,88	3,95	125,68	382,24	196,88
87160000	713,11	334,87	4,28	166,69	555,78	272,57
87170000	1017,51	403,90	6,09	167,04	827,74	328,76
87270000	618,23	103,71	35,29	17,52	569,50	84,41
87317030	254,40	99,97	6,22	40,89	207,43	81,37
87317060	98,91	31,70	9,48	10,43	84,02	25,80
87380000	421,05	95,43	19,22	21,91	376,21	77,67
87382000	500,58	176,53	7,79	64,28	417,64	143,69
87399000	124,02	41,84	8,53	14,53	104,37	34,06
87400000	191,70	79,39	5,58	34,39	154,40	64,62
88750000	63,64	26,14	5,67	11,22	51,36	21,28

### Apêndice III – Parâmetros de ajuste das distribuições de 3 parâmetros (parte 1) – GEV, GLO, GNO e GPA

Serie	Parâmetros GEV			Parâmetros GLO			Parâmetros GNO			Parâmetros GPA		
	$\xi$	$\beta$	$\alpha$									
12700000	8709,83	1034,97	0,45	9052,27	539,02	0,09	9060,40	954,62	0,18	7123,94	4414,86	1,39
13410000	4778,18	809,30	0,17	5074,50	486,59	-0,06	5069,17	862,10	-0,13	3775,05	2375,49	0,76
13750000	9581,62	939,89	0,19	9924,15	560,89	-0,06	9918,80	993,83	-0,12	8404,82	2808,17	0,79
13880000	12409,80	500,40	0,28	12586,26	284,00	0,00	12586,15	503,39	0,00	11737,83	1691,36	0,99
14110000	9612,15	1115,27	0,44	9982,09	582,66	0,09	9990,54	1031,97	0,17	7911,91	4714,78	1,37

14230000	3628,86	330,60	0,10	3752,71	206,56	-0,11	3748,93	365,69	-0,22	3239,20	888,25	0,61
14280001	5619,08	620,56	0,04	5856,08	401,37	-0,15	5845,91	709,79	-0,30	4918,76	1545,16	0,49
14300000	346,25	103,54	0,18	383,99	61,82	-0,06	383,40	109,54	-0,12	216,70	308,96	0,79
14310000	701,11	82,06	0,11	731,77	51,03	-0,10	730,89	90,36	-0,21	603,82	222,80	0,63
14350000	1716,03	216,94	0,41	1788,94	115,25	0,07	1790,26	204,18	0,14	1394,11	874,53	1,29
14440000	1476,98	277,29	0,74	1558,07	126,32	0,23	1563,31	222,53	0,47	931,34	1833,85	2,18
14488000	1525,86	304,72	0,54	1623,05	151,88	0,13	1626,58	268,70	0,28	1022,64	1482,90	1,62
14515000	4048,06	1122,09	0,39	4428,08	602,11	0,06	4433,90	1066,87	0,12	2409,00	4399,34	1,24
14526000	1402,18	348,48	0,56	1512,49	172,22	0,14	1516,77	304,59	0,29	817,88	1741,77	1,67
14530000	784,41	336,44	0,07	911,70	213,92	-0,13	907,04	378,52	-0,26	396,55	869,52	0,55
14550000	1080,92	463,05	0,29	1243,60	261,39	0,00	1243,76	463,30	0,01	454,24	1586,82	1,01
14680001	839,11	237,94	0,31	922,02	132,75	0,02	922,38	235,28	0,03	511,52	840,45	1,06
14710000	8667,39	2451,95	0,33	9517,13	1357,45	0,02	9522,67	2405,87	0,05	5252,59	8837,70	1,10
15050000	122,62	25,50	0,24	131,75	14,81	-0,03	131,68	26,24	-0,06	89,49	81,34	0,90
15120001	343,43	102,06	0,16	380,88	61,59	-0,07	380,16	109,11	-0,14	217,55	297,00	0,74
15130000	958,05	90,83	0,14	991,63	55,49	-0,08	990,85	98,29	-0,17	847,82	256,86	0,70
15150000	1829,68	229,32	0,34	1908,89	126,36	0,03	1909,51	223,95	0,06	1508,06	836,84	1,12
15200000	5082,31	802,69	0,14	5378,91	489,92	-0,08	5372,16	867,79	-0,17	4107,03	2274,89	0,70
15250000	15113,80	2308,17	-0,14	16039,89	1653,95	-0,27	15957,54	2905,77	-0,55	12805,43	4660,39	0,16
15320002	36714,12	4137,36	0,16	38233,89	2500,71	-0,07	38204,06	4430,18	-0,14	31621,74	11995,13	0,74
15400000	37606,46	3863,96	-0,06	39125,28	2645,25	-0,21	39024,58	4664,51	-0,44	33533,98	8541,53	0,30
15552600	357,53	97,99	0,08	394,52	62,06	-0,12	393,22	109,82	-0,25	244,01	255,46	0,57
15559000	1159,91	175,54	0,34	1220,40	96,41	0,03	1220,93	170,86	0,07	912,49	646,24	1,13
15630000	43705,88	6301,65	-0,10	46207,23	4406,04	-0,24	46016,51	7757,60	-0,49	37224,84	13352,15	0,23
15700000	46936,80	4127,95	0,05	48506,11	2647,42	-0,14	48443,66	4683,21	-0,28	42229,29	10468,25	0,52
15800000	3887,68	451,14	0,18	4052,61	270,60	-0,06	4049,78	479,44	-0,13	3326,68	1331,75	0,77
15830000	8560,57	1011,26	0,06	8944,11	645,79	-0,13	8929,45	1142,55	-0,27	7401,13	2588,65	0,54
15910000	1408,65	237,94	0,44	1487,53	124,22	0,09	1489,35	220,01	0,18	1045,49	1007,93	1,38

17090000	738,78	569,35	0,09	952,64	357,35	-0,11	945,77	632,56	-0,23	71,57	1514,35	0,60
17093000	1966,35	129,98	0,21	2013,31	76,52	-0,04	2012,78	135,60	-0,08	1800,56	401,27	0,84
17120000	1329,58	192,40	-0,07	1405,29	132,03	-0,21	1400,19	232,78	-0,44	1127,36	423,27	0,29
17200000	965,30	193,10	-0,05	1040,89	131,05	-0,20	1036,17	231,21	-0,42	759,70	434,48	0,33
17210000	1101,10	237,67	-0,04	1194,04	160,96	-0,20	1188,32	284,02	-0,41	847,41	537,08	0,34
17280000	1722,54	282,62	0,01	1831,50	186,11	-0,17	1826,07	328,87	-0,34	1410,55	677,14	0,43
17340000	2543,80	411,45	0,22	2691,82	240,60	-0,03	2690,43	426,41	-0,07	2014,13	1290,97	0,87
17345000	80,40	21,39	0,21	88,13	12,59	-0,04	88,04	22,32	-0,09	53,13	65,99	0,84
17350000	131,95	31,52	-0,15	144,62	22,67	-0,27	143,47	39,81	-0,56	100,55	63,22	0,15
17380000	4614,14	836,72	0,09	4928,75	526,16	-0,11	4918,44	931,33	-0,23	3635,98	2216,05	0,59
17420000	8203,91	1563,27	0,23	8764,30	909,19	-0,03	8759,93	1611,37	-0,06	6176,19	4970,65	0,89
17430000	17295,81	2583,52	0,05	18277,61	1655,80	-0,14	18238,78	2929,14	-0,28	14347,09	6561,28	0,52
18200000	625,33	356,41	0,32	749,19	198,07	0,02	749,86	351,06	0,04	131,77	1271,80	1,08
18250000	194,71	101,95	0,17	232,00	61,21	-0,06	231,35	108,44	-0,13	68,08	300,34	0,76
18420000	165,47	32,41	-0,10	178,33	22,65	-0,24	177,35	39,88	-0,49	132,11	68,75	0,24
18460000	8639,79	1746,57	0,27	9257,60	995,72	-0,01	9256,42	1764,86	-0,01	6309,48	5836,69	0,97
18850000	21800,09	4537,71	0,33	23372,51	2511,84	0,02	23382,81	4451,86	0,05	15479,25	16361,06	1,10
19100000	191,02	75,96	-0,12	221,32	53,70	-0,25	218,85	94,46	-0,52	113,87	157,52	0,20
19985000	570,54	108,53	0,29	608,61	61,12	0,01	608,67	108,34	0,01	423,18	374,09	1,02
20250000	699,83	231,69	-0,27	795,26	177,88	-0,35	782,56	309,59	-0,75	485,09	410,92	-0,05
21300000	251,11	137,51	-0,14	306,16	98,00	-0,26	301,42	172,27	-0,54	112,75	280,56	0,17
21580000	60,64	35,30	-0,31	75,27	27,66	-0,38	73,09	47,95	-0,81	28,62	60,36	-0,11
22100000	440,07	186,14	-0,07	513,40	128,03	-0,22	508,38	225,69	-0,45	244,95	407,59	0,29
22700000	966,78	322,29	-0,10	1094,67	225,18	-0,24	1084,96	396,49	-0,49	635,04	683,85	0,24
23150000	248,22	101,26	0,04	286,88	65,45	-0,14	285,23	115,74	-0,30	133,86	252,49	0,49
23220000	111,27	46,13	-0,09	129,55	32,13	-0,23	128,19	56,58	-0,48	63,60	98,54	0,25
23230000	357,62	122,65	0,34	399,95	67,52	0,03	400,30	119,67	0,06	185,36	448,71	1,12
23250000	531,77	216,40	0,12	612,46	134,09	-0,10	610,22	237,44	-0,20	273,97	592,43	0,64

24050000	99,71	14,33	0,04	105,18	9,28	-0,15	104,94	16,41	-0,30	83,57	35,55	0,49
24200000	1676,25	525,70	-0,07	1883,51	362,19	-0,22	1869,17	638,39	-0,45	1126,30	1147,20	0,28
24500000	747,00	244,56	0,00	841,46	161,59	-0,17	836,62	285,50	-0,35	478,11	581,84	0,42
24700000	3084,29	892,15	0,22	3405,65	522,74	-0,04	3402,43	926,41	-0,07	1938,98	2785,55	0,86
24800000	1174,45	447,24	0,02	1345,94	291,43	-0,15	1338,09	515,23	-0,32	674,35	1095,83	0,47
24900000	169,08	77,64	-0,23	200,80	58,25	-0,32	197,10	101,76	-0,68	95,28	143,69	0,02
24950000	655,91	166,34	0,21	716,07	98,07	-0,04	715,36	173,80	-0,09	444,19	511,60	0,83
25120000	43,11	19,64	-0,05	50,81	13,38	-0,21	50,32	23,60	-0,42	22,29	43,86	0,32
25200000	4021,20	1438,28	-0,01	4578,63	956,78	-0,18	4548,56	1689,93	-0,37	2452,77	3373,29	0,40
26050000	806,92	167,03	0,03	870,87	108,53	-0,15	868,01	191,90	-0,31	619,49	411,78	0,48
26720000	351,86	134,12	-0,10	405,03	93,53	-0,23	401,04	164,71	-0,48	213,51	285,63	0,24
27380000	64,90	5,53	-0,24	67,17	4,18	-0,33	66,89	7,29	-0,70	59,69	10,09	0,00
27500000	11477,77	2555,91	-0,13	12500,65	1820,55	-0,26	12412,97	3200,30	-0,54	8904,27	5221,04	0,18
27550000	123,25	36,50	0,28	136,14	20,76	0,00	136,12	36,79	-0,01	74,36	122,81	0,98
28150000	130,34	41,35	-0,04	146,47	27,88	-0,19	145,51	49,20	-0,40	85,95	94,35	0,35
28240000	297,50	76,29	0,13	325,84	46,96	-0,09	325,11	83,16	-0,18	205,82	212,08	0,67
28850000	14431,94	2781,86	-0,10	15535,38	1942,00	-0,23	15452,09	3419,66	-0,49	11565,74	5912,64	0,24
29700000	28929,16	6266,23	-0,06	31390,65	4284,04	-0,21	31228,96	7554,93	-0,43	22314,30	13890,01	0,31
30080000	1049,62	253,31	0,27	1139,14	144,22	-0,01	1139,00	255,61	-0,01	710,99	849,41	0,98
30300000	835,79	160,56	0,10	895,99	100,44	-0,11	894,12	177,82	-0,22	646,84	430,23	0,61
30400000	2498,04	534,70	0,27	2687,45	305,48	-0,01	2686,97	541,44	-0,02	1786,78	1777,39	0,96
31490000	252,33	80,42	0,42	279,21	42,42	0,07	279,75	75,15	0,15	131,62	330,74	1,32
31520000	399,93	135,79	0,30	447,41	76,13	0,01	447,55	134,93	0,02	214,32	473,56	1,04
31700000	1030,59	300,95	0,19	1140,18	179,36	-0,05	1138,51	317,82	-0,11	653,12	901,95	0,79
32450002	364,74	92,48	0,32	396,91	51,47	0,02	397,07	91,23	0,04	236,94	328,76	1,08
32550000	196,17	70,56	0,13	222,35	43,35	-0,09	221,70	76,78	-0,18	111,16	197,01	0,68
32620000	1382,15	471,53	0,17	1554,85	283,63	-0,06	1551,72	502,51	-0,13	798,04	1382,62	0,76
32740000	327,90	112,78	0,01	371,39	74,28	-0,17	369,22	131,25	-0,34	203,41	270,18	0,43

32830000	333,47	113,00	0,44	370,99	59,10	0,08	371,83	104,68	0,17	161,52	476,11	1,37
32850000	114,85	39,84	0,26	128,99	22,82	-0,01	128,94	40,45	-0,03	62,08	131,47	0,95
33075000	14,93	9,04	-0,05	18,47	6,16	-0,21	18,25	10,86	-0,42	5,35	20,19	0,32
33170000	135,44	74,98	0,02	164,19	48,86	-0,15	162,87	86,39	-0,32	51,59	183,72	0,47
33190000	714,95	278,11	0,43	807,50	145,88	0,08	809,51	258,39	0,17	293,74	1162,20	1,35
33260000	144,59	49,30	0,42	161,07	26,02	0,07	161,40	46,09	0,15	70,64	202,51	1,32
33270000	12,35	9,11	0,08	15,78	5,75	-0,12	15,67	10,18	-0,24	1,75	23,93	0,58
33281000	237,40	94,59	-0,33	276,74	74,92	-0,40	270,49	129,54	-0,84	152,60	158,61	-0,14
33290000	272,31	113,07	-0,27	318,94	87,12	-0,36	312,60	151,52	-0,76	167,91	199,23	-0,06
33321000	253,64	138,06	0,44	299,57	72,40	0,08	300,57	128,24	0,17	44,47	577,30	1,35
33330000	131,26	103,31	0,02	170,91	67,45	-0,16	169,07	119,23	-0,32	15,99	252,15	0,46
33380000	455,78	231,53	0,27	537,69	132,01	-0,01	537,53	233,99	-0,01	146,93	773,47	0,97
33520000	41,80	38,82	-0,16	57,43	28,06	-0,28	55,97	49,26	-0,58	3,37	77,03	0,13
33530000	133,71	70,22	-0,13	161,76	49,83	-0,25	159,41	87,62	-0,53	62,70	144,50	0,19
33550000	204,84	86,47	-0,11	239,27	60,88	-0,25	236,52	107,13	-0,51	116,62	180,69	0,21
33620000	200,25	106,11	-0,05	241,86	72,29	-0,21	239,19	127,51	-0,43	87,76	236,93	0,32
33630000	700,26	333,83	-0,12	833,45	236,12	-0,25	822,52	415,33	-0,52	361,43	691,40	0,20
33680000	1022,42	489,42	-0,04	1213,78	331,37	-0,20	1202,03	584,73	-0,41	499,83	1106,62	0,34
33760000	62,42	37,40	-0,11	77,28	26,22	-0,24	76,13	46,16	-0,50	24,07	78,82	0,23
33780000	341,15	207,67	-0,23	426,12	156,43	-0,33	415,97	273,13	-0,69	144,65	381,41	0,01
34070000	567,39	174,14	0,14	631,75	106,33	-0,08	630,28	188,33	-0,17	355,92	493,08	0,70
34090000	63,81	16,03	-0,07	70,12	11,01	-0,21	69,70	19,40	-0,44	46,97	35,25	0,29
34130000	247,75	81,12	-0,01	279,20	53,99	-0,18	277,50	95,36	-0,37	159,35	190,04	0,39
34170000	633,66	241,54	0,12	723,63	149,43	-0,10	721,18	264,61	-0,20	345,33	663,61	0,65
34230000	21,24	10,60	0,29	24,97	5,98	0,00	24,97	10,61	0,01	6,89	36,33	1,01
34690000	1786,23	913,27	0,03	2136,21	594,48	-0,15	2120,34	1051,02	-0,31	763,69	2242,84	0,47
34770000	848,16	654,33	-0,11	1108,39	459,48	-0,24	1087,99	808,71	-0,50	178,52	1374,62	0,22
34789000	900,03	705,44	-0,01	1173,18	468,41	-0,18	1158,65	827,41	-0,36	129,04	1660,95	0,40

34879500	1960,18	984,32	0,00	2340,61	651,24	-0,17	2320,93	1150,56	-0,35	879,71	2335,17	0,41
34940000	676,41	424,98	0,23	828,81	247,31	-0,03	827,60	438,31	-0,06	125,63	1349,32	0,89
35235000	11,18	14,20	-0,79	17,09	14,04	-0,79	12,97	18,39	-1,99	1,09	16,47	-0,76
35240000	131,37	181,53	-0,25	205,94	138,26	-0,34	196,46	240,97	-0,72	-38,35	326,73	-0,02
35260000	51,27	77,60	-0,35	83,66	62,29	-0,42	78,12	107,33	-0,89	-17,33	127,12	-0,17
36125000	53,59	48,33	-0,36	73,79	38,95	-0,42	70,26	67,04	-0,90	11,04	78,63	-0,18
36160000	201,39	249,51	-0,47	306,93	213,08	-0,51	281,06	358,56	-1,11	-5,38	367,48	-0,35
36250000	41,64	45,88	-0,33	60,75	36,53	-0,40	57,62	63,08	-0,86	0,73	76,24	-0,15
36580000	75,06	112,43	-0,57	122,82	101,15	-0,59	106,64	164,00	-1,34	-13,24	151,92	-0,49
37220000	19,14	19,23	-0,13	26,82	13,64	-0,25	26,17	23,99	-0,53	-0,30	39,55	0,19
37470000	281,68	354,98	-0,47	431,86	303,54	-0,51	394,77	510,42	-1,12	-12,09	521,67	-0,35
38170000	16,79	30,41	-0,43	29,61	25,49	-0,48	26,79	43,27	-1,04	-8,90	46,20	-0,29
38485000	16,64	27,48	-0,51	28,30	23,96	-0,54	25,06	39,83	-1,19	-5,66	39,12	-0,40
38790000	102,28	114,56	-0,25	149,27	86,88	-0,34	143,43	151,54	-0,71	-5,31	207,77	-0,01
38830000	77,46	73,57	-0,50	108,65	63,93	-0,53	100,17	106,51	-1,18	17,56	105,28	-0,39
38850000	68,01	85,39	-0,48	104,15	73,35	-0,52	94,98	123,03	-1,13	-2,33	124,53	-0,36
38860000	22,32	54,60	-0,77	45,15	53,52	-0,77	30,44	72,95	-1,91	-16,86	64,24	-0,74
38895000	135,57	212,91	-0,57	226,02	191,45	-0,59	195,49	310,56	-1,34	-31,73	287,95	-0,49
39083000	59,36	42,08	-0,07	75,93	28,93	-0,22	74,80	51,00	-0,45	15,23	92,21	0,29
39084010	54,11	42,80	0,03	70,48	27,79	-0,15	69,76	49,13	-0,31	6,03	105,70	0,48
39084020	68,74	45,23	-0,08	86,61	31,30	-0,22	85,34	55,15	-0,46	21,67	97,82	0,27
39140000	23,09	34,16	-0,54	37,60	30,27	-0,57	33,14	49,74	-1,27	-4,15	47,31	-0,45
39145000	44,43	72,66	-0,58	75,29	65,72	-0,60	64,46	105,99	-1,36	-12,33	97,33	-0,50
39150000	62,62	66,78	-0,31	90,32	52,45	-0,38	86,13	90,86	-0,82	2,20	113,72	-0,11
39170000	43,75	55,80	-0,22	66,53	41,75	-0,32	63,91	72,97	-0,67	-9,42	103,75	0,03
39200000	110,37	70,19	-0,12	138,34	49,50	-0,25	136,08	87,09	-0,51	38,88	146,24	0,21
39480000	133,11	38,10	0,28	146,55	21,64	0,00	146,54	38,35	-0,01	82,00	128,56	0,99
39560000	195,42	141,42	-0,19	252,77	104,05	-0,30	246,79	182,27	-0,63	58,11	271,41	0,08

39580000	86,93	38,71	0,02	101,79	25,29	-0,16	101,09	44,71	-0,32	43,80	94,25	0,46
39760000	371,70	255,43	0,04	469,31	165,41	-0,15	465,08	292,50	-0,30	83,87	634,35	0,49
39770000	340,22	231,58	-0,22	434,69	173,00	-0,32	423,93	302,44	-0,67	119,10	431,95	0,03
39870000	238,89	202,91	-0,02	317,75	135,71	-0,18	313,32	239,64	-0,38	19,04	470,59	0,38
40025000	58,43	31,61	0,00	70,63	20,87	-0,17	70,01	36,88	-0,35	23,64	75,32	0,42
40032000	102,24	46,22	0,01	120,05	30,40	-0,16	119,17	53,73	-0,34	51,14	111,01	0,43
40050000	504,22	164,77	0,11	565,84	102,62	-0,10	564,02	181,69	-0,21	309,23	445,89	0,63
40053000	37,20	21,42	0,23	44,88	12,47	-0,03	44,82	22,10	-0,06	9,45	67,98	0,89
40070000	604,19	183,16	-0,29	679,97	142,59	-0,37	669,06	247,50	-0,79	436,93	316,80	-0,09
40100000	719,06	228,78	-0,34	814,45	182,77	-0,41	798,55	315,33	-0,87	515,81	377,88	-0,16
40185000	131,26	77,00	-0,20	162,52	56,80	-0,30	159,21	99,47	-0,63	56,71	147,07	0,07
40269900	13,19	7,65	-0,03	16,17	5,15	-0,19	16,00	9,09	-0,40	4,98	17,48	0,36
40500000	37,77	22,88	0,00	46,61	15,11	-0,17	46,16	26,69	-0,35	12,61	54,48	0,42
40549998	48,10	24,13	-0,17	57,84	17,58	-0,29	56,89	30,83	-0,60	24,40	47,20	0,11
40579995	74,12	42,97	0,06	90,44	27,51	-0,13	89,80	48,66	-0,28	25,00	109,43	0,53
40680000	41,57	22,82	-0,41	51,17	18,94	-0,46	49,18	32,27	-1,00	22,09	35,27	-0,27
40710000	270,21	128,32	-0,38	324,03	104,90	-0,44	313,80	179,76	-0,95	158,94	203,57	-0,22
40740000	303,24	144,26	-0,36	363,53	116,32	-0,42	352,94	200,17	-0,90	176,31	234,46	-0,19
40800001	379,36	130,78	-0,44	434,56	110,20	-0,49	422,06	186,64	-1,06	269,47	197,00	-0,31
40810350	1,04	0,50	-0,09	1,24	0,35	-0,23	1,23	0,62	-0,48	0,52	1,08	0,25
40822995	13,04	7,34	0,15	15,74	4,46	-0,08	15,69	7,91	-0,16	4,08	20,95	0,71
40823500	20,76	15,10	-0,03	26,65	10,17	-0,19	26,31	17,94	-0,40	4,53	34,55	0,36
40930000	168,31	84,12	-0,11	201,77	59,11	-0,24	199,14	104,03	-0,50	82,28	176,49	0,22
41050000	189,40	108,02	-0,10	232,22	75,29	-0,23	229,02	132,59	-0,48	77,91	230,31	0,24
41075001	678,57	341,65	0,04	809,06	221,02	-0,15	803,45	390,85	-0,30	293,10	850,31	0,49
41135000	2117,36	1167,60	0,07	2559,34	743,02	-0,13	2543,00	1314,72	-0,26	772,79	3011,91	0,55
41180000	53,27	31,38	-0,26	66,18	24,00	-0,35	64,50	41,80	-0,74	24,05	56,07	-0,04
41260000	408,10	201,55	0,01	485,64	132,17	-0,16	481,90	233,61	-0,33	184,48	487,17	0,44

41300000	95,28	50,46	0,02	114,65	32,94	-0,16	113,75	58,23	-0,32	38,97	123,22	0,46
41340000	498,83	248,67	0,01	594,48	163,03	-0,16	589,88	288,16	-0,33	222,83	601,42	0,45
41380000	91,42	54,16	0,10	111,71	33,83	-0,11	111,09	59,88	-0,22	27,56	145,65	0,62
41410000	618,29	293,82	0,15	726,70	178,89	-0,08	724,32	316,87	-0,16	260,11	837,54	0,71
41440005	20,91	10,32	-0,10	25,01	7,23	-0,24	24,70	12,73	-0,50	10,32	21,79	0,23
41600000	594,75	264,02	0,13	692,74	162,33	-0,09	690,28	287,49	-0,18	277,03	735,74	0,67
41650002	706,64	341,47	0,16	832,09	206,45	-0,07	829,62	365,73	-0,14	286,50	989,36	0,74
41818000	1113,10	441,67	0,29	1268,39	249,58	0,00	1268,49	442,37	0,00	516,26	1509,52	1,01
41890000	229,78	149,29	0,23	283,27	86,76	-0,03	282,87	153,77	-0,06	35,95	475,52	0,89
42089998	178,85	96,70	-0,45	219,68	81,70	-0,49	210,29	138,21	-1,07	97,82	145,02	-0,32
42145498	329,13	139,14	-0,32	386,96	109,90	-0,39	377,92	190,15	-0,84	204,03	234,47	-0,13
42187000	25,68	11,59	-0,37	30,53	9,41	-0,43	29,65	16,16	-0,92	15,55	18,62	-0,20
42365000	334,26	153,23	0,16	390,57	92,67	-0,07	389,45	164,17	-0,15	145,81	443,65	0,74
42545002	70,41	56,48	0,14	91,34	34,62	-0,09	90,83	61,32	-0,18	2,19	158,44	0,68
42545500	84,54	46,89	-0,13	103,29	33,34	-0,26	101,70	58,61	-0,53	37,24	96,10	0,18
42840000	26,83	14,19	0,16	32,05	8,60	-0,07	31,94	15,24	-0,15	9,44	40,82	0,73
43250002	299,57	77,44	0,07	328,84	49,14	-0,12	327,79	86,96	-0,25	210,06	201,06	0,56
43675000	352,51	168,42	-0,16	420,37	121,88	-0,28	413,96	213,92	-0,58	185,94	333,63	0,13
44670000	84,56	84,98	-0,31	119,84	66,88	-0,39	114,44	115,81	-0,82	7,85	144,16	-0,12
45770000	102,00	26,49	-0,18	112,72	19,40	-0,29	111,64	34,00	-0,61	76,13	51,34	0,09
47900000	2,68	2,45	-0,34	3,71	1,96	-0,41	3,54	3,37	-0,87	0,51	4,05	-0,16
48880000	14,19	19,63	-0,70	22,47	18,74	-0,71	18,20	27,75	-1,69	-0,30	24,10	-0,66
50040000	24,25	22,41	0,05	32,77	14,39	-0,14	32,43	25,46	-0,28	-1,27	56,67	0,52
50043000	21,79	11,03	0,45	25,43	5,74	0,09	25,52	10,16	0,18	4,85	47,23	1,39
50047000	26,13	24,76	-0,59	36,65	22,51	-0,61	32,84	36,11	-1,39	6,89	32,91	-0,52
50080000	46,53	39,62	0,14	61,19	24,24	-0,08	60,85	42,93	-0,17	-1,47	111,69	0,69
50146000	5,85	7,93	-0,48	9,21	6,82	-0,52	8,34	11,43	-1,14	-0,66	11,51	-0,37
50150000	6,87	11,39	-0,68	11,69	10,79	-0,69	9,34	16,26	-1,63	-1,61	14,16	-0,64

50191000	202,56	201,18	-0,36	286,64	162,17	-0,42	271,88	279,10	-0,90	25,52	327,06	-0,19
50230000	59,69	57,93	-0,27	83,56	44,53	-0,36	80,36	77,48	-0,75	6,06	102,53	-0,05
50250000	40,53	36,15	0,01	54,46	23,81	-0,17	53,77	42,07	-0,34	0,63	86,58	0,43
50380000	46,86	32,67	0,12	59,02	20,18	-0,09	58,69	35,73	-0,19	7,78	90,07	0,66
50420000	18,86	20,01	-0,52	27,35	17,58	-0,55	24,88	29,07	-1,23	2,75	28,13	-0,42
50520000	107,78	104,60	-0,38	151,65	85,54	-0,44	143,30	146,57	-0,95	17,10	165,87	-0,23
50540000	148,56	164,20	-0,25	215,99	124,97	-0,34	207,45	217,84	-0,72	-5,06	295,87	-0,02
50620000	10,93	12,83	-0,57	16,38	11,53	-0,59	14,55	18,71	-1,33	0,85	17,35	-0,49
50660000	48,55	33,03	-0,17	61,89	24,03	-0,29	60,59	42,15	-0,60	16,08	64,75	0,11
50720000	12,20	15,25	-0,31	18,53	12,01	-0,39	17,55	20,79	-0,83	-1,56	25,83	-0,12
50740000	19,36	18,12	0,06	26,23	11,57	-0,13	25,97	20,47	-0,27	-1,43	46,44	0,54
50755000	66,49	58,59	-0,11	89,77	41,06	-0,24	87,97	72,28	-0,50	6,38	123,59	0,23
50785000	125,56	92,83	0,03	161,07	60,22	-0,15	159,50	106,48	-0,31	21,19	229,63	0,48
50820000	43,17	43,26	-0,15	60,57	31,17	-0,27	58,97	54,73	-0,57	0,17	86,43	0,14
51120000	217,56	112,34	0,10	259,61	70,09	-0,11	258,35	124,08	-0,22	84,89	302,87	0,62
51140000	81,91	63,05	-0,36	108,27	50,86	-0,42	103,63	87,51	-0,90	26,45	102,41	-0,19
51230000	162,99	118,42	0,08	207,71	75,05	-0,12	206,13	132,82	-0,25	25,91	308,25	0,56
51280000	402,59	277,24	-0,12	513,23	196,19	-0,25	504,12	345,08	-0,52	121,36	573,60	0,20
51330000	378,62	239,64	-0,18	475,46	174,70	-0,29	465,91	306,37	-0,60	143,54	468,09	0,11
51350000	420,17	327,88	-0,36	557,24	264,54	-0,42	533,07	455,17	-0,90	131,91	532,22	-0,19
51430000	35,45	51,88	-0,33	57,03	41,11	-0,40	53,60	71,08	-0,85	-11,04	86,94	-0,14
51440000	61,60	87,87	-0,44	98,69	74,12	-0,49	90,24	125,47	-1,06	-12,15	132,12	-0,31
51460000	200,36	270,11	-0,55	315,09	241,23	-0,58	278,03	393,77	-1,30	-13,40	369,40	-0,47
51560000	80,54	42,41	-0,16	97,63	30,70	-0,28	96,02	53,88	-0,58	38,60	84,01	0,13
51650000	26,35	15,90	-0,11	32,68	11,19	-0,24	32,18	19,69	-0,51	10,12	33,26	0,21
51870000	28,53	9,66	-0,22	32,47	7,21	-0,32	32,03	12,60	-0,66	19,29	18,08	0,04
51890000	104,93	48,05	-0,03	123,63	32,20	-0,19	122,56	56,86	-0,39	53,01	110,93	0,37
52270000	302,20	295,60	-0,23	423,09	222,33	-0,33	408,78	388,29	-0,69	22,04	544,45	0,01

52404000	299,17	306,16	-0,27	425,33	235,37	-0,36	408,40	409,55	-0,75	15,81	541,66	-0,05
52405000	368,96	321,50	-0,19	499,30	236,29	-0,30	485,81	413,98	-0,62	56,43	618,32	0,08
53050000	67,52	33,13	-0,05	80,49	22,50	-0,20	79,67	39,70	-0,42	32,28	74,40	0,33
53091000	157,06	69,02	-0,26	185,43	52,67	-0,35	181,78	91,77	-0,73	92,67	123,75	-0,03
53160000	152,07	158,97	-0,01	213,70	105,80	-0,18	210,36	186,87	-0,37	-21,18	372,44	0,39
53170000	399,99	330,14	0,16	521,41	199,94	-0,07	518,95	354,19	-0,15	-5,31	952,82	0,73
53780000	77,04	55,98	-0,17	99,64	40,72	-0,29	97,44	71,43	-0,60	22,00	109,78	0,11
54165000	104,25	67,87	-0,08	131,03	46,85	-0,22	129,15	82,57	-0,46	33,42	147,50	0,27
54230000	207,24	108,40	-0,18	251,08	79,22	-0,29	246,69	138,88	-0,61	101,20	210,73	0,10
54590000	35,85	24,21	-0,13	45,52	17,18	-0,25	44,71	30,21	-0,53	11,36	49,84	0,19
55170000	135,99	75,96	0,05	164,92	48,87	-0,14	163,73	86,43	-0,29	49,70	191,34	0,51
55340000	140,49	67,51	0,00	166,53	44,52	-0,17	165,22	78,67	-0,35	66,08	161,31	0,43
55370000	99,63	41,82	0,02	115,71	27,38	-0,16	114,95	48,40	-0,33	53,13	101,48	0,45
55380000	101,04	38,08	0,01	115,71	25,04	-0,16	114,99	44,25	-0,34	58,93	91,51	0,44
55460000	113,22	46,10	0,28	129,49	26,19	0,00	129,47	46,43	-0,01	51,43	155,33	0,99
55490000	149,53	68,42	0,12	175,00	42,28	-0,09	174,31	74,86	-0,19	67,73	188,51	0,66
55520001	54,47	30,65	0,42	64,73	16,21	0,07	64,93	28,72	0,15	8,66	125,13	1,31
55560000	198,29	111,22	-0,05	241,81	75,41	-0,20	239,11	133,06	-0,41	79,73	250,76	0,33
55610000	69,79	46,49	-0,07	88,08	31,91	-0,21	86,85	56,25	-0,44	20,94	102,23	0,29
55630000	312,41	173,29	0,03	378,69	112,39	-0,15	375,77	198,72	-0,31	117,51	428,92	0,48
55660000	81,43	50,58	-0,17	101,86	36,83	-0,29	99,86	64,59	-0,60	31,74	99,03	0,11
55699998	437,23	266,07	-0,11	543,19	187,40	-0,25	534,72	329,75	-0,51	165,87	555,65	0,21
55790000	50,68	25,11	-0,02	60,44	16,80	-0,18	59,89	29,66	-0,38	23,47	58,25	0,38
55850000	268,17	152,51	-0,21	330,21	113,05	-0,31	323,45	197,85	-0,65	121,30	288,64	0,06
55895000	149,31	64,73	0,11	173,51	40,31	-0,10	172,80	71,38	-0,21	72,68	175,22	0,63
55900000	18,23	8,53	0,13	21,39	5,23	-0,09	21,31	9,27	-0,18	7,93	23,90	0,68
55920000	278,10	133,52	0,05	328,99	86,03	-0,14	326,87	152,16	-0,29	126,72	335,15	0,50
56055000	99,55	35,05	0,20	112,28	20,80	-0,05	112,10	36,85	-0,10	55,32	106,17	0,81

56065000	25,37	11,21	0,16	29,49	6,80	-0,07	29,41	12,04	-0,15	11,63	32,25	0,73
56075000	270,38	93,97	-0,11	307,78	66,10	-0,24	304,82	116,32	-0,51	174,40	196,75	0,22
56085000	37,64	17,89	0,04	44,47	11,58	-0,15	44,18	20,47	-0,30	17,47	44,47	0,49
56110005	389,90	173,20	-0,26	461,13	132,35	-0,35	451,90	230,55	-0,73	228,55	309,83	-0,03
56240000	89,07	48,87	-0,29	109,30	38,06	-0,37	106,37	66,07	-0,79	44,47	84,44	-0,09
56337000	81,58	44,37	-0,12	99,28	31,37	-0,25	97,83	55,18	-0,52	36,53	91,96	0,20
56385000	47,36	17,81	0,23	53,76	10,40	-0,03	53,70	18,42	-0,07	24,38	56,12	0,87
56415000	138,85	64,53	-0,25	165,35	49,11	-0,34	162,00	85,61	-0,72	78,47	116,31	-0,02
56425000	598,27	261,33	-0,10	701,84	182,10	-0,23	694,11	320,71	-0,48	328,46	557,42	0,25
56460000	57,62	21,64	0,08	65,77	13,64	-0,12	65,49	24,14	-0,24	32,39	57,02	0,58
56484998	92,77	43,70	-0,29	110,84	33,98	-0,37	108,26	59,00	-0,79	52,81	75,76	-0,08
56510000	127,49	69,71	-0,22	155,92	52,07	-0,32	152,69	91,02	-0,67	60,91	130,08	0,03
56539000	794,32	307,61	-0,06	915,26	210,69	-0,21	907,22	371,52	-0,44	470,29	679,33	0,30
56570000	66,32	38,56	0,23	80,18	22,53	-0,03	80,05	39,92	-0,07	16,60	121,31	0,87
56610000	153,78	87,09	0,10	186,41	54,43	-0,11	185,41	96,36	-0,22	51,15	233,90	0,61
56640000	120,24	72,83	0,12	147,34	44,98	-0,09	146,62	79,65	-0,19	33,10	200,90	0,66
56659998	365,16	214,58	0,15	444,21	130,30	-0,08	442,54	230,83	-0,15	102,67	615,40	0,72
56696000	450,95	246,27	0,07	544,04	156,34	-0,12	540,68	276,65	-0,26	166,48	638,67	0,56
56719998	1219,04	471,07	-0,14	1407,66	335,92	-0,26	1391,37	590,44	-0,54	745,34	960,14	0,17
56765000	113,57	62,60	0,06	137,32	40,01	-0,13	136,41	70,78	-0,27	41,88	159,92	0,53
56775000	631,83	328,35	0,01	758,32	215,87	-0,16	752,09	381,49	-0,34	268,64	789,45	0,44
56787000	169,72	67,44	-0,33	197,79	53,58	-0,40	193,25	92,58	-0,85	109,46	112,47	-0,14
56800000	92,24	40,43	-0,07	108,16	27,78	-0,22	107,08	48,97	-0,45	49,81	88,71	0,29
56825000	897,87	389,65	0,44	1027,50	204,33	0,08	1030,33	361,93	0,17	307,48	1629,52	1,35
56845000	46,10	21,41	-0,06	54,51	14,64	-0,21	53,96	25,81	-0,43	23,50	47,44	0,31
56846000	82,21	38,51	0,11	96,61	24,00	-0,10	96,18	42,48	-0,21	36,67	104,08	0,62
56850000	2225,90	855,04	0,05	2551,11	548,85	-0,14	2538,07	970,87	-0,28	1251,86	2164,26	0,52
56851000	28,50	17,61	0,04	35,22	11,38	-0,14	34,94	20,13	-0,30	8,60	43,95	0,50

56870000	35,32	19,19	-0,23	43,16	14,39	-0,32	42,25	25,14	-0,68	17,06	35,58	0,02
56920000	2695,54	1091,05	0,12	3102,44	676,42	-0,10	3091,08	1197,74	-0,20	1396,62	2983,42	0,64
56935000	86,16	37,34	-0,24	101,45	28,20	-0,33	99,59	49,21	-0,70	50,92	68,26	0,00
56940002	208,43	119,40	-0,20	256,89	88,00	-0,30	251,79	154,11	-0,63	92,71	228,45	0,07
56960005	97,29	43,69	-0,05	114,39	29,62	-0,20	113,33	52,27	-0,41	50,72	98,51	0,33
56976000	203,24	86,82	0,21	234,57	51,00	-0,04	234,23	90,38	-0,08	92,18	269,39	0,85
56978000	210,95	93,33	0,08	246,14	58,99	-0,12	244,92	104,40	-0,25	102,55	244,39	0,57
56983000	36,82	8,22	0,40	39,60	4,39	0,06	39,64	7,78	0,13	24,72	32,69	1,27
56988500	139,72	59,14	0,08	162,02	37,36	-0,12	161,25	66,13	-0,24	71,00	154,99	0,57
56989001	100,13	62,60	-0,08	124,82	43,16	-0,22	123,10	76,08	-0,46	34,71	136,38	0,28
56989400	243,98	127,61	-0,08	294,32	87,99	-0,22	290,81	155,09	-0,46	110,60	278,04	0,28
56990000	506,84	200,23	0,07	582,69	127,57	-0,13	579,85	225,72	-0,26	276,63	515,09	0,54
56990990	48,40	26,56	0,02	58,60	17,37	-0,16	58,12	30,71	-0,33	18,84	64,53	0,45
56991500	108,37	51,14	-0,21	129,17	37,91	-0,31	126,90	66,35	-0,65	59,13	96,74	0,06
56992000	168,36	87,34	0,07	201,42	55,56	-0,13	200,20	98,32	-0,26	67,75	225,43	0,55
56993551	80,86	40,36	-0,03	96,59	27,14	-0,19	95,67	47,90	-0,39	37,40	92,60	0,36
56994500	3438,07	1493,67	-0,09	4029,46	1038,56	-0,23	3985,97	1829,36	-0,48	1891,99	3200,13	0,25
56995500	95,46	41,13	-0,14	111,94	29,36	-0,26	110,51	51,60	-0,54	54,16	83,65	0,17
56998400	91,81	37,92	0,03	106,34	24,69	-0,15	105,68	43,65	-0,32	49,37	93,07	0,47
57040008	14,85	5,99	0,29	16,95	3,37	0,01	16,95	5,98	0,01	6,71	20,65	1,02
57130000	81,71	38,26	0,15	95,84	23,32	-0,08	95,52	41,30	-0,16	35,14	108,80	0,71
57170000	55,38	19,22	0,08	62,61	12,12	-0,12	62,37	21,45	-0,24	32,97	50,64	0,58
57250000	23,00	8,12	0,08	26,07	5,14	-0,12	25,96	9,10	-0,25	13,59	21,18	0,57
57300000	51,25	22,06	0,12	59,45	13,61	-0,09	59,24	24,10	-0,19	24,82	60,99	0,66
57320000	39,82	26,26	-0,28	50,65	20,23	-0,36	49,18	35,19	-0,76	15,58	46,26	-0,06
57350000	33,84	16,18	0,11	39,90	10,08	-0,10	39,72	17,85	-0,21	14,70	43,77	0,62
57360000	47,34	18,49	0,01	54,45	12,12	-0,16	54,11	21,42	-0,33	26,82	44,74	0,45
57370000	75,14	33,95	0,08	87,96	21,49	-0,12	87,51	38,03	-0,25	35,78	88,63	0,57

57400000	108,11	37,33	0,09	122,12	23,41	-0,11	121,68	41,43	-0,23	64,30	99,54	0,60
57420000	113,52	49,99	0,13	132,05	30,68	-0,09	131,59	54,34	-0,18	53,22	139,85	0,68
57450000	357,49	169,78	0,08	421,45	107,14	-0,12	419,28	189,62	-0,24	159,89	446,18	0,58
57476500	68,38	27,75	0,07	78,89	17,67	-0,13	78,50	31,26	-0,26	36,45	71,49	0,55
57490000	109,33	38,54	0,09	123,83	24,27	-0,12	123,35	42,96	-0,24	64,37	101,69	0,59
57550000	142,60	46,70	0,08	160,19	29,46	-0,12	159,60	52,14	-0,24	88,24	122,79	0,58
57580000	415,72	151,03	0,41	466,55	80,38	0,07	467,44	142,40	0,13	192,22	605,86	1,28
57700000	39,79	17,37	0,02	46,47	11,37	-0,16	46,15	20,10	-0,33	20,47	42,18	0,45
57740000	64,76	19,79	0,06	72,27	12,64	-0,13	71,98	22,37	-0,27	42,08	50,63	0,54
57770000	19,80	9,87	-0,05	23,67	6,71	-0,20	23,43	11,85	-0,42	9,33	22,08	0,32
57830000	255,22	122,67	0,10	301,19	76,69	-0,11	299,78	135,76	-0,22	110,73	329,22	0,61
57880000	46,51	26,48	-0,16	57,18	19,14	-0,28	56,18	33,60	-0,58	20,29	52,56	0,13
57930000	277,61	135,32	0,05	329,13	87,01	-0,14	327,03	153,90	-0,29	123,79	341,24	0,51
58030000	47,94	12,71	0,21	52,55	7,50	-0,04	52,49	13,30	-0,09	31,80	38,96	0,83
58040000	112,19	35,76	0,09	125,62	22,43	-0,11	125,19	39,71	-0,23	70,26	95,23	0,60
58060000	42,00	20,45	-0,56	50,69	18,28	-0,58	47,87	29,81	-1,31	25,84	27,92	-0,47
58096000	143,42	24,95	0,09	152,79	15,68	-0,11	152,49	27,75	-0,23	114,21	66,24	0,59
58183000	317,51	96,47	-0,04	355,23	65,34	-0,20	352,91	115,30	-0,41	214,54	217,96	0,34
58204000	351,54	102,47	-0,03	391,43	68,78	-0,19	389,13	121,43	-0,39	240,99	235,86	0,37
58235100	515,79	179,06	0,05	583,91	114,98	-0,14	581,16	203,39	-0,28	311,89	452,90	0,52
58242000	449,81	144,87	0,06	504,69	92,33	-0,13	502,63	163,36	-0,27	283,30	372,44	0,54
58258000	56,47	44,45	-0,21	74,57	33,01	-0,31	72,58	57,75	-0,65	13,75	83,85	0,05
58270000	43,11	18,80	0,18	49,98	11,26	-0,06	49,86	19,94	-0,12	19,69	55,70	0,77
58305001	657,46	248,36	0,05	751,93	159,44	-0,14	748,14	282,03	-0,28	374,57	628,50	0,52
58405000	88,63	36,17	0,18	101,86	21,71	-0,06	101,63	38,46	-0,13	43,67	106,67	0,77
58420000	122,73	62,87	0,07	146,50	39,90	-0,12	145,64	70,61	-0,26	50,11	163,07	0,56
58425000	110,50	61,74	0,03	134,12	40,06	-0,15	133,07	70,83	-0,31	41,10	152,66	0,48
58434000	22,78	9,64	-0,20	26,69	7,13	-0,31	26,27	12,49	-0,64	13,47	18,31	0,06

58440000	255,93	104,26	-0,12	297,55	73,80	-0,25	294,11	129,81	-0,52	150,22	215,57	0,20
58480500	98,66	36,17	0,04	112,47	23,39	-0,15	111,88	41,36	-0,30	57,83	90,11	0,49
58500000	17,83	12,08	-0,39	22,90	9,90	-0,44	21,93	16,95	-0,96	7,38	19,10	-0,23
58516500	166,39	67,49	0,01	192,34	44,22	-0,16	191,10	78,17	-0,33	91,44	163,39	0,45
58520000	266,36	79,03	0,09	296,03	49,55	-0,11	295,09	87,71	-0,23	173,62	210,72	0,60
58525000	22,14	9,95	-0,31	26,27	7,82	-0,39	25,64	13,55	-0,82	13,15	16,91	-0,11
58530000	54,21	20,78	-0,10	62,45	14,53	-0,24	61,82	25,58	-0,49	32,84	44,03	0,23
58542000	59,83	22,29	0,16	68,02	13,48	-0,07	67,86	23,88	-0,14	32,41	64,56	0,74
58550001	223,51	87,86	0,11	256,38	54,77	-0,10	255,40	96,97	-0,21	119,64	237,33	0,62
58560000	21,65	8,22	0,22	24,61	4,80	-0,03	24,58	8,51	-0,07	11,06	25,84	0,87
58573000	30,02	14,70	0,03	35,66	9,57	-0,15	35,40	16,92	-0,31	13,56	36,11	0,47
58585000	347,97	136,80	0,21	397,41	80,58	-0,04	396,84	142,79	-0,09	173,61	421,72	0,84
58610000	63,79	26,02	0,27	73,00	14,85	-0,01	72,98	26,32	-0,02	29,12	86,73	0,97
58630002	1398,44	570,84	0,45	1587,58	297,82	0,09	1591,98	527,47	0,18	526,24	2422,75	1,38
58645000	40,06	17,34	-0,18	47,07	12,66	-0,29	46,37	22,20	-0,61	23,09	33,74	0,10
58658000	71,44	72,33	-0,09	100,04	50,14	-0,23	97,97	88,34	-0,47	-3,69	155,89	0,26
58670002	46,92	39,85	-0,34	63,53	31,81	-0,41	60,78	54,90	-0,87	11,49	65,92	-0,16
58710000	100,25	53,44	0,18	119,75	31,95	-0,06	119,43	56,62	-0,12	33,51	158,96	0,78
58730001	171,54	71,19	0,21	197,30	42,01	-0,04	196,98	74,45	-0,09	81,04	218,46	0,83
58735000	199,40	84,33	0,10	230,97	52,62	-0,11	230,02	93,16	-0,22	99,85	227,21	0,62
58755000	79,01	31,20	-0,05	91,22	21,16	-0,20	90,46	37,33	-0,41	45,75	70,33	0,33
58765001	168,69	82,23	0,10	199,47	51,31	-0,11	198,54	90,84	-0,22	71,61	221,57	0,62
58770000	464,74	221,47	0,16	546,10	133,89	-0,07	544,50	237,19	-0,14	192,21	641,85	0,74
58795000	1902,41	812,80	0,05	2211,71	522,23	-0,14	2199,20	923,75	-0,28	977,59	2053,04	0,51
58825000	45,97	25,78	-0,25	56,54	19,57	-0,34	55,22	34,12	-0,71	21,78	46,68	-0,01
58826000	36,87	20,54	-0,19	45,19	15,06	-0,30	44,34	26,40	-0,62	16,85	39,68	0,09
58827000	75,77	30,36	0,11	87,11	18,86	-0,10	86,78	33,40	-0,21	39,72	82,63	0,64
58846000	136,38	79,39	0,03	166,74	51,50	-0,15	165,41	91,06	-0,31	47,10	196,45	0,48

58850000	154,94	89,35	-0,08	190,25	61,88	-0,23	187,72	109,02	-0,47	62,02	192,98	0,27
58857000	31,17	17,09	-0,02	37,81	11,44	-0,19	37,44	20,21	-0,38	12,67	39,57	0,38
58870000	54,77	31,47	-0,13	67,34	22,31	-0,25	66,30	39,24	-0,53	22,93	64,85	0,19
58874000	194,88	136,65	-0,53	252,88	120,48	-0,56	235,61	198,72	-1,24	85,31	190,85	-0,43
58880001	2217,28	1096,67	-0,01	2642,13	728,90	-0,18	2619,36	1287,48	-0,36	1020,13	2576,76	0,40
58910000	18,15	6,05	0,18	20,36	3,62	-0,06	20,32	6,42	-0,12	10,60	17,97	0,78
58916000	54,79	10,71	0,15	58,74	6,53	-0,08	58,66	11,56	-0,16	41,75	30,47	0,71
58917000	98,02	40,48	0,20	112,67	23,91	-0,05	112,49	42,37	-0,09	46,63	123,91	0,83
58920000	263,20	117,38	0,03	308,18	76,40	-0,15	306,14	135,07	-0,31	131,77	288,31	0,47
58930000	69,08	31,45	-0,26	82,00	23,97	-0,34	80,35	41,77	-0,73	39,69	56,53	-0,03
58934000	107,85	62,57	-0,44	134,25	52,64	-0,48	128,33	89,22	-1,05	55,19	94,51	-0,30
58940000	422,40	178,59	0,11	489,18	111,23	-0,10	487,22	196,93	-0,21	211,03	483,33	0,63
58960000	460,74	197,09	0,08	534,97	124,30	-0,12	532,46	220,00	-0,24	231,18	518,64	0,58
58974000	2492,69	1151,36	0,01	2936,42	757,59	-0,17	2914,43	1338,79	-0,34	1220,46	2763,21	0,43
59120000	24,11	14,14	-0,03	29,62	9,52	-0,19	29,30	16,80	-0,40	8,90	32,38	0,36
59125000	28,18	14,68	-0,05	33,93	9,99	-0,20	33,57	17,62	-0,42	12,61	32,81	0,32
59135000	15,55	5,49	-0,09	17,72	3,81	-0,23	17,56	6,71	-0,47	9,85	11,83	0,26
59181000	99,11	29,37	0,12	110,04	18,13	-0,09	109,75	32,10	-0,19	63,93	81,18	0,66
59240000	72,30	30,13	-0,06	84,13	20,57	-0,21	83,36	36,28	-0,43	40,44	67,00	0,31
59370000	134,19	76,68	-0,17	165,12	55,64	-0,28	162,15	97,63	-0,59	58,58	151,12	0,12
60010000	196,52	71,80	0,27	221,96	41,05	-0,01	221,89	72,77	-0,02	101,12	238,16	0,96
60011000	230,24	95,88	-0,10	268,31	67,09	-0,24	265,40	118,12	-0,49	131,71	202,85	0,23
60100000	13,96	7,23	0,02	16,74	4,72	-0,16	16,61	8,34	-0,32	5,90	17,66	0,46
60145000	7,62	3,59	-0,21	9,09	2,67	-0,31	8,92	4,68	-0,66	4,18	6,76	0,05
60150000	66,99	28,90	-0,17	78,66	21,05	-0,29	77,51	36,92	-0,60	38,62	56,52	0,11
60220000	231,64	126,61	-0,21	283,19	94,08	-0,31	277,50	164,60	-0,65	110,05	238,52	0,05
60435000	13,15	5,79	-0,16	15,48	4,19	-0,28	15,26	7,35	-0,58	7,42	11,49	0,13
60435100	1,81	0,54	0,04	2,02	0,35	-0,15	2,01	0,62	-0,30	1,20	1,34	0,49

60435150	0,97	0,23	0,00	1,06	0,15	-0,17	1,05	0,27	-0,34	0,71	0,55	0,43
60435300	3,00	1,77	-0,21	3,72	1,31	-0,31	3,64	2,30	-0,66	1,30	3,32	0,04
60435400	6,33	1,90	-0,06	7,07	1,30	-0,21	7,02	2,29	-0,43	4,31	4,25	0,32
60473000	9,85	3,72	-0,19	11,36	2,74	-0,30	11,20	4,80	-0,63	6,25	7,12	0,07
60476100	42,60	16,34	0,05	48,82	10,52	-0,14	48,57	18,61	-0,29	24,05	41,10	0,51
60477400	16,79	9,50	0,02	20,43	6,20	-0,15	20,27	10,96	-0,32	6,17	23,25	0,46
60477600	8,36	3,72	-0,11	9,84	2,62	-0,24	9,72	4,61	-0,51	4,56	7,79	0,21
60540000	192,91	67,06	-0,27	220,54	51,53	-0,36	216,84	89,67	-0,75	130,82	118,72	-0,05
60615000	13,55	5,98	0,01	15,85	3,94	-0,17	15,74	6,96	-0,34	6,94	14,37	0,43
60640000	80,38	21,83	0,17	88,38	13,14	-0,07	88,23	23,29	-0,14	53,37	63,87	0,75
60642000	34,39	11,26	0,44	38,12	5,88	0,09	38,21	10,41	0,18	17,21	47,68	1,38
60654000	59,98	14,45	0,28	65,08	8,20	0,00	65,07	14,54	0,00	40,58	48,83	0,99
60665000	112,89	40,73	0,28	127,24	23,08	0,00	127,24	40,91	0,00	58,10	138,11	1,00
60680000	511,76	151,44	-0,20	573,26	111,82	-0,30	566,72	195,80	-0,64	365,30	288,71	0,07
60772000	557,73	127,94	0,14	605,07	78,27	-0,08	603,96	138,63	-0,17	402,75	360,67	0,69
60810000	61,23	21,11	0,02	69,33	13,77	-0,16	68,96	24,34	-0,32	37,65	51,65	0,46
60835000	105,78	43,29	0,06	122,19	27,60	-0,13	121,57	48,83	-0,27	56,05	111,23	0,54
60850000	211,50	90,79	0,32	243,07	50,50	0,02	243,24	89,51	0,04	85,94	323,23	1,08
60855000	435,96	179,19	0,08	503,60	113,46	-0,12	501,22	200,79	-0,25	228,29	467,40	0,57
60870000	108,82	37,38	0,02	123,18	24,43	-0,16	122,51	43,19	-0,32	67,17	91,01	0,46
60910000	63,52	28,61	-0,11	74,90	20,11	-0,24	74,00	35,39	-0,50	34,27	59,99	0,22
60925001	146,25	81,26	-0,04	178,00	54,93	-0,20	176,07	96,94	-0,41	59,32	184,34	0,34
60930000	49,02	8,51	0,05	52,26	5,46	-0,14	52,13	9,67	-0,28	39,32	21,55	0,52
60950000	231,31	46,16	0,07	248,79	29,37	-0,13	248,14	51,97	-0,26	178,15	119,11	0,55
60968000	209,47	45,63	0,15	226,31	27,81	-0,08	225,94	49,25	-0,16	153,89	129,84	0,71
60970000	239,32	55,36	0,00	260,71	36,61	-0,17	259,60	64,68	-0,35	178,51	131,47	0,42
61009000	55,08	26,22	0,02	65,14	17,11	-0,16	64,67	30,25	-0,32	25,82	64,03	0,46
61012000	176,00	62,23	-0,10	200,67	43,40	-0,23	198,83	76,43	-0,48	111,80	132,55	0,24

61014000	42,16	18,61	0,09	49,16	11,71	-0,12	48,93	20,73	-0,24	20,43	49,17	0,59
61024000	94,02	46,51	-0,21	112,97	34,61	-0,31	110,86	60,54	-0,66	49,42	87,38	0,04
61031000	16,96	8,81	-0,14	20,49	6,29	-0,26	20,19	11,05	-0,54	8,11	17,94	0,17
61045000	35,61	8,57	0,82	38,03	3,79	0,26	38,21	6,66	0,54	17,59	63,56	2,40
61052000	31,77	6,19	0,28	33,95	3,51	0,00	33,95	6,22	0,00	23,46	20,92	0,99
61060000	183,75	59,56	-0,36	208,66	48,09	-0,42	204,24	82,73	-0,91	131,44	96,54	-0,19
61075000	102,68	43,18	-0,25	120,40	32,84	-0,34	118,17	57,25	-0,72	62,26	77,89	-0,02
61078000	157,48	44,82	-0,35	176,20	35,99	-0,42	172,99	62,01	-0,89	117,87	73,38	-0,17
61085000	68,19	21,22	-0,13	76,66	15,06	-0,25	75,95	26,48	-0,53	46,74	43,65	0,19
61090000	108,08	32,64	0,12	120,24	20,19	-0,10	119,91	35,75	-0,20	69,09	89,78	0,65
61100000	13,02	1,56	-0,31	13,67	1,23	-0,38	13,57	2,13	-0,82	11,60	2,67	-0,11
61105000	81,94	30,63	0,22	92,96	17,91	-0,03	92,86	31,73	-0,07	42,49	96,21	0,87
61107000	233,60	89,00	-0,12	269,07	62,78	-0,25	266,21	110,45	-0,51	142,98	185,35	0,21
61115000	89,32	45,96	-0,07	107,42	31,58	-0,22	106,19	55,67	-0,45	41,09	100,85	0,29
61122000	50,46	37,62	-0,22	65,81	28,17	-0,32	64,04	49,23	-0,68	14,64	69,84	0,03
61135000	445,94	178,52	-0,30	519,89	139,51	-0,38	509,01	241,96	-0,80	283,58	306,66	-0,10
61175000	78,72	33,05	-0,70	92,66	31,58	-0,71	85,41	46,65	-1,69	54,35	40,51	-0,66
61202000	173,40	71,26	0,04	200,60	46,04	-0,14	199,44	81,42	-0,30	92,87	177,86	0,50
61267000	7,69	3,86	-0,64	9,33	3,60	-0,66	8,63	5,59	-1,52	4,76	4,94	-0,58
61271000	104,19	39,02	0,21	118,29	22,96	-0,04	118,13	40,69	-0,08	54,40	120,57	0,84
61285000	67,02	18,23	0,41	73,15	9,69	0,07	73,26	17,16	0,14	40,00	73,36	1,29
61295000	25,32	15,21	0,11	31,00	9,46	-0,10	30,84	16,75	-0,21	7,29	41,30	0,63
61305000	212,92	65,55	0,41	234,92	34,75	0,07	235,33	61,57	0,14	115,33	265,76	1,30
61350000	122,31	64,10	-0,13	147,97	45,67	-0,26	145,76	80,28	-0,54	57,78	130,89	0,18
61370000	69,44	22,57	0,30	77,33	12,65	0,01	77,36	22,43	0,02	38,58	78,73	1,04
61390000	48,24	16,14	0,36	53,77	8,80	0,04	53,83	15,60	0,08	25,25	60,54	1,17
61410000	489,47	200,51	0,02	566,55	131,29	-0,16	562,88	232,06	-0,33	266,56	486,32	0,45
61425000	451,75	152,80	0,08	509,38	96,60	-0,12	507,38	170,96	-0,25	274,34	399,89	0,57

61460000	167,32	70,53	0,24	192,58	40,96	-0,03	192,39	72,59	-0,05	75,64	225,10	0,90
61473000	79,10	35,14	0,25	91,63	20,26	-0,02	91,56	35,91	-0,04	32,97	114,13	0,92
61500000	74,96	29,37	0,07	86,07	18,68	-0,13	85,66	33,05	-0,26	41,12	75,83	0,55
61510000	344,40	145,37	-0,07	401,59	99,70	-0,21	397,75	175,78	-0,44	191,51	320,16	0,30
61537000	478,68	154,92	-0,17	541,22	112,64	-0,28	535,14	197,59	-0,59	326,26	304,13	0,11
61610000	65,42	15,10	0,14	71,00	9,23	-0,08	70,87	16,35	-0,17	47,09	42,70	0,70
61700000	65,20	37,02	0,01	79,44	24,27	-0,16	78,75	42,90	-0,33	24,10	89,55	0,45
61770000	22,74	10,73	0,07	26,80	6,81	-0,12	26,65	12,05	-0,25	10,33	27,87	0,56
61795000	184,69	91,67	-0,04	220,50	61,94	-0,20	218,33	109,32	-0,41	86,58	208,10	0,34
61800500	33,20	11,04	0,50	36,78	5,60	0,12	36,89	9,91	0,24	15,53	50,89	1,52
61815000	9,18	5,14	-0,30	11,31	4,02	-0,38	11,00	6,98	-0,81	4,51	8,82	-0,10
61826000	52,02	19,06	0,17	59,01	11,48	-0,07	58,88	20,35	-0,14	28,45	55,70	0,75
61861000	47,80	17,84	0,10	54,48	11,12	-0,10	54,28	19,70	-0,22	26,73	48,11	0,62
61865000	62,62	12,08	0,20	67,00	7,14	-0,05	66,94	12,66	-0,09	47,30	36,92	0,82
61879000	113,24	32,31	-0,08	125,98	22,28	-0,22	125,10	39,27	-0,46	79,48	70,37	0,28
61886000	383,39	115,38	0,29	423,90	65,09	0,00	423,95	115,36	0,01	227,07	396,10	1,02
61902000	519,35	145,26	0,35	569,29	79,54	0,04	569,77	140,95	0,07	313,64	539,19	1,15
61910000	600,44	145,02	0,59	645,69	70,53	0,16	647,66	124,67	0,33	350,05	763,14	1,76
61912000	609,59	142,83	0,41	657,55	75,78	0,07	658,44	134,26	0,14	397,23	577,75	1,30
61913500	23,90	8,31	0,13	26,99	5,11	-0,09	26,91	9,06	-0,19	13,92	23,08	0,67
61915000	682,62	179,55	0,34	744,63	98,94	0,03	745,12	175,35	0,06	430,79	655,27	1,12
61953001	42,11	28,78	-0,12	53,58	20,30	-0,25	52,65	35,72	-0,51	12,81	59,92	0,21
61956001	52,37	26,92	-0,19	63,29	19,82	-0,30	62,15	34,71	-0,63	26,23	51,65	0,08
62395000	68,24	30,18	-0,03	79,97	20,22	-0,19	79,31	35,70	-0,38	35,61	69,72	0,37
62420000	39,35	8,23	0,31	42,22	4,60	0,01	42,23	8,15	0,03	28,05	28,95	1,06
62477100	74,44	19,77	0,35	81,24	10,84	0,03	81,30	19,20	0,07	46,49	73,17	1,14
62490000	51,34	27,62	-0,01	62,04	18,35	-0,18	61,46	32,42	-0,36	21,17	64,95	0,40
62496001	81,71	32,13	0,07	93,85	20,40	-0,12	93,41	36,10	-0,26	44,59	83,34	0,56

62615000	93,04	45,86	-0,28	111,97	35,46	-0,36	109,35	61,63	-0,77	50,86	80,29	-0,07
62622000	31,15	9,37	-0,05	34,82	6,37	-0,20	34,59	11,24	-0,42	21,19	21,01	0,32
62632000	208,88	363,87	-0,94	353,72	376,03	-0,93	183,21	266,12	-2,86	-36,12	390,97	-0,93
62709000	141,88	48,72	-0,27	161,96	37,51	-0,36	159,25	65,25	-0,76	96,86	85,96	-0,06
62721000	72,23	34,72	0,17	84,94	20,88	-0,06	84,71	36,99	-0,13	29,19	101,93	0,76
62760005	12,49	4,60	-0,21	14,36	3,42	-0,31	14,15	5,98	-0,65	8,06	8,68	0,05
62760130	9,33	6,10	0,01	11,68	4,00	-0,16	11,56	7,07	-0,33	2,57	14,73	0,44
62760150	12,69	6,19	0,00	15,08	4,08	-0,17	14,96	7,22	-0,35	5,87	14,76	0,42
62772500	50,56	21,41	-0,33	59,48	17,04	-0,40	58,03	29,43	-0,86	31,46	35,62	-0,15
62781000	17,15	6,68	-0,51	19,98	5,84	-0,55	19,18	9,69	-1,21	11,75	9,45	-0,41
63001200	149,97	27,41	0,10	160,23	17,12	-0,11	159,92	30,30	-0,22	117,65	73,71	0,62
63900001	248,17	58,94	-0,09	271,49	40,88	-0,23	269,80	72,03	-0,47	186,99	126,89	0,26
63950100	131,54	40,44	-0,24	148,10	30,55	-0,33	146,09	53,32	-0,70	93,39	73,89	0,00
63950150	21,76	4,06	0,00	23,33	2,68	-0,17	23,25	4,73	-0,34	17,28	9,72	0,43
63950250	51,78	10,84	0,09	55,85	6,80	-0,11	55,72	12,04	-0,23	39,08	28,85	0,60
64040000	75,95	30,53	0,28	86,73	17,36	0,00	86,72	30,77	-0,01	35,05	102,75	0,98
64065000	59,69	23,86	-0,07	69,09	16,42	-0,22	68,45	28,94	-0,45	34,69	52,20	0,29
64231000	139,95	79,40	-0,52	173,65	69,75	-0,55	163,83	115,35	-1,23	76,06	111,54	-0,42
64315000	143,37	61,47	-0,05	167,46	41,82	-0,20	165,93	73,78	-0,42	78,12	137,57	0,32
64345000	38,10	12,93	0,08	42,98	8,19	-0,12	42,81	14,49	-0,25	23,11	33,77	0,57
64370000	773,56	289,48	0,01	885,11	190,41	-0,16	879,59	336,49	-0,34	453,55	695,27	0,43
64382000	372,91	208,46	-0,03	454,18	140,30	-0,19	449,40	247,66	-0,40	148,75	477,16	0,36
64395000	65,11	23,49	0,09	73,94	14,76	-0,11	73,65	26,12	-0,23	37,62	62,33	0,59
64442800	97,27	30,55	0,20	108,35	18,08	-0,05	108,20	32,04	-0,10	58,60	93,08	0,82
64447000	357,76	183,44	-0,06	429,86	125,57	-0,21	425,08	221,42	-0,44	164,40	405,58	0,30
64465000	709,46	359,05	0,21	839,04	211,00	-0,04	837,63	373,93	-0,08	250,39	1113,10	0,85
64477600	176,76	113,38	0,14	218,72	69,38	-0,08	217,73	122,88	-0,17	39,45	319,49	0,69
64501000	1718,83	821,70	0,07	2029,79	522,67	-0,13	2018,35	924,83	-0,26	772,04	2121,76	0,55

64507000	1885,95	875,75	-0,21	2242,46	650,62	-0,31	2203,15	1138,28	-0,65	1044,67	1650,47	0,05
64575003	14816,41	3767,85	0,05	16249,56	2418,78	-0,14	16192,03	4278,61	-0,28	10524,64	9535,27	0,52
64609000	228,86	56,42	0,14	249,74	34,51	-0,08	249,25	61,12	-0,17	160,49	159,16	0,69
64613000	163,60	54,15	-0,10	185,11	37,93	-0,24	183,45	66,77	-0,50	108,02	114,33	0,23
64614000	705,62	188,61	0,16	774,90	113,99	-0,07	773,54	201,94	-0,14	473,43	546,99	0,74
64617000	759,88	228,31	-0,09	850,17	158,36	-0,23	843,63	278,99	-0,47	522,90	491,50	0,26
64618000	33,73	4,47	0,21	35,35	2,64	-0,04	35,33	4,67	-0,09	28,03	13,79	0,84
64619950	239,03	114,19	0,03	282,76	74,23	-0,15	280,80	131,25	-0,31	110,98	281,22	0,47
64620000	226,10	103,75	-0,07	266,96	71,32	-0,22	264,17	125,73	-0,45	117,29	227,39	0,29
64625000	959,98	430,96	0,17	1117,84	259,30	-0,07	1114,97	459,41	-0,13	426,33	1262,77	0,76
64645000	1816,49	834,72	0,20	2118,73	493,05	-0,05	2114,96	873,73	-0,09	756,71	2555,84	0,83
64652000	686,02	244,42	-0,25	786,42	186,16	-0,34	773,65	324,47	-0,72	457,52	439,85	-0,02
64655000	2557,36	1163,03	-0,10	3018,57	811,48	-0,23	2983,88	1428,99	-0,49	1358,34	2474,52	0,24
64673000	138,12	52,97	-0,35	160,23	42,52	-0,42	156,44	73,27	-0,89	91,30	86,74	-0,17
64675002	4153,92	2008,95	-0,12	4955,88	1422,68	-0,25	4889,57	2502,21	-0,52	2117,78	4150,57	0,19
64682000	36,78	12,33	-0,06	41,61	8,40	-0,21	41,30	14,82	-0,43	23,71	27,51	0,32
64685000	4272,97	2321,91	-0,27	5229,98	1786,15	-0,36	5101,15	3107,65	-0,75	2125,41	4103,37	-0,05
64693000	4507,60	2647,30	-0,27	5597,29	2028,48	-0,35	5453,83	3531,80	-0,74	2048,72	4711,95	-0,04
64717000	275,11	54,85	-0,18	297,29	40,02	-0,29	295,09	70,17	-0,60	221,35	107,00	0,10
64723000	67,89	22,63	0,31	75,79	12,65	0,01	75,82	22,42	0,03	36,84	79,50	1,06
64771500	1414,69	495,25	-0,31	1620,14	388,82	-0,38	1589,10	673,68	-0,82	966,52	843,63	-0,11
64773000	439,33	139,20	-0,18	495,67	101,89	-0,29	489,98	178,59	-0,61	303,40	269,79	0,09
64785000	99,06	34,19	-0,39	113,41	28,11	-0,45	110,60	48,07	-0,97	69,58	53,73	-0,24
64799500	3301,54	1333,58	0,14	3794,52	814,53	-0,08	3783,18	1442,73	-0,17	1682,70	3773,36	0,70
64810000	183,90	81,16	-0,21	216,91	60,14	-0,31	213,32	105,26	-0,65	105,72	153,68	0,06
64815000	196,48	79,64	-0,32	229,56	62,80	-0,39	224,44	108,70	-0,83	124,75	134,60	-0,12
64820000	2901,72	892,83	-0,14	3259,28	637,02	-0,26	3228,32	1119,61	-0,54	2004,44	1817,89	0,17
64830000	3452,87	1254,90	-0,02	3940,02	837,49	-0,18	3913,09	1478,98	-0,37	2089,70	2923,44	0,39

64843000	20253,51	3973,31	-0,02	21798,69	2661,14	-0,19	21711,00	4698,61	-0,38	15955,75	9187,93	0,37
65011400	20,85	7,59	-0,12	23,88	5,36	-0,25	23,63	9,43	-0,52	13,15	15,73	0,20
65020995	1,93	0,95	0,21	2,27	0,56	-0,04	2,27	0,99	-0,08	0,71	2,95	0,85
65024000	8,95	3,44	0,01	10,27	2,26	-0,16	10,21	4,00	-0,34	5,14	8,28	0,44
65025000	186,87	68,46	-0,13	214,23	48,60	-0,26	211,93	85,46	-0,53	117,68	140,77	0,19
65027000	27,05	10,05	0,30	30,57	5,64	0,01	30,58	10,00	0,02	13,34	34,92	1,04
65060000	364,78	208,87	-0,40	452,57	172,41	-0,46	434,93	294,46	-0,98	185,48	325,89	-0,25
65094500	147,59	89,27	0,08	181,29	56,53	-0,12	180,10	100,04	-0,25	44,17	232,75	0,57
65095000	243,37	102,35	0,07	282,10	65,09	-0,13	280,68	115,17	-0,26	125,41	264,42	0,55
65100000	310,29	128,74	-0,03	360,39	86,35	-0,19	357,51	152,46	-0,39	171,29	296,74	0,37
65136550	67,23	31,23	-0,22	79,98	23,36	-0,32	78,52	40,83	-0,67	37,45	58,11	0,03
65180000	87,59	39,90	-0,11	103,44	27,96	-0,24	102,21	49,22	-0,50	46,66	84,17	0,23
65220000	1277,58	548,44	-0,04	1491,73	370,33	-0,20	1478,83	653,57	-0,40	690,08	1247,00	0,35
65310000	1680,17	654,09	0,01	1932,31	430,58	-0,17	1919,77	760,89	-0,34	957,79	1568,35	0,43
65365000	42,06	22,84	-0,10	51,13	15,98	-0,24	50,43	28,13	-0,49	18,58	48,34	0,23
65855000	303,77	115,11	-0,73	352,15	111,31	-0,74	324,43	159,23	-1,79	219,94	138,44	-0,70
65925000	428,93	206,69	0,09	506,63	129,92	-0,11	504,09	229,97	-0,23	187,16	547,96	0,59
65945000	79,05	36,16	-0,07	93,30	24,89	-0,22	92,32	43,87	-0,45	41,18	79,05	0,28
65948000	188,07	114,72	-0,02	232,67	76,77	-0,18	230,15	135,56	-0,38	63,87	265,71	0,38
65960000	1380,52	653,14	-0,05	1636,50	444,41	-0,20	1620,23	783,95	-0,42	687,17	1461,94	0,32
65979000	405,69	193,42	0,41	470,60	102,56	0,07	471,81	181,69	0,14	117,80	783,90	1,30
65993000	9252,96	5253,33	0,12	11211,40	3254,68	-0,10	11157,17	5763,12	-0,20	2993,25	14387,35	0,65
66006000	143,91	48,52	0,06	162,33	31,05	-0,13	161,61	54,93	-0,27	88,44	123,60	0,53
66008000	181,94	49,91	0,18	200,13	29,80	-0,06	199,84	52,81	-0,12	119,50	148,89	0,78
66010000	562,57	175,66	0,04	629,67	113,66	-0,15	626,78	201,00	-0,30	364,44	436,96	0,49
66050000	422,11	86,50	0,05	455,00	55,50	-0,14	453,69	98,17	-0,28	323,49	219,23	0,52
66065000	281,60	58,05	0,00	304,01	38,29	-0,17	302,87	67,66	-0,35	217,65	138,61	0,42
66070004	1250,38	252,33	0,10	1344,95	157,78	-0,11	1342,03	279,32	-0,22	953,27	676,78	0,61

66072000	302,89	71,66	-0,01	330,62	47,55	-0,17	329,16	84,00	-0,36	224,50	168,98	0,40
66140000	482,17	123,02	0,50	522,13	62,65	0,11	523,34	110,90	0,23	286,49	560,48	1,50
66160000	713,92	180,18	0,13	780,90	111,07	-0,09	779,15	196,70	-0,19	497,82	499,14	0,66
66260001	1668,18	396,67	-0,16	1828,03	287,19	-0,28	1812,89	504,02	-0,58	1276,05	785,11	0,13
66280000	990,75	113,77	0,14	1032,86	69,64	-0,08	1031,86	123,35	-0,17	853,03	320,33	0,69
66360000	449,94	42,56	0,24	465,17	24,69	-0,03	465,06	43,76	-0,05	394,55	136,14	0,90
66370000	629,84	68,69	0,25	654,36	39,69	-0,02	654,22	70,34	-0,04	539,91	222,00	0,92
66380000	247,20	102,56	-0,03	287,10	68,73	-0,19	284,83	121,34	-0,38	136,33	236,91	0,37
66520000	224,86	54,01	-0,05	246,04	36,79	-0,21	244,68	64,90	-0,43	167,62	120,57	0,32
66800000	1739,83	237,37	0,18	1826,51	142,11	-0,06	1825,07	251,78	-0,12	1443,92	703,82	0,77
66895000	2369,85	374,99	0,42	2495,51	198,46	0,07	2497,92	351,57	0,15	1810,00	1527,97	1,31
66910000	378,74	89,33	0,08	412,41	56,41	-0,12	411,26	99,83	-0,24	274,87	234,37	0,58
66926000	309,23	110,42	0,00	351,88	72,96	-0,17	349,69	128,91	-0,35	187,84	262,67	0,42
66941000	372,01	118,68	0,03	417,40	76,96	-0,15	415,41	136,08	-0,31	238,49	293,91	0,48
67170000	505,51	117,69	0,12	549,32	72,71	-0,09	548,15	128,76	-0,19	364,76	324,40	0,66
70100000	207,54	88,76	0,08	241,06	56,25	-0,12	239,87	99,54	-0,25	104,78	231,11	0,56
70200000	1067,12	474,98	0,04	1248,56	307,34	-0,15	1240,75	543,50	-0,30	531,40	1181,52	0,49
70300000	636,14	347,34	-0,02	770,98	231,82	-0,18	763,52	409,38	-0,37	258,86	809,07	0,39
70500000	271,52	132,57	0,04	322,10	85,60	-0,14	319,96	151,38	-0,30	121,61	331,26	0,50
71200000	181,75	51,61	-0,05	201,96	35,05	-0,20	200,70	61,84	-0,42	126,84	115,98	0,33
71250000	99,26	30,50	0,12	110,60	18,81	-0,09	110,30	33,31	-0,19	62,70	84,39	0,66
71300000	211,48	55,46	-0,06	233,24	37,81	-0,21	231,84	66,70	-0,43	152,76	123,60	0,31
71350001	312,59	95,48	-0,02	349,66	63,73	-0,18	347,61	112,55	-0,38	208,90	222,34	0,38
71383000	457,59	151,17	0,13	513,63	92,78	-0,09	512,25	164,32	-0,18	275,22	423,05	0,68
71550000	1391,61	772,48	-0,22	1706,46	575,73	-0,32	1671,10	1006,81	-0,66	652,15	1447,16	0,04
72430000	361,53	169,40	-0,04	427,67	114,35	-0,19	423,69	201,82	-0,40	180,00	385,41	0,35
72630000	806,17	298,61	0,16	915,85	180,46	-0,07	913,70	319,70	-0,14	438,57	865,99	0,74
72680000	1160,40	457,06	0,07	1333,29	290,50	-0,13	1326,98	514,03	-0,26	633,24	1182,26	0,55

72715000	206,52	76,27	-0,04	236,33	51,59	-0,20	234,51	91,04	-0,41	125,00	172,76	0,34
72810000	542,69	235,90	-0,03	634,44	158,05	-0,19	629,22	279,05	-0,38	287,62	545,15	0,37
72849000	960,71	343,23	-0,09	1096,67	238,91	-0,23	1086,61	420,78	-0,48	605,87	733,81	0,25
72870000	154,84	109,20	-0,20	199,16	80,52	-0,30	194,48	141,01	-0,63	49,07	208,71	0,07
73300000	197,74	98,36	0,03	235,36	63,80	-0,15	233,70	112,82	-0,31	87,13	243,40	0,48
73330000	290,13	142,34	-0,16	347,49	103,10	-0,28	342,05	180,94	-0,58	149,50	281,44	0,13
73350000	498,35	259,95	-0,24	604,86	196,58	-0,33	591,85	343,03	-0,70	253,43	473,99	0,00
73550000	8984,66	5449,84	-0,01	11097,07	3626,20	-0,18	10982,92	6404,73	-0,37	3043,30	12775,80	0,40
73600000	412,01	180,46	-0,02	482,16	120,78	-0,18	478,20	213,26	-0,38	216,66	417,88	0,38
73690001	185,40	114,96	0,06	229,08	73,65	-0,13	227,36	130,28	-0,28	54,13	292,21	0,52
73765000	152,44	83,84	-0,10	185,67	58,41	-0,23	183,19	102,88	-0,48	65,87	178,87	0,25
73780000	326,47	138,02	0,08	378,53	87,29	-0,12	376,72	154,48	-0,25	166,29	360,91	0,57
73820000	462,60	216,32	-0,12	548,90	152,98	-0,25	541,83	269,09	-0,52	242,99	448,19	0,20
73900000	167,55	80,97	-0,32	201,19	63,86	-0,39	195,98	110,53	-0,83	94,63	136,83	-0,12
73960000	1841,61	836,20	-0,08	2171,48	576,85	-0,22	2148,45	1016,66	-0,46	968,12	1820,10	0,28
74100000	11093,28	6513,52	-0,14	13701,50	4645,73	-0,26	13476,08	8165,57	-0,54	4544,88	13270,74	0,17
74205000	178,99	73,04	0,15	205,91	44,38	-0,08	205,33	78,61	-0,16	89,72	209,19	0,72
74270000	2091,72	1299,02	-0,14	2612,05	927,19	-0,26	2566,88	1629,56	-0,54	786,80	2642,95	0,17
74320000	324,76	155,81	0,05	384,11	100,31	-0,14	381,67	177,42	-0,29	147,90	391,92	0,51
74370000	544,72	237,76	0,00	636,62	157,33	-0,17	631,86	277,96	-0,35	283,81	563,80	0,41
74460000	50,03	16,08	0,17	55,91	9,65	-0,06	55,81	17,10	-0,13	30,04	47,41	0,76
74470000	358,50	176,82	0,07	425,40	112,42	-0,13	422,95	198,92	-0,26	154,63	457,07	0,55
74700000	292,64	102,37	0,22	329,47	59,88	-0,03	329,12	106,13	-0,07	160,92	320,90	0,87
74750000	98,93	41,86	-0,23	116,03	31,42	-0,32	114,04	54,89	-0,68	59,16	77,42	0,02
74800000	16562,73	9406,96	-0,14	20333,34	6725,17	-0,26	20002,73	11817,85	-0,55	7130,39	19078,80	0,17
74900000	420,75	95,54	0,79	448,10	42,68	0,25	450,06	75,08	0,52	224,42	681,33	2,33
75155000	319,05	154,88	-0,54	384,81	137,07	-0,56	364,76	225,43	-1,26	195,34	214,97	-0,44
75200000	195,20	78,43	0,06	224,95	50,09	-0,13	223,81	88,62	-0,27	105,28	200,75	0,54

75205000	135,45	39,85	0,00	150,86	26,38	-0,17	150,06	46,60	-0,35	91,74	94,43	0,41
75230000	916,59	380,62	-0,31	1074,48	298,78	-0,38	1050,64	517,70	-0,82	572,10	648,52	-0,11
75295000	565,49	219,01	0,40	639,31	116,77	0,06	640,57	206,89	0,13	242,35	874,00	1,27
75400000	396,98	201,63	-0,25	479,68	152,89	-0,34	469,42	266,67	-0,71	207,58	365,81	-0,01
75450000	750,34	293,18	0,07	861,14	186,03	-0,12	857,15	329,20	-0,25	411,50	761,08	0,56
75500000	933,72	337,47	-0,05	1065,96	229,54	-0,20	1057,58	404,93	-0,42	575,34	755,85	0,32
75550000	12476,07	4058,87	-0,04	14061,37	2742,29	-0,20	13965,50	4839,55	-0,40	8131,18	9217,63	0,34
75600000	291,19	93,65	0,36	323,31	51,10	0,04	323,65	90,55	0,08	157,86	350,93	1,16
75700000	1274,32	442,39	0,30	1429,46	249,05	0,01	1429,73	441,44	0,01	673,24	1526,56	1,03
75780000	13770,19	4354,34	0,11	15397,94	2710,45	-0,10	15350,29	4798,91	-0,21	8613,13	11798,77	0,63
76085000	702,03	295,39	-0,34	825,20	236,05	-0,41	804,63	407,23	-0,87	439,69	487,62	-0,16
76310000	1484,62	956,56	0,05	1848,70	614,82	-0,14	1833,92	1087,51	-0,28	396,69	2414,38	0,51
76440000	774,25	320,59	0,18	891,45	192,29	-0,06	889,43	340,69	-0,13	375,58	946,39	0,77
76460000	671,99	359,20	-0,02	811,34	239,40	-0,18	803,72	422,80	-0,37	281,18	839,12	0,39
76500000	2667,10	1207,17	0,12	3116,97	747,42	-0,10	3104,60	1323,49	-0,20	1227,50	3310,84	0,65
76560000	2657,34	1290,96	0,05	3148,35	828,66	-0,14	3128,65	1465,83	-0,28	1186,71	3267,65	0,52
76650000	427,28	202,93	0,10	503,35	126,94	-0,11	501,00	224,71	-0,22	188,43	543,91	0,61
76742000	250,12	162,78	0,03	312,49	105,92	-0,15	309,67	187,27	-0,31	67,77	400,12	0,47
76750000	839,98	344,71	0,56	948,89	169,99	0,15	953,19	300,62	0,30	259,72	1734,91	1,68
76800000	3624,27	1567,82	0,19	4193,87	931,00	-0,05	4185,85	1649,73	-0,10	1648,09	4739,81	0,81
80200000	7,05	2,80	-0,19	8,19	2,06	-0,30	8,07	3,61	-0,63	4,33	5,38	0,08
81019350	65,93	36,32	-0,13	80,46	25,85	-0,26	79,22	45,45	-0,54	29,34	74,28	0,18
81102000	169,94	105,38	-0,14	212,14	75,20	-0,26	208,48	132,17	-0,54	64,06	214,47	0,17
81107000	325,73	188,87	-0,19	402,34	139,03	-0,30	394,34	243,52	-0,63	142,43	362,20	0,08
81120000	49,65	41,31	-0,35	66,89	33,15	-0,41	63,95	57,12	-0,89	13,12	67,70	-0,17
81125000	37,50	19,38	0,14	44,67	11,85	-0,08	44,50	20,98	-0,17	14,00	54,75	0,70
81135000	594,67	364,62	-0,08	738,65	252,05	-0,22	728,46	444,16	-0,46	214,70	790,37	0,27
81140000	47,46	24,14	0,10	56,52	15,11	-0,11	56,23	26,76	-0,22	19,09	64,53	0,61

81200000	772,60	366,93	-0,04	915,90	247,87	-0,20	907,25	437,44	-0,40	379,74	833,56	0,35
81335000	321,48	186,06	-0,19	396,85	136,47	-0,30	389,14	239,15	-0,62	140,20	359,22	0,09
81530000	170,02	75,81	-0,13	200,35	53,96	-0,26	197,77	94,86	-0,54	93,62	155,10	0,18
81580000	66,57	39,77	-0,04	82,09	26,82	-0,19	81,17	47,34	-0,40	23,91	90,66	0,35
81585000	37,19	17,86	0,08	43,93	11,31	-0,12	43,69	20,02	-0,25	16,51	46,52	0,56
81600000	187,93	49,69	0,19	206,01	29,59	-0,05	205,74	52,42	-0,11	125,52	149,28	0,80
81615000	8,58	2,10	-0,13	9,41	1,49	-0,26	9,34	2,62	-0,53	6,46	4,29	0,18
81630000	236,03	70,06	0,28	260,71	39,70	0,00	260,70	70,37	0,00	141,76	237,63	1,00
82170000	187,20	91,81	-0,16	224,19	66,45	-0,28	220,69	116,62	-0,58	96,40	181,85	0,13
82320000	85,77	47,19	-0,21	104,97	35,02	-0,31	102,87	61,27	-0,65	40,38	89,14	0,05
82350000	343,52	156,78	-0,32	408,66	123,72	-0,39	398,53	214,11	-0,83	202,40	264,68	-0,13
82770000	130,53	47,70	-0,09	149,40	33,08	-0,23	148,04	58,28	-0,47	81,01	102,74	0,26
83029900	137,74	51,08	-0,07	157,83	35,02	-0,21	156,49	61,74	-0,44	84,00	112,58	0,30
83050000	238,29	73,94	-0,01	266,94	49,18	-0,18	265,40	86,86	-0,37	157,63	173,49	0,40
83069900	67,62	58,44	-0,28	91,73	45,06	-0,36	88,45	78,36	-0,76	13,70	102,88	-0,06
83105000	114,12	69,51	-0,08	141,53	47,90	-0,22	139,63	84,43	-0,45	41,43	151,61	0,28
83250000	200,35	75,20	-0,54	232,28	66,75	-0,57	222,37	109,53	-1,27	140,46	103,89	-0,45
83300200	616,18	215,62	-0,26	704,85	164,77	-0,35	693,36	287,02	-0,73	415,31	385,70	-0,03
83345000	475,23	326,94	-0,25	609,52	248,96	-0,34	592,45	433,93	-0,72	169,51	588,58	-0,02
83520000	1175,44	462,09	-0,21	1363,40	342,58	-0,31	1342,93	599,53	-0,65	730,52	874,28	0,06
83660000	179,63	57,47	0,02	201,69	37,54	-0,16	200,66	66,36	-0,32	115,57	140,07	0,46
83675000	124,34	63,89	0,04	148,76	41,37	-0,15	147,70	73,16	-0,30	52,35	158,66	0,49
83690000	1503,45	672,48	-0,15	1773,47	482,74	-0,27	1749,19	847,96	-0,56	832,28	1353,04	0,15
83800002	1980,76	974,93	-0,16	2373,09	703,61	-0,28	2336,66	1235,25	-0,57	1013,54	1941,48	0,14
83880000	54,22	20,73	0,20	61,75	12,30	-0,05	61,65	21,80	-0,10	28,09	62,70	0,81
84071000	168,01	96,20	-0,14	206,58	68,83	-0,26	203,18	120,95	-0,55	71,65	194,77	0,16
84100000	120,67	59,89	-0,15	144,74	43,09	-0,27	142,55	75,67	-0,57	61,06	119,95	0,15
84249998	122,26	46,07	-0,01	140,12	30,68	-0,18	139,15	54,18	-0,37	72,09	107,80	0,39

84520000	76,26	32,22	0,30	87,56	18,14	0,01	87,58	32,15	0,01	32,50	111,14	1,03
84551000	129,39	69,27	-0,02	156,33	46,39	-0,19	154,80	81,91	-0,38	54,46	160,21	0,37
84559800	274,15	125,55	-0,10	324,02	87,95	-0,24	320,18	154,82	-0,50	145,29	265,05	0,23
84580000	526,09	174,75	-0,01	593,71	115,91	-0,17	590,15	204,76	-0,36	334,86	412,36	0,41
84600000	130,86	67,58	0,10	156,20	42,29	-0,11	155,41	74,87	-0,22	51,38	180,88	0,61
84949800	609,56	258,83	0,24	702,11	149,98	-0,02	701,50	265,81	-0,05	272,07	830,61	0,90
84950000	513,11	186,38	-0,07	586,41	127,72	-0,21	581,51	225,20	-0,44	316,91	411,16	0,30
85400000	2465,25	763,94	0,77	2686,13	344,37	0,24	2701,23	606,22	0,50	927,16	5257,94	2,26
85470000	226,95	112,28	0,03	269,94	72,96	-0,15	268,02	129,00	-0,31	100,95	276,82	0,48
85480000	422,79	208,80	0,11	500,86	130,01	-0,10	498,57	230,18	-0,21	175,59	565,42	0,63
85600000	802,99	396,60	-0,04	958,03	268,42	-0,20	948,53	473,66	-0,41	379,32	897,43	0,34
85610000	38,43	22,68	0,14	46,82	13,88	-0,08	46,63	24,58	-0,17	10,97	63,90	0,69
85623000	290,95	114,91	0,50	328,21	58,39	0,11	329,35	103,35	0,23	107,44	527,20	1,51
85642000	2530,44	682,37	0,40	2760,16	363,30	0,07	2764,19	643,65	0,13	1521,31	2734,21	1,28
85900000	3808,50	1216,43	0,51	4201,56	615,56	0,12	4214,10	1089,45	0,24	1852,12	5650,50	1,54
86100000	683,81	217,16	-0,08	769,53	150,00	-0,22	763,49	264,34	-0,46	457,31	471,45	0,27
86160000	374,33	153,39	0,02	433,22	100,19	-0,16	430,47	177,11	-0,32	203,31	373,94	0,46
86410000	811,34	434,88	-0,01	979,69	288,65	-0,18	970,76	509,89	-0,36	335,85	1024,66	0,40
86480000	510,42	227,65	0,22	592,47	133,51	-0,04	591,63	236,61	-0,08	218,53	709,24	0,86
86510000	5174,20	2542,15	0,11	6122,49	1576,63	-0,10	6095,90	2791,70	-0,20	2149,13	6945,72	0,64
86560000	709,76	327,03	0,25	826,25	188,41	-0,02	825,67	333,93	-0,04	279,90	1064,45	0,93
86580000	1137,03	653,91	-0,05	1393,21	444,57	-0,20	1377,02	784,28	-0,42	442,20	1466,07	0,32
86745000	370,96	170,66	-0,14	439,29	121,71	-0,26	433,39	213,93	-0,54	199,37	347,75	0,17
87160000	584,68	320,13	0,21	700,32	188,40	-0,04	699,01	333,88	-0,08	176,21	988,86	0,84
87170000	884,49	411,68	0,33	1027,04	227,63	0,03	1028,02	403,45	0,05	310,09	1488,69	1,10
87270000	593,62	113,34	0,52	630,07	57,04	0,12	631,29	100,94	0,25	409,58	535,41	1,57
87317030	202,67	70,29	-0,14	230,83	50,21	-0,26	228,38	88,24	-0,55	132,13	142,76	0,17
87317060	86,52	29,98	0,19	97,41	17,81	-0,05	97,26	31,55	-0,10	48,74	90,59	0,81

87380000	383,00	89,22	0,18	415,61	53,50	-0,06	415,05	94,80	-0,13	272,01	263,54	0,77
87382000	415,93	140,13	-0,03	470,45	93,96	-0,19	467,33	165,89	-0,39	264,57	323,23	0,37
87399000	101,50	26,88	-0,21	112,45	19,98	-0,31	111,24	34,96	-0,66	75,71	50,58	0,05
87400000	156,96	69,40	0,08	183,10	43,78	-0,12	182,22	77,49	-0,24	76,17	182,48	0,58
88750000	52,32	23,05	0,09	60,97	14,45	-0,11	60,69	25,59	-0,23	25,27	61,45	0,60

Apêndice IV – Parâmetros de ajuste das distribuições de 3 parâmetros (parte 2) – LN3 e PE3

Serie	Parâmetros LN3			Parâmetros PE3		
	$\xi$	$\beta$	$\alpha$	$\xi$	$\beta$	$\alpha$
12700000	NA	NA	NA	8973,31	976,59	-0,54
13410000	-1466,23	8,79	0,13	5126,28	872,61	0,39
13750000	1289,26	9,06	0,12	9976,21	1003,06	0,34
13880000	-97094,29	11,61	0,00	12587,31	503,39	0,01
14110000	NA	NA	NA	9899,94	1053,98	-0,52
14230000	2079,38	7,42	0,22	3789,46	378,07	0,65
14280001	3475,27	7,77	0,30	5954,58	755,08	0,89
14300000	-558,08	6,85	0,12	389,79	110,58	0,35
14310000	297,26	6,07	0,21	740,40	93,12	0,62
14350000	NA	NA	NA	1776,08	206,91	-0,41
14440000	NA	NA	NA	1507,68	259,03	-1,38
14488000	NA	NA	NA	1588,87	283,16	-0,82
14515000	NA	NA	NA	4371,41	1077,05	-0,35
14526000	NA	NA	NA	1471,06	323,29	-0,87
14530000	-552,32	7,29	0,26	956,96	396,56	0,77
14550000	NA	NA	NA	1242,10	463,31	-0,02
14680001	NA	NA	NA	918,54	235,46	-0,10

14710000	NA	NA	NA	9463,22	2409,97	-0,15
15050000	-344,37	6,17	0,06	132,41	26,30	0,17
15120001	-398,52	6,66	0,14	387,85	110,61	0,42
15130000	405,22	6,37	0,17	999,16	100,23	0,50
15150000	NA	NA	NA	1902,83	224,50	-0,18
15200000	135,35	8,56	0,17	5444,56	884,52	0,49
15250000	10720,48	8,56	0,55	16829,02	3576,05	1,60
15320002	7375,80	10,34	0,14	38524,03	4494,31	0,43
15400000	28359,09	9,27	0,44	40094,95	5314,57	1,28
15552600	-45,74	6,08	0,25	407,17	114,68	0,74
15559000	NA	NA	NA	1215,23	171,39	-0,20
15630000	30209,87	9,67	0,49	48039,53	9135,13	1,43
15700000	31691,71	9,73	0,28	49111,24	4943,08	0,83
15800000	260,58	8,24	0,13	4080,23	484,81	0,38
15830000	4690,46	8,35	0,27	9086,26	1201,41	0,80
15910000	NA	NA	NA	1469,86	224,79	-0,52
17090000	-1811,69	7,92	0,23	1019,29	656,06	0,68
17093000	414,75	7,38	0,08	2018,54	136,28	0,25
17120000	875,08	6,26	0,44	1454,40	266,15	1,29
17200000	480,03	6,32	0,42	1086,37	260,21	1,22
17210000	496,51	6,54	0,41	1249,15	318,72	1,20
17280000	865,08	6,87	0,34	1884,02	356,46	1,01
17340000	-3390,34	8,71	0,07	2705,40	427,87	0,21
17345000	-173,19	5,57	0,09	89,00	22,43	0,26
17350000	72,89	4,26	0,56	155,64	49,33	1,63
17380000	934,68	8,29	0,23	5028,81	967,28	0,70
17420000	-18956,30	10,23	0,06	8806,81	1615,17	0,17
17430000	7701,83	9,26	0,28	18653,88	3089,81	0,82

18200000	NA	NA	NA	742,64	351,48	-0,12
18250000	-612,62	6,74	0,13	238,34	109,70	0,38
18420000	95,87	4,40	0,49	187,72	46,93	1,42
18460000	-113536,85	11,72	0,01	9269,10	1765,11	0,04
18850000	NA	NA	NA	23272,18	4459,53	-0,15
19100000	36,85	5,20	0,52	245,09	113,34	1,50
19985000	NA	NA	NA	608,02	108,35	-0,04
20250000	368,91	6,03	0,75	916,27	448,19	2,13
21300000	-17,24	5,76	0,54	351,56	209,84	1,56
21580000	13,92	4,08	0,81	96,08	73,76	2,30
22100000	5,84	6,22	0,45	561,70	258,94	1,31
22700000	274,05	6,70	0,49	1187,92	466,34	1,42
23150000	-103,41	5,96	0,30	302,85	123,05	0,88
23220000	10,41	4,77	0,48	142,59	66,19	1,40
23230000	NA	NA	NA	396,61	119,98	-0,18
23250000	-576,84	7,08	0,20	634,20	244,13	0,60
24050000	50,80	3,99	0,30	107,49	17,48	0,90
24200000	460,97	7,25	0,45	2021,57	734,31	1,32
24500000	21,52	6,70	0,35	888,19	310,62	1,03
24700000	-9025,66	9,43	0,07	3437,01	930,01	0,22
24800000	-286,67	7,39	0,32	1421,87	552,20	0,94
24900000	47,66	5,01	0,68	236,09	138,53	1,95
24950000	-1253,10	7,59	0,09	723,04	174,74	0,26
25120000	-5,24	4,02	0,42	55,56	26,69	1,24
25200000	-60,14	8,44	0,37	4869,04	1853,32	1,08
26050000	249,67	6,43	0,31	898,52	205,07	0,92
26720000	60,85	5,83	0,48	443,35	193,13	1,41
27380000	56,51	2,34	0,70	69,79	10,11	2,00

27500000	6475,91	8,69	0,54	13341,31	3894,10	1,56
27550000	-4157,30	8,36	0,01	136,28	36,79	0,03
28150000	22,22	4,81	0,40	155,73	54,87	1,17
28240000	-125,01	6,11	0,18	332,86	85,16	0,55
28850000	8426,95	8,86	0,49	16335,70	4016,46	1,42
29700000	13819,98	9,76	0,43	32947,92	8590,89	1,27
30080000	-21251,24	10,02	0,01	1140,46	255,64	0,03
30300000	92,47	6,69	0,22	914,09	183,99	0,66
30400000	-25841,01	10,26	0,02	2692,11	541,57	0,06
31490000	NA	NA	NA	273,95	76,39	-0,46
31520000	NA	NA	NA	446,06	134,98	-0,07
31700000	-1692,15	7,95	0,11	1156,41	320,62	0,34
32450002	NA	NA	NA	395,34	91,32	-0,11
32550000	-203,74	6,05	0,18	228,68	78,53	0,54
32620000	-2229,53	8,24	0,13	1585,26	508,73	0,40
32740000	-14,09	5,95	0,34	392,36	142,28	1,01
32830000	NA	NA	NA	362,77	106,85	-0,51
32850000	-1473,21	7,38	0,03	129,46	40,47	0,08
33075000	-7,34	3,24	0,42	20,66	12,28	1,24
33170000	-109,49	5,61	0,32	176,92	92,59	0,94
33190000	NA	NA	NA	787,97	263,37	-0,49
33260000	NA	NA	NA	157,86	46,84	-0,46
33270000	-26,34	3,74	0,24	16,92	10,60	0,72
33281000	117,10	5,03	0,84	336,21	206,48	2,39
33290000	113,00	5,30	0,76	379,26	221,61	2,16
33321000	NA	NA	NA	289,85	130,73	-0,50
33330000	-201,80	5,92	0,32	188,74	128,03	0,95
33380000	-15423,84	9,68	0,01	539,24	234,02	0,04

33520000	-29,14	4,44	0,58	71,48	61,71	1,67
33530000	-6,17	5,11	0,53	184,30	105,88	1,53
33550000	25,97	5,35	0,51	265,62	127,66	1,48
33620000	-60,78	5,70	0,43	267,55	144,25	1,24
33630000	24,72	6,68	0,52	938,30	498,91	1,51
33680000	-224,62	7,26	0,41	1327,04	655,91	1,20
33760000	-16,59	4,53	0,50	88,36	54,61	1,45
33780000	21,69	5,98	0,69	522,89	375,70	1,98
34070000	-500,33	7,03	0,17	646,07	192,00	0,50
34090000	26,00	3,78	0,44	74,22	22,20	1,30
34130000	18,35	5,56	0,37	295,65	104,65	1,08
34170000	-625,85	7,21	0,20	747,42	271,80	0,59
34230000	NA	NA	NA	24,93	10,61	-0,02
34690000	-1220,79	8,11	0,31	2289,81	1125,21	0,93
34770000	-523,40	7,38	0,50	1304,26	959,27	1,46
34789000	-1125,75	7,73	0,36	1313,52	905,41	1,07
34879500	-933,82	8,09	0,35	2530,78	1253,73	1,04
34940000	-6547,29	8,91	0,06	840,63	439,39	0,18
35235000	3,75	2,22	1,99	71,15	203,23	6,33
35240000	-136,06	5,81	0,72	296,31	341,18	2,06
35260000	-42,81	4,80	0,89	136,49	179,21	2,51
36125000	-4,18	4,31	0,90	107,48	113,56	2,54
36160000	-41,94	5,78	1,11	556,18	786,20	3,13
36250000	-15,64	4,29	0,86	90,51	102,35	2,43
36580000	-15,91	4,81	1,34	284,13	502,66	3,82
37220000	-19,14	3,81	0,53	32,99	29,00	1,53
37470000	-62,94	6,13	1,12	789,43	1126,88	3,14
38170000	-14,84	3,73	1,04	56,62	86,55	2,93

38485000	-8,30	3,51	1,19	59,75	98,16	3,38
38790000	-69,26	5,36	0,71	204,88	212,17	2,03
38830000	9,93	4,50	1,18	191,02	257,35	3,33
38850000	-13,58	4,69	1,13	192,76	278,44	3,20
38860000	-7,81	3,64	1,91	227,91	660,68	5,93
38895000	-37,05	5,45	1,34	530,22	947,80	3,81
39083000	-39,01	4,73	0,45	86,82	58,48	1,31
39084010	-89,58	5,07	0,31	77,51	52,46	0,91
39084020	-33,39	4,78	0,46	98,86	63,86	1,35
39140000	-6,12	3,67	1,27	81,46	136,43	3,59
39145000	-13,20	4,35	1,36	183,87	338,95	3,90
39150000	-25,02	4,71	0,82	130,23	140,82	2,32
39170000	-44,39	4,68	0,67	91,51	98,73	1,93
39200000	-33,75	5,13	0,51	159,95	104,06	1,49
39480000	-6275,03	8,77	0,01	146,66	38,35	0,02
39560000	-44,12	5,67	0,63	309,89	237,03	1,80
39580000	-36,91	4,93	0,32	108,53	48,07	0,96
39760000	-502,60	6,87	0,30	510,31	311,53	0,89
39770000	-28,12	6,11	0,67	537,32	407,50	1,91
39870000	-317,67	6,45	0,38	360,51	264,55	1,12
40025000	-35,78	4,66	0,35	76,64	40,09	1,03
40032000	-39,09	5,06	0,34	128,56	58,16	1,00
40050000	-294,18	6,75	0,21	583,47	187,43	0,63
40053000	-324,22	5,91	0,06	45,48	22,15	0,18
40070000	355,93	5,75	0,79	783,88	373,23	2,24
40100000	436,97	5,89	0,87	965,85	517,73	2,46
40185000	2,23	5,06	0,63	194,11	130,09	1,82
40269900	-6,92	3,13	0,40	17,87	10,12	1,16

40500000	-30,29	4,34	0,35	50,96	29,03	1,03
40549998	5,42	3,94	0,60	67,00	39,23	1,72
40579995	-87,11	5,18	0,28	96,62	51,27	0,82
40680000	16,99	3,47	1,00	70,20	61,63	2,82
40710000	124,45	5,24	0,95	421,60	322,03	2,68
40740000	131,13	5,40	0,90	464,43	339,84	2,55
40800001	245,73	5,17	1,06	554,49	382,39	2,98
40810350	-0,06	0,25	0,48	1,38	0,72	1,39
40822995	-34,19	3,91	0,16	16,32	8,05	0,47
40823500	-19,05	3,81	0,40	30,00	19,97	1,16
40930000	-7,45	5,33	0,50	227,07	123,54	1,46
41050000	-45,65	5,62	0,48	262,96	155,32	1,40
41075001	-499,88	7,17	0,30	863,39	415,87	0,89
41135000	-2487,15	8,52	0,26	2717,78	1378,34	0,78
41180000	7,75	4,04	0,74	82,18	59,83	2,10
41260000	-221,12	6,56	0,33	521,80	252,05	0,98
41300000	-67,65	5,20	0,32	123,34	62,51	0,95
41340000	-278,96	6,77	0,33	639,00	310,82	0,98
41380000	-163,48	5,62	0,22	117,70	61,89	0,65
41410000	-1255,20	7,59	0,16	749,84	322,57	0,48
41440005	-0,98	3,25	0,50	28,05	15,04	1,44
41600000	-886,61	7,36	0,18	716,70	294,21	0,54
41650002	-1704,61	7,84	0,14	856,14	371,07	0,43
41818000	NA	NA	NA	1267,41	442,38	-0,01
41890000	-2436,36	7,91	0,06	287,22	154,11	0,17
42089998	80,95	4,86	1,07	309,86	286,85	3,01
42145498	150,39	5,43	0,84	473,02	300,34	2,37
42187000	12,17	2,86	0,92	38,96	28,12	2,61

42365000	-742,70	7,03	0,15	401,42	166,59	0,43
42545002	-258,22	5,86	0,18	96,26	62,65	0,52
42545500	-7,97	4,70	0,53	118,54	71,09	1,55
42840000	-68,92	4,61	0,15	33,10	15,48	0,45
43250002	-13,74	5,83	0,25	339,04	90,95	0,76
43675000	45,94	5,91	0,58	481,69	268,47	1,67
44670000	-26,10	4,95	0,82	171,26	180,71	2,33
45770000	56,15	4,02	0,61	123,09	43,72	1,76
47900000	-0,34	1,35	0,87	5,32	5,53	2,46
48880000	1,75	2,80	1,69	70,01	158,40	5,02
50040000	-57,63	4,50	0,28	36,10	26,91	0,84
50043000	NA	NA	NA	24,58	10,40	-0,55
50047000	6,86	3,26	1,39	75,10	120,31	3,98
50080000	-190,28	5,53	0,17	64,54	43,81	0,51
50146000	-1,66	2,30	1,14	17,56	26,22	3,23
50150000	-0,61	2,30	1,63	37,20	83,70	4,82
50191000	-37,61	5,73	0,90	427,17	473,49	2,55
50230000	-22,70	4,64	0,75	114,02	112,53	2,14
50250000	-69,03	4,81	0,34	61,19	45,60	1,01
50380000	-126,58	5,22	0,19	62,17	36,67	0,58
50420000	1,19	3,17	1,23	51,48	75,14	3,47
50520000	-10,92	5,04	0,95	231,33	262,87	2,68
50540000	-93,94	5,71	0,72	297,42	307,90	2,06
50620000	0,52	2,64	1,33	34,68	57,00	3,80
50660000	-10,15	4,26	0,60	74,33	53,50	1,71
50720000	-7,60	3,23	0,83	27,79	32,52	2,34
50740000	-50,24	4,33	0,27	28,77	21,52	0,80
50755000	-57,60	4,98	0,50	107,06	85,43	1,44

50785000	-187,83	5,85	0,31	176,22	113,62	0,91
50820000	-37,14	4,57	0,57	75,89	68,09	1,64
51120000	-317,35	6,36	0,22	271,87	128,15	0,64
51140000	6,79	4,57	0,90	152,46	148,78	2,55
51230000	-321,20	6,27	0,25	223,12	138,78	0,75
51280000	-157,02	6,49	0,52	600,60	414,92	1,51
51330000	-43,75	6,23	0,60	566,83	390,42	1,73
51350000	29,97	6,22	0,90	787,49	774,72	2,55
51430000	-30,43	4,43	0,85	89,74	113,46	2,39
51440000	-27,85	4,77	1,06	179,81	258,39	2,99
51460000	-24,24	5,71	1,30	681,93	1141,42	3,70
51560000	3,36	4,53	0,58	113,08	67,63	1,68
51650000	-6,63	3,66	0,51	37,51	23,44	1,47
51870000	13,05	2,94	0,66	36,71	16,90	1,90
51890000	-25,12	5,00	0,39	133,92	62,94	1,13
52270000	-155,30	6,34	0,69	559,57	532,04	1,97
52404000	-135,86	6,30	0,75	586,52	595,19	2,14
52405000	-178,18	6,50	0,62	628,25	537,00	1,79
53050000	-15,30	4,55	0,42	88,34	44,73	1,22
53091000	56,19	4,83	0,73	220,21	130,66	2,08
53160000	-297,56	6,23	0,37	245,92	205,07	1,08
53170000	-1872,91	7,78	0,15	545,32	359,63	0,44
53780000	-22,53	4,79	0,60	120,70	90,62	1,71
54165000	-50,95	5,19	0,46	149,11	95,27	1,34
54230000	18,22	5,43	0,61	293,06	177,93	1,75
54590000	-12,41	4,05	0,53	53,29	36,50	1,53
55170000	-137,64	5,71	0,29	176,39	91,49	0,85
55340000	-62,51	5,43	0,35	179,22	85,39	1,02

55370000	-32,57	4,99	0,33	123,10	52,12	0,97
55380000	-15,62	4,87	0,34	122,70	47,89	1,00
55460000	-6308,15	8,77	0,01	129,64	46,43	0,02
55490000	-212,37	5,96	0,19	181,63	76,84	0,58
55520001	NA	NA	NA	62,80	29,16	-0,44
55560000	-82,80	5,77	0,41	267,82	149,54	1,21
55610000	-39,91	4,84	0,44	99,97	64,33	1,30
55630000	-273,86	6,48	0,31	406,89	211,97	0,90
55660000	-8,20	4,68	0,60	120,99	82,10	1,72
55699998	-112,29	6,47	0,51	624,45	393,19	1,48
55790000	-18,22	4,36	0,38	65,73	32,74	1,12
55850000	17,74	5,72	0,65	394,67	261,68	1,85
55895000	-164,72	5,82	0,21	180,43	73,63	0,63
55900000	-31,05	3,96	0,18	22,14	9,47	0,53
55920000	-196,78	6,26	0,29	349,46	161,30	0,86
56055000	-248,08	5,89	0,10	113,99	37,12	0,31
56065000	-50,29	4,38	0,15	30,32	12,24	0,45
56075000	75,05	5,44	0,51	336,23	138,38	1,47
56085000	-23,80	4,22	0,30	47,33	21,80	0,89
56110005	138,02	5,75	0,73	549,09	329,41	2,09
56240000	22,97	4,42	0,79	137,11	99,80	2,25
56337000	-8,37	4,67	0,52	113,17	66,23	1,51
56385000	-224,54	5,63	0,07	54,31	18,48	0,20
56415000	43,50	4,77	0,72	197,33	120,96	2,06
56425000	29,00	6,50	0,48	776,11	375,57	1,40
56460000	-35,45	4,61	0,24	68,42	25,12	0,71
56484998	33,26	4,32	0,79	135,46	88,64	2,23
56510000	16,51	4,91	0,67	186,78	122,58	1,91

56539000	60,09	6,74	0,44	992,73	423,59	1,28
56570000	-509,04	6,38	0,07	81,41	40,05	0,20
56610000	-253,59	6,08	0,22	196,12	99,63	0,65
56640000	-267,30	6,03	0,19	154,36	81,73	0,57
56659998	-1054,53	7,31	0,15	460,44	234,67	0,46
56696000	-541,09	6,99	0,26	576,64	289,46	0,76
56719998	302,05	6,99	0,54	1563,74	719,98	1,57
56765000	-124,17	5,56	0,27	146,20	74,49	0,81
56775000	-375,61	7,03	0,34	818,50	412,74	1,00
56787000	84,91	4,69	0,85	240,99	149,13	2,42
56800000	-2,61	4,70	0,45	118,57	56,10	1,30
56825000	NA	NA	NA	1000,05	368,95	-0,50
56845000	-5,48	4,09	0,43	59,84	29,36	1,27
56846000	-103,33	5,30	0,21	100,76	43,84	0,63
56850000	-909,73	8,15	0,28	2677,51	1025,54	0,83
56851000	-32,83	4,22	0,30	37,99	21,39	0,88
56870000	5,20	3,61	0,68	51,84	34,14	1,94
56920000	-2861,61	8,69	0,20	3212,81	1231,88	0,60
56935000	29,29	4,25	0,70	119,11	68,13	2,00
56940002	7,57	5,50	0,63	305,59	201,14	1,81
56960005	-13,15	4,84	0,41	124,60	58,74	1,21
56976000	-892,36	7,03	0,08	237,86	90,79	0,24
56978000	-180,22	6,05	0,25	257,94	108,85	0,73
56983000	NA	NA	NA	39,14	7,87	-0,38
56988500	-109,02	5,60	0,24	169,46	68,93	0,73
56989001	-43,94	5,12	0,46	141,36	87,62	1,33
56989400	-49,79	5,83	0,46	328,01	178,60	1,33
56990000	-274,35	6,75	0,26	610,20	236,89	0,78

56990990	-35,97	4,54	0,33	63,27	33,05	0,96
56991500	24,47	4,63	0,65	150,81	87,80	1,86
56992000	-176,89	5,93	0,26	213,24	103,05	0,77
56993551	-26,38	4,80	0,39	105,44	53,23	1,15
56994500	147,25	8,25	0,48	4447,57	2134,64	1,39
56995500	15,81	4,55	0,54	125,66	63,05	1,58
56998400	-32,80	4,93	0,32	112,73	46,74	0,93
57040008	NA	NA	NA	16,92	5,98	-0,04
57130000	-158,79	5,54	0,16	98,90	42,07	0,49
57170000	-27,22	4,50	0,24	64,97	22,32	0,71
57250000	-10,53	3,60	0,25	27,11	9,50	0,74
57300000	-67,64	4,84	0,19	61,55	24,71	0,57
57320000	2,85	3,84	0,76	64,67	51,49	2,16
57350000	-44,32	4,43	0,21	41,64	18,42	0,63
57360000	-10,61	4,17	0,33	57,75	23,09	0,98
57370000	-65,34	5,03	0,25	92,31	39,69	0,74
57400000	-60,94	5,21	0,23	126,44	42,94	0,68
57420000	-172,92	5,72	0,18	136,48	55,56	0,53
57450000	-364,79	6,66	0,24	442,54	197,46	0,72
57476500	-40,52	4,78	0,26	82,68	32,79	0,78
57490000	-57,47	5,20	0,24	128,53	44,68	0,71
57550000	-56,50	5,38	0,24	165,98	54,29	0,72
57580000	NA	NA	NA	457,82	144,20	-0,40
57700000	-15,23	4,12	0,33	49,53	21,63	0,97
57740000	-10,80	4,42	0,27	75,06	23,52	0,80
57770000	-4,62	3,33	0,42	26,04	13,38	1,24
57830000	-316,77	6,42	0,22	314,91	140,40	0,66
57880000	-1,92	4,06	0,58	66,75	42,08	1,67

57930000	-211,88	6,29	0,29	349,46	162,82	0,85
58030000	-93,04	4,98	0,09	53,10	13,38	0,27
58040000	-48,85	5,16	0,23	129,78	41,17	0,68
58060000	25,06	3,13	1,31	78,65	87,01	3,72
58096000	32,61	4,79	0,23	155,74	28,80	0,69
58183000	72,26	5,64	0,41	377,62	129,41	1,20
58204000	76,67	5,74	0,39	413,64	134,67	1,14
58235100	-139,06	6,58	0,28	610,46	214,91	0,84
58242000	-113,95	6,42	0,27	524,66	171,49	0,79
58258000	-15,99	4,48	0,65	93,55	76,69	1,87
58270000	-112,42	5,09	0,12	51,09	20,16	0,37
58305001	-252,61	6,91	0,28	788,68	297,94	0,84
58405000	-200,06	5,71	0,13	104,09	38,89	0,38
58420000	-130,75	5,62	0,26	154,81	73,88	0,76
58425000	-97,64	5,44	0,31	144,21	75,59	0,91
58434000	6,82	2,97	0,64	30,73	16,45	1,84
58440000	45,82	5,51	0,52	330,47	156,17	1,51
58480500	-26,53	4,93	0,30	118,20	43,99	0,88
58500000	4,21	2,87	0,96	32,20	30,61	2,70
58516500	-45,43	5,47	0,33	204,37	84,27	0,98
58520000	-91,54	5,96	0,23	305,16	90,90	0,67
58525000	9,13	2,80	0,82	32,25	21,06	2,32
58530000	9,70	3,95	0,49	68,49	30,11	1,43
58542000	-97,08	5,11	0,14	69,59	24,23	0,43
58550001	-198,54	6,12	0,21	265,88	100,08	0,64
58560000	-100,29	4,83	0,07	24,87	8,54	0,20
58573000	-18,40	3,99	0,31	38,13	18,11	0,93
58585000	-1260,49	7,41	0,09	403,00	143,54	0,26

58610000	-1520,33	7,37	0,02	73,19	26,32	0,05
58630002	NA	NA	NA	1544,87	539,11	-0,53
58645000	9,76	3,60	0,61	53,76	28,41	1,74
58658000	-90,41	5,24	0,47	119,87	102,59	1,37
58670002	-2,36	4,15	0,87	89,78	89,88	2,46
58710000	-354,83	6,16	0,12	122,82	57,18	0,36
58730001	-627,26	6,71	0,09	200,35	74,87	0,27
58735000	-201,04	6,07	0,22	240,20	96,23	0,64
58755000	0,21	4,50	0,41	98,52	41,96	1,21
58765001	-221,94	6,04	0,22	208,47	93,83	0,64
58770000	-1101,76	7,41	0,14	561,68	240,64	0,43
58795000	-1055,35	8,09	0,28	2332,97	976,62	0,84
58825000	7,49	3,87	0,71	69,12	47,88	2,04
58826000	1,57	3,76	0,62	53,32	34,07	1,77
58827000	-75,38	5,09	0,21	90,26	34,40	0,61
58846000	-131,91	5,69	0,31	179,68	97,15	0,91
58850000	-46,07	5,45	0,47	214,58	126,40	1,36
58857000	-15,45	3,97	0,38	41,44	22,33	1,12
58870000	-8,15	4,31	0,53	77,39	47,35	1,53
58874000	75,85	5,07	1,24	422,14	526,69	3,52
58880001	-912,03	8,17	0,36	2862,03	1410,50	1,07
58910000	-32,77	3,97	0,12	20,71	6,48	0,36
58916000	-12,73	4,27	0,16	59,60	11,77	0,48
58917000	-345,21	6,13	0,09	114,45	42,63	0,28
58920000	-123,52	6,06	0,31	327,91	144,59	0,93
58930000	22,87	4,05	0,73	97,72	59,26	2,07
58934000	43,56	4,44	1,05	191,05	181,38	2,97
58940000	-443,28	6,84	0,21	508,29	203,14	0,63

58960000	-382,36	6,82	0,24	559,30	228,99	0,71
58974000	-1019,28	8,28	0,34	3148,98	1449,83	1,00
59120000	-13,24	3,75	0,40	32,75	18,70	1,16
59125000	-8,06	3,73	0,42	37,47	19,92	1,24
59135000	3,28	2,66	0,47	19,23	7,79	1,37
59181000	-58,72	5,13	0,19	112,84	32,92	0,57
59240000	-0,96	4,43	0,43	91,54	41,17	1,26
59370000	-3,75	5,11	0,59	193,51	123,20	1,69
60010000	-3271,16	8,16	0,02	222,65	72,79	0,06
60011000	25,69	5,48	0,49	296,34	139,28	1,43
60100000	-9,44	3,26	0,32	17,98	8,95	0,95
60145000	1,81	1,96	0,66	10,64	6,24	1,88
60150000	15,91	4,12	0,60	89,63	46,99	1,72
60220000	25,84	5,53	0,65	337,52	218,96	1,87
60435000	2,56	2,54	0,58	17,57	9,20	1,67
60435100	-0,04	0,72	0,30	2,11	0,66	0,89
60435150	0,27	-0,25	0,34	1,10	0,29	1,01
60435300	0,14	1,25	0,66	4,48	3,07	1,88
60435400	1,66	1,68	0,43	7,53	2,59	1,25
60473000	3,59	2,03	0,63	12,88	6,26	1,81
60476100	-15,93	4,17	0,29	51,31	19,71	0,85
60477400	-14,10	3,54	0,32	22,06	11,75	0,94
60477600	0,63	2,21	0,51	10,97	5,49	1,47
60540000	97,49	4,78	0,75	255,76	130,18	2,14
60615000	-4,72	3,02	0,34	16,96	7,53	1,00
60640000	-84,20	5,15	0,14	89,81	23,58	0,40
60642000	NA	NA	NA	37,29	10,64	-0,52
60654000	-2944,68	8,01	0,00	65,11	14,54	0,01

60665000	-23691,97	10,08	0,00	127,27	40,91	0,01
60680000	259,03	5,73	0,64	635,77	256,66	1,82
60772000	-207,01	6,70	0,17	615,89	141,48	0,51
60810000	-7,36	4,33	0,32	72,94	26,11	0,94
60835000	-62,30	5,21	0,27	128,17	51,27	0,79
60850000	NA	NA	NA	241,48	89,61	-0,12
60855000	-302,99	6,69	0,25	526,68	209,64	0,74
60870000	-10,69	4,89	0,32	129,70	46,43	0,96
60910000	3,83	4,25	0,50	83,52	42,04	1,46
60925001	-62,73	5,48	0,41	196,58	108,51	1,19
60930000	17,77	3,54	0,28	53,51	10,21	0,83
60950000	49,05	5,29	0,26	255,04	54,47	0,77
60968000	-78,32	5,72	0,16	229,95	50,16	0,48
60970000	76,01	5,21	0,35	271,36	70,44	1,04
61009000	-29,61	4,55	0,32	69,65	32,47	0,95
61012000	40,94	5,06	0,48	218,45	89,61	1,41
61014000	-38,85	4,47	0,24	51,41	21,55	0,70
61024000	18,87	4,52	0,66	133,10	80,81	1,88
61031000	-0,14	3,01	0,54	23,43	13,49	1,57
61045000	NA	NA	NA	36,28	8,11	-1,56
61052000	-1511,49	7,34	0,00	33,96	6,22	0,01
61060000	113,08	4,51	0,91	250,69	141,24	2,56
61075000	38,76	4,37	0,72	141,74	80,79	2,05
61078000	103,21	4,25	0,89	206,77	103,67	2,51
61085000	25,95	3,91	0,53	83,48	32,00	1,53
61090000	-63,00	5,21	0,20	123,44	36,71	0,58
61100000	10,96	0,96	0,82	14,60	3,29	2,31
61105000	-365,36	6,13	0,07	93,96	31,84	0,21

61107000	51,06	5,37	0,51	296,51	132,03	1,49
61115000	-18,50	4,83	0,45	119,26	63,77	1,30
61122000	-8,78	4,29	0,68	82,74	66,73	1,93
61135000	207,39	5,71	0,80	623,49	369,21	2,27
61175000	57,88	3,32	1,69	173,61	270,39	5,05
61202000	-74,88	5,61	0,30	211,80	86,52	0,88
61267000	4,96	1,30	1,52	16,65	23,37	4,42
61271000	-366,57	6,18	0,08	119,84	40,89	0,25
61285000	NA	NA	NA	72,08	17,39	-0,41
61295000	-49,57	4,39	0,21	32,60	17,26	0,62
61305000	NA	NA	NA	230,91	62,45	-0,43
61350000	-3,01	5,00	0,54	169,08	97,72	1,56
61370000	NA	NA	NA	77,11	22,43	-0,07
61390000	NA	NA	NA	53,19	15,67	-0,25
61410000	-143,56	6,56	0,33	602,04	249,95	0,97
61425000	-187,08	6,54	0,25	528,75	178,29	0,73
61460000	-1131,69	7,19	0,05	194,38	72,75	0,16
61473000	-822,84	6,82	0,04	92,27	35,95	0,12
61500000	-41,33	4,84	0,26	90,04	34,64	0,77
61510000	-0,05	5,99	0,44	438,55	200,82	1,29
61537000	202,47	5,81	0,59	599,32	250,40	1,71
61610000	-26,33	4,58	0,17	72,26	16,67	0,50
61700000	-50,67	4,86	0,33	86,06	46,26	0,98
61770000	-20,72	3,86	0,25	28,21	12,60	0,76
61795000	-51,56	5,60	0,41	241,40	122,30	1,19
61800500	NA	NA	NA	35,70	10,31	-0,71
61815000	2,34	2,16	0,81	14,32	10,69	2,28
61826000	-90,44	5,01	0,14	60,27	20,61	0,41

61861000	-37,32	4,52	0,22	56,42	20,34	0,64
61865000	-67,31	4,90	0,09	67,54	12,74	0,28
61879000	38,94	4,46	0,46	134,53	45,24	1,33
61886000	NA	NA	NA	423,45	115,37	-0,03
61902000	NA	NA	NA	564,60	141,48	-0,22
61910000	NA	NA	NA	626,63	134,28	-0,97
61912000	NA	NA	NA	648,93	136,13	-0,42
61913500	-22,00	3,89	0,19	27,75	9,27	0,55
61915000	NA	NA	NA	739,89	175,78	-0,18
61953001	-16,87	4,24	0,51	62,46	42,72	1,49
61956001	6,80	4,01	0,63	74,18	45,16	1,80
62395000	-13,60	4,53	0,38	86,43	39,50	1,13
62420000	NA	NA	NA	42,12	8,16	-0,09
62477100	NA	NA	NA	80,62	19,27	-0,21
62490000	-27,67	4,49	0,36	67,56	35,50	1,07
62496001	-47,75	4,95	0,26	98,11	37,77	0,76
62615000	29,29	4,38	0,77	136,96	91,09	2,19
62622000	7,83	3,29	0,42	37,05	12,68	1,23
62632000	90,11	4,53	2,86	5627,88	34001,45	12,39
62709000	73,05	4,46	0,76	187,84	95,24	2,15
62721000	-195,73	5,64	0,13	87,16	37,44	0,39
62760005	4,98	2,22	0,65	16,32	7,93	1,87
62760130	-9,68	3,06	0,33	12,77	7,63	0,98
62760150	-5,83	3,03	0,35	16,25	7,84	1,02
62772500	23,77	3,53	0,86	73,31	47,63	2,43
62781000	11,17	2,08	1,21	27,81	24,42	3,42
63001200	20,92	4,93	0,22	163,27	31,32	0,65
63900001	116,67	5,03	0,47	287,71	83,72	1,37

63950100	70,03	4,33	0,70	167,28	73,89	2,00
63950150	9,49	2,62	0,34	24,09	5,13	1,01
63950250	3,04	3,96	0,23	57,12	12,48	0,68
64040000	-3610,40	8,22	0,01	86,85	30,77	0,03
64065000	4,16	4,16	0,45	75,31	33,23	1,31
64231000	69,90	4,54	1,23	269,57	298,68	3,48
64315000	-8,83	5,16	0,42	182,22	83,33	1,24
64345000	-15,45	4,07	0,25	44,64	15,12	0,74
64370000	-111,59	6,90	0,34	938,39	364,26	1,00
64382000	-177,27	6,44	0,40	500,30	275,61	1,16
64395000	-39,04	4,72	0,23	76,72	27,11	0,69
64442800	-222,43	5,80	0,10	109,76	32,25	0,29
64447000	-81,48	6,23	0,44	475,86	252,25	1,28
64465000	-3777,04	8,44	0,08	852,81	375,65	0,24
64477600	-499,30	6,58	0,17	228,34	125,42	0,51
64501000	-1534,42	8,18	0,26	2140,78	969,23	0,77
64507000	461,13	7,46	0,65	2617,72	1513,45	1,87
64575003	1008,50	9,63	0,28	16807,00	4519,89	0,83
64609000	-109,65	5,88	0,17	254,49	62,37	0,51
64613000	48,66	4,90	0,50	201,04	78,86	1,44
64614000	-634,32	7,25	0,14	788,10	204,85	0,43
64617000	250,56	6,39	0,47	913,02	324,30	1,37
64618000	-18,53	3,99	0,09	35,53	4,70	0,26
64619950	-140,59	6,04	0,31	301,74	140,32	0,92
64620000	-16,54	5,64	0,45	293,79	144,15	1,31
64625000	-2324,62	8,14	0,13	1145,78	465,15	0,40
64645000	-7342,08	9,15	0,09	2155,41	878,95	0,28
64652000	326,04	6,10	0,72	908,14	459,49	2,06

64655000	40,12	7,99	0,49	3351,97	1676,92	1,41
64673000	73,93	4,41	0,89	196,31	122,40	2,51
64675002	112,92	8,47	0,52	5592,04	3012,51	1,52
64682000	6,50	3,55	0,43	44,60	16,77	1,25
64685000	981,49	8,32	0,75	6457,03	4524,25	2,14
64693000	698,14	8,47	0,74	6963,93	5084,95	2,11
64717000	178,73	4,76	0,60	318,29	89,55	1,73
64723000	NA	NA	NA	75,50	22,43	-0,08
64771500	764,20	6,72	0,82	1915,61	1043,23	2,31
64773000	198,27	5,68	0,61	550,11	229,59	1,76
64785000	60,97	3,90	0,97	140,31	88,11	2,73
64799500	-4840,55	9,06	0,17	3904,71	1471,09	0,50
64810000	50,48	5,09	0,65	251,15	139,13	1,85
64815000	93,56	4,87	0,83	278,34	170,75	2,35
64820000	1168,04	7,63	0,54	3556,14	1366,60	1,57
64830000	-36,04	8,28	0,37	4199,98	1628,34	1,10
64843000	9448,92	9,41	0,38	22645,08	5196,11	1,13
65011400	5,45	2,90	0,52	26,25	11,32	1,50
65020995	-10,04	2,51	0,08	2,30	0,99	0,24
65024000	-1,64	2,47	0,34	10,90	4,33	1,00
65025000	50,76	5,08	0,53	236,26	103,35	1,54
65027000	NA	NA	NA	30,48	10,00	-0,06
65060000	135,43	5,70	0,98	621,05	549,13	2,77
65094500	-219,90	5,99	0,25	192,81	104,47	0,74
65095000	-162,65	6,09	0,26	295,89	120,68	0,77
65100000	-36,50	5,98	0,39	388,14	168,93	1,14
65136550	17,82	4,11	0,67	93,93	55,19	1,92
65180000	3,08	4,60	0,50	115,21	58,17	1,44

65220000	-142,21	7,39	0,40	1616,09	730,46	1,18
65310000	-309,09	7,71	0,34	2053,51	824,40	1,01
65365000	-6,73	4,05	0,49	57,79	33,15	1,43
65855000	235,30	4,49	1,79	674,86	1112,06	5,41
65925000	-483,82	6,90	0,23	531,22	238,77	0,69
65945000	-4,96	4,58	0,45	102,73	50,39	1,32
65948000	-125,40	5,87	0,38	256,96	149,76	1,12
65960000	-237,12	7,53	0,42	1793,27	885,40	1,23
65979000	NA	NA	NA	458,81	184,27	-0,43
65993000	-17710,45	10,27	0,20	11738,21	5924,83	0,60
66006000	-38,36	5,30	0,27	169,30	57,88	0,81
66008000	-253,09	6,12	0,12	202,93	53,31	0,35
66010000	-42,19	6,51	0,30	657,67	213,92	0,89
66050000	103,39	5,86	0,28	467,71	103,64	0,83
66065000	107,41	5,28	0,35	314,94	73,47	1,02
66070004	77,04	7,14	0,22	1373,25	288,93	0,66
66072000	96,14	5,45	0,36	344,80	91,84	1,06
66140000	NA	NA	NA	510,47	115,01	-0,68
66160000	-265,98	6,95	0,19	797,83	201,60	0,56
66260001	947,56	6,76	0,58	1972,86	633,14	1,68
66280000	315,47	6,57	0,17	1042,56	125,92	0,51
66360000	-363,87	6,72	0,05	466,22	43,85	0,16
66370000	-957,10	7,38	0,04	655,75	70,44	0,13
66380000	-30,81	5,75	0,38	309,04	134,28	1,13
66520000	92,08	5,03	0,43	259,13	73,43	1,24
66800000	-233,46	7,63	0,12	1840,53	254,42	0,37
66895000	NA	NA	NA	2472,03	356,86	-0,44
66910000	1,32	6,02	0,24	423,59	104,02	0,72

66926000	-18,18	5,91	0,35	372,99	140,27	1,03
66941000	-30,19	6,10	0,31	436,68	145,12	0,90
67170000	-118,26	6,50	0,19	560,70	132,14	0,58
70100000	-155,82	5,98	0,25	252,59	103,99	0,75
70200000	-568,17	7,50	0,30	1324,27	578,43	0,89
70300000	-329,19	7,00	0,37	842,97	450,76	1,10
70500000	-192,31	6,24	0,30	342,83	160,79	0,87
71200000	52,53	5,00	0,42	214,18	69,65	1,22
71250000	-65,56	5,17	0,19	113,48	34,15	0,57
71300000	75,76	5,05	0,43	246,76	75,55	1,25
71350001	47,46	5,70	0,38	369,47	123,94	1,10
71383000	-410,16	6,83	0,18	527,00	167,98	0,53
71550000	151,16	7,33	0,66	2043,96	1348,86	1,90
72430000	-77,78	6,22	0,40	465,99	225,47	1,18
72630000	-1315,51	7,71	0,14	936,74	324,31	0,43
72680000	-661,77	7,60	0,26	1394,53	538,35	0,77
72715000	11,19	5,41	0,41	253,86	102,00	1,19
72810000	-97,55	6,59	0,38	684,82	308,72	1,13
72849000	208,60	6,78	0,48	1193,45	491,84	1,39
72870000	-28,43	5,41	0,63	243,86	184,28	1,81
73300000	-134,71	5,91	0,31	251,39	120,35	0,91
73330000	32,12	5,74	0,58	399,63	227,52	1,68
73350000	104,63	6,19	0,70	728,88	476,63	2,01
73550000	-6457,70	9,77	0,37	12199,48	7025,88	1,08
73600000	-80,77	6,33	0,38	520,40	235,64	1,12
73690001	-242,90	6,15	0,28	245,76	137,38	0,82
73765000	-30,29	5,36	0,48	209,47	120,45	1,40
73780000	-248,59	6,44	0,25	396,10	161,15	0,73

73820000	24,47	6,25	0,52	616,76	323,14	1,51
73900000	62,93	4,89	0,83	250,80	173,66	2,35
73960000	-78,36	7,71	0,46	2393,06	1171,70	1,33
74100000	-1574,05	9,62	0,54	15862,55	9960,67	1,57
74205000	-300,26	6,23	0,16	211,48	79,95	0,46
74270000	-426,15	8,00	0,54	3045,05	1990,48	1,57
74320000	-233,52	6,42	0,29	407,79	187,90	0,85
74370000	-153,34	6,67	0,35	682,64	302,96	1,04
74460000	-77,88	4,90	0,13	56,90	17,30	0,38
74470000	-344,58	6,64	0,26	449,16	208,38	0,77
74700000	-1167,26	7,31	0,07	332,89	106,50	0,21
74750000	33,56	4,39	0,68	135,11	74,79	1,95
74800000	-1533,85	9,98	0,55	23501,96	14479,73	1,59
74900000	NA	NA	NA	429,29	89,97	-1,50
75155000	185,96	5,19	1,26	581,83	612,88	3,58
75200000	-104,84	5,80	0,27	235,97	93,19	0,80
75205000	18,70	4,88	0,35	158,59	50,81	1,04
75230000	416,42	6,45	0,82	1301,39	801,36	2,31
75295000	NA	NA	NA	627,02	209,36	-0,39
75400000	94,85	5,93	0,71	577,46	373,19	2,03
75450000	-435,44	7,16	0,25	899,76	344,31	0,76
75500000	96,41	6,87	0,42	1146,77	457,13	1,23
75550000	2004,54	9,39	0,40	14985,76	5413,12	1,19
75600000	NA	NA	NA	319,98	90,97	-0,24
75700000	NA	NA	NA	1426,84	441,49	-0,04
75780000	-7457,57	10,03	0,21	15860,77	4948,61	0,63
76085000	338,23	6,15	0,87	1021,04	669,36	2,47
76310000	-1986,66	8,25	0,28	1991,87	1150,11	0,84

76440000	-1803,71	7,90	0,13	911,07	344,51	0,38
76460000	-335,08	7,04	0,37	884,97	464,74	1,09
76500000	-3573,13	8,81	0,20	3237,06	1360,09	0,59
76560000	-2076,96	8,56	0,28	3339,18	1548,38	0,83
76650000	-513,35	6,92	0,22	526,20	232,49	0,66
76742000	-287,46	6,39	0,31	339,77	200,40	0,93
76750000	NA	NA	NA	907,31	319,68	-0,88
76800000	-11651,89	9,67	0,10	4272,00	1662,25	0,31
80200000	2,30	1,75	0,63	9,32	4,70	1,80
81019350	-5,34	4,44	0,54	92,36	55,24	1,56
81102000	-34,47	5,49	0,54	247,23	161,40	1,57
81107000	6,36	5,96	0,63	478,81	316,97	1,80
81120000	-0,47	4,17	0,89	94,97	95,29	2,50
81125000	-79,68	4,82	0,17	46,29	21,40	0,50
81135000	-233,46	6,87	0,46	836,67	513,51	1,35
81140000	-63,17	4,78	0,22	59,27	27,70	0,67
81200000	-174,92	6,99	0,40	999,37	489,18	1,18
81335000	2,08	5,96	0,62	470,54	308,83	1,77
81530000	21,12	5,17	0,54	225,16	115,26	1,55
81580000	-37,16	4,77	0,40	91,03	52,82	1,17
81585000	-36,11	4,38	0,25	46,24	20,91	0,75
81600000	-270,52	6,17	0,11	208,64	52,87	0,33
81615000	4,44	1,59	0,53	10,10	3,18	1,55
81630000	-45412,30	10,73	0,00	260,76	70,37	0,00
82170000	20,13	5,30	0,58	257,63	146,38	1,68
82320000	8,60	4,55	0,65	125,04	81,23	1,86
82350000	141,37	5,55	0,83	505,06	337,05	2,36
82770000	24,01	4,82	0,47	162,52	67,73	1,37

83029900	16,46	4,94	0,44	170,78	70,49	1,29
83050000	28,20	5,47	0,37	281,85	95,24	1,08
83069900	-14,54	4,63	0,76	123,02	114,79	2,16
83105000	-46,34	5,23	0,45	159,82	97,16	1,32
83250000	136,39	4,45	1,27	329,94	303,75	3,62
83300200	302,63	5,97	0,73	814,36	410,11	2,09
83345000	-6,67	6,40	0,72	772,13	614,15	2,06
83520000	417,13	6,83	0,65	1558,90	793,23	1,86
83660000	-4,82	5,33	0,32	211,66	71,30	0,95
83675000	-94,34	5,49	0,30	159,01	77,92	0,89
83690000	234,02	7,32	0,56	2006,06	1047,22	1,62
83800002	184,28	7,67	0,57	2721,97	1541,70	1,65
83880000	-148,92	5,35	0,10	62,78	21,97	0,31
84071000	-16,30	5,39	0,55	239,17	148,44	1,59
84100000	8,81	4,90	0,57	165,76	93,88	1,63
84249998	-7,59	4,99	0,37	149,50	59,49	1,09
84520000	NA	NA	NA	87,38	32,16	-0,04
84551000	-59,07	5,37	0,38	171,07	90,57	1,12
84559800	7,73	5,74	0,50	360,99	182,88	1,44
84580000	20,80	6,34	0,36	628,18	223,78	1,06
84600000	-180,50	5,82	0,22	163,86	77,50	0,66
84949800	-4622,75	8,58	0,05	708,14	266,27	0,15
84950000	69,53	6,24	0,44	633,52	256,96	1,28
85400000	NA	NA	NA	2541,12	716,47	-1,44
85470000	-147,70	6,03	0,31	288,52	137,85	0,92
85480000	-592,07	6,99	0,21	523,13	237,41	0,63
85600000	-209,75	7,05	0,41	1049,54	531,05	1,20
85610000	-96,75	4,97	0,17	48,75	25,08	0,51

85623000	NA	NA	NA	317,10	107,35	-0,70
85642000	NA	NA	NA	2720,99	651,71	-0,40
85900000	NA	NA	NA	4079,87	1134,85	-0,72
86100000	188,61	6,35	0,46	827,60	305,26	1,34
86160000	-118,31	6,31	0,32	459,81	190,28	0,95
86410000	-440,33	7,25	0,36	1065,96	557,72	1,06
86480000	-2499,78	8,04	0,08	600,70	237,58	0,23
86510000	-7722,58	9,53	0,20	6380,79	2871,93	0,60
86560000	-8112,88	9,10	0,04	831,91	334,26	0,11
86580000	-489,97	7,53	0,42	1549,23	884,76	1,23
86745000	38,96	5,98	0,54	495,89	260,93	1,57
87160000	-3260,83	8,28	0,08	713,11	335,54	0,25
87170000	NA	NA	NA	1017,51	404,21	-0,16
87270000	NA	NA	NA	618,23	105,57	-0,76
87317030	66,99	5,08	0,55	254,40	107,96	1,58
87317060	-204,33	5,71	0,10	98,91	31,80	0,31
87380000	-337,53	6,62	0,13	421,05	95,85	0,38
87382000	37,65	6,06	0,39	500,58	183,73	1,13
87399000	57,92	3,98	0,66	124,02	46,57	1,88
87400000	-138,95	5,77	0,24	191,70	80,68	0,72
88750000	-51,94	4,72	0,23	63,64	26,52	0,68

Apêndice V – Parâmetros de ajuste da distribuição de 4 parâmetros – Kappa – e da distribuição de 5 parâmetros – Wakeby

Serie	Parâmetros Kappa					Parâmetros Wakeby				
	$\xi$	$\beta$	k	h	$\xi$	$\alpha$	$\beta$	$\gamma$	$\delta$	
12700000	8617,61	1198,00	0,54	0,14	6835,11	6949,12	3,27	586,38	-0,15	

13410000	NA	NA	NA	NA	3174,75	9118,70	5,37	396,35	0,24
13750000	9713,45	772,51	0,09	-0,29	7956,73	7370,54	5,54	1028,96	-0,15
13880000	12228,01	787,98	0,54	0,45	11573,89	3227,09	8,72	1153,73	-0,69
14110000	9713,32	946,44	0,34	-0,18	7327,89	11339,78	5,58	1140,79	-0,34
14230000	3556,14	423,17	0,22	0,31	3196,52	1143,35	1,37	70,10	0,36
14280001	5739,13	495,10	-0,06	-0,41	4702,44	3202,41	3,49	478,06	0,11
14300000	221,34	300,77	0,77	0,98	216,70	308,96	0,79	0,00	0,00
14310000	712,78	68,47	0,02	-0,29	529,75	1659,29	14,23	127,14	-0,25
14350000	1730,96	192,59	0,34	-0,13	1172,28	5407,56	14,37	419,12	-0,66
14440000	1550,58	136,47	0,27	-0,85	690,19	5274,75	6,52	126,81	-0,09
14488000	1387,31	588,64	0,98	0,51	950,86	1781,42	4,99	677,24	-0,99
14515000	4197,82	888,26	0,25	-0,28	1957,00	8809,64	3,72	530,84	0,03
14526000	1374,68	401,87	0,65	0,13	676,16	3209,06	5,07	418,49	-0,57
14530000	591,34	585,95	0,35	0,65	396,55	869,52	0,55	0,00	0,00
14550000	1059,62	495,08	0,33	0,08	292,79	2956,93	4,59	554,15	-0,32
14680001	684,01	501,99	0,75	0,67	511,52	840,45	1,06	0,00	0,00
14710000	NA	NA	NA	NA	3687,35	26737,94	5,33	1523,20	0,02
15050000	118,41	31,65	0,35	0,24	73,93	355,58	13,62	53,74	-0,57
15120001	288,61	180,75	0,47	0,61	217,55	297,00	0,74	0,00	0,00
15130000	NA	NA	NA	NA	785,55	951,90	5,54	57,99	0,15
15150000	1873,99	165,33	0,16	-0,44	1324,31	3580,52	9,12	308,08	-0,37
15200000	5063,96	826,20	0,16	0,04	3724,05	6738,01	7,95	1262,98	-0,31
15250000	14986,93	2421,51	-0,13	0,09	12227,87	7704,54	3,99	2758,25	0,10
15320002	NA	NA	NA	NA	28500,36	48430,28	5,90	2534,61	0,16
15400000	37819,24	3657,61	-0,09	-0,10	32442,54	15278,20	3,48	3837,43	0,10
15552600	322,71	142,04	0,26	0,46	244,01	255,46	0,57	0,00	0,00
15559000	1187,73	134,42	0,19	-0,34	840,67	1335,50	3,75	89,27	0,04
15630000	43594,66	6406,38	-0,09	0,03	36033,13	18587,59	1,86	4111,71	0,25

15700000	NA	NA	NA	NA	39466,62	43901,17	7,10	4136,34	0,02
15800000	3967,42	352,58	0,05	-0,38	2874,39	10389,07	14,50	702,47	-0,31
15830000	8639,03	922,69	0,02	-0,14	6879,18	8779,53	7,87	1407,98	-0,16
15910000	NA	NA	NA	NA	799,66	4761,81	8,53	201,60	-0,18
17090000	535,46	831,61	0,28	0,46	16,85	1822,45	1,15	94,77	0,38
17093000	1971,20	123,41	0,18	-0,07	1738,46	1074,87	6,62	181,30	-0,30
17120000	NA	NA	NA	NA	973,50	2667,00	9,76	214,14	0,08
17200000	NA	NA	NA	NA	621,14	2012,68	6,36	150,43	0,22
17210000	1190,19	163,20	-0,19	-0,94	690,99	2623,70	8,85	286,10	0,02
17280000	NA	NA	NA	NA	619,09	29795,87	30,79	318,29	0,03
17340000	2583,53	358,01	0,15	-0,19	1919,11	2032,84	1,91	34,74	0,60
17345000	72,87	32,46	0,44	0,45	51,10	80,37	1,25	0,71	0,67
17350000	NA	NA	NA	NA	100,55	63,22	0,15	0,00	0,00
17380000	4677,82	762,35	0,04	-0,14	3489,59	3224,38	1,27	17,11	0,85
17420000	8183,24	1592,36	0,24	0,02	5816,82	7687,33	2,27	492,16	0,23
17430000	NA	NA	NA	NA	12007,00	38083,79	7,97	2100,34	0,13
18200000	634,18	342,96	0,30	-0,04	27,57	2150,92	2,95	159,74	0,07
18250000	93,34	256,98	0,68	0,89	68,08	300,34	0,76	0,00	0,00
18420000	157,34	40,48	0,00	0,36	132,11	68,75	0,24	0,00	0,00
18460000	8883,32	1408,21	0,16	-0,29	5570,18	12847,57	4,28	1370,41	-0,08
18850000	22627,20	3346,63	0,16	-0,41	12625,92	51550,71	6,74	5078,86	-0,27
19100000	NA	NA	NA	NA	77,50	477,42	4,51	60,56	0,25
19985000	569,66	109,85	0,30	0,01	385,97	689,99	4,09	106,13	-0,23
20250000	584,76	323,51	-0,14	0,64	485,09	0,00	0,00	410,92	0,05
21300000	108,96	284,86	0,18	1,02	112,75	280,56	0,17	0,00	0,00
21580000	-3,00	88,45	0,05	1,51	28,62	0,00	0,00	60,36	0,11
22100000	457,98	169,22	-0,11	-0,18	142,64	1763,18	9,44	255,54	-0,02
22700000	975,69	314,00	-0,11	-0,05	388,31	5847,09	16,62	486,35	-0,04

23150000	181,06	185,90	0,34	0,72	133,86	252,49	0,49	0,00	0,00
23220000	64,90	96,98	0,24	0,98	63,60	98,54	0,25	0,00	0,00
23230000	NA	NA	NA	NA	105,61	1379,76	5,56	83,15	-0,03
23250000	465,75	303,17	0,29	0,41	242,89	677,23	2,14	190,95	-0,09
24050000	NA	NA	NA	NA	69,01	264,96	10,30	14,26	0,05
24200000	1790,28	424,29	-0,16	-0,46	745,43	7274,52	11,65	701,84	0,00
24500000	790,83	200,62	-0,09	-0,37	347,88	2080,70	7,39	304,44	-0,04
24700000	2618,10	1600,97	0,54	0,59	1843,09	2674,85	2,20	1011,57	-0,33
24800000	971,55	691,85	0,23	0,56	646,44	1266,72	0,72	6,85	0,81
24900000	NA	NA	NA	NA	53,76	555,10	5,93	73,25	0,28
24950000	664,70	154,54	0,17	-0,10	251,66	5520,61	20,33	308,21	-0,45
25120000	46,52	16,45	-0,13	-0,35	14,65	107,62	4,83	20,82	0,07
25200000	3236,02	2352,71	0,22	0,64	2452,77	3373,29	0,40	0,00	0,00
26050000	844,25	129,03	-0,08	-0,49	288,24	13828,87	34,64	261,56	-0,18
26720000	NA	NA	NA	NA	185,11	464,01	1,12	8,39	0,79
27380000	64,95	5,49	-0,24	-0,01	58,80	13,15	1,27	3,05	0,42
27500000	NA	NA	NA	NA	7132,42	23310,04	5,30	1597,97	0,36
27550000	73,43	124,64	0,99	1,01	74,36	122,81	0,98	0,00	0,00
28150000	63,55	124,80	0,49	1,25	85,95	94,35	0,35	0,00	0,00
28240000	35,25	528,51	1,17	1,57	205,82	212,08	0,67	0,00	0,00
28850000	NA	NA	NA	NA	8933,62	34480,92	5,52	1016,92	0,52
29700000	NA	NA	NA	NA	19368,05	36735,12	2,44	927,04	0,68
30080000	1005,67	320,18	0,41	0,25	710,99	849,41	0,98	0,00	0,00
30300000	866,05	126,47	-0,01	-0,40	357,26	10976,24	30,45	263,48	-0,27
30400000	NA	NA	NA	NA	1122,01	13558,70	11,44	547,89	-0,14
31490000	240,00	102,01	0,57	0,23	114,90	471,54	2,50	21,71	0,11
31520000	363,45	193,95	0,51	0,36	176,64	714,77	5,32	246,35	-0,58
31700000	1026,54	306,38	0,20	0,02	373,76	7336,41	17,83	568,78	-0,45

32450002	364,19	93,32	0,32	0,01	184,82	1002,73	8,33	155,16	-0,51
32550000	161,74	117,89	0,40	0,58	103,68	181,97	2,11	82,58	-0,24
32620000	1408,02	438,16	0,13	-0,10	526,20	4944,86	8,67	714,76	-0,30
32740000	NA	NA	NA	NA	65,46	3005,11	14,35	130,11	0,01
32830000	336,07	108,57	0,42	-0,04	-2,22	5309,82	22,92	259,11	-0,81
32850000	NA	NA	NA	NA	-52,25	4165,95	28,54	50,22	-0,23
33075000	14,61	9,36	-0,04	0,06	2,17	47,71	6,20	12,42	-0,05
33170000	109,62	105,62	0,19	0,45	24,70	548,06	12,15	144,70	-0,31
33190000	749,44	221,74	0,30	-0,26	64,50	4766,49	9,70	428,25	-0,54
33260000	160,83	26,25	0,08	-0,98	49,51	408,91	3,22	5,58	0,51
33270000	6,98	16,18	0,37	0,66	1,75	23,93	0,58	0,00	0,00
33281000	194,27	125,64	-0,22	0,61	152,60	0,00	0,00	158,61	0,14
33290000	214,74	158,58	-0,15	0,66	84,39	5327,75	57,76	184,53	0,10
33321000	215,65	206,86	0,69	0,36	14,53	774,02	3,27	133,95	-0,42
33330000	112,05	125,42	0,11	0,27	-17,62	551,24	7,29	170,18	-0,22
33380000	437,41	258,85	0,33	0,13	146,93	773,47	0,97	0,00	0,00
33520000	15,63	64,04	0,05	0,78	3,37	77,03	0,13	0,00	0,00
33530000	126,58	76,82	-0,09	0,16	48,68	194,17	2,84	75,32	0,11
33550000	211,73	80,29	-0,14	-0,15	93,69	310,22	3,07	79,38	0,17
33620000	158,65	151,02	0,10	0,51	87,76	236,93	0,32	0,00	0,00
33630000	355,34	698,43	0,20	1,01	361,43	691,40	0,20	0,00	0,00
33680000	448,41	1173,80	0,37	1,06	499,83	1106,62	0,34	0,00	0,00
33760000	60,21	39,49	-0,08	0,10	19,14	106,27	0,86	4,34	0,64
33780000	287,14	251,64	-0,16	0,38	106,04	501,69	4,69	288,23	0,12
34070000	459,01	327,64	0,48	0,68	355,92	493,08	0,70	0,00	0,00
34090000	42,06	41,52	0,37	1,16	46,97	35,25	0,29	0,00	0,00
34130000	253,50	75,20	-0,05	-0,13	121,50	605,01	7,38	109,26	-0,07
34170000	695,05	173,26	-0,04	-0,59	224,16	1890,43	5,38	234,29	-0,03

34230000	22,77	8,44	0,17	-0,30	3,27	68,20	3,04	3,90	0,18
34690000	2081,44	632,07	-0,13	-0,79	464,26	4459,88	2,69	439,21	0,29
34770000	835,14	666,46	-0,10	0,03	-16,35	2700,21	4,81	813,47	0,05
34789000	512,31	1159,11	0,23	0,65	25,41	1649,90	6,39	1366,03	-0,28
34879500	1841,57	1115,02	0,05	0,19	618,14	3900,56	4,56	1332,35	-0,10
34940000	421,54	821,82	0,60	0,65	92,43	1435,46	1,53	196,05	-0,08
35235000	-387,89	135,87	-0,31	7,99	1,09	0,00	0,00	16,47	0,76
35240000	-1132,89	1625,43	0,66	2,58	-38,35	0,00	0,00	326,73	0,02
35260000	-787,52	960,28	0,63	3,20	-17,33	0,00	0,00	127,12	0,17
36125000	-5,59	91,64	-0,13	1,24	11,04	0,00	0,00	78,63	0,18
36160000	-240,51	517,85	-0,23	1,64	-5,38	0,00	0,00	367,48	0,35
36250000	-70,07	137,57	0,08	1,80	7,04	-199,74	0,86	232,29	-0,22
36580000	-1262,53	945,52	0,08	4,24	-13,24	0,00	0,00	151,92	0,49
37220000	14,58	23,56	-0,04	0,34	-0,30	39,55	0,19	0,00	0,00
37470000	-1755,08	1790,84	0,08	2,92	-12,09	0,00	0,00	521,67	0,35
38170000	-571,28	631,37	0,68	4,07	-8,90	0,00	0,00	46,20	0,29
38485000	-111,27	106,91	-0,07	2,76	-5,66	0,00	0,00	39,12	0,40
38790000	-283,38	503,45	0,36	1,97	-5,31	0,00	0,00	207,77	0,01
38830000	NA	NA	NA	NA	7,67	128,14	0,44	30,27	0,68
38850000	27,24	107,19	-0,41	0,66	-2,33	0,00	0,00	124,53	0,36
38860000	-2372,78	998,85	-0,08	8,75	-16,86	0,00	0,00	64,24	0,74
38895000	-623,15	599,54	-0,27	2,56	-31,73	0,00	0,00	287,95	0,49
39083000	48,63	53,16	0,03	0,36	7,86	107,22	3,37	56,47	-0,04
39084010	56,27	40,42	0,01	-0,09	-0,76	150,32	1,09	0,81	0,87
39084020	NA	NA	NA	NA	6,08	204,64	1,56	1,45	0,89
39140000	-89,86	95,82	-0,23	2,41	-4,15	0,00	0,00	47,31	0,45
39145000	-372,30	291,13	-0,18	3,24	-12,33	0,00	0,00	97,33	0,50
39150000	-126,46	232,76	0,17	1,90	2,20	0,00	0,00	113,72	0,11

39170000	-259,84	403,91	0,62	2,32	-9,42	103,75	0,03	0,00	0,00
39200000	45,53	138,56	0,18	0,94	38,88	146,24	0,21	0,00	0,00
39480000	NA	NA	NA	NA	0,33	2682,90	24,62	56,25	-0,35
39560000	75,04	254,13	0,05	0,92	58,11	271,41	0,08	0,00	0,00
39580000	87,26	38,35	0,02	-0,01	43,80	94,25	0,46	0,00	0,00
39760000	443,79	184,02	-0,11	-0,66	-20,12	1513,48	4,07	207,91	0,10
39770000	NA	NA	NA	NA	16,08	1190,95	2,86	105,80	0,50
39870000	195,89	249,99	0,07	0,31	19,04	470,59	0,38	0,00	0,00
40025000	36,99	57,41	0,29	0,74	23,64	75,32	0,42	0,00	0,00
40032000	84,98	66,37	0,18	0,49	45,08	105,73	2,57	60,66	-0,13
40050000	411,48	289,85	0,40	0,64	270,70	774,53	11,07	372,36	-0,50
40053000	30,70	31,11	0,44	0,40	3,73	103,06	5,86	40,87	-0,53
40070000	600,28	185,88	-0,29	0,04	436,93	0,00	0,00	316,80	0,09
40100000	NA	NA	NA	NA	-123,37	35656,90	50,09	270,74	0,31
40185000	46,74	157,33	0,10	1,08	56,71	147,07	0,07	0,00	0,00
40269900	9,93	11,28	0,14	0,54	4,98	17,48	0,36	0,00	0,00
40500000	35,34	25,56	0,05	0,17	12,61	54,48	0,42	0,00	0,00
40549998	31,63	39,70	0,03	0,79	24,40	47,20	0,11	0,00	0,00
40579995	86,93	30,09	-0,10	-0,71	8,67	241,61	3,47	28,40	0,16
40680000	33,04	27,97	-0,35	0,53	22,09	0,00	0,00	35,27	0,27
40710000	216,07	163,16	-0,30	0,58	158,94	0,00	0,00	203,57	0,22
40740000	315,12	137,23	-0,37	-0,15	142,99	373,62	3,15	147,37	0,36
40800001	NA	NA	NA	NA	223,11	488,75	3,48	110,29	0,50
40810350	0,51	1,09	0,25	1,01	0,52	1,08	0,25	0,00	0,00
40822995	5,77	18,15	0,63	0,89	4,08	20,95	0,71	0,00	0,00
40823500	8,58	29,32	0,28	0,84	3,50	16,57	6,81	31,87	-0,31
40930000	NA	NA	NA	NA	56,18	351,18	2,00	26,59	0,51
41050000	39,54	277,46	0,33	1,18	77,91	230,31	0,24	0,00	0,00

41075001	682,69	337,03	0,03	-0,02	188,00	1586,80	4,07	377,57	-0,04
41135000	767,84	3019,43	0,55	1,00	772,79	3011,91	0,55	0,00	0,00
41180000	63,86	24,94	-0,34	-0,77	18,16	85,11	1,00	8,45	0,61
41260000	270,81	369,39	0,31	0,74	163,34	339,98	6,06	419,07	-0,35
41300000	NA	NA	NA	NA	19,62	276,66	3,10	26,07	0,28
41340000	400,63	364,51	0,20	0,51	188,90	563,65	3,02	364,83	-0,18
41380000	30,51	140,98	0,60	0,97	27,56	145,65	0,62	0,00	0,00
41410000	589,83	331,12	0,21	0,15	203,08	1192,75	2,09	139,02	0,14
41440005	21,27	9,99	-0,12	-0,06	10,32	21,79	0,23	0,00	0,00
41600000	640,67	210,00	0,02	-0,37	189,70	1422,56	3,03	146,62	0,16
41650002	657,95	406,85	0,25	0,22	226,59	1358,08	1,94	142,01	0,16
41818000	1162,68	370,82	0,19	-0,23	278,44	4219,19	6,35	536,49	-0,29
41890000	177,86	227,52	0,47	0,44	17,17	580,39	1,77	56,63	0,07
42089998	182,67	94,79	-0,45	-0,07	49,14	923,65	13,14	118,57	0,39
42145498	NA	NA	NA	NA	123,15	848,16	2,95	46,79	0,65
42187000	NA	NA	NA	NA	0,19	343,64	16,51	11,46	0,40
42365000	363,11	118,37	0,03	-0,41	92,76	877,33	3,12	80,77	0,15
42545002	55,31	76,65	0,29	0,37	-4,23	200,24	1,26	6,01	0,49
42545500	NA	NA	NA	NA	26,38	162,90	0,97	0,06	0,99
42840000	24,99	16,63	0,24	0,20	-0,32	236,65	15,75	27,90	-0,45
43250002	276,93	105,70	0,23	0,40	210,06	201,06	0,56	0,00	0,00
43675000	323,74	194,15	-0,10	0,26	185,94	333,63	0,13	0,00	0,00
44670000	-6218,79	11606,90	1,71	4,42	7,85	0,00	0,00	144,16	0,12
45770000	99,24	28,85	-0,15	0,17	-58,68	23718,58	169,80	42,20	0,02
47900000	0,74	3,86	-0,18	0,93	0,51	0,00	0,00	4,05	0,16
48880000	11,10	20,44	-0,69	0,27	-0,30	0,00	0,00	24,10	0,66
50040000	-2,49	58,49	0,53	1,03	-1,27	56,67	0,52	0,00	0,00
50043000	23,91	7,62	0,23	-0,46	-5,68	222,49	10,25	15,66	-0,50

50047000	25,91	24,84	-0,59	0,02	2,67	40,14	2,97	25,99	0,58
50080000	-83,98	265,96	1,17	1,54	-1,47	111,69	0,69	0,00	0,00
50146000	-1,04	11,74	-0,36	1,04	-0,66	0,00	0,00	11,51	0,37
50150000	-16,35	19,57	-0,56	2,01	-1,61	0,00	0,00	14,16	0,64
50191000	NA	NA	NA	NA	-25,94	591,32	1,19	62,39	0,66
50230000	-72,50	178,70	0,18	1,67	6,06	0,00	0,00	102,53	0,05
50250000	5,85	79,38	0,39	0,92	0,63	86,58	0,43	0,00	0,00
50380000	56,00	22,63	-0,05	-0,67	-6,89	225,45	4,37	25,78	0,05
50420000	1,02	29,07	-0,41	1,08	2,75	0,00	0,00	28,13	0,42
50520000	93,20	113,46	-0,36	0,22	-18,04	571,77	9,99	137,18	0,30
50540000	-32,64	321,74	0,01	1,11	-5,06	0,00	0,00	295,87	0,02
50620000	-8,30	21,90	-0,42	1,56	0,85	0,00	0,00	17,35	0,49
50660000	41,55	39,25	-0,10	0,32	-19,31	1623,50	39,45	54,04	-0,01
50720000	-69,09	93,84	0,40	2,48	-1,56	0,00	0,00	25,83	0,12
50740000	-62,10	154,22	1,17	1,78	-1,43	46,44	0,54	0,00	0,00
50755000	-70,04	221,25	0,50	1,54	6,38	123,59	0,23	0,00	0,00
50785000	79,73	148,93	0,26	0,59	11,43	182,80	2,51	136,65	-0,21
50820000	8,39	77,55	0,09	0,87	0,17	86,43	0,14	0,00	0,00
51120000	198,16	136,91	0,20	0,26	30,28	1104,24	11,53	209,59	-0,37
51140000	NA	NA	NA	NA	17,70	146,31	0,28	1,19	0,94
51230000	-135,81	577,13	0,90	1,44	25,91	308,25	0,56	0,00	0,00
51280000	-1379,32	2757,78	0,93	2,26	121,36	573,60	0,20	0,00	0,00
51330000	216,47	392,59	0,03	0,78	143,54	468,09	0,11	0,00	0,00
51350000	-276,46	864,58	-0,01	1,70	131,91	0,00	0,00	532,22	0,19
51430000	-370,18	467,29	0,54	2,85	-11,04	0,00	0,00	86,94	0,14
51440000	-395,72	424,73	0,10	2,74	-12,15	0,00	0,00	132,12	0,31
51460000	-144,28	436,14	-0,42	1,40	-13,40	0,00	0,00	369,40	0,47
51560000	86,98	37,22	-0,21	-0,30	27,57	143,90	2,67	34,28	0,26

51650000	17,75	24,65	0,08	0,66	10,12	33,26	0,21	0,00	0,00
51870000	28,73	9,51	-0,22	-0,04	-1,53	1358,83	59,14	14,28	0,09
51890000	94,49	59,43	0,07	0,32	47,67	139,73	0,97	7,72	0,50
52270000	-319,04	895,49	0,22	1,57	22,04	544,45	0,01	0,00	0,00
52404000	-492,99	1041,82	0,22	1,78	15,81	0,00	0,00	541,66	0,05
52405000	-200,98	897,35	0,24	1,41	56,43	618,32	0,08	0,00	0,00
53050000	58,92	42,28	0,06	0,37	15,96	383,38	16,04	59,05	-0,18
53091000	NA	NA	NA	NA	53,33	600,38	8,36	77,58	0,24
53160000	-425,57	1000,44	0,89	1,74	9,46	-779,02	2,45	854,57	-0,85
53170000	-539,86	1955,06	1,13	1,45	48,37	-1104,49	4,37	1407,69	-1,00
53780000	46,94	84,07	0,00	0,66	22,00	109,78	0,11	0,00	0,00
54165000	73,77	99,99	0,09	0,57	-13,26	2052,89	37,12	129,50	-0,19
54230000	158,78	152,57	-0,04	0,58	94,75	228,85	0,46	20,94	0,50
54590000	32,58	27,27	-0,08	0,21	-11,20	789,89	28,31	39,61	-0,06
55170000	-471,13	1195,19	1,47	2,11	49,70	191,34	0,51	0,00	0,00
55340000	135,92	72,52	0,04	0,11	48,83	258,29	3,67	77,69	-0,04
55370000	74,88	71,89	0,28	0,68	53,13	101,48	0,45	0,00	0,00
55380000	89,35	51,59	0,15	0,42	58,93	91,51	0,44	0,00	0,00
55460000	NA	NA	NA	NA	20,47	519,64	5,86	34,12	-0,02
55490000	NA	NA	NA	NA	-83,88	5674,91	29,98	99,98	-0,21
55520001	49,02	40,20	0,58	0,26	-7,56	348,06	9,94	69,99	-0,82
55560000	196,94	112,59	-0,04	0,02	79,73	250,76	0,33	0,00	0,00
55610000	32,13	88,47	0,23	0,85	20,94	102,23	0,29	0,00	0,00
55630000	270,96	222,16	0,15	0,34	13,49	2705,27	18,27	330,86	-0,31
55660000	51,65	78,49	0,01	0,71	31,74	99,03	0,11	0,00	0,00
55699998	356,21	345,66	0,00	0,42	116,93	687,09	4,62	400,39	-0,04
55790000	39,73	37,54	0,16	0,55	23,47	58,25	0,38	0,00	0,00
55850000	217,45	196,26	-0,11	0,46	121,30	288,64	0,06	0,00	0,00

55895000	140,90	75,32	0,18	0,20	63,40	236,71	1,34	7,75	0,52
55900000	NA	NA	NA	NA	-0,73	176,13	11,97	10,68	-0,15
55920000	207,64	221,45	0,29	0,62	126,72	335,15	0,50	0,00	0,00
56055000	99,98	34,47	0,19	-0,02	-0,90	2237,28	31,85	69,19	-0,48
56065000	25,67	10,83	0,14	-0,05	6,19	93,46	7,27	16,35	-0,27
56075000	261,89	102,00	-0,08	0,15	174,40	196,75	0,22	0,00	0,00
56085000	33,64	22,61	0,15	0,32	8,92	183,17	13,30	33,16	-0,29
56110005	353,84	201,08	-0,20	0,32	198,91	365,90	3,46	217,75	0,19
56240000	49,46	80,17	-0,11	0,92	44,47	0,00	0,00	84,44	0,09
56337000	55,90	70,30	0,08	0,69	36,53	91,96	0,20	0,00	0,00
56385000	53,46	10,64	-0,02	-0,93	3,27	484,05	14,30	25,03	-0,29
56415000	NA	NA	NA	NA	-33,26	3889,14	28,70	78,31	0,21
56425000	614,16	246,60	-0,12	-0,11	241,24	1211,00	4,81	304,99	0,07
56460000	54,53	25,44	0,16	0,22	32,39	57,02	0,58	0,00	0,00
56484998	NA	NA	NA	NA	-104,68	9795,38	56,39	50,57	0,27
56510000	135,86	63,44	-0,25	-0,23	60,91	130,08	0,03	0,00	0,00
56539000	774,46	327,54	-0,04	0,11	311,06	3060,18	11,57	479,88	-0,10
56570000	72,64	30,28	0,10	-0,35	4,23	224,16	2,76	13,05	0,25
56610000	159,79	79,97	0,06	-0,13	25,98	411,68	3,01	62,59	0,07
56640000	28,22	208,91	0,68	1,03	33,10	200,90	0,66	0,00	0,00
56659998	308,69	291,43	0,31	0,36	81,51	760,12	1,09	1,59	0,90
56696000	412,11	293,51	0,16	0,24	129,00	844,39	1,58	89,69	0,26
56719998	NA	NA	NA	NA	-8264,78	2705412,70	294,14	605,56	0,09
56765000	108,48	68,60	0,10	0,13	33,32	216,38	1,11	2,66	0,74
56775000	715,07	247,24	-0,11	-0,57	198,08	1265,16	1,33	17,88	0,77
56787000	NA	NA	NA	NA	60,27	521,73	3,58	21,64	0,68
56800000	NA	NA	NA	NA	19,52	526,11	9,77	47,19	0,06
56825000	914,81	361,11	0,39	-0,08	180,18	2827,62	3,22	136,74	0,09

56845000	46,92	20,61	-0,08	-0,07	12,42	192,58	9,50	30,62	-0,05
56846000	59,59	69,07	0,41	0,66	36,67	104,08	0,62	0,00	0,00
56850000	NA	NA	NA	NA	464,29	13754,96	9,31	845,35	0,04
56851000	25,94	20,60	0,11	0,22	4,26	67,01	4,08	23,33	-0,14
56870000	NA	NA	NA	NA	-2,99	385,72	12,68	19,83	0,26
56920000	NA	NA	NA	NA	868,31	7871,65	3,95	600,74	0,20
56935000	50,87	68,31	0,00	1,00	50,92	68,26	0,00	0,00	0,00
56940002	NA	NA	NA	NA	41,58	642,54	4,30	101,45	0,29
56960005	NA	NA	NA	NA	6,67	800,04	10,70	43,94	0,11
56976000	158,58	154,30	0,53	0,59	92,18	269,39	0,85	0,00	0,00
56978000	180,30	132,10	0,25	0,43	73,47	531,00	9,15	181,34	-0,37
56983000	39,31	4,68	0,09	-0,85	-66,32	13594,35	141,25	16,21	-0,64
56988500	112,79	93,88	0,31	0,55	71,00	154,99	0,57	0,00	0,00
56989001	85,10	77,99	0,02	0,35	34,71	136,38	0,28	0,00	0,00
56989400	218,24	153,79	0,01	0,30	63,19	846,36	10,00	208,80	-0,11
56990000	NA	NA	NA	NA	16,72	5780,43	14,56	231,59	-0,04
56990990	43,12	32,61	0,11	0,29	18,84	64,53	0,45	0,00	0,00
56991500	NA	NA	NA	NA	34,89	291,72	3,74	32,81	0,40
56992000	167,28	88,60	0,08	0,02	16,09	1010,81	11,16	142,12	-0,25
56993551	84,18	37,04	-0,07	-0,15	23,21	203,80	4,70	45,57	0,02
56994500	3026,49	1909,12	0,02	0,39	467,30	62269,67	36,94	2668,68	-0,14
56995500	NA	NA	NA	NA	7,10	831,95	10,74	35,39	0,26
56998400	104,20	26,15	-0,13	-0,80	8,92	938,93	15,63	52,50	-0,11
57040008	NA	NA	NA	NA	1,16	89,81	6,11	2,25	0,28
57130000	NA	NA	NA	NA	14,02	315,33	4,18	17,94	0,25
57170000	NA	NA	NA	NA	14,98	365,56	12,19	25,27	-0,13
57250000	19,23	12,97	0,31	0,56	13,59	21,18	0,57	0,00	0,00
57300000	NA	NA	NA	NA	16,02	135,46	3,07	8,43	0,31

57320000	24,60	38,40	-0,13	0,72	15,58	0,00	0,00	46,26	0,06
57350000	32,64	17,68	0,15	0,12	3,04	277,76	15,63	29,56	-0,35
57360000	52,01	13,90	-0,11	-0,57	-20,47	2464,71	45,19	28,79	-0,16
57370000	NA	NA	NA	NA	12,79	356,92	6,45	29,55	0,07
57400000	108,99	36,28	0,08	-0,04	64,30	99,54	0,60	0,00	0,00
57420000	103,00	63,87	0,26	0,30	3,25	1837,63	28,94	105,64	-0,47
57450000	274,04	278,22	0,33	0,58	10,60	7935,87	45,70	385,30	-0,47
57476500	77,49	18,68	-0,11	-0,82	18,28	302,62	7,89	32,25	-0,06
57490000	NA	NA	NA	NA	39,54	360,98	4,97	21,91	0,23
57550000	NA	NA	NA	NA	50,93	616,99	7,88	44,35	0,03
57580000	392,99	190,14	0,55	0,22	-18,07	8358,37	30,59	401,88	-0,90
57700000	30,76	28,26	0,25	0,62	20,47	42,18	0,45	0,00	0,00
57740000	64,96	19,56	0,06	-0,02	30,69	214,65	10,38	31,14	-0,22
57770000	NA	NA	NA	NA	3,73	85,13	6,92	10,76	0,07
57830000	234,24	149,11	0,20	0,25	110,73	329,22	0,61	0,00	0,00
57880000	43,82	28,86	-0,13	0,16	17,63	67,46	0,48	0,07	0,98
57930000	143,57	312,26	0,47	0,93	123,79	341,24	0,51	0,00	0,00
58030000	NA	NA	NA	NA	13,15	394,26	12,82	11,86	-0,04
58040000	95,67	57,42	0,33	0,56	70,26	95,23	0,60	0,00	0,00
58060000	27,57	27,06	-0,48	0,92	25,84	0,00	0,00	27,92	0,47
58096000	NA	NA	NA	NA	66,95	1017,22	14,08	17,26	0,19
58183000	229,04	199,37	0,29	0,91	214,54	217,96	0,34	0,00	0,00
58204000	256,39	215,65	0,32	0,92	240,99	235,86	0,37	0,00	0,00
58235100	421,15	298,09	0,30	0,62	311,89	452,90	0,52	0,00	0,00
58242000	395,96	212,22	0,25	0,48	283,30	372,44	0,54	0,00	0,00
58258000	-40,50	142,15	0,28	1,58	13,75	83,85	0,05	0,00	0,00
58270000	36,65	27,96	0,39	0,44	19,69	55,70	0,77	0,00	0,00
58305001	662,88	242,21	0,04	-0,04	332,92	906,77	1,26	17,10	0,68

58405000	80,62	47,25	0,32	0,31	36,32	139,43	3,12	41,68	-0,23
58420000	114,77	72,49	0,14	0,20	-436,75	113972,18	227,09	125,95	-0,37
58425000	15,37	190,93	0,60	1,18	41,10	152,66	0,48	0,00	0,00
58434000	23,81	8,84	-0,24	-0,20	-24,86	4061,18	99,84	14,10	0,08
58440000	NA	NA	NA	NA	25,78	1946,30	8,60	63,16	0,38
58480500	84,57	53,30	0,23	0,50	41,28	428,96	18,09	73,89	-0,36
58500000	0,02	24,59	-0,14	1,41	7,38	0,00	0,00	19,10	0,23
58516500	138,82	100,10	0,20	0,52	68,11	506,17	13,67	133,81	-0,32
58520000	239,54	113,61	0,28	0,44	146,49	528,81	10,58	159,16	-0,41
58525000	NA	NA	NA	NA	10,79	29,82	0,89	1,21	0,79
58530000	52,15	22,76	-0,06	0,16	30,47	57,77	0,70	0,78	0,80
58542000	60,02	22,04	0,15	-0,02	24,69	127,00	4,47	25,31	-0,17
58550001	201,02	116,82	0,25	0,36	110,84	295,75	1,03	1,82	0,80
58560000	13,62	21,19	0,76	0,87	11,06	25,84	0,87	0,00	0,00
58573000	28,58	16,34	0,08	0,16	0,67	379,54	21,97	26,39	-0,26
58585000	295,89	213,59	0,45	0,47	159,37	512,00	1,43	23,22	0,30
58610000	60,14	31,51	0,38	0,21	23,16	126,01	2,92	20,59	-0,15
58630002	1104,58	1128,80	0,88	0,56	526,24	2422,75	1,38	0,00	0,00
58645000	41,90	15,86	-0,21	-0,20	14,10	150,52	9,52	22,75	0,10
58658000	-121,01	312,83	0,59	1,61	-3,69	155,89	0,26	0,00	0,00
58670002	-142,24	210,46	0,30	2,42	11,49	0,00	0,00	65,92	0,16
58710000	33,42	159,11	0,78	1,00	33,51	158,96	0,78	0,00	0,00
58730001	169,16	74,45	0,23	0,06	57,43	405,60	4,41	83,61	-0,23
58735000	NA	NA	NA	NA	56,83	650,33	4,85	67,31	0,07
58755000	73,42	37,10	0,03	0,27	45,75	70,33	0,33	0,00	0,00
58765001	157,17	96,71	0,18	0,21	71,61	221,57	0,62	0,00	0,00
58770000	212,04	607,97	0,71	0,96	192,21	641,85	0,74	0,00	0,00
58795000	1704,41	1051,25	0,17	0,34	795,37	2862,18	4,51	1240,17	-0,22

58825000	50,05	22,92	-0,29	-0,31	17,18	67,54	1,10	9,34	0,53
58826000	37,41	20,10	-0,19	-0,05	16,85	39,68	0,09	0,00	0,00
58827000	70,13	37,58	0,22	0,27	29,67	169,81	6,87	51,87	-0,33
58846000	119,47	99,22	0,14	0,31	34,75	237,96	2,01	62,72	0,05
58850000	172,19	74,02	-0,16	-0,40	27,29	481,18	4,85	94,30	0,10
58857000	32,46	15,78	-0,06	-0,14	-4,28	457,79	19,76	26,78	-0,13
58870000	39,02	47,12	0,05	0,62	-390,49	382062,13	917,82	58,98	-0,13
58874000	32,82	219,24	-0,39	1,31	85,31	0,00	0,00	190,85	0,43
58880001	1104,38	2462,71	0,38	0,96	1020,13	2576,76	0,40	0,00	0,00
58910000	18,67	5,38	0,12	-0,16	8,58	34,13	3,48	4,53	0,00
58916000	57,29	7,80	-0,01	-0,53	25,73	483,98	22,38	17,00	-0,29
58917000	73,80	77,06	0,56	0,65	40,80	106,48	5,16	90,92	-0,61
58920000	188,37	209,95	0,31	0,71	-309,94	139489,87	308,86	264,14	-0,41
58930000	55,01	42,85	-0,14	0,59	39,69	0,00	0,00	56,53	0,03
58934000	109,57	61,69	-0,44	-0,05	-122,70	17523,91	93,11	80,54	0,37
58940000	244,94	429,80	0,56	0,91	211,03	483,33	0,63	0,00	0,00
58960000	394,46	281,44	0,26	0,44	168,82	1157,35	9,50	387,70	-0,38
58974000	2221,27	1461,01	0,12	0,34	-134,45	63833,06	39,99	2217,33	-0,28
59120000	9,74	31,28	0,34	0,97	8,90	32,38	0,36	0,00	0,00
59125000	30,41	12,56	-0,12	-0,30	-4,09	476,62	21,49	21,91	-0,08
59135000	16,69	4,48	-0,17	-0,44	8,01	24,87	3,66	4,91	0,16
59181000	88,56	43,49	0,33	0,46	60,39	91,23	1,77	19,89	-0,02
59240000	47,05	58,73	0,25	0,87	38,37	36,57	9,31	63,35	-0,28
59370000	-16,82	236,87	0,32	1,47	58,58	151,12	0,12	0,00	0,00
60010000	182,01	93,80	0,42	0,29	101,12	238,16	0,96	0,00	0,00
60011000	206,16	119,72	-0,01	0,36	106,38	390,26	7,08	151,55	-0,07
60100000	14,20	6,97	0,01	-0,06	2,77	49,72	6,85	9,91	-0,12
60145000	NA	NA	NA	NA	2,63	18,45	3,41	2,31	0,40

60150000	50,38	44,41	0,00	0,70	38,62	56,52	0,11	0,00	0,00
60220000	204,19	149,66	-0,14	0,32	110,05	238,52	0,05	0,00	0,00
60435000	11,39	7,40	-0,06	0,43	7,42	11,49	0,13	0,00	0,00
60435100	NA	NA	NA	NA	0,32	27,70	24,30	0,78	-0,13
60435150	0,81	0,42	0,29	0,73	0,71	0,55	0,43	0,00	0,00
60435300	NA	NA	NA	NA	0,68	7,86	4,09	1,67	0,26
60435400	NA	NA	NA	NA	4,31	4,25	0,32	0,00	0,00
60473000	NA	NA	NA	NA	4,04	30,53	6,37	3,45	0,26
60476100	NA	NA	NA	NA	-7,35	1161,03	29,78	24,32	-0,16
60477400	18,13	8,09	-0,05	-0,28	3,25	43,78	3,11	7,08	0,13
60477600	NA	NA	NA	NA	3,27	16,57	1,60	0,23	0,82
60540000	115,82	132,41	-0,01	1,15	130,82	0,00	0,00	118,72	0,05
60615000	9,79	10,52	0,28	0,71	6,94	14,37	0,43	0,00	0,00
60640000	43,06	82,31	0,90	1,17	53,37	63,87	0,75	0,00	0,00
60642000	31,29	16,92	0,70	0,36	15,06	63,67	2,73	6,20	-0,20
60654000	58,21	17,14	0,38	0,19	33,82	129,73	8,47	27,27	-0,55
60665000	106,45	50,58	0,40	0,23	43,25	273,07	6,38	71,38	-0,52
60680000	NA	NA	NA	NA	-8496,55	8698243,39	975,61	192,86	0,15
60772000	524,34	172,68	0,29	0,36	373,12	499,98	4,57	204,28	-0,34
60810000	53,96	29,73	0,19	0,45	32,66	81,00	6,74	37,91	-0,27
60835000	87,88	65,81	0,27	0,52	48,33	124,38	4,98	78,26	-0,33
60850000	223,39	73,42	0,20	-0,27	53,44	617,27	3,28	38,85	0,11
60855000	372,75	259,15	0,26	0,46	148,56	1891,01	15,53	369,96	-0,40
60870000	NA	NA	NA	NA	52,72	203,54	2,43	8,18	0,54
60910000	64,89	27,36	-0,13	-0,09	18,04	299,86	11,07	40,67	0,00
60925001	148,44	79,06	-0,05	-0,05	-6,10	1582,16	16,85	127,41	-0,12
60930000	49,81	7,63	0,00	-0,18	33,53	112,70	11,25	12,75	-0,18
60950000	232,78	44,47	0,05	-0,06	164,97	207,54	3,30	41,14	0,02

60968000	202,02	55,51	0,25	0,24	142,97	188,74	3,68	56,95	-0,22
60970000	241,68	52,86	-0,02	-0,08	165,87	205,17	2,20	32,55	0,21
61009000	43,39	40,25	0,23	0,55	25,82	64,03	0,46	0,00	0,00
61012000	NA	NA	NA	NA	15,81	3098,17	25,55	84,58	0,02
61014000	30,75	33,75	0,39	0,68	20,43	49,17	0,59	0,00	0,00
61024000	99,06	42,67	-0,24	-0,20	34,70	188,95	4,56	51,62	0,20
61031000	5,86	20,51	0,23	1,14	8,11	17,94	0,17	0,00	0,00
61045000	31,15	20,13	1,49	0,54	16,16	78,57	3,25	2,06	-0,26
61052000	NA	NA	NA	NA	11,39	315,67	17,83	6,83	-0,18
61060000	161,86	74,14	-0,29	0,52	131,44	0,00	0,00	96,54	0,19
61075000	67,23	73,30	-0,04	0,92	62,26	0,00	0,00	77,89	0,02
61078000	NA	NA	NA	NA	70,09	795,99	10,53	38,34	0,43
61085000	44,02	46,77	0,22	1,07	46,74	43,65	0,19	0,00	0,00
61090000	85,12	64,63	0,47	0,74	69,09	89,78	0,65	0,00	0,00
61100000	NA	NA	NA	NA	9,50	48,05	16,76	1,59	0,34
61105000	-8,00	198,97	1,29	1,41	42,49	96,21	0,87	0,00	0,00
61107000	217,83	104,09	-0,05	0,27	120,93	312,27	5,30	126,95	-0,01
61115000	71,11	65,23	0,09	0,52	19,68	599,13	20,81	85,77	-0,19
61122000	4,39	80,01	0,08	1,17	14,64	69,84	0,03	0,00	0,00
61135000	112,80	460,20	0,06	1,54	283,58	0,00	0,00	306,66	0,10
61175000	NA	NA	NA	NA	44,74	77,72	1,78	23,84	0,76
61202000	153,38	95,24	0,18	0,39	70,74	385,13	8,43	129,34	-0,29
61267000	NA	NA	NA	NA	1,24	49,53	8,83	3,20	0,69
61271000	107,14	35,08	0,16	-0,14	33,53	366,21	7,23	54,24	-0,30
61285000	68,15	16,37	0,34	-0,12	27,70	246,26	8,58	28,84	-0,55
61295000	23,43	17,60	0,18	0,19	4,91	56,43	1,53	3,38	0,37
61305000	NA	NA	NA	NA	43,17	1504,86	10,61	78,34	-0,35
61350000	108,73	76,86	-0,06	0,31	57,78	130,89	0,18	0,00	0,00

61370000	NA	NA	NA	NA	-372,16	95503,36	224,92	38,66	-0,46
61390000	49,98	13,47	0,25	-0,22	-10,91	1564,60	34,70	33,61	-0,66
61410000	548,62	143,83	-0,13	-0,69	-18,69	8544,39	22,70	293,18	-0,13
61425000	NA	NA	NA	NA	118,44	2453,14	7,42	89,26	0,25
61460000	182,87	50,50	0,07	-0,51	54,67	397,61	2,28	8,50	0,54
61473000	NA	NA	NA	NA	12,29	339,09	5,16	24,38	0,02
61500000	73,76	30,78	0,09	0,07	37,16	102,01	1,04	0,14	0,95
61510000	NA	NA	NA	NA	-18,48	6190,78	22,59	196,00	-0,01
61537000	NA	NA	NA	NA	132,37	5100,43	19,75	193,62	0,12
61610000	66,34	13,95	0,10	-0,11	43,30	69,94	2,31	6,01	0,23
61700000	43,18	63,68	0,27	0,68	14,52	226,65	15,73	78,88	-0,36
61770000	24,33	8,96	-0,01	-0,30	4,26	102,21	7,86	14,09	-0,13
61795000	65,36	236,21	0,41	1,12	86,58	208,10	0,34	0,00	0,00
61800500	33,58	10,37	0,46	-0,06	12,23	82,62	2,93	1,67	0,32
61815000	5,21	8,23	-0,13	0,90	4,51	0,00	0,00	8,82	0,10
61826000	48,87	23,35	0,27	0,25	24,57	76,08	2,70	16,68	-0,10
61861000	NA	NA	NA	NA	13,05	241,30	8,93	20,88	-0,09
61865000	NA	NA	NA	NA	38,45	147,19	6,80	10,56	-0,03
61879000	123,61	23,69	-0,20	-0,76	64,75	208,07	5,45	33,48	0,11
61886000	352,99	163,25	0,49	0,36	187,73	745,79	7,27	237,01	-0,63
61902000	NA	NA	NA	NA	237,65	1317,84	3,95	44,73	0,26
61910000	645,22	71,08	0,16	-0,98	237,03	2262,57	6,11	77,04	-0,08
61912000	612,99	137,19	0,39	-0,04	338,90	1153,92	4,59	134,29	-0,30
61913500	22,71	9,85	0,21	0,22	12,16	32,10	2,84	7,92	-0,09
61915000	678,77	185,57	0,36	0,04	353,56	1434,14	5,75	248,28	-0,43
61953001	26,94	44,10	0,07	0,65	12,81	59,92	0,21	0,00	0,00
61956001	47,53	31,06	-0,14	0,27	26,23	51,65	0,08	0,00	0,00
62395000	NA	NA	NA	NA	21,98	185,66	3,79	19,13	0,26

62420000	41,65	5,16	0,07	-0,72	15,79	330,18	18,15	12,94	-0,43
62477100	79,37	12,82	0,11	-0,62	31,02	290,63	8,09	22,81	-0,29
62490000	22,29	63,44	0,39	0,98	21,17	64,95	0,40	0,00	0,00
62496001	78,51	35,97	0,13	0,16	37,88	117,75	2,54	26,43	0,02
62615000	NA	NA	NA	NA	21,72	395,90	6,67	41,19	0,35
62622000	NA	NA	NA	NA	8,78	326,64	19,28	12,23	-0,01
62632000	-72345,06	8518,70	-0,53	24,72	-36,12	0,00	0,00	390,97	0,93
62709000	140,64	49,61	-0,27	0,04	-59,60	16564,70	99,98	70,59	0,15
62721000	76,80	28,98	0,08	-0,26	18,47	186,18	2,82	16,52	0,17
62760005	NA	NA	NA	NA	6,51	18,78	1,91	1,41	0,58
62760130	7,51	8,22	0,15	0,41	2,57	14,73	0,44	0,00	0,00
62760150	7,32	12,80	0,35	0,87	5,87	14,76	0,42	0,00	0,00
62772500	14,56	49,77	-0,02	1,48	31,46	0,00	0,00	35,62	0,15
62781000	NA	NA	NA	NA	7,57	38,88	2,81	2,58	0,74
63001200	NA	NA	NA	NA	31,51	4778,99	48,27	43,14	-0,24
63900001	232,18	75,17	0,02	0,38	186,99	126,89	0,26	0,00	0,00
63950100	121,96	48,15	-0,17	0,35	93,39	0,00	0,00	73,89	0,00
63950150	15,82	11,80	0,53	1,16	17,28	9,72	0,43	0,00	0,00
63950250	53,23	9,18	0,01	-0,26	26,48	347,81	19,86	17,60	-0,26
64040000	48,92	76,13	0,81	0,81	35,05	102,75	0,98	0,00	0,00
64065000	11,97	82,15	0,50	1,41	36,77	-126,69	1,22	161,88	-0,69
64231000	146,52	76,75	-0,53	-0,16	76,06	0,00	0,00	111,54	0,42
64315000	116,67	90,55	0,12	0,55	71,94	114,18	1,97	74,88	-0,04
64345000	36,68	14,66	0,14	0,17	20,08	49,73	3,25	13,97	-0,09
64370000	NA	NA	NA	NA	-779,77	80863,18	58,82	391,86	-0,07
64382000	NA	NA	NA	NA	48,71	1416,14	5,07	191,89	0,12
64395000	41,43	56,42	0,54	0,92	37,62	62,33	0,59	0,00	0,00
64442800	105,80	20,34	0,00	-0,69	42,47	261,37	5,19	26,14	-0,04

64447000	61,42	540,14	0,44	1,26	164,40	405,58	0,30	0,00	0,00
64465000	294,94	1031,97	0,80	0,95	250,39	1113,10	0,85	0,00	0,00
64477600	68,74	271,47	0,60	0,88	39,45	319,49	0,69	0,00	0,00
64501000	1837,71	689,83	-0,01	-0,29	282,94	8452,79	8,52	1109,63	-0,14
64507000	1825,12	925,20	-0,19	0,11	1044,67	1650,47	0,05	0,00	0,00
64575003	14496,30	4142,08	0,10	0,14	9147,93	22243,48	6,66	5717,79	-0,20
64609000	196,18	102,31	0,45	0,65	141,79	482,60	17,30	135,88	-0,57
64613000	86,85	140,05	0,32	1,20	108,02	114,33	0,23	0,00	0,00
64614000	680,01	222,97	0,25	0,21	404,50	1188,32	6,77	315,36	-0,37
64617000	545,92	463,71	0,23	0,94	522,90	491,50	0,26	0,00	0,00
64618000	34,27	3,76	0,12	-0,24	11,95	1149,09	63,86	8,60	-0,47
64619950	254,95	97,32	-0,04	-0,28	40,30	1255,25	9,42	157,63	-0,12
64620000	192,95	138,38	0,06	0,44	117,29	227,39	0,29	0,00	0,00
64625000	879,42	541,14	0,29	0,27	337,12	1702,21	2,95	441,14	-0,17
64645000	1319,36	1585,61	0,56	0,65	-353,71	95643,31	78,30	2236,56	-0,72
64652000	NA	NA	NA	NA	8,41	11917,40	20,42	236,67	0,31
64655000	NA	NA	NA	NA	947,22	5387,34	2,24	362,63	0,51
64673000	80,41	95,31	-0,14	1,15	91,30	0,00	0,00	86,74	0,17
64675002	4529,25	1692,95	-0,19	-0,38	1660,80	6699,98	1,75	898,50	0,40
64682000	26,83	23,60	0,24	0,85	23,71	27,51	0,32	0,00	0,00
64685000	4454,65	2195,35	-0,29	-0,14	1723,81	5546,56	1,30	1289,74	0,45
64693000	3523,55	3423,60	-0,17	0,51	2048,72	0,00	0,00	4711,95	0,04
64717000	NA	NA	NA	NA	207,45	192,08	1,24	6,90	0,72
64723000	70,83	18,38	0,19	-0,27	26,23	187,69	4,93	20,73	-0,18
64771500	NA	NA	NA	NA	699,72	3236,86	4,98	396,28	0,41
64773000	331,25	241,09	0,05	0,86	303,40	269,79	0,09	0,00	0,00
64785000	NA	NA	NA	NA	60,83	93,81	1,78	21,19	0,54
64799500	3159,00	1519,61	0,21	0,17	1053,04	11754,61	9,34	2351,09	-0,37

64810000	123,48	136,04	0,01	0,84	105,72	153,68	0,06	0,00	0,00
64815000	NA	NA	NA	NA	111,64	202,01	0,52	5,47	0,84
64820000	2819,48	967,83	-0,10	0,15	1817,95	2530,99	3,07	989,76	0,11
64830000	2777,09	2035,39	0,21	0,64	2089,70	2923,44	0,39	0,00	0,00
64843000	21505,32	2850,57	-0,16	-0,75	14585,88	19260,17	3,15	2673,76	0,22
65011400	NA	NA	NA	NA	1,98	225,29	13,39	6,42	0,25
65020995	1,54	1,52	0,47	0,50	0,58	3,18	2,35	0,98	-0,26
65024000	NA	NA	NA	NA	2,91	29,44	4,07	1,19	0,45
65025000	NA	NA	NA	NA	23,89	2746,20	22,62	90,45	0,06
65027000	28,22	8,36	0,20	-0,24	3,31	234,87	14,13	17,34	-0,49
65060000	73,59	406,65	-0,17	1,37	185,48	0,00	0,00	325,89	0,25
65094500	135,48	104,01	0,15	0,21	-2,79	964,02	12,11	160,61	-0,32
65095000	NA	NA	NA	NA	45,54	1133,66	5,24	44,49	0,35
65100000	NA	NA	NA	NA	9,72	2885,34	10,49	99,35	0,22
65136550	70,86	28,52	-0,26	-0,22	32,52	83,18	0,82	5,53	0,65
65180000	90,14	37,57	-0,13	-0,12	32,95	190,75	5,07	47,34	0,07
65220000	NA	NA	NA	NA	384,59	4122,24	4,47	343,45	0,28
65310000	NA	NA	NA	NA	480,17	6672,07	5,31	353,77	0,31
65365000	NA	NA	NA	NA	8,54	128,44	3,37	12,78	0,36
65855000	NA	NA	NA	NA	128,26	978,39	5,55	82,35	0,79
65925000	NA	NA	NA	NA	52,17	2107,21	6,37	185,54	0,04
65945000	89,13	27,50	-0,18	-0,63	17,17	418,45	9,77	45,57	0,02
65948000	183,51	119,52	0,00	0,07	63,87	265,71	0,38	0,00	0,00
65960000	NA	NA	NA	NA	227,86	6939,20	7,05	595,40	0,15
65979000	222,78	548,93	1,07	0,80	117,80	783,90	1,30	0,00	0,00
65993000	NA	NA	NA	NA	1203,13	28530,78	2,24	715,63	0,59
66006000	119,70	79,07	0,30	0,59	85,70	140,77	0,74	0,27	0,90
66008000	166,66	71,57	0,38	0,40	104,33	274,01	7,54	99,85	-0,50

66010000	560,18	178,36	0,04	0,02	286,60	1295,20	7,71	260,23	-0,17
66050000	387,08	129,91	0,25	0,51	306,30	278,04	5,90	160,35	-0,32
66065000	272,82	67,87	0,08	0,23	174,55	1196,41	20,31	104,42	-0,24
66070004	1326,53	171,99	-0,07	-0,74	877,29	1255,10	2,22	58,90	0,45
66072000	308,56	65,79	-0,05	-0,15	175,28	989,63	12,32	106,99	-0,12
66140000	510,57	76,79	0,21	-0,60	221,12	1285,98	4,40	46,59	0,09
66160000	700,42	197,34	0,17	0,12	206,23	13631,15	39,18	357,71	-0,42
66260001	NA	NA	NA	NA	991,70	3550,56	4,75	196,19	0,46
66280000	NA	NA	NA	NA	705,95	3265,43	14,13	135,00	-0,12
66360000	NA	NA	NA	NA	371,40	372,88	4,45	23,06	0,13
66370000	NA	NA	NA	NA	483,50	1004,43	8,05	69,69	-0,14
66380000	120,12	258,76	0,42	1,08	136,33	236,91	0,37	0,00	0,00
66520000	NA	NA	NA	NA	135,55	486,86	6,97	57,00	0,09
66800000	1791,45	174,66	0,03	-0,49	1265,70	3316,73	9,43	316,09	-0,23
66895000	2455,93	243,98	0,17	-0,57	1566,24	4516,16	6,06	320,72	-0,20
66910000	NA	NA	NA	NA	232,16	625,68	4,07	55,73	0,18
66926000	179,37	274,42	0,44	1,04	187,84	262,67	0,42	0,00	0,00
66941000	NA	NA	NA	NA	204,24	541,93	1,84	16,07	0,62
67170000	NA	NA	NA	NA	104,31	9602,03	29,41	169,74	-0,21
70100000	45,19	326,55	0,75	1,26	104,78	231,11	0,56	0,00	0,00
70200000	1023,81	524,82	0,08	0,15	433,29	1661,69	2,50	397,27	0,05
70300000	663,05	319,83	-0,05	-0,14	206,24	1141,39	0,92	1,50	0,97
70500000	NA	NA	NA	NA	51,71	1016,78	4,93	104,76	0,13
71200000	187,76	45,81	-0,10	-0,22	114,61	188,01	2,07	27,14	0,29
71250000	102,24	26,90	0,06	-0,19	49,82	204,85	5,27	34,87	-0,13
71300000	202,76	64,49	0,01	0,24	145,44	157,19	1,19	18,67	0,37
71350001	125,67	340,68	0,60	1,36	208,90	222,34	0,38	0,00	0,00
71383000	450,32	160,43	0,16	0,08	235,62	677,51	3,24	141,31	-0,07

71550000	1428,77	743,64	-0,23	-0,09	500,80	2030,46	1,89	567,78	0,32
72430000	302,79	233,76	0,11	0,46	152,81	406,79	3,76	257,12	-0,13
72630000	702,02	443,74	0,37	0,45	348,18	1669,82	8,50	618,83	-0,50
72680000	1072,04	565,01	0,17	0,28	527,31	1690,85	4,07	636,67	-0,19
72715000	221,64	62,07	-0,13	-0,41	-3,62	4956,80	31,66	115,38	-0,09
72810000	540,41	238,27	-0,02	0,02	287,62	545,15	0,37	0,00	0,00
72849000	902,56	400,66	-0,03	0,26	605,87	733,81	0,25	0,00	0,00
72870000	-71,17	339,88	0,28	1,53	49,07	208,71	0,07	0,00	0,00
73300000	224,40	71,86	-0,10	-0,62	31,04	890,09	7,03	112,95	-0,03
73330000	324,42	116,00	-0,24	-0,51	91,27	791,86	5,48	155,66	0,16
73350000	232,30	494,11	0,01	1,05	253,43	0,00	0,00	473,99	0,00
73550000	5058,50	10114,21	0,28	0,78	2195,26	18107,68	13,34	11688,09	-0,34
73600000	NA	NA	NA	NA	135,32	1111,56	3,84	117,72	0,24
73690001	175,96	126,04	0,10	0,13	31,81	410,52	2,11	71,65	0,13
73765000	138,46	97,60	-0,03	0,25	52,37	212,24	2,10	77,67	0,12
73780000	270,65	209,36	0,29	0,51	144,48	365,10	3,82	229,15	-0,30
73820000	NA	NA	NA	NA	196,89	731,84	1,13	20,64	0,73
73900000	NA	NA	NA	NA	66,03	311,59	1,84	27,92	0,63
73960000	1808,79	868,35	-0,06	0,07	512,16	8874,50	11,93	1281,13	-0,07
74100000	7970,77	9560,39	0,03	0,61	3667,93	12427,80	5,18	10852,36	-0,07
74205000	195,71	53,45	0,00	-0,52	-6,62	2632,22	19,33	114,19	-0,29
74270000	1448,12	1927,17	0,03	0,62	786,80	2642,95	0,17	0,00	0,00
74320000	340,47	138,53	-0,01	-0,19	96,98	767,10	3,68	141,45	0,04
74370000	587,08	195,42	-0,09	-0,37	175,61	1619,83	5,85	271,27	0,00
74460000	47,62	19,37	0,27	0,22	5,42	1186,81	40,39	34,77	-0,52
74470000	285,33	269,40	0,28	0,52	154,63	457,07	0,55	0,00	0,00
74700000	298,39	94,52	0,18	-0,10	102,00	1077,10	8,24	154,40	-0,35
74750000	NA	NA	NA	NA	32,71	310,52	4,07	20,38	0,50

74800000	9342,21	16645,19	0,10	0,84	6779,43	5507,47	2,41	16615,61	-0,10
74900000	NA	NA	NA	NA	101,46	2658,26	8,09	32,85	0,07
75155000	332,29	149,76	-0,55	-0,16	-205,16	36755,46	86,64	187,06	0,49
75200000	202,96	69,73	0,01	-0,19	89,56	308,58	1,48	8,67	0,61
75205000	143,10	32,25	-0,10	-0,40	77,58	202,72	3,79	34,63	0,10
75230000	NA	NA	NA	NA	324,07	2955,38	4,89	246,00	0,48
75295000	513,06	310,50	0,62	0,33	-110,34	17949,59	41,96	625,34	-0,96
75400000	322,99	261,78	-0,15	0,51	207,58	0,00	0,00	365,81	0,01
75450000	628,34	448,24	0,28	0,52	411,50	761,08	0,56	0,00	0,00
75500000	847,05	429,41	0,06	0,36	575,34	755,85	0,32	0,00	0,00
75550000	11383,51	5238,86	0,08	0,38	8131,18	9217,63	0,34	0,00	0,00
75600000	297,30	84,16	0,29	-0,12	114,82	796,60	5,22	100,22	-0,30
75700000	1350,76	335,25	0,15	-0,38	309,63	7259,23	10,12	641,03	-0,38
75780000	13387,16	4832,94	0,16	0,14	6720,13	33310,65	8,24	7199,71	-0,30
76085000	629,40	344,47	-0,29	0,37	439,69	0,00	0,00	487,62	0,16
76310000	1597,07	833,25	-0,01	-0,23	-164,70	9810,91	8,89	1330,39	-0,14
76440000	783,67	308,26	0,16	-0,05	300,78	1494,35	2,16	98,74	0,28
76460000	673,88	357,21	-0,02	-0,01	141,11	2156,40	6,43	489,21	-0,08
76500000	2937,71	901,40	-0,02	-0,50	237,18	19489,37	11,18	1674,61	-0,20
76560000	2600,72	1356,51	0,08	0,07	513,23	12567,24	10,17	2093,14	-0,23
76650000	401,77	234,75	0,17	0,19	-107,44	13704,96	38,84	403,91	-0,39
76742000	100,16	354,25	0,41	0,89	60,99	110,17	5,55	374,35	-0,43
76750000	629,73	794,22	1,13	0,61	230,63	1992,90	2,02	5,98	0,62
76800000	3822,24	1312,49	0,10	-0,25	850,11	13407,84	6,21	1883,18	-0,21
80200000	7,00	2,84	-0,19	0,03	-2,15	467,13	65,88	4,27	0,05
81019350	67,18	35,21	-0,15	-0,06	19,23	134,66	3,84	39,65	0,12
81102000	148,28	125,60	-0,06	0,31	52,85	261,51	0,81	25,84	0,49
81107000	34,58	477,06	0,20	1,31	142,43	362,20	0,08	0,00	0,00

81120000	13,62	67,31	-0,18	0,99	13,12	0,00	0,00	67,70	0,17
81125000	38,69	17,90	0,10	-0,11	5,20	144,95	6,24	25,39	-0,21
81135000	419,01	549,98	0,10	0,60	214,70	790,37	0,27	0,00	0,00
81140000	32,99	43,52	0,40	0,67	16,24	48,43	4,45	48,90	-0,43
81200000	NA	NA	NA	NA	-72,66	11019,15	17,20	469,13	-0,01
81335000	259,45	241,14	-0,08	0,46	140,20	359,22	0,09	0,00	0,00
81530000	110,05	136,77	0,12	0,86	93,62	155,10	0,18	0,00	0,00
81580000	73,62	33,03	-0,12	-0,36	3,18	327,62	7,46	49,55	-0,01
81585000	27,31	30,69	0,35	0,64	13,99	41,42	5,27	35,91	-0,40
81600000	197,43	37,86	0,05	-0,42	108,09	295,07	3,10	23,84	0,17
81615000	8,56	2,11	-0,13	0,02	6,46	4,29	0,18	0,00	0,00
81630000	237,82	67,43	0,26	-0,05	116,11	463,49	4,26	68,06	-0,21
82170000	167,23	109,83	-0,09	0,32	96,40	181,85	0,13	0,00	0,00
82320000	NA	NA	NA	NA	29,07	153,00	1,41	14,05	0,57
82350000	319,85	173,13	-0,28	0,24	202,40	0,00	0,00	264,68	0,13
82770000	126,47	51,68	-0,05	0,14	67,06	200,05	5,34	64,67	-0,01
83029900	NA	NA	NA	NA	6,34	1804,78	16,30	52,50	0,13
83050000	NA	NA	NA	NA	76,61	1792,48	14,71	93,52	-0,03
83069900	-122,66	239,69	0,29	1,98	13,70	0,00	0,00	102,88	0,06
83105000	52,72	137,80	0,24	0,90	41,43	151,61	0,28	0,00	0,00
83250000	NA	NA	NA	NA	140,46	0,00	0,00	103,89	0,45
83300200	650,57	192,07	-0,30	-0,31	415,31	0,00	0,00	385,70	0,03
83345000	318,19	455,05	-0,13	0,62	169,51	0,00	0,00	588,58	0,02
83520000	804,43	800,70	0,02	0,89	730,52	874,28	0,06	0,00	0,00
83660000	160,47	80,04	0,18	0,44	115,57	140,07	0,46	0,00	0,00
83675000	135,03	52,61	-0,05	-0,34	-0,11	1098,12	13,04	92,89	-0,15
83690000	NA	NA	NA	NA	65,04	16641,05	14,92	763,11	0,15
83800002	NA	NA	NA	NA	592,88	5527,70	4,79	918,12	0,22

83880000	48,17	29,39	0,38	0,39	28,09	62,70	0,81	0,00	0,00
84071000	-3,87	283,23	0,33	1,38	71,65	194,77	0,16	0,00	0,00
84100000	130,11	52,16	-0,21	-0,31	45,44	205,94	2,62	46,93	0,26
84249998	132,29	36,38	-0,12	-0,47	53,72	262,06	4,51	44,53	0,08
84520000	22,08	132,69	1,13	1,10	32,50	111,14	1,03	0,00	0,00
84551000	139,40	59,39	-0,09	-0,29	29,26	359,03	4,39	70,81	0,06
84559800	222,64	177,66	0,05	0,53	145,29	265,05	0,23	0,00	0,00
84580000	450,35	262,25	0,18	0,54	311,48	368,17	3,47	279,66	-0,19
84600000	103,84	102,86	0,31	0,50	51,38	180,88	0,61	0,00	0,00
84949800	565,85	323,05	0,36	0,25	231,88	1123,56	1,71	37,47	0,39
84950000	476,12	224,53	0,02	0,29	298,85	517,58	0,68	4,84	0,82
85400000	2660,56	380,09	0,29	-0,82	291,04	14177,40	6,19	283,80	-0,02
85470000	184,50	163,24	0,21	0,49	100,95	276,82	0,48	0,00	0,00
85480000	436,70	192,16	0,07	-0,12	53,24	2217,61	9,19	311,56	-0,24
85600000	782,99	417,17	-0,02	0,08	379,32	897,43	0,34	0,00	0,00
85610000	42,66	17,68	0,02	-0,40	6,06	99,55	1,52	0,45	0,86
85623000	299,88	99,16	0,41	-0,15	72,31	863,99	2,85	10,88	0,47
85642000	NA	NA	NA	NA	495,81	19298,14	9,36	287,85	0,21
85900000	4029,45	841,56	0,28	-0,43	1208,73	12902,02	4,63	604,04	-0,04
86100000	696,37	205,25	-0,10	-0,11	409,64	720,73	2,08	136,54	0,26
86160000	341,01	191,91	0,13	0,31	178,34	446,33	2,28	145,94	0,00
86410000	625,98	648,45	0,18	0,54	298,94	1083,99	1,12	212,12	0,17
86480000	417,48	366,47	0,48	0,50	218,53	709,24	0,86	0,00	0,00
86510000	5139,84	2584,62	0,12	0,02	820,70	24155,05	9,09	4064,91	-0,28
86560000	646,12	422,03	0,39	0,28	-376,91	41581,84	55,28	788,00	-0,68
86580000	1082,68	709,65	-0,02	0,13	361,01	1955,84	0,85	30,32	0,76
86745000	NA	NA	NA	NA	125,41	990,06	4,94	165,33	0,19
87160000	508,29	430,38	0,37	0,33	138,72	1258,41	1,34	11,04	0,69

87170000	619,16	870,84	0,78	0,66	99,78	7495,46	26,50	1261,47	-0,96
87270000	569,64	159,66	0,74	0,30	356,19	1167,88	8,33	266,82	-0,95
87317030	170,27	101,69	0,02	0,59	132,13	142,76	0,17	0,00	0,00
87317060	82,79	35,15	0,28	0,19	44,16	123,60	1,53	2,67	0,54
87380000	379,69	93,63	0,20	0,06	216,65	1131,25	11,37	158,37	-0,40
87382000	394,66	163,00	0,04	0,23	227,05	557,39	5,15	201,80	-0,10
87399000	NA	NA	NA	NA	65,97	115,13	1,98	7,69	0,60
87400000	133,82	98,82	0,26	0,44	70,44	219,63	0,90	0,76	0,86
88750000	NA	NA	NA	NA	12,82	189,50	5,34	20,11	0,04